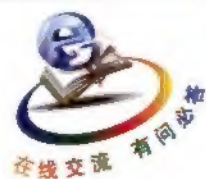



MATLAB
开发案例系列图书



MATLAB 神经网络 30个案例分析

MATLAB中文论坛 编著

 北京航空航天大学出版社

策划编辑：陈守平

封面设计：

本书是MATLAB中文论坛神经网络版块数千个帖子的总结，充分强调“案例实用性、程序可模仿性”。所有案例均来自于论坛会员的切身需求，保证每一个案例都与实际课题相结合。

读者调用案例的时候，只要把案例中的数据换成自己需要处理的数据，即可实现自己想要的网络。如果在实现过程中有任何疑问，可以随时在MATLAB中文论坛与作者交流，作者每天在线，有问必答。

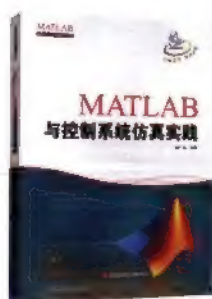
该书共有30个MATLAB神经网络的案例(含可运行程序)，包括BP、RBF、SVM、SOM、Hopfield、LVQ、Elman、小波等神经网络；还包含PSO(粒子群)、灰色神经网络、模糊网络、概率神经网络、遗传算法优化等内容。该书另有31个配套的教学视频帮助读者更深入地了解神经网络。

本书可作为本科毕业设计、研究生项目设计、博士低年级课题设计的参考书籍，同时对广大科研人员也有很高的参考价值。

MATLAB开发实例系列图书（在线交流，有问必答）



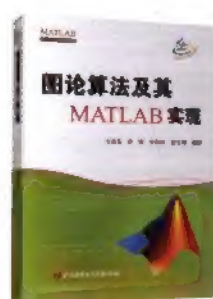
罗华飞 编著
定价：39.00元



赵广元 编著
定价：34.00元



郑志勇 编著
定价：22.00元



王海英 编著
定价：24.00元

特别推荐

- ◆ The MathWorks公司
- ◆ 北京迈斯沃克软件有限公司
- ◆ 北京九州恒润科技有限公司
- ◆ 南京优迈斯信息技术有限公司

特别技术支持

- ◆ MATLAB中文论坛 (www.iLoveMatlab.cn)

上架建议：计算机语言与程序

ISBN 978-7-5124-0034-4



定价：39.00元

TP391.75/61

2010

MATLAB 开发实例系列图书

MATLAB 神经网络 30 个案例分析

MATLAB 中文论坛 编著

北京航空航天大学出版社

内 容 简 介

本书是 MATLAB 中文论坛神经网络版块数千个帖子的总结, 充分强调“案例实用性、程序可模仿性”。所有案例均来自于论坛会员的切身需求, 保证每一个案例都与实际课题相结合。

读者调用案例的时候, 只要把案例中的数据换成自己需要处理的数据, 即可实现自己想要的网络。如果在实现过程中有任何疑问, 可以随时在 MATLAB 中文论坛与作者交流, 作者每天在线, 有问必答。

该书共有 30 个 MATLAB 神经网络的案例(含可运行程序), 包括 BP、RBF、SVM、SOM、Hopfield、LVQ、Elman、小波等神经网络; 还包含 PSO(粒子群)、灰色神经网络、模糊网络、概率神经网络、遗传算法优化等内容。该书另有 31 个配套的教学视频帮助读者更深入地了解神经网络。

本书可作为本科毕业设计、研究生项目设计、博士低年级课题设计参考书籍, 同时对广大科研人员也有很高的参考价值。

图书在版编目(CIP)数据

MATLAB 神经网络 30 个案例分析/MATLAB 中文论坛编著. --北京: 北京航空航天大学出版社, 2010. 4

ISBN 978-7-5124-0034-4

I. ①M… II. ①M… III. ①计算机辅助计算—软件包, Matlab—应用—神经网络—案例分析 IV. ①TP391.75②TP183

中国版本图书馆 CIP 数据核字(2010)第 039648 号

MATLAB 神经网络 30 个案例分析

MATLAB 中文论坛 编著

责任编辑 陈守平 董 瑞 罗晓莉

*

北京航空航天大学出版社出版发行

北京市海淀区学院路 37 号(100191) 发行部电话:(010)82317024 传真:(010)82328026

<http://www.buaapress.com.cn> E-mail: bhp@263.net

北京时代华都印刷有限公司印装 各地书店经销

*

开本: 787×1 092 1/16 印张: 18.5 字数: 474 千字

2010 年 4 月第 1 版 2010 年 4 月第 1 次印刷 印数: 4 000 册

ISBN 978-7-5124-0034-4 定价: 39.00 元

该书作者简介



史峰

史峰, 网名 shi01fg, MATLAB 中文论坛超级版主。在 MATLAB 中文论坛长期解答各种 MATLAB 疑难问题。从 MATLAB 6.5 开始接触 MATLAB 软件, 主要用于科学计算和工程开发, 并有多项 MATLAB 工程开发经验。在长期的使用过程中积累了较丰富的编程经验, 擅长于神经网络、智能算法、科学计算和 GUI 设计。



王小川

王小川, 网名 hgsz2003, MATLAB 中文论坛超级版主。现于哈尔滨医科大学公共卫生学院卫生统计学攻读硕士学位, 长期研究神经网络在统计学中的应用, 精通 MATLAB、SAS、SPSS 等统计软件, 热衷数据分析和数据挖掘工作, 擅长竞争神经网络在数据挖掘中的运用, 有着扎实的理论基础和丰富的实战经验。



郁磊

郁磊, 网名 yuthreestone, MATLAB 中文论坛超级版主。现于中国矿业大学信息与电气工程学院攻读控制理论与控制工程专业硕士学位。研究方向为智能控制与模式识别, 对神经网络、遗传算法、支持向量机等智能算法有深入的研究。使用 MATLAB 六年多来, 对 MATLAB 环境及工具箱函数非常熟悉, 具有丰富的 MATLAB 开发、设计经验。



李洋

李洋, 网名 faruto, MATLAB 中文论坛超级版主。现于北京师范大学数学科学学院攻读硕士学位, 专业为应用数学, 主要方向为模糊数学及人工智能。目前关注领域为信息粒化在时间序列和机器学习中的应用, SVM 相应参数的优化问题以及 SVM 的应用问题。对 SVM 工具箱的使用有丰富的经验, 对现有的 SVM 工具箱进行了大量的优化提升等工作, 同时擅长优化理论等。



张延亮

张延亮, 网名 math, MATLAB 中文论坛站长, 百度 MATLAB 专家。2006 年创建 MATLAB 中文论坛, 组织了近 10 次大型的 MATLAB/Simulink 研讨会。长期在论坛里解答会员问题。研究方向包含图像处理、人工智能、高级控制理论、生物信息系统等。负责“在线交流, 有问必答”部分书籍的选题、写作与审核工作, 确保相关书籍能真正填补市场空白, 满足读者需求。

前 言

MATLAB 中文论坛神经网络版块有数千个 MATLAB 与神经网络相关的帖子。我们对这些帖子进行了一些总结分析,发现一些比较有趣的现象:

① 大约有 20% 的会员不知道每一种神经网络的功能,不清楚该选用何种神经网络来做自己的课题。

② 大约有 50% 的会员会直接参考他人已经写好的代码,然而由于数据性质、应用背景等的差异性,会员在修改现有代码使之更符合自己的需要时遇到很多麻烦。

③ 还有一小部分会员想了解如何让现有的神经网络与其他方面的优化知识结合起来,使神经网络的表现更理想一些,比如神经网络与遗传算法的结合等,但在现有很多有关神经网络的书上找不到答案。

在我们回答问题的同时,我们对现有的提问进行了分析和总结,尤其是会员比较关心的以上现象进行了统计。为了让更多学习神经网络的会员能够快速了解并且在 MATLAB 下使用神经网络, MATLAB 中文论坛精心编写了《MATLAB 神经网络 30 个案例分析》一书。

该书含有 30 个在 MATLAB 环境下实现的神经网络案例,包括了常用的神经网络及相关理论,如:BP、RBF、SVM、SOM、PSO、Hopfield、Elman、LVQ、Kohonen、GRNN、灰色神经网络、遗传算法与神经网络的结合、广义神经网络、小波神经网络、PID 神经元等知识。当然,如果你所需要的神经网络超出本书所涉及的范畴,收到你的反馈后几位作者会第一时间在论坛“在线交流”版块为你加上。别忘了,这是一本“会动”的书!

在编写本书的过程中,我们始终记得数千位会员对该书的要求(希望这也是你的期待):

案例实用性。书中所列举的 30 个案例,部分来自于各大公司、院校的研究课题,部分来自于论坛会员的提问。这些案例分别代表了神经网络在各个领域的相关应用。读者可以很容易根据自己的课题需要,找出书中哪些案例适合自己,进而详细阅读。

MATLAB 程序可模仿性。我们所编写的 MATLAB 案例程序高度模块化。不管是何种网络,其基本思想都是输入(出)数据的前期处理、模型参数的设置、模型的训练以及模型的使用。那么,如果读者需要模仿这些程序,只需更改里面某些模块即可。

我们一直强调一个理念:“有问必答”!对于神经网络这门学科来说,包含太多的抽象知识。如果在学习、使用神经网络的时候,能够得到一位或者数位该领域专家的指导,那绝不仅仅是事半功倍的效果,我想学习过编程语言的读者都知道这个道理。目前这本书的几位作者几乎每天都在线为读者解答疑问,争取做到问题不过夜。

对于每个案例,我们也制作了配套的教学视频。在书籍+视频+程序的协助下,一小时之内使用神经网络实现自己的目标已经不是难事。套一句比较流行的网络术语:“哥卖的不是书,而是一种服务”。

我们特别想感谢“你”,因为你经常在 MATLAB 中文论坛为此书出谋划策,因为你细心地阅读每个案例、程序,然后指出需要改进的地方,才能让此书符合大部分会员的需求。(注:此书采取开放式编著方式, MATLAB 中文论坛对此书提供及时的报道,如:书籍的写作进度、书

籍的程序案例等,所以很多读者是看着这本书如何“诞生”的。)

该书适合所有做与神经网络相关研究的读者阅读,当然我们的特长是在 MATLAB 下面实现神经网络的各种应用。

史峰(网名 shi01fg,超级版主)编写了第 1~6、23~26、28、29 章;王小川(网名 hg-sz2003,超级版主)编写了第 7、8、16~20、30 章;郁磊(网名 yuthreestone,超级版主)编写了第 9~11、21、22、27 章;李洋(网名 faruto,超级版主)编写了第 12~15 章;张延亮(网名 math,论坛站长)负责全部案例的选取和审核;焦小雪(网名 mooni,论坛管理员)负责所有配套视频下载的测试与维护。

我们深知,神经网络就是一个巨大的黑盒子,我们一直在研究其精华奥妙所在,如果在我们的探索路上有任何不当之处,希望读者能及时向我们反馈。请你相信,我们的纠错速度也会超乎你的想象!

最后,给大家一个小小的承诺:如果你在阅读完该书的一个案例,或者看完一个视频以后,还是不懂得如何在 MATLAB 下实现神经网络,你可以在 MATLAB 中文论坛该书“在线交流”版块发帖,论坛会安排一位本书的作者亲自指导你,直到你得到自己想要的程序为止!

MATLAB 中文论坛
2009 年 12 月于南京

若您对此书内容有任何疑问,可以凭在线交流卡登录 MATLAB 中文论坛与作者交流。

目 录

第1章 BP神经网络的数据分类——语音特征信号分类	1
本案例选取了民歌、古筝、摇滚和流行四类不同音乐,用BP神经网络实现对这四类音乐的有效分类。	
第2章 BP神经网络的非线性系统建模——非线性函数拟合	11
本章拟合的非线性函数为 $y=x_1^2+x_2^2$ 。	
第3章 遗传算法优化BP神经网络——非线性函数拟合	21
根据遗传算法和BP神经网络理论,在MATLAB软件中编程实现基于遗传算法优化的BP神经网络非线性系统拟合算法。	
第4章 神经网络遗传算法函数极值寻优——非线性函数极值寻优	36
对于未知的非线性函数,仅通过函数的输入输出数据难以准确寻找函数极值。这类问题可以通过神经网络结合遗传算法求解,利用神经网络的非线性拟合能力和遗传算法的非线性寻优能力寻找函数极值。	
第5章 基于BP_Adaboost的强分类器设计——公司财务预警建模	45
BP_Adaboost模型即把BP神经网络作为弱分类器,反复训练BP神经网络预测样本输出,通过Adaboost算法得到多个BP神经网络弱分类器组成的强分类器。	
第6章 PID神经元网络解耦控制算法——多变量系统控制	54
根据PID神经元网络控制器原理,在MATLAB中编程实现PID神经元网络控制多变量耦合系统。	
第7章 RBF网络的回归——非线性函数回归的实现	65
本例用RBF网络拟合未知函数,预先设定一个非线性函数,如式 $y=20+x_1^2-10\cos(2\pi x_1)+x_2^2-10\cos(2\pi x_2)$ 所示,假定函数解析式不清楚的情况下,随机产生 x_1, x_2 和由这两个变量按上式得出的 y 。将 x_1, x_2 作为RBF网络的输入数据,将 y 作为RBF网络的输出数据,分别建立近似和精确RBF网络进行回归分析,并评价网络拟合效果。	
第8章 GRNN的数据预测——基于广义回归神经网络的货运量预测	73
根据货运量影响因素的分析,分别取国内生产总值(GDP),工业总产值,铁路运输线路长度,复线里程比重,公路运输线路长度,等级公路比重,铁路货车数量和民用载货汽车数量8项指标因素作为网络输入,以货运总量,铁路货运量和公路货运量3项指标因素作为网络输出,构建GRNN,由于训练数据较少,采取交叉验证方法训练GRNN神经网络,并用循环找出最佳的SPREAD。	
第9章 离散Hopfield神经网络的联想记忆——数字识别	81
根据Hopfield神经网络相关知识,设计一个具有联想记忆功能的离散型Hopfield神经网络。	

络。要求该网络可以正确地识别 0~9 这 10 个数字,当数字被一定的噪声干扰后,仍具有较好的识别效果。

第 10 章 离散 Hopfield 神经网络的分类——高校科研能力评价 90

某机构对 20 所高校的科研能力进行了调研和评价,试根据调研结果中较为重要的 11 个评价指标的数据,并结合离散 Hopfield 神经网络的联想记忆能力,建立离散 Hopfield 高校科研能力评价模型。

第 11 章 连续 Hopfield 神经网络的优化——旅行商问题优化计算 100

现对于一个城市数量为 10 的 TSP 问题,要求设计一个可以对其进行组合优化的连续型 Hopfield 神经网络模型,利用该模型可以快速地找到最优(或近似最优)的一条路线。

第 12 章 SVM 的数据分类预测——意大利葡萄酒种类识别 112

将这 178 个样本的 50% 做为训练集,另 50% 做为测试集,用训练集对 SVM 进行训练可以得到分类模型,再用得到的模型对测试集进行类别标签预测。

第 13 章 SVM 的参数优化——如何更好的提升分类器的性能 122

本章要解决的问题就是仅仅利用训练集找到分类的最佳参数,不但能够高准确率的预测训练集而且要合理的预测测试集,使得测试集的分类准确率也维持在一个较高水平,即使得到的 SVM 分类器的学习能力和推广能力保持一个平衡,避免过学习和欠学习状况发生。

第 14 章 SVM 的回归预测分析——上证指数开盘指数预测 133

对上证指数从 1990.12.20~2009.08.19 每日的开盘数进行回归分析。

第 15 章 SVM 的信息粒化时序回归预测——上证指数开盘指数变化趋势和变化空间预测 141

在这个案例里面我们将利用 SVM 对进行模糊信息粒化后的上证每日的开盘指数进行变化趋势和变化空间的预测。

第 16 章 自组织竞争网络在模式分类中的应用——患者癌症发病预测 153

本案例中给出了一个含有 60 个个体基因表达水平的样本。每个样本中测量了 114 个基因特征,其中前 20 个样本是癌症病人的基因表达水平的样本(其中还可能含有子类),中间的 20 个样本是正常人的基因表达信息样本,余下的 20 个样本是待检测的样本(未知它们是否正常)。以下将设法找出癌症与正常样本在基因表达水平上的区别,建立竞争网络模型去预测待检测样本是癌症还是正常样本。

第 17 章 SOM 神经网络的数据分类——柴油机故障诊断 159

本案例中给出了一个含有 8 个故障样本的数据集。每个故障样本中有 8 个特征,分别是前面提及过的:最大压力(P_1)、次最大压力(P_2)、波形幅度(P_3)、上升沿宽度(P_4)、波形宽度(P_5)、最大余波的宽度(P_6)、波形的面积(P_7)、起喷压力(P_8),使用 SOM 网络进行故障诊断。

第 18 章 Elman 神经网络的数据预测——电力负荷预测模型研究 170

根据负荷的历史数据,选定反馈神经网络的输入、输出节点,来反映电力系统负荷运行的内在规律,从而达到预测未来时段负荷的目的。

第 19 章 概率神经网络的分类预测——基于 PNN 的变压器故障诊断	176
本案例在对油中溶解气体分析法进行深入分析后,以改良三比值法为基础,建立基于概率神经网络的故障诊断模型。	
第 20 章 神经网络变量筛选——基于 BP 的神经网络变量筛选	183
本例将结合 BP 神经网络应用平均影响值(MIV, Mean Impact Value)方法来说明如何使用神经网络来筛选变量,找到对结果有较大影响的输入项,继而实现使用神经网络进行变量筛选。	
第 21 章 LVQ 神经网络的分类——乳腺肿瘤诊断	188
威斯康星大学医学院经过多年的收集和整理,建立了一个乳腺肿瘤病灶组织的细胞核显微图像数据库。数据库中包含了细胞核图像的 10 个量化特征(细胞核半径、质地、周长、面积、光滑性、紧密度、凹陷度、凹陷点数、对称度、断裂度),这些特征与肿瘤的性质有密切的关系。因此,需要建立一个确定的模型来描述数据库中各个量化特征与肿瘤性质的关系,从而可以根据细胞核显微图像的量化特征诊断乳腺肿瘤是良性还是恶性。	
第 22 章 LVQ 神经网络的预测——人脸朝向识别	198
现采集到一组人脸朝向不同角度时的图像,图像来自不同的 10 个人,每人 5 幅图像,人脸的朝向分别为:左方、左前方、前方、右前方和右方。试创建一个 LVQ 神经网络,对任意给出的人脸图像进行朝向预测和识别。	
第 23 章 小波神经网络的时间序列预测——短时交通流量预测	208
根据小波神经网络原理在 MATLAB 环境中编程实现基于小波神经网络的短时交通流量预测。	
第 24 章 模糊神经网络的预测算法——嘉陵江水质评价	218
根据模糊神经网络原理,在 MATLAB 中编程实现基于模糊神经网络的水质评价算法。	
第 25 章 广义神经网络的聚类算法——网络入侵聚类	229
模糊聚类虽然能够对数据聚类挖掘,但是由于网络入侵特征数据维数较多,不同入侵类别间的数据差别较小,不少入侵模式不能被准确分类。本案例采用结合模糊聚类和广义神经网络回归的聚类算法对入侵数据进行分类。	
第 26 章 粒子群优化算法的寻优算法——非线性函数极值寻优	236
根据 PSO 算法原理,在 MATLAB 中编程实现基于 PSO 算法的函数极值寻优算法。	
第 27 章 遗传算法优化计算——建模自变量降维	243
在第 21 章中,建立模型时选用的每个样本(即病例)数据包括 10 个量化特征(细胞核半径、质地、周长、面积、光滑性、紧密度、凹陷度、凹陷点数、对称度、断裂度)的平均值、10 个量化特征的标准差和 10 个量化特征的最坏值(各特征的 3 个最大数据的平均值)共 30 个数据。明显,这 30 个输入自变量相互之间存在一定的关系,并非相互独立的,因此,为了缩短建模时间、提高建模精度,有必要将 30 个输入自变量中起主要影响因素的自变量筛选出来参与最终的建模。	

第 28 章 基于灰色神经网络的预测算法研究——订单需求预测 258

根据灰色神经网络原理,在 MATLAB 中编程实现基于灰色神经网络的订单需求预测。

第 29 章 基于 Kohonen 网络的聚类算法——网络入侵聚类 268

根据 Kohonen 网络原理,在 MATLAB 软件中编程实现基于 Kohonen 网络的网络入侵分类算法。

第 30 章 神经网络 GUI 的实现——基于 GUI 的神经网络拟合、模式识别、聚类 277

为了便于使用 MATLAB 编程的新用户,快速地利用神经网络解决实际问题,MATLAB 提供了一个基于神经网络工具箱的图形用户界面。考虑到图形用户界面带来的方便和神经网络在数据拟合、模式识别、聚类各个领域的应用,MATLAB R2009a 提供了三种神经网络拟合工具箱(拟合工具箱 模式识别工具箱 聚类工具箱)。

第 1 章 BP 神经网络的数据分类

——语音特征信号分类

1.1 案例背景

1.1.1 BP 神经网络概述

BP 神经网络是一种多层前馈神经网络,该网络的主要特点是信号前向传递,误差反向传播。在前向传递中,输入信号从输入层经隐含层逐层处理,直至输出层。每一层的神经元状态只影响下一层神经元状态。如果输出层得不到期望输出,则转入反向传播,根据预测误差调整网络权值和阈值,从而使 BP 神经网络预测输出不断逼近期望输出。BP 神经网络的拓扑结构如图 1-1 所示。

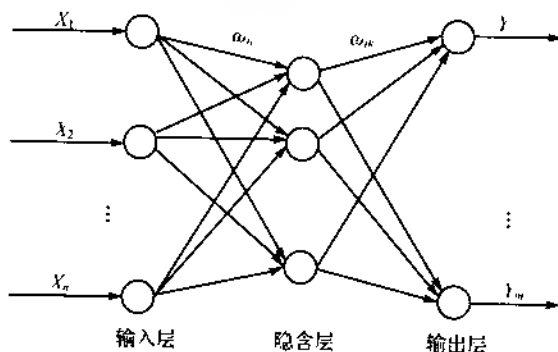


图 1-1 BP 神经网络拓扑结构图

图 1-1 中, X_1, X_2, \dots, X_n 是 BP 神经网络的输入值, Y_1, Y_2, \dots, Y_m 是 BP 神经网络的预测值, ω_{ij} 和 ω_{jk} 为 BP 神经网络权值。从图 1-1 可以看出, BP 神经网络可以看成是一个非线性函数, 网络输入值和预测值分别为该函数的自变量和因变量。当输入节点数为 n , 输出节点数为 m 时, BP 神经网络就表达了从 n 个自变量到 m 个因变量的函数映射关系。

BP 神经网络预测前首先要训练网络, 通过训练使网络具有联想记忆和预测能力。BP 神经网络的训练过程包括以下几个步骤。

步骤 1: 网络初始化。 根据系统输入输出序列 (X, Y) 确定网络输入层节点数 n 、隐含层节点数 l 、输出层节点数 m , 初始化输入层、隐含层和输出层神经元之间的连接权值 ω_{ij}, ω_{jk} , 初始化隐含层阈值 a , 输出层阈值 b , 给定学习速率和神经元激励函数。

步骤 2: 隐含层输出计算。 根据输入向量 X , 输入层和隐含层间连接权值 ω_{ij} 以及隐含层阈值 a , 计算隐含层输出 H 。

$$H = f\left(\sum_{i=1}^n \omega_{ji} x_i - a_j\right) \quad j = 1, 2, \dots, l \quad (1-1)$$

式中, l 为隐含层节点数; f 为隐含层激励函数, 该函数有多种表达形式, 本章所选函数为:

$$f(x) = \frac{1}{1 + e^{-x}} \quad (1-2)$$

步骤 3: 输出层输出计算。根据隐含层输出 H , 连接权值 ω_{jk} 和阈值 b_k , 计算 BP 神经网络预测输出 O 。

$$O_k = \sum_{j=1}^l H_j \omega_{jk} - b_k \quad k = 1, 2, \dots, m \quad (1-3)$$

步骤 4: 误差计算。根据网络预测输出 O 和期望输出 Y , 计算网络预测误差 e 。

$$e_k = Y_k - O_k \quad k = 1, 2, \dots, m \quad (1-4)$$

步骤 5: 权值更新。根据网络预测误差 e 更新网络连接权值 ω 、 ω_{jk} 。

$$\omega_{ji} = \omega_{ji} + \eta H_j (1 - H_j) x_i \sum_{k=1}^m \omega_{jk} e_k \quad j = 1, 2, \dots, n; i = 1, 2, \dots, n \quad (1-5)$$

$$\omega_{jk} = \omega_{jk} + \eta H_j e_k \quad j = 1, 2, \dots, l; k = 1, 2, \dots, m \quad (1-6)$$

式中, η 为学习速率。

步骤 6: 阈值更新。根据网络预测误差 e 更新网络节点阈值 a, b 。

$$a_j = a_j + \eta H_j (1 - H_j) \sum_{k=1}^m \omega_{jk} e_k \quad j = 1, 2, \dots, l \quad (1-7)$$

$$b_k = b_k + e_k \quad k = 1, 2, \dots, m \quad (1-8)$$

步骤 7: 判断算法迭代是否结束, 若没有结束, 返回步骤 2。

1.1.2 语音特征信号识别

语音特征信号识别是语音识别研究领域中的一个重要方面, 一般采用模式匹配的理理解决。语音识别的运算过程为: 首先, 待识别语音转化为电信号后输入识别系统, 经过预处理后用数学方法提取语音特征信号, 提取出的语音特征信号可以看成该段语音的模式。然后将该段语音模型同已知参考模式相比较, 获得最佳匹配的参考模式为该段语音的识别结果。语音识别流程如图 1-2 所示。

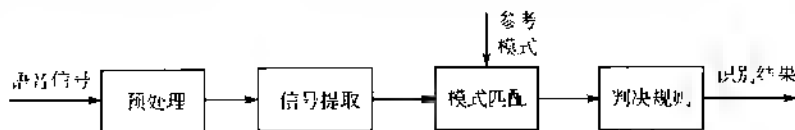


图 1-2 语音识别流程

本案例选取了民歌、古筝、摇滚和流行四类不同音乐, 用 BP 神经网络实现对这四类音乐的有效分类。每段音乐都用倒谱系数法提取 500 组 24 维语音特征信号, 提取出的语音特征信号如图 1-3 所示。

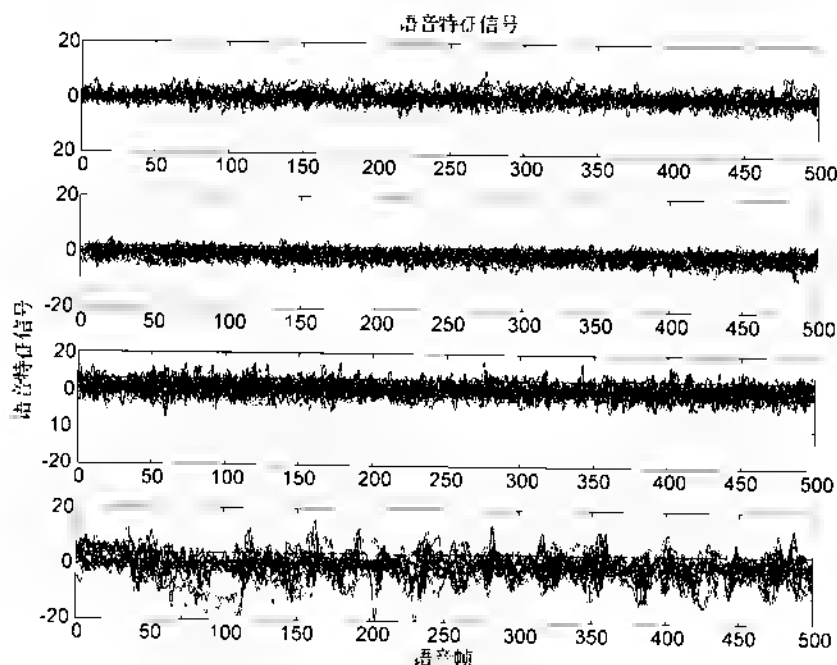


图 1-3 语音特征信号

1.2 模型建立

基于 BP 神经网络的语音特征信号分类算法建模包括 BP 神经网络构建、BP 神经网络训练和 BP 神经网络分类三步,算法流程如图 1-4 所示。

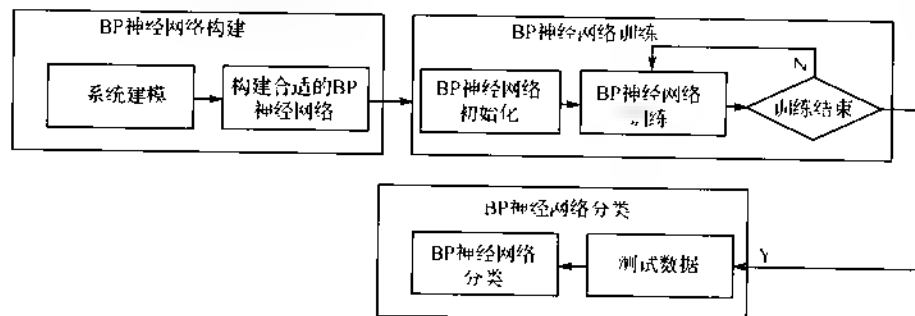


图 1-4 算法流程

BP 神经网络构建根据系统输入输出数据特点确定 BP 神经网络的结构,由于语音特征输入信号有 24 维,待分类的语音信号共有 4 类,所以 BP 神经网络的结构为 24-25-4,即输入层有 24 个节点,隐含层有 25 个节点,输出层有 4 个节点。

BP 神经网络训练用训练数据训练 BP 神经网络。共有 2000 组语音特征信号,从中随机选择 1500 组数据作为训练数据训练网络,500 组数据作为测试数据测试网络分类能力。

若您对此书内容有任何疑问,可以凭在线交流卡登录 MATLAB 中文论坛与作者交流。

BP 神经网络分类用训练好的神经网络对测试数据所属语音类别进行分类。

1.3 MATLAB 实现

根据 BP 神经网络理论,在 MATLAB 软件中编程实现基于 BP 神经网络的语音特征信号分类算法。

1.3.1 归一化方法及 MATLAB 函数

数据归一化方法是神经网络预测前对数据常做的一种处理方法。数据归一化处理把所有数据都转化为 $[0,1]$ 之间的数,其目的是取消各维数据间数量级差别,避免因为输入输出数据数量级差别较大而造成网络预测误差较大。数据归一化的方法主要有以下两种。

1) 最大最小法。函数形式如下。

$$x_k = (x_k - x_{\min}) / (x_{\max} - x_{\min}) \quad (1-9)$$

式中, x_{\min} 为数据序列中的最小数; x_{\max} 为序列中的最大数。

2) 平均数方差法,函数形式如下:

$$x_k = (x_k - x_{\text{mean}}) / x_{\text{var}} \quad (1-10)$$

式中, x_{mean} 为数据序列的均值; x_{var} 为数据的方差。

本案例采用第一种数据归一化方法,归一化函数采用 MATLAB 自带函数 `mapminmax`,该函数有多种形式,常用的方法如下。

% input train,output train 分别是训练输入、输出数据

[inputn,inputps]=mapminmax(input_train);

[outputn,outputps]=mapminmax(output_train);

input_train,output_train 是训练输入、输出原始数据,inputn,outputn 是归一化后的数据,inputps,outputps 为数据归一化后得到的结构体,里面包含了数据最大值、最小值和平均值等信息,可用于测试数据归一化和反归一化。测试数据归一化和反归一化程序如下。

inputn_test=mapminmax('apply',input_test,inputps); % 测试输入数据归一化

BPoutput=mapminmax('reverse',an,outputps); % 网络预测数据反归一化

input_test 是预测输入数据,inputn_test 是归一化后的预测数据,'apply'表示根据 inputps 的值对 input_test 进行归一化。an 是网络预测结果,outputps 是训练输出数据归一化得到的结构体,BPoutput 是反归一化之后的网络预测输出,'reverse'表示对数据进行反归一化。

1.3.2 数据选择和归一化

首先根据倒谱系数法提取四类音乐语音特征信号,不同的语音信号分别用 1,2,3,4 标识,提取出的信号分别存储于 data1.mat, data2.mat, data3.mat, data4.mat 数据库文件中,每组数据为 25 维,第 1 维为类别标识,后 24 维为语音特征信号。把四类语音特征信号合为一组,从中随机选取 1500 组数据作为训练数据,500 组数据作为测试数据,并对训练数据进行归一化处理。根据语音类别标识设定每组语音信号的期望输出值,如标识类为 1 时,期望输出向量为 $[1 \ 0 \ 0 \ 0]$ 。


```
% 清空环境变量
clc
clear

% 导入四类语音信号
load data1 c1
load data2 c2
load data3 c3
load data4 c4

% 将四类语音特征信号合并为一组
data(1:500,:) = c1(1:500,:);
data(501:1000,:) = c2(1:500,:);
data(1001:1500,:) = c3(1:500,:);
data(1501:2000,:) = c4(1:500,:);

% 输入输出数据
input = data(:,2:25);
output1 = data(:,1);

% 设定每组输入输出信号
for i = 1:2000
    switch output1(i)
        case 1
            output(i,:) = [1 0 0 0];
        case 2
            output(i,:) = [0 1 0 0];
        case 3
            output(i,:) = [0 0 1 0];
        case 4
            output(i,:) = [0 0 0 1];
    end
end

% 从中随机抽取 1500 组数据作为训练数据,500 组数据作为预测数据
k = rand(1,2000);
[m,n] = sort(k);

input_train = input(n(1:1500),:);
output_train = output(n(1:1500),:);
input_test = input(n(1501:2000),:);
output_test = output(n(1501:2000),:);

% 输入数据归一化
[inputn,inputps] = mapminmax(input_train),
```

若您对此书内容有任何疑问，可以凭在线交流卡登录 MATLAB 中文论坛与作者交流。

1.3.3 BP 神经网络结构初始化

根据语音特征信号特点确定 BP 神经网络的结构为 24 25 4, 随机初始化 BP 神经网络权值和阈值。

```
% 网络结构
innum = 24;
midnum = 25;
outnum = 4;

% 权值阈值初始化
w1 = rands(midnum, innum);
b1 = rands(midnum, 1);
w2 = rands(midnum, outnum);
b2 = rands(outnum, 1);
```

1.3.4 BP 神经网络训练

用训练数据训练 BP 神经网络, 在训练过程中根据网络预测误差调整网络的权值和阈值。

```
for ii = 1:20
    E(ii) = 0; % 训练误差
    for i = 1:1:1500

        % 选择本次训练数据
        x = inputn(:, i);

        % 隐含层输出
        for j = 1:1:midnum
            I(j) = inputn(:, i)' * w1(j, :) + b1(j);
            Iout(j) = 1 / (1 + exp(-I(j)));
        end

        % 输出层输出
        yn = w2' * Iout + b2;

        % 预测误差
        e = output_train(:, i) - yn;
        E(ii) = E(ii) + sum(abs(e));

        % 计算 w2, b2 调整量
        dw2 = e * Iout;
        db2 = e';

        % 计算 w1, b1 调整量
        for j = 1:1:midnum
            S = 1 / (1 + exp(-I(j)));
```

```

        FI(j) = S * (1 - S);
    end
    for k = 1:1:innum
        for j = 1:1:midnum
            dw1(k,j) = FI(j) * x(k) * (e(1) * w2(j,1) + e(2) * w2(j,2) + e(3) * w2(j,3) + e(4) * w2(j,4));
            db1(j) = FI(j) * (e(1) * w2(j,1) + e(2) * w2(j,2) + e(3) * w2(j,3) + e(4) * w2(j,4));
        end
    end

    % 权值阈值更新
    w1 = w1_1 + xite * dw1';
    b1 = b1_1 + xite * db1';
    w2 = w2_1 + xite * dw2';
    b2 = b2_1 + xite * db2';

    % 结果保存
    w1_1 = w1;
    w2_1 = w2;
    b1_1 = b1;
    b2_1 = b2;
end
end
end

```

1.3.5 BP神经网络分类

用训练好的BP神经网络分类语音特征信号,根据分类结果分析BP神经网络分类能力。

```

% 输入数据归一化
inputn_test = mapminmax('apply',input_test,inputs);

% 网络预测
for i = 1:500
    for j = 1:1:midnum
        I(j) = inputn_test(:,i)' * w1(j,:) + b1(j);
        Iout(j) = 1 / (1 + exp(-I(j)));
    end
    % 预测结果
    fore(:,i) = w2' * Iout + b2;
end

% 类别统计
for i = 1:500
    output_fore(i) = find(fore(:,i) == max(fore(:,i)));
end

% 预测误差
error = output_fore - output1(n(1501:2000));

```

```
k = zeros(1,4);
%统计误差
for i = 1:500
    if error(i) ~ = 0
        [b,c] = max(output_test(:,1));
        switch c
            case 1
                k(1) = k(1) + 1;
            case 2
                k(2) = k(2) + 1;
            case 3
                k(3) = k(3) + 1;
            case 4
                k(4) = k(4) + 1;
        end
    end
end

%统计正确率
rightratio = (kk - k) / kk
```

1.3.6 结果分析

用训练好的 BP 神经网络分类语音特征信号测试数据, BP 神经网络分类误差如图 1-5 所示。

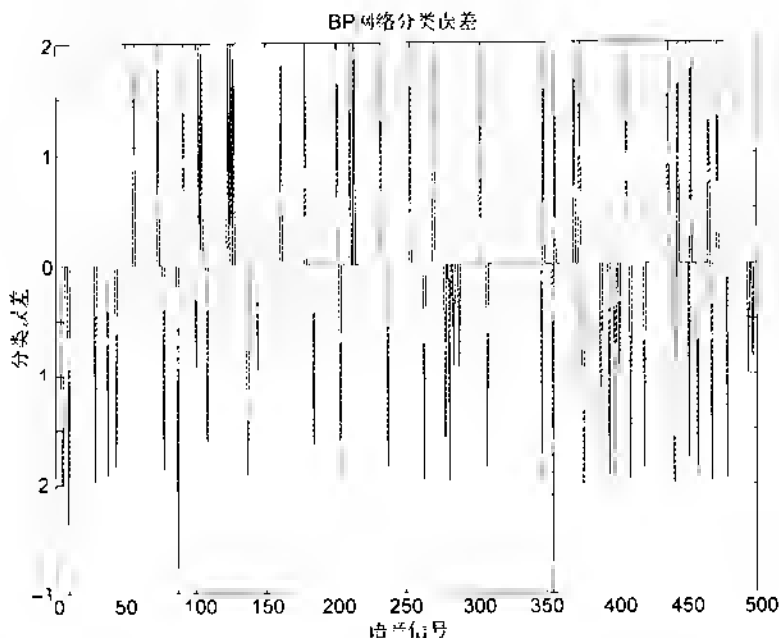


图 1-5 BP 神经网络分类误差

BP 神经网络分类正确率如表 1-1 所列。

表 1-1 BP 网络分类正确率

语音信号类别	第一类	第二类	第三类	第四类
识别正确率	76.4%	80.0%	87.5%	80.0%

从 BP 神经网络分类结果可以看出,基于 BP 神经网络的语音信号分类算法具有较高的准确性,能够准确识别出语音信号所属类别。

1.4 案例扩展

1.4.1 隐含层节点数

BP 神经网络的隐含层节点数对 BP 神经网络预测精度有较大的影响:节点数太少,网络不能很好地学习,需要增加训练次数,训练的精度也受影响;节点数太多,训练时间增加,网络容易过拟合。最佳隐含层节点数选择可参考如下公式:

$$l < n - 1 \quad (1-11)$$

$$l < \sqrt{m \cdot n} + \alpha \quad (1-12)$$

$$\alpha = \log_e n \quad (1-13)$$

式中, n 为输入层节点数; l 为隐含层节点数; m 为输出层节点数; α 为 0~10 之间的常数。在实际问题中,隐含层节点数的选择首先是参考公式来确定节点数的大概范围,然后用试凑法确定最佳的节点数。对于某些问题来说,隐含层节点数对输出结果影响较小,如对于本案例来说,分类误差同隐含层节点数的关系如图 1-6 所示。

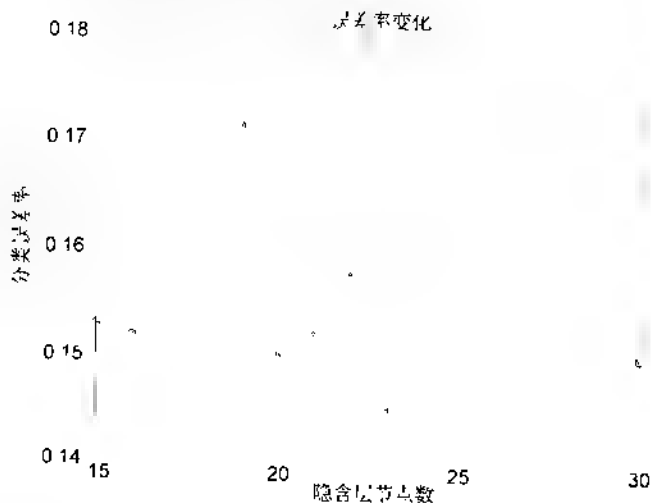


图 1-6 预测误差和隐含层节点数关系

从图 1-6 可以看出,本案例中 BP 神经网络分类误差率随着隐含层节点数的增加而减小。对

于一般问题来说,BP 神经网络的分类误差随着隐含层节点数的增加呈现先减少后增加的趋势。

1.4.2 附加动量方法

BP 神经网络的采用梯度修正法作为权值和阈值的学习算法,从网络预测误差的负梯度方向修正权值和阈值,没有考虑以前经验的积累,学习过程收敛缓慢。对于这个问题,可以采用附加动量方法来解决,带附加动量的权值学习公式为

$$\omega(k) = \omega(k-1) + \Delta\omega(k) + a[\omega(k-1) - \omega(k-2)] \quad (1-14)$$

式中, $\omega(k)$ 、 $\omega(k-1)$ 、 $\omega(k-2)$ 分别时 k 、 $k-1$ 、 $k-2$ 时刻的权值, a 为动量学习率。MATLAB 程序如下:

```
% xite,alfa 为学习率
w1 = w1_1 + xite * dw1' + alfa * (w1_1 - w1_2);
b1 = b1_1 + xite * db1' + alfa * (b1_1 - b1_2);
w2 = w2_1 + xite * dw2' + alfa * (w2_1 - w2_2);
b2 = b2_1 + xite * db2' + alfa * (b2_1 - b2_2);
```

1.4.3 变学习率学习算法

BP 神经网络学习率 η 的取值在 $[0,1]$ 之间,学习率 η 越大,对权值的修改越大,网络学习速度越快。但过人的学习速率 η 将使权值学习过程中产生震荡,过小的学习概率使网络收敛过慢,权值难以趋于稳定。变学习率方法是指学习概率 η 在 BP 神经网络进化初期较大,网络收敛迅速,随着学习过程的进行,学习率不断减小,网络趋于稳定。变学习率计算公式为

$$\eta(t) = \eta_{\max} - t \cdot (\eta_{\max} - \eta_{\min}) / t_{\max} \quad (1-15)$$

式中, η_{\max} 为最大学习率; η_{\min} 为最小学习率; t_{\max} 为最大迭代次数; t 为当前迭代次数。

参考文献

- [1] 李丽霞 BP 神经网络及其在疾病预后分类问题中的应用 I 太原:山西医科大学,2002
- [2] 孟治国 BP 神经网络在土地利用分类中的应用分析[D] 长春:吉林大学,2004
- [3] 刘刚 基于 BP 神经网络的隧道围岩稳定性分类的研究与工程应用[D] 合肥:合肥工业大学,2007
- [4] 徐样合 基于 BP 神经网络的客户分类方法研究[D] 南京:南京航空航天大学,2004
- [5] 刘旭生 基于人工神经网络的森林植被遥感分类研究[D] 北京:北京林业大学,2003
- [6] 韩立群 人工神经网络理论、设计及应用[M] 北京:化学工业出版社,2002
- [7] 余立雪 神经网络与实例学习[M] 北京:中国铁道出版社,1996
- [8] 周志华,曹存根 神经网络及其应用[M] 北京:清华大学出版社,2004

第 2 章 BP 神经网络的非线性系统建模

——非线性函数拟合

2.1 案例背景

在工程应用中经常会遇到一些复杂的非线性系统,这些系统状态方程复杂,难以用数学方法准确建模。在这种情况下,可以建立 BP 神经网络表达这些非线性系统。该方法把未知系统看成是一个黑箱,首先用系统输入输出数据训练 BP 神经网络,使网络能够表达该未知函数,然后就可以用训练好的 BP 神经网络预测系统输出。

本章拟合的非线性函数为

$$y = x^2 + x^2 \quad (2-1)$$

该函数的图形如图 2-1 所示。

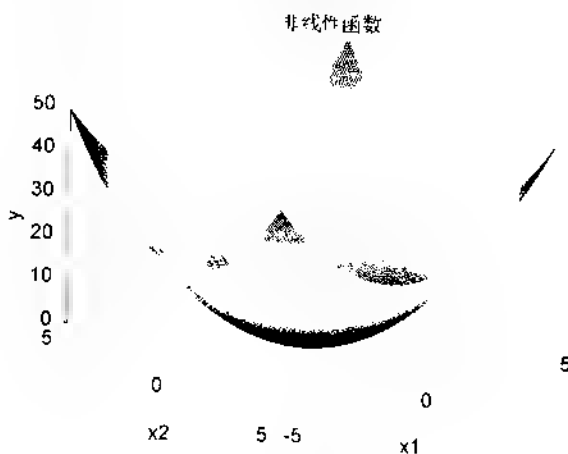


图 2-1 非线性函数图形

2.2 模型建立

基于 BP 神经网络的非线性函数拟合算法流程可以分为 BP 神经网络构建、BP 神经网络训练和 BP 神经网络预测三步,如图 2-2 所示。

BP 神经网络构建根据拟合非线性函数特点确定 BP 神经网络结构,由于该非线性函数有两个输入参数,一个输出参数,所以 BP 神经网络结构为 2-5-1,即输入层有 2 个节点,隐含层有 5 个节点,输出层有 1 个节点。

BP 神经网络训练用非线性函数输入输出数据训练神经网络,使训练后的网络能够预测非线性函数输出。从非线性函数中随机得到 2 000 组输入输出数据,从中随机选择 1 900 组作为

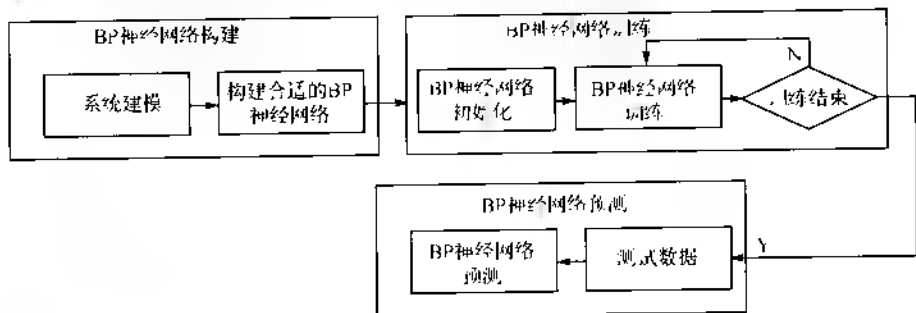


图 2-2 算法流程

训练数据,用于网络训练,100 组作为测试数据,用于测试网络的拟合性能。

神经网络预测用训练好的网络预测函数输出,并对预测结果进行分析。

2.3 MATLAB 实现

根据 BP 神经网络理论,用 MATLAB 软件编程实现基于 BP 神经网络的非线性拟合算法。

2.3.1 BP 神经网络工具箱函数

MATLAB 软件中包含 MATLAB 神经网络工具箱。它是以人工神经网络理论为基础,用 MATLAB 语言构造出了该理论所涉及的公式运算、矩阵操作和方程求解等人部分子程序以用于神经网络的设计和训练。用户只需根据自己的需要调用相关的子程序,即可以完成包括网络结构设计、权值初始化、网络训练及结果输出等在内的一系列工作,免除编写复杂庞大程序的困扰。目前,MATLAB 神经网络工具箱包括的网络有感知器、线性网络、BP 神经网络、径向基网络、自组织网络和回归网络等。BP 神经网络主要用到 newff、sim 和 train 3 个神经网络函数,各函数解释如下。

1. newff: BP 神经网络参数设置函数

函数功能:构建一个 BP 神经网络。

函数形式:net = newff(P,T,S,TF,BTF,BLF,PF,IPF,OPF,DDF)

P:输入数据矩阵。

T:输出数据矩阵。

S:隐含层节点数。

TF:节点传递函数,包括硬限幅传递函数 hardlim,对称硬限幅传递函数 hardlims,线性传递函数 purelin,正切 S 型传递函数 tansig,对数 S 型传递函数 logsig。

BTF:训练函数,包括梯度下降 BP 算法训练函数 traingd,动量反传的梯度下降 BP 算法训练函数 traingdm,动态自适应学习率的梯度下降 BP 算法训练函数 traingda,动量反传和动态自适应学习率的梯度下降 BP 算法训练函数 traingdx,Levenberg-Marquardt 的 BP 算法训练函数 trainlm。

BLF:网络学习函数,包括 BP 学习规则 learngd,带动量项的 BP 学习规则 learngdm。

PF:性能分析函数,包括均值绝对误差性能分析函数 mae,均方差性能分析函数 mse。

IPF:输入处理函数。

OPF:输出处理函数。

DDF:验证数据划分函数。

一般在使用过程中设置前面 6 个参数,后面 4 个参数采用系统默认参数。

2. train:BP 神经网络训练函数

函数功能:用训练数据训练 BP 神经网络。

函数形式: `net=train(NET,X,T,P,A)`

NET:待训练网络。

X:输入数据矩阵。

T:输出数据矩阵。

P:初始化输入层条件。

A:初始化输出层条件。

net:训练好的网络。

tr:训练过程记录。

一般在使用过程中设置前面 3 个参数,后面 2 个参数采用系统默认参数。

3. sim:BP 神经网络预测函数

函数功能:用训练好的 BP 神经网络预测函数输出。

函数形式 `y=sim(net,x)`

net:训练好的网络。

x:输入数据

y:网络预测数据。

2.3.2 数据选择和归一化

根据非线性函数方程随机得到该函数的 2000 组输入输出数据,将数据存储在 data.mat 文件中,input 是函数输入数据,output 是函数输出数据。从输入输出数据中随机选取 1900 组数据作为网络训练数据,100 组数据作为网络测试数据,并对训练数据进行归一化处理。

```
% 清空环境变量
```

```
clc
```

```
clear
```

```
% 下载输入输出数据
```

```
load data input output
```

```
% 随机选择 1900 组训练数据和 100 组预测数据
```

```
k=rand(1,2000);
```

```
[n,n]=sort(k);
```

```
input_train=input(n(1:1900),:);
```

```
output_train=output(n(1:1900),:);
```

```
input_test=input(n(1901:2000),:);
```

若您对此书内容有任何疑问,可以凭在线交流卡登录 MATLAB 中文论坛与作者交流。

```

output_test = output(n(1901:2000),:);

% 训练数据归一化
[inputn, inputps] = mapminmax(input_train);
[outputn, outputps] = mapminmax(output_train);

```

2.3.3 BP 神经网络训练

用训练数据训练 BP 神经网络,使网络对非线性函数输出具有预测能力。

```

% BP 神经网络构建
net = newff(inputn, outputn, 5);

% 网络参数配置(迭代次数,学习率,目标)
net.trainParam.epochs = 100;
net.trainParam.lr = 0.1;
net.trainParam.goal = 0.00004;

% BP 神经网络训练
net = train(net, inputn, outputn);

```

2.3.4 BP 神经网络预测

用训练好的 BP 神经网络预测非线性函数输出,并通过 BP 神经网络预测输出和期望输出分析 BP 神经网络的拟合能力。

```

% 预测数据归一化
inputn_test = mapminmax('apply', input_test, inputps);

% BP 神经网络预测输出
an = sim(net, inputn_test);

% 输出结果反归一化
BPoutput = mapminmax('reverse', an, outputps);

% 网络预测结果图形
figure(1)
plot(BPoutput, 'og')
hold on
plot(output_test, 'x');
legend('预测输出', '期望输出')
title('BP 网络预测输出', 'fontsize', 12)
ylabel('函数输出', 'fontsize', 12)
xlabel('样本', 'fontsize', 12)

% 网络预测误差图形

```

```
figure(2)
plot(error,'- *')
title('BP 网络预测误差','fontsize',12)
ylabel('误差','fontsize',12)
xlabel('样本','fontsize',12)
```

2.3.5 结果分析

用训练好的 BP 神经网络预测函数输出,预测结果如图 2-3 所示。

BP 神经网络预测输出和期望输出的误差如图 2-4 所示。

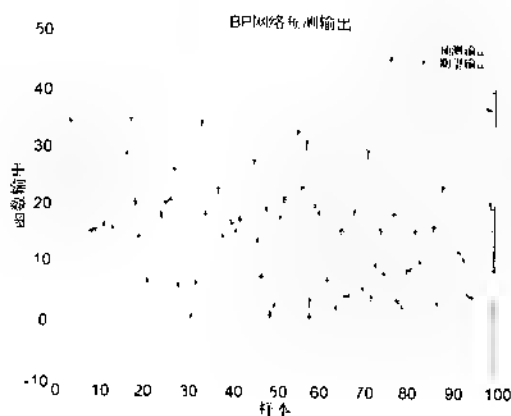


图 2-3 BP 神经网络预测

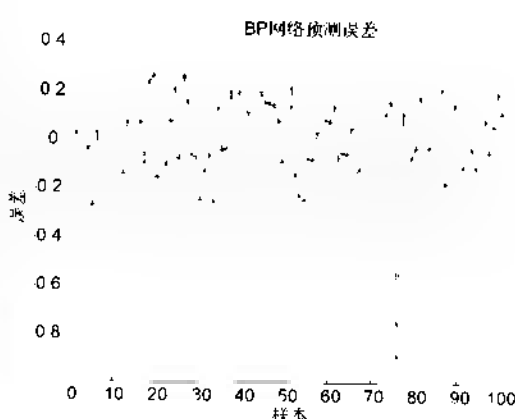


图 2-4 BP 神经网络预测误差

从图 2-3 和图 2-4 可以看出,虽然 BP 神经网络具有较高的拟合能力,但是网络预测结果仍有一定误差,某些样本点的预测误差较大。后面案例中将讨论 BP 神经网络优化算法,以得到更好的预测结果。

2.4 案例扩展

2.4.1 多隐含层 BP 神经网络

BP 神经网络由输入层、隐含层和输出层组成,隐含层根据层数又可以分为单隐含层和多隐含层。多隐含层由多个单隐含层组成,同单隐含层相比,多隐含层泛化能力强,预测精度高,但是训练时间较长。隐含层层数的选择要从网络精度和训练时间上综合考虑,对于较简单的映射关系,在网络精度达到要求的情况下,可以选择单隐含层,以求加快速度;对于复杂的映射关系,则可以选择多隐含层,以期提高网络的预测精度。

MATLAB 神经网络工具箱中的 `newff` 函数可以方便地构建包含多个隐含层的 BP 神经网络,其调用函数如下:

若您对此书内容有任何疑问,可以凭在线交流卡登录 MATLAB 中文论坛与作者交流。

```
net = newff(P,T,S,TF,BTF,BLF,PF,IFF,OPF,DDF)
```

根据 newff 的帮助文件可知 newff 函数的第一个参数 S 的解释如下。

S: Sizes of N-1 hidden layers, S1 to S(N-1), default [1]. (S_i 为第 i 个隐含层节点数, i=1:N-1)

从英文帮助可知, S 是不同隐含层包含的节点数向量, 通过配置 S 向量, 可以方便地得到包含多个隐含层的 BP 神经网络, 如下面语句:

```
net = newff(inputn,outputn,[5,5]);
```

该语句构建了双隐含层 BP 神经网络, 每个隐含层的节点数都是 5, 程序运行时显示的网络结构和运行过程如图 2-5 所示。

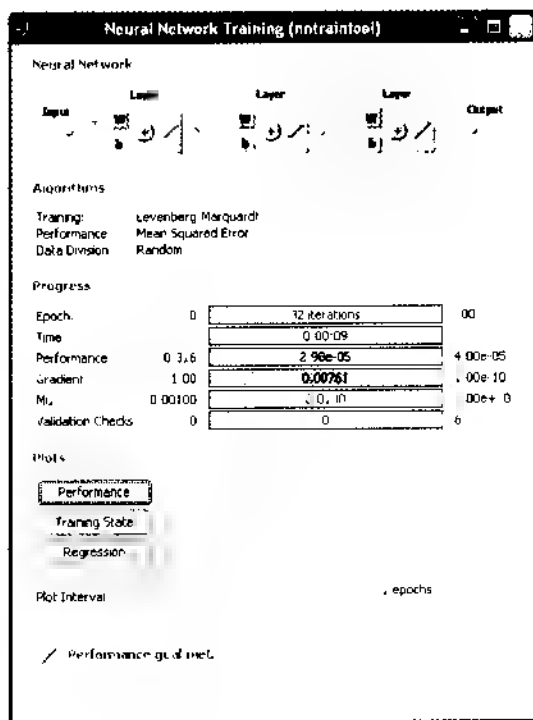


图 2-5 双隐含层 BP 神经网络

从运行时间和预测精度两个方面比较单隐含层 BP 神经网络和双隐含层 BP 神经网络的性能, 网络结构相同, 训练迭代都为 100 次, 比较 10 次预测结果平均值, 比较结果如表 2-1 所列。

表 2-1 BP 神经网络预测结果比较

网络类别	预测误差百分比	均方误差	运行时间/s
单隐含层 BP 神经网络	6.1%	0.76	0.003
双隐含层 BP 神经网络	6.2%	0.6	9.89

从表 2-1 可以看出,双隐含层 BP 神经网络同单隐含层 BP 神经网络相比,预测精度有所提高,但是运行时间有所增加。

2.4.2 隐含层节点数

BP 神经网络构建时应注意隐含层节点数的选择,如果隐含层节点数太少,BP 神经网络不能建立复杂的映射关系,网络预测误差较大。但是如果节点数过多,网络学习时间增加,并且可能出现“过拟合”现象,就是训练样本预测准确,但是其他样本预测误差较大。不同隐含层节点数 BP 神经网络预测误差如表 2-2 所列。

表 2-2 不同隐含层节点数 BP 神经网络预测误差

隐含层节点数	1	2	3	4	5	6	7	8	9
相对误差百分比	16%	7%	1.1%	0.5%	0.4%	0.3%	0.2%	0.1%	0.0%
运行时间/s	0.1	0.1	0.1	0.1	0.1	0.1	0.1	0.1	0.1

由于本案例拟合的非线性函数较为简单,所以 BP 神经网络预测误差随着节点数的增加而不断减少,但是对于复杂问题来说,网络预测误差随节点数增加一般呈现先减少后增加的趋势。

2.4.3 训练数据对预测精度影响

神经网络预测的准确性和训练数据的多少有较大的关系,尤其对于一个多输入多输出的网络,如果缺乏足够多的网络训练数据,网络预测值可能存在较大的误差。

笔者曾经做过一个 BP 神经网络预测实例,该实例通过建立一个 4 输入、7 输出 BP 神经网络预测实验结果。网络训练数据来自于真实实验,由于实验过程复杂,故只取到 84 组数据,选择其中 80 组数据作为 BP 神经网络训练数据,其余 4 组数据作为测试数据,训练后的 BP 神经网络预测结果如表 2-3 所列。

表 2-3 BP 神经网络预测结果

预测值					期望值				
输入 1	输入 2	输入 3	输入 4	输出 1	输出 2	输出 3	输出 4	输出 5	输出 6
0.01	0.7968	13	2.182	0.00	0.00	0.00	0.00	0.00	0.00
0.46	1.82	1.393	0.7336	0.482	0.2	0.80	1.4	0.0	0.0
318.8	11.8	0.24	0.756	0.92	0.60	0.60	1.670	1.600	1.600
0.6	0.2	0.66	9	1.00	4	8	2.60	3.00	3.00

从表 2-3 可以看出,由于缺乏训练数据,BP 神经网络没有得到充分训练,BP 神经网络预测值和期望值之间误差较大。

笔者曾经做过一个类似的预测问题,该问题的目的是构建一个 4 输入 4 输出的 BP 神经网络预测系统输出,训练数据来自于模型仿真结果。由于该模型可以通过软件模拟,所以得到多组数据,选择 150 组数据训练网络,最后网络预测值同期望值比较接近。

2.4.4 节点转移函数

MATLAB 神经网络工具箱中 newff 函数提供了几种节点转移函数,主要包括以下三种。

1) logsig 函数:

$$y = 1 / [1 + \exp(-x)] \quad (2-2)$$

2) tansig 函数:

$$y = 2 / [1 + \exp(-2x)] - 1 \quad (2-3)$$

3) purelin 函数:

$$y = x \quad (2-4)$$

在网络结构和权值、阈值相同的情况下,BP 神经网络预测误差和均方误差、输出层节点转移函数的关系如表 2-4 所列。

表 2-4 不同转移函数对应预测误差

隐含层函数	输出层函数	误差百分比	均方误差
logsig	tansig	40.63%	0.4025
logsig	purelin	0.08%	0.001
logsig	logsig	352.65%	181.2711
tansig	tansig	31.90%	1.1731
tansig	logsig	340.90%	1.649698
tansig	purelin	1.70%	1.07
purelin	logsig	343.36%	113.76334
purelin	tansig	120.38%	113.0281
purelin	purelin	196.49%	99.0121

从表 2-4 可以看出,隐含层和输出层函数的选择对 BP 神经网络预测精度有较大影响。一般隐含层节点转移函数选用 logsig 函数或 tansig 函数,输出层节点转移函数选用 tansig 或 purelin 函数。

2.4.5 网络拟合的局限性

BP 神经网络虽然具有较好的拟合能力,但其拟合能力不是绝对的,对于一些复杂系统,BP 神经网络预测结果会存在较大误差。比如对于

$$y = (x^2 + x_2^2)^2 \sin^2[50(x^2 + x_2^2)^{1/3}] + 1 \quad (2-5)$$

其函数图形如图 2-6 所示。

随机选取该函数 2000 组输入输出数据,从中取 1900 组数据训练网络,100 组数据测试网络拟合能力。采用单隐含层 BP 神经网络,网络结构为 2-5-1,网络训练 100 次后预测函数输出,预测结果如图 2-7 所示。

从图 2-7 可以看出,对于复杂的非线性系统,BP 神经网络预测误差较大。该例说明 BP 神经网络的拟合能力具有局限性。

若您对此书内容有任何疑问,可以凭在线交流卡登录 MATLAB 中文论坛与作者交流。

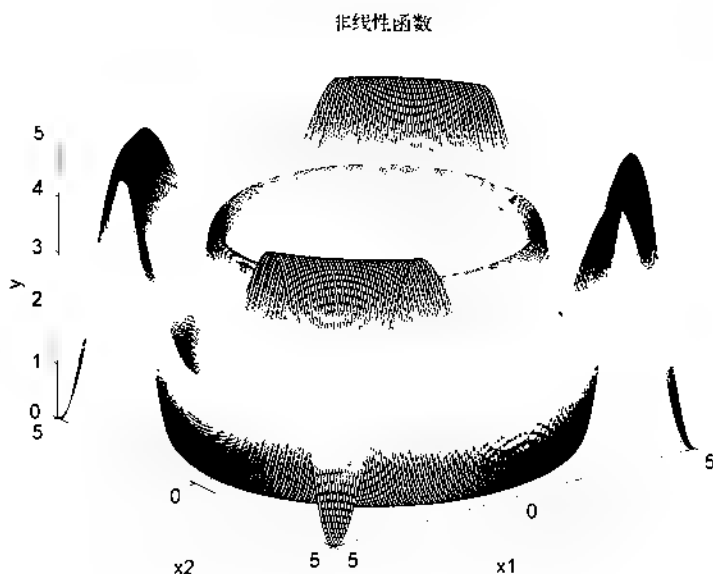


图 2-6 复杂函数图形

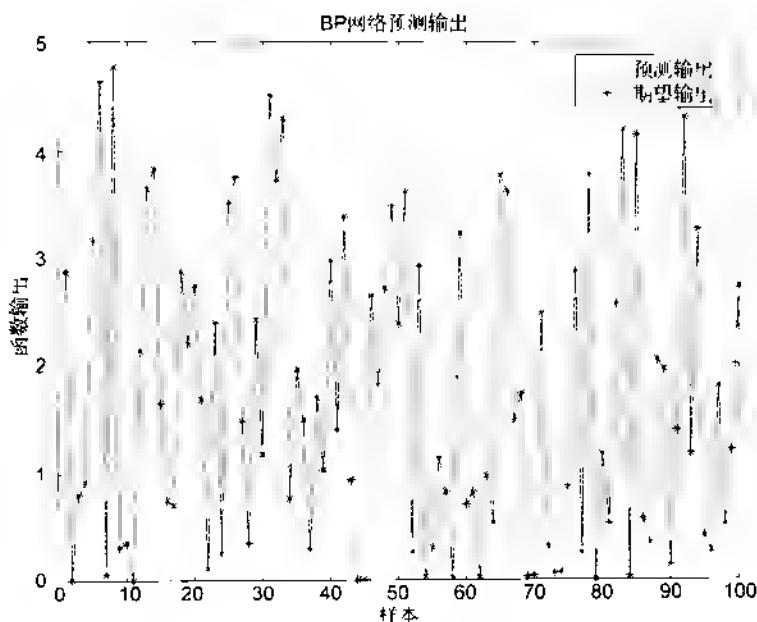


图 2-7 BP神经网络预测结果

若您对此书内容有任何疑问，可以凭在线交流卡登录 MATLAB 中文论坛与作者交流。

参考文献

- [1] 邓伟. BP神经网络构建与优化的研究及其在医学统计中的应用[D]. 上海: 复旦大学, 2002.
- [2] 林盾, 陈俐. BP神经网络在模拟非线性系统输出中的应用[J]. 武汉理工大学学报, 2003, 27

2013-11-31

1. 蝉 基于 BP 神经网络的短期负荷预测[J]. 武汉: 华中科技大学, 2007.

2. 陈敏 基于 BP 神经网络的混沌时间序列预测模型研究[D]. 长沙: 中南大学, 2007.

3. 林琳 基于 BP 神经网络的网络性能预测[D]. 长春: 吉林大学, 2004.

4. 雷晓文, 张丽霞, 梁新宇 基于 MATLAB 工具箱的 BP 神经网络年径流量预测模型研究[J]. 水文, 2008, 28(1): 45-48.

5. 刘双 基于 Matlab 神经网络工具箱的电力负荷组合预测模型[J]. 电力自动化设备, 2003, 3(1): 9-11.

第 3 章 遗传算法优化 BP 神经网络

——非线性函数拟合

3.1 案例背景

3.1.1 遗传算法原理

遗传算法 (Genetic Algorithms) 是 1962 年由美国 Michigan 大学 Holland 教授提出的模拟自然界遗传机制和生物进化论而成的一种并行随机搜索最优化方法。它把自然界“优胜劣汰, 适者生存”的生物进化原理引入优化参数形成的编码串群体中, 按照所选择的适应度函数并通过遗传中的选择、交叉和变异对个体进行筛选, 使适应度值好的个体被保留, 适应度差的个体被淘汰, 新的群体既继承了上一代的信息, 又优于上一代。这样反复循环, 直至满足条件。遗传算法基本的操作分为:

1. 选择操作

选择操作是指从旧群体中以一定概率选择个体到新群体中, 个体被选中的概率跟适应度值有关, 个体适应度值越好, 被选中的概率越大。

2. 交叉操作

交叉操作是指从个体中选择两个个体, 通过两个染色体的交换组合, 来产生新的优秀个体。交叉过程为从群体中任选两个染色体, 随机选择一点或多点染色体位置进行交换。交叉操作如图 3-1 所示。

A: 100 010 1 11 交叉 A: 1 00 010 0000
B: 1111 0 010000 → B: 11 1 0 01 11

图 3-1 交叉操作

3. 变异操作

变异操作是指从群体中任选一个个体, 选择染色体中的一点进行变异以产生更优秀的个体。变异操作如图 3-2 所示。

A: 100 010 1111 变异 → A: 11 0 010 1 01

图 3-2 变异操作

遗传算法具有高效启发式搜索、并行计算等特点, 目前已经应用在函数优化、组合优化以及生产调度等方面。

3.1.2 遗传算法的基本要素

遗传算法的基本要素包括染色体编码方法、适应度函数、遗传操作和运行参数。

其中染色体编码方法是指个体的编码方法,目前包括二进制法、实数法等。二进制法是指把个体编码成为一个二进制串,实数法是指把个体编码成为一个实数串。

适应度函数是指根据进化目标编写的计算个体适应度值的函数,通过适应度函数计算每个个体的适应度值,提供给选择算子进行选择。

遗传操作是指选择操作、交叉操作和变异操作。

运行参数是遗传算法在初始化时确定的参数,主要包括群体大小 M 、遗传代数 G 、交叉概率 P_c 和变异概率 P_m 。

3.1.3 拟合函数

本案例拟合的非线性函数为

$$y = x^2 + x_2^2 \quad (3-1)$$

该函数的图形如图 3-3 所示。

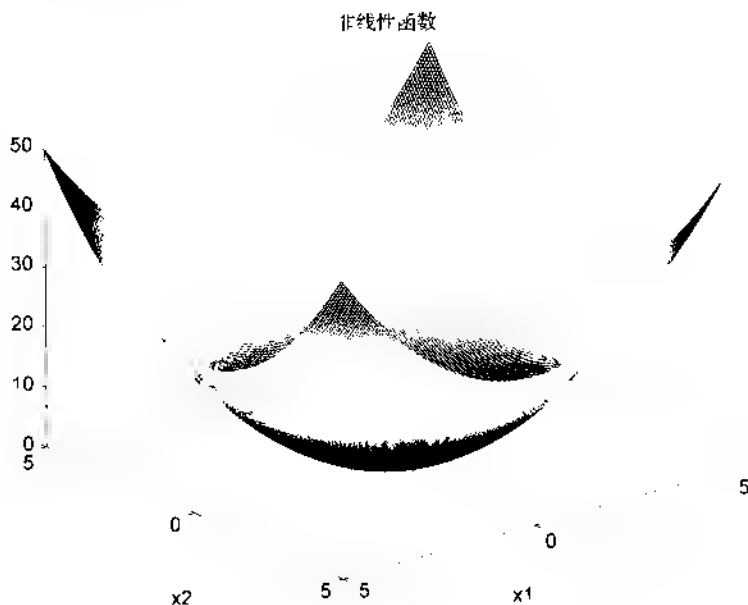


图 3-3 非线性函数图形

3.2 模型建立

3.2.1 算法流程

遗传算法优化 BP 神经网络算法流程如图 3-4 所示。

遗传算法优化 BP 神经网络分为 BP 神经网络结构确定、遗传算法优化和 BP 神经网络预测 3 个部分。其中, BP 神经网络结构确定部分根据拟合函数输入输出参数个数确定 BP 神经网络结构,进而确定遗传算法个体的长度。遗传算法优化使用遗传算法优化 BP 神经网络的权值和阈值,种群中的每个个体都包含了一个网络所有权值和阈值,个体通过适应度函数计算

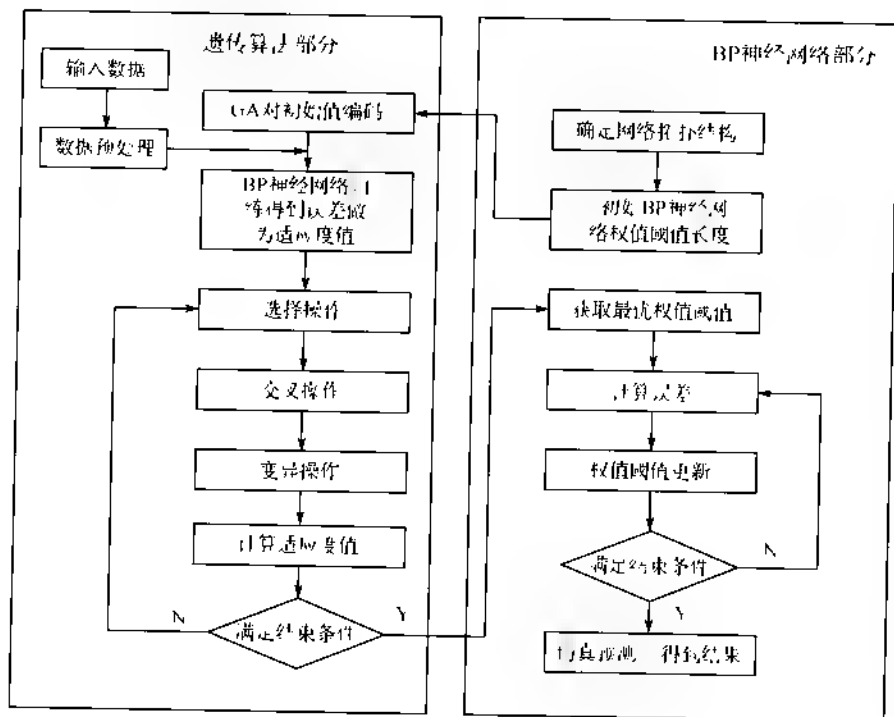


图 3-4 算法流程

个体适应度值,遗传算法通过选择、交叉和变异操作找到最优适应度值对应个体。BP神经网络预测用遗传算法得到最优个体对网络初始权值和阈值赋值,网络经训练后预测函数输出。

本案例中,由于拟合非线性函数有2个输入参数、1个输出参数,所以设置的BP神经网络结构为 $2-5-1$,即输入层有2个节点,隐含层有5个节点,输出层有1个节点,共有 $2 \times 5 + 5 \times 1 = 15$ 个权值, $5+1=6$ 个阈值,所以遗传算法个体编码长度为 $16+6=22$ 。从非线性函数中随机得到200组输入输出数据,从中随机选择190组作为训练数据,用于网络训练,10组作为测试数据。把训练数据预测误差绝对值和作为个体适应度值,个体适应度值越小,该个体越优。

3.2.2 遗传算法实现

遗传算法优化BP神经网络是用遗传算法来优化BP神经网络的初始权值和阈值,使优化后的BP神经网络能够更好地预测函数输出。遗传算法优化BP神经网络的要素包括种群初始化、适应度函数、选择操作、交叉操作和变异操作。

1. 种群初始化

个体编码方法为实数编码,每个个体均为一个实数串,由输入层与隐含层连接权值、隐含层阈值、隐含层与输出层连接权值以及输出层阈值4部分组成。个体包含了神经网络全部权值和阈值,在网络结构已知的情况下,就可以构成一个结构、权值、阈值确定的神经网络。

2. 适应度函数

根据个体得到BP神经网络的初始权值和阈值,用训练数据训练BP神经网络后预测系统

输出,把预测输出和期望输出之间的误差绝对值和 E 作为个体适应度值 F ,计算公式为

$$F = k \left(\sum_{i=1}^n |d_i - o_i| \right) \quad (3-2)$$

式中, n 为网络输入节点数, d_i 为 BP 神经网络第 i 个节点的期望输出, o_i 为第 i 个节点的预测输出; k 为系数。

3. 选择操作

遗传算法选择操作有轮盘赌法、锦标赛法等多种方法,本案例选择轮盘赌法,即基于适应度比例的选择策略,每个个体 i 的选择概率 p_i 为

$$p_i = \frac{f_i}{\sum_{j=1}^N f_j} \quad (3-3)$$

$$p = \frac{f_i}{\sum_{j=1}^N f_j} \quad (3-4)$$

式中, F_i 为个体 i 的适应度值,由于适应度值越小越好,所以在个体选择时对适应度值求倒数; k 为系数; N 为种群个体数目。

4. 交叉操作

由于个体采用实数编码,所以交叉操作方法采用实数交叉法,第 k 个染色体 a_k 和第 l 个染色体 a_l 在 b 处的交叉操作方法如下:

$$\begin{aligned} a_k &= a_k(1-b) + a_l b \\ a_l &= a_l(1-b) + a_k b \end{aligned} \quad (3-5)$$

式中, b 是 $[0,1]$ 间的随机数。

5. 变异操作

选取第 i 个个体的第 j 个基因 a_{ij} 进行变异,变异操作方法如下:

$$\begin{aligned} a_{ij} &= a_{ij} + (a_{ij} - a_{min}) * f(r) \quad r < 0.5 \\ a_{ij} &= a_{ij} - (a_{max} - a_{ij}) * f(r) \quad r > 0.5 \end{aligned} \quad (3-6)$$

式中, a_{max} 为基因 a 的上界; a_{min} 为基因 a 的下界; $f(r) = r(1 - G_{max})$; r 为一个随机数; G 为当前迭代次数; G_{max} 是最大进化次数; r 为 $[-1,1]$ 间的随机数。

3.3 编程实现

根据遗传算法和 BP 神经网络理论,在 MATLAB 软件中编程实现基于遗传算法优化的 BP 神经网络非线性系统拟合算法。遗传算法参数设置为:种群规模为 10,进化次数为 100 次,交叉概率为 0.4,变异概率为 0.2。MATLAB 代码如下。

3.3.1 适应度函数

适应度函数用训练数据训练 BP 神经网络,并把训练数据预测误差作为个体适应度值。

```
function error = fun(x,inputnum,hiddennum,outputnum,net,inputn,outputn)
%该函数用来计算适应度值
% x      input      个体
% inputnum input      输入层节点数
% outputnum input      隐含层节点数
```

```

% net      input      网络
% inputn   input      训练输入数据
% outputn  input      训练输出数据

% error    output     个体适应度值

% BP 神经网络初始权值和阈值,x 为个体
w1 = x(1,inputnum * hiddennum),
B1 = x(inputnum * hiddennum + 1,inputnum * hiddennum + hiddennum,;
w2 = x(inputnum * hiddennum + hiddennum + 1,inputnum * hiddennum + hiddennum + hiddennum * output-
num),
B2 = x(inputnum * hiddennum + hiddennum + hiddennum * outputnum + 1,inputnum * hiddennum + hidden-
num + hiddennum * outputnum + outputnum);

net iw 1,1 = reshape(w1,hiddennum,inputnum);
net lw{2,1} = reshape(w2,outputnum,hiddennum);
net b 1 = reshape(B1,hiddennum,1);
net b{2} = B2;

% BP 神经网络构建
net newff(inputn,outputn,hiddennum);
net trainParam epochs 20;
net trainParam lr = 0.1;
net trainParam goal 0.00001;
net trainParam show = 100;
net trainParam showWindow = 0;

% BP 神经网络训练
net train(net,inputn,outputn);

% BP 神经网络预测
an = sim(net,inputn);

% 预测误差和作为个体适应度值
error = sum(abs(an - outputn));

```

若您对此书内容有任何疑问，可以凭在线交流卡登录 MATLAB 中文论坛与作者交流。

3.3.2 选择操作

选择操作采用轮盘赌法从种群中选择适应度好的个体组成新种群。

```

function ret = select(individuals,sizepop)
% 该函数用于进行选择操作
% individuals input 种群信息
% sizepop      input 种群规模
% ret          output 选择后的新种群

```



```

% 求适应度值倒数
fitness1 = 10 ./ individuals fitness, % individuals fitness 为个体适应度值

% 个体选择概率
sumfitness = sum(fitness1),
sumf = fitness1 ./ sumfitness;

% 采用轮盘赌法选择新个体
index = [];
for i = 1:sizepop % sizepop 为种群数
    pick = rand,
    while pick == 0
        pick = rand,
    end
    for j = 1:sizepop
        pick = pick - sumf(j);
        if pick < 0
            index = [index i];
            break,
        end
    end
end
end

% 新种群
individuals chrom = individuals chrom(index, :); % individuals chrom 为种群中个体
individuals fitness = individuals fitness(index);
ret = individuals;

```

3.3.3 交叉操作

交叉操作从种群中选择两个个体，按一定概率交叉得到新个体。

```

function ret = Cross(pcross, lenchrom, chrom, sizepop, bound)
% 该函数用于进行交叉操作
% pcross          input    交叉概率
% lenchrom        input    个体长度
% chrom           input    种群个体
% sizepop         input    种群规模
% ret             output    交叉后的新种群

```

```

for i = 1:sizepop % sizepop 为种群个体数目

```

```

    % 选择两个个体
    pick = rand(1,2);
    while prod(pick) == 0

```

```

        pick = rand(1,2);
    end
    index = ceil(pick * sizepop);

% 判断是否交叉
    pick = rand;
    while pick == 0
        pick = rand;
    end
    if pick > pcross % pcross 为交叉概率
        continue;
    end
    flag = 0;
    while flag == 0
        % 选择交叉位置
        pick = rand;
        while pick == 0
            pick = rand;
        end
        pos = ceil(pick * sum(lenchrom)); % lenchrom 为个体长度

        % 个体交叉
        pick = rand;
        v1 = chrom(index(1),pos);
        v2 = chrom(index(2),pos);
        chrom(index(1),pos) = pick * v2 + (1 - pick) * v1;
        chrom(index(2),pos) = pick * v1 + (1 - pick) * v2;

        % 测试新个体是否满足约束要求
        flag1 = test(lenchrom,bound,chrom(index(1),:));
        flag2 = test(lenchrom,bound,chrom(index(2),:));
        if flag1 * flag2 == 0
            flag = 0;
        else flag = 1;
        end
    end
end
ret = chrom;

```

若您对此书内容有任何疑问，可以凭在线交流卡登录 MATLAB 中文论坛与作者交流。

3.3.4 变异操作

变异操作从种群中随机选择一个个体，按一定概率变异得到新个体。

```
function ret = Mutation(pmutation, lenchrom, chrom, sizepop, num, maxgen, bound)
```

% 该函数用于完成变异操作

% pcross input 变异概率

```

% lenchrom      input    个体长度
% chrom         input    种群个体
% sizepop       input    种群规模
% bound         input    个体上界和下界
% maxgen        input    最大迭代次数
% num           input    当前迭代次数
% ret           output   交叉后地新种群

for i = 1:sizepop % sizepop 为种群数

    % 变异概率
    pick = rand;
    while pick == 0
        pick = rand;
    end
    index = ceil(pick * sizepop);

    % 判断是否变异
    pick = rand;
    if pick > pmutation % pmutation 为变异概率
        continue;
    end
    flag = 0;
    while flag == 0
        % 随机选择变异位置
        pick = rand;
        while pick == 0
            pick = rand;
        end
        pos = ceil(pick * sum(lenchrom)); % lenchrom 为个体长度
        % 变异操作
        v = chrom(i,pos);
        v1 = v - bound(pos,1);
        v2 = bound(pos,2) - v;
        pick = rand;
        fg = (rand * (1 - num/maxgen))^2; % num 遗传算法 当前迭代次数, maxgen 总迭代次数
        if pick > 0.5
            chrom(i,pos) = chrom(i,pos) + (bound(pos,2) - chrom(i,pos)) * fg;
        else
            chrom(i,pos) = chrom(i,pos) - (chrom(i,pos) - bound(pos,1)) * fg;
        end
        flag = test(lenchrom,bound,chrom(i,:)); % 新个体是否满足约束要求
    end
end

ret = chrom;

```

若您对此书内容有任何疑问，可以凭在线交流卡登录 MATLAB 中文论坛与作者交流。

3.3.5 遗传算法主函数

遗传算法主函数流程为

步骤 1: 随机初始化种群;

步骤 2: 计算种群适应度值, 从中找出最优个体;

步骤 3: 选择操作;

步骤 4: 交叉操作;

步骤 5: 变异操作;

步骤 6: 判断进化是否结束, 若否, 则返回步骤 2。

主函数 MATLAB 代码主要部分如下。其中非线性函数的输入输出数据都在 data.mat 文件中, input 矩阵为输入数据, output 矩阵为输出数据。

```
% 清空环境变量
clc
clear

% 读取数据
load data input output

% 网络结构
inputnum = 2;
hiddennum = 5;
outputnum = 1;

% 取训练数据和预测数据
input_train = input(1:1900,:);
input_test = input(1901:2000,:);
output_train = output(1:1900);
output_test = output(1901:2000);

% 数据归一化
[inputn, inputps] = mapminmax(input_train);
[outputn, outputps] = mapminmax(output_train);

% 构建网络
net = newff(inputn, outputn, hiddennum);

% 遗传算法参数初始化
maxgen = 50; % 迭代次数
sizepop = 10; % 种群规模
pcross = [0 4]; % 交叉概率
pmutation = [0 2]; % 变异概率

% 节点总数
```

若您对此书内容有任何疑问, 可以凭在线交流卡登录 MATLAB 中文论坛与作者交流。

```

numsum = inputnum + hiddennum + hiddennum + hiddennum * outputnum + outputnum;

lenchrom = ones(1,numsum); % 个体长度
bound = [-3 * ones(numsum,1) 3 * ones(numsum,1)], % 个体范围

% 种群信息定义为结构体
individuals = struct('fitness',zeros(1,sizepop),'chrom',[1]);
avgfitness = []; % 每代平均适应度值
bestfitness = []; % 每代最佳适应度值
bestchrom = []; % 最优个体

% 计算个体适应度值
for i = 1:sizepop
    % 个体初始化
    individuals.chrom(i,:) = Code(lenchrom,bound);

    % 计算个体适应度值
    x = individuals.chrom(i,:);
    individuals.fitness(i) = fun(x,inputnum,hiddennum,outputnum,net,inputn,outputn);
end

% 迭代寻优
for i = 1:maxgen

    % 选择操作
    individuals = Select(individuals,sizepop);

    % 交叉操作
    individuals.chrom = Cross(pcross,lenchrom,individuals.chrom,sizepop,bound);

    % 变异操作
    individuals.chrom = Mutation(pmutation,lenchrom,individuals.chrom,sizepop,1,
    maxgen,bound);

    % 计算适应度值
    for j = 1:sizepop
        x = individuals.chrom(j,:); % 个体
        individuals.fitness(j) = fun(x,inputnum,hiddennum,outputnum,net,inputn,outputn);
    end

    % 寻找最优最差个体
    [newbestfitness,newbestindex] = min(individuals.fitness);
    [worstfitness,worstindex] = max(individuals.fitness);

    % 最优个体更新
    if bestfitness > newbestfitness
        bestfitness = newbestfitness;

```

```

        bestchrom = individuals chrom(newbestindex,:);
    end
    individuals chrom(worestindex,:) = bestchrom;
    individuals fitness(worestindex) = bestfitness;

    % 记录最优个体适应度值和平均适应度值
    avgfitness = sum(individuals fitness) / sizepop;
    trace [trace, avgfitness bestfitness],

end

```

3.3.6 遗传算法优化的BP神经网络函数拟合

把遗传算法得到的最优个体赋给BP神经网络,用该网络拟合非线性函数。

```

% 把最优个体x赋给BP神经网络权值和阈值
x = bestchrom
w1 = x(1,inputnum * hiddennum);
B1 = x(inputnum * hiddennum + 1,inputnum * hiddennum + hiddennum);
w2 = x(inputnum * hiddennum + hiddennum + 1,inputnum * hiddennum + hiddennum + hiddennum * output-
num);
B2 = x(inputnum * hiddennum + hiddennum + hiddennum * outputnum + 1,inputnum * hiddennum + hidden-
num + hiddennum * outputnum + outputnum);

net iw{1,1} = reshape(w1,hiddennum,inputnum);
net lw{2,1} = reshape(w2,outputnum,hiddennum);
net b{1} = reshape(B1,hiddennum,1);
net b{2} = B2;
% BP神经网络参数
net.trainParam epochs = 100;
net.trainParam lr = 0.1;
% net.trainParam goal = 0.00001;

% BP神经网络训练
[net,per2] = train(net,inputn,outputn);

% BP神经网络预测
inputn_test = mapminmax('app.y',input_test,inputps);
an = sim(net,inputn_test);

% 预测结果反归一化
test_s.mu = mapminmax('reverse',an,outputps);

```

若您对此书内容有任何疑问,可以凭在线交流卡登录MATLAB中文论坛与作者交流。

3.3.7 结果分析

遗传算法优化过程中最优个体适应度值变化如图3-5所示。

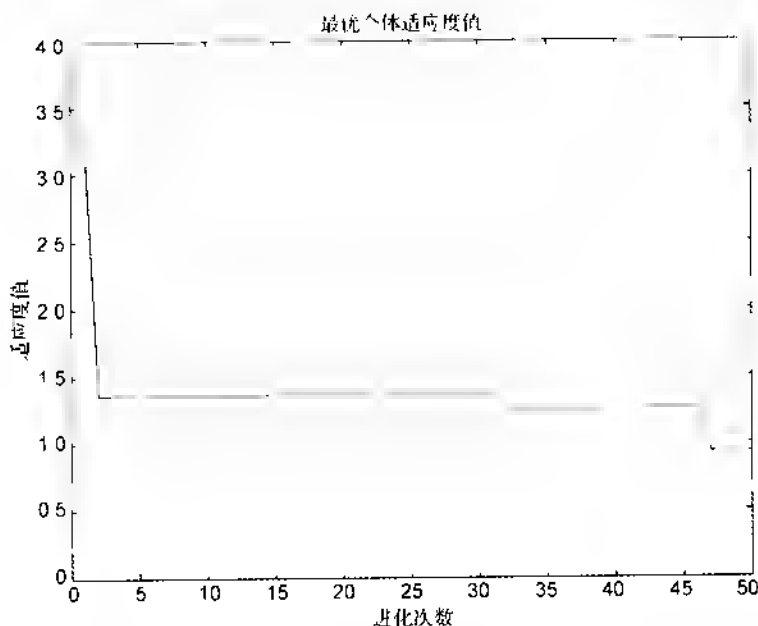


图 3-5 最优个体适应度值

遗传算法优化得到的 BP 神经网络最优初始权值和阈值如表 3.1 所列。

表 3.1 最优初始权值阈值

输入层隐含层间权值	33.6	1.3334	2.5488	-0.446	0.9	-0.281	0.222	-0.164	0.71	4.4
隐含层输出阈值	1.5814	0.88	0.404	0.21	2.1973					
隐含层输入层权值	2.7668	0.63	0.74	-1.6147	2.131					
输入层输出阈值	0.626									

把最优初始权值和阈值赋给神经网络,用训练数据训练 100 次后预测非线性函数输出,预测误差如图 3-6 所示。

从图 3-6 可以看出,遗传算法优化的 BP 网络预测更加精确,并且遗传算法优化 BP 网络预测的均方误差为 5.3704×10^{-4} ,而未优化 BP 网络的均方误差为 1.8876×10^{-3} ,预测均方误差也得到了很大改善。

3.4 案例扩展

3.4.1 其他优化方法

遗传算法优化 BP 神经网络的目的是通过遗传算法得到更好的网络初始权值和阈值,其基本思想就是用个体代表网络的初始权值和阈值、个体值初始化的 BP 神经网络的预测误差作为该个体的适应度值,通过选择、交叉、变异操作寻找最优个体,即最优的 BP 神经网络初始权值。除了遗传算法之外,还可以采用粒子群算法、蚁群算法等优化 BP 神经网络初始权值。

若您对此书内容有任何疑问,可以凭在线交流卡登录 MATLAB 中文论坛与作者交流。

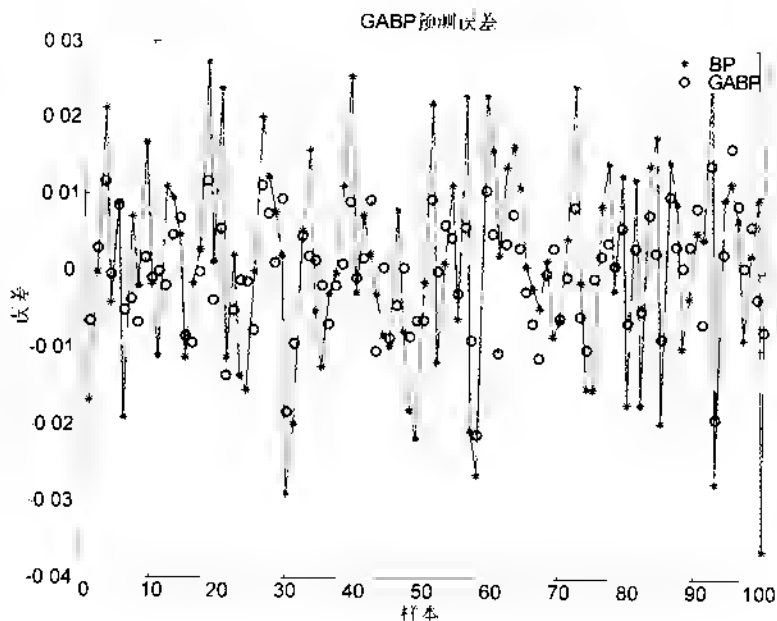


图 3-6 GA 优化 BP 网络预测误差

本案例同时实现了基于 PSO 算法(粒子群算法)的 BP 神经网络权值阈值优化,每个粒子代表了神经网络的权值和阈值,通过粒子寻优找到网络最佳的初始权值和阈值。粒子群算法具体操作方法见第 27 章,基本参数为:种群规模为 30,进化次数为 50,粒子群算法优化过程中最优个体适应度值变化过程如图 3-7 所示。

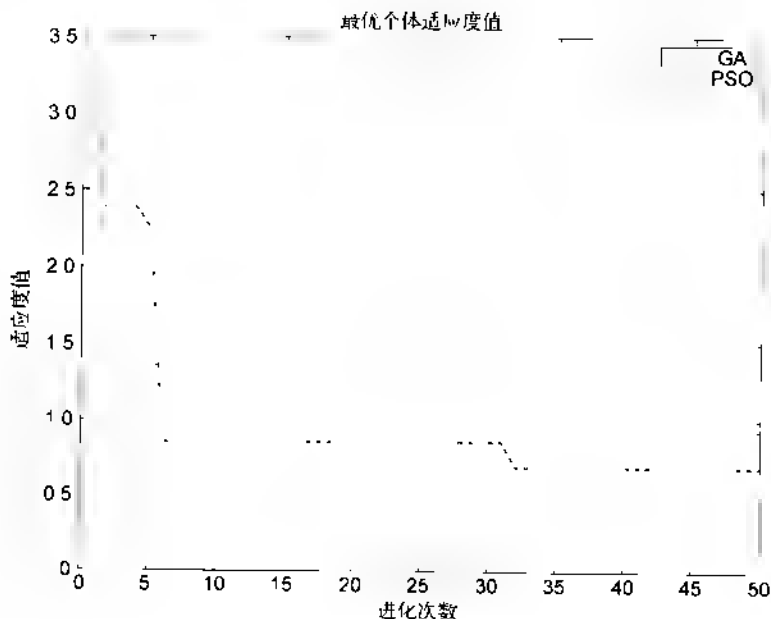


图 3-7 PSO 算法优化过程

把 PSO 算法得到的最优初始权值和阈值赋给神经网络,用训练数据训练 100 次后预测非线性函数输出,预测误差如图 3-8 所示。

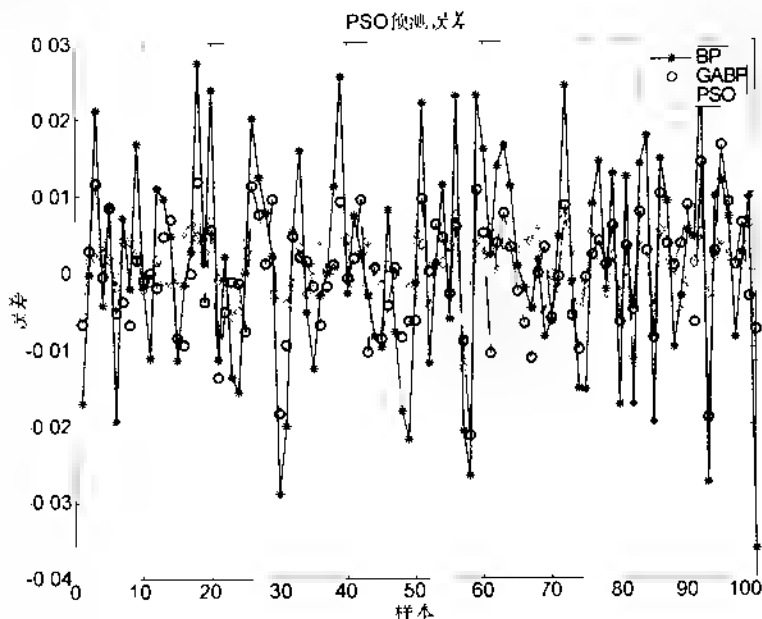


图 3-8 PSO 算法预测误差

从预测结果可以看出,基于 PSO 优化的 BP 神经网络预测误差更小,PSO 算法优化 BP 神经网络预测精度效果优于 GA 算法优化 BP 神经网络预测精度。

3.4.2 网络结构优化

有学者研究了基于遗传算法优化的 BP 神经网络结构优化算法,用遗传算法优化 BP 神经网络隐含层节点数目,对于时间序列预测问题,还可以用于优化输入层节点数。对于结构优化问题,种群个体采用二进制编码,适应度函数为预测误差,通过选择、交叉和变异操作得到 BP 神经网络最优结构。但是对于结构优化算法,由于权值阈值随机初始化,相同结构网络每次预测结果都不相同,因此算法优化效果有限。有学者提出一种用遗传算法同时优化 BP 神经网络结构和权值的算法,个体编码分为两部分,前面一部分表示网络结构,后面一部分表示权值,但是由于个体长度不相同,个体间无法进行交叉操作,因此该方法的可用性不高。

3.4.3 算法的局限性

遗传算法优化 BP 神经网络是对普通 BP 神经网络的一种优化方法,如果把 BP 神经网络看成是一个预测函数,遗传算法优化 BP 神经网络相当于优化预测函数中的参数,优化后 BP 神经网络的预测效果一般优于未优化的 BP 网络。但是该算法是有局限性的,它只能有限提高原有 BP 神经网络的预测精度,并不能把预测误差较大的 BP 神经网络优化为能够准确预测的 BP 神经网络。尤其对一些因为样本数量少、样本分布不均匀而造成神经网络预测误差大的问题,优化后的网络预测能力一般不能得到明显提高。

参考文献

- [1] 吴仕勇. 基于数值计算方法的BP神经网络及遗传算法的优化研究[D]. 昆明: 云南师范大学, 2006.
- [2] 李明. 基于遗传算法改进的BP神经网络的城市人居环境质量评价研究[D]. 沈阳: 辽宁师范大学, 2007.
- [3] 王学会. 遗传算法和BP网络在发酵模型中的应用[D]. 天津: 天津大学, 2007.
- [4] 李华. 基于一种改进遗传算法的神经网络[D]. 太原: 太原理工大学, 2007.
- [5] 侯林波. 基于遗传神经网络算法的基坑工程优化反馈分析[D]. 大连: 大连海事大学, 2009.
- [6] 吴建生. 基于遗传算法的BP神经网络气象预测建模[D]. 南宁: 广西师范大学, 2011.
- [7] 黄继红. 基于改进PSO的BP网路的研究应用[D]. 长沙: 长沙理工大学, 2008.
- [8] 段侯峰. 基于遗传算法优化BP神经网络的变压器故障诊断[D]. 北京: 北京交通大学, 2008.

若您对此书内容有任何疑问, 可以凭在线交流卡登录MATLAB中文论坛与作者交流。

第 4 章 神经网络遗传算法函数极值寻优

——非线性函数极值寻优

4.1 案例背景

对于未知的非线性函数,仅通过函数的输入输出数据难以准确寻找函数极值。这类问题可以通过神经网络结合遗传算法求解,利用神经网络的非线性拟合能力和遗传算法的非线性寻优能力寻找函数极值。本章用神经网络遗传算法寻优如下非线性函数极值,该函数表达式为

$$y = x^2 - x \quad (4-1)$$

函数的图形如图 4-1 所示。



图 4-1 非线性函数图形

从函数方程和图形可以看出,该函数的全局最小值为 0,对应的坐标为(0,0)。虽然从函数方程和图形中很容易找出函数极值及极值对应坐标,但是在函数方程未知的情况下函数极值及极值对应坐标就很难找到。

4.2 模型建立

神经网络遗传算法函数极值寻优主要分为BP神经网络训练拟合和遗传算法极值寻优两步,算法流程如图4-2所示。

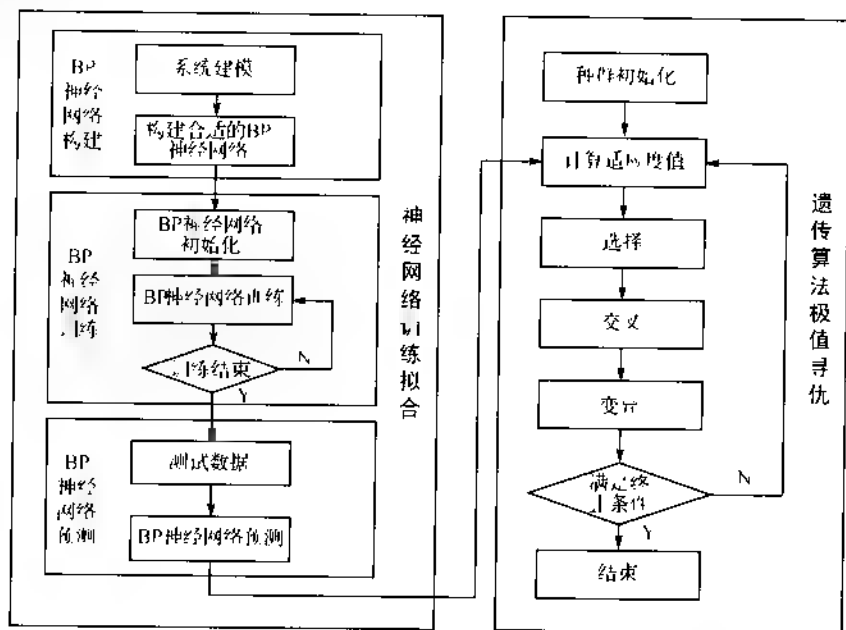


图4-2 算法流程图

神经网络训练拟合根据目标函数的特点构建合适的BP神经网络,用非线性函数的输入输出数据训练BP神经网络,训练后的BP神经网络就可以预测函数输出。遗传算法极值寻优把训练后的BP神经网络预测结果作为个体适应度值,通过选择、交叉和变异操作寻找函数的全局最优值及对应输入值。

对于本案例来说,根据非线性函数有2个输入参数、1个输出参数,确定BP神经网络结构为2-5-1。取函数的4000组输入输出数据,从中随机选取3000组数据训练网络,100组数据测试网络性能,网络训练好后用于预测非线性函数输出。

遗传算法中个体采用实数编码,由于目标函数只有2个输入参数,所以个体长度为2。个体适应度值为BP神经网络预测值,适应度值越小,个体越优。选择算子、交叉算子和变异算子同第3章介绍各算子一致,交叉概率为0.1,变异概率为0.2。

4.3 编程实现

根据神经网络和遗传算法原理,在MATLAB中编程实现神经网络遗传算法非线性函数寻优。

若您对此书内容有任何疑问,可以凭在线交流卡登录MATLAB中文论坛与作者交流。

4.3.1 BP 神经网络训练

用函数输入输出数据训练 BP 神经网络,使训练后的网络能够拟合非线性函数输入,保存训练好的网络用于计算个体适应度值。根据非线性函数方程随机得到该函数的 4 000 组输入输出数据,存储于 data 中,其中 input 为函数输入数据,output 为函数对应输出数据,从中随机抽取 3 900 组训练数据训练网络,100 组测试数据测试网络拟合性能。最后保存训练好的网络。

```
% 下载输入输出数据
load data input output

% 从 1 到 4000 随机排序
k = rand(1,4000);
[m,n] = sort(k),

% 找出训练数据和预测数据
input_train = input(n(1,3900),:)',
output_train = output(n(1,3900),:)',
input_test = input(n(3901,4000),:)',
output_test = output(n(3901,4000),:)',

% 数据归一化
[inputn,inputs] = mapminmax(input_train);
[outputn,outputps] = mapminmax(output_train),

% 构建 BP 神经网络
net = newff(inputn,outputn,5),

net.trainParam.epochs = 100,
net.trainParam.lr = 0.1;
net.trainParam.goal = 0.0000004,

% BP 神经网络训练
net = train(net,inputn,outputn),

% 测试样本归一化
inputn_test = mapminmax('apply',input_test,inputs);

% BP 神经网络预测
an = sim(net,inputn_test);

% 预测结果反归一化 BPOutput = mapminmax('reverse',an,outputps),

% 网络存储
save data net inputs outputps
```

若您对此书内容有任何疑问,可以凭在线交流卡登录 MATLAB 中文论坛与作者交流。

```
% 网络预测图形
figure(1)
plot(BPoutput,':og')
hold on
plot(output_test,'- *');
legend('预测输出','期望输出',fontSize,12)
title('BP 网络预测输出',fontSize,12)
xlabel('样本',fontSize,12)
ylabel('输出',fontSize,12)
```

4.3.2 适应度函数

把训练好的 BP 神经网络预测输出作为个体适应度值。

```
function fitness = fun(x)
% 计算个体适应度值
% x          input      个体
% fitness    output     个体适应度值

% 神经网络下载
load data net inputs outputs

% 输入数据归一化
inputn_test = mapminmax('apply',x,inputs); % x 为个体

% 神经网络预测
an = sim(net,inputn_test);

% 预测数据反归一化做为适应度值
fitness = mapminmax('reverse',an,outputs);
```

4.3.3 遗传算法主函数

遗传算法主函数 MATLAB 代码如下。

```
% 清空环境变量
clc
clear

% 遗传算法参数
maxgen = 100; % 进化次数
sizepop = 20; % 种群规模
pcross = 0.4; % 交叉概率
pmutation = 0.2; % 变异概率
lenchrom = [1 1]; % 每个变量长度
```

若您对此书内容有任何疑问，可以凭在线交流卡登录 MATLAB 中文论坛与作者交流。

```

bound = [-5 5; -5 5]; % 变量边界

individuals = struct('fitness',zeros(1,sizepop),'chrom',[]); % 种群信息结构体
avgfitness = []; % 种群每代平均适应度值
bestfitness = []; % 种群每代最优适应度值
bestchrom = []; % 最优个体

% 初始化个体
for i = 1:sizepop
    % 个体初始化
    individuals.chrom(i,:) = Code(lenchrom,bound,i);
    x = individuals.chrom(i,:);
    % 个体适应度值
    individuals.fitness(i) = fun(x);
end

% 寻找最优个体
[bestfitness,bestindex] = min(individuals.fitness);
bestchrom = individuals.chrom(bestindex,:);
avgfitness = sum(individuals.fitness)/sizepop; % 平均适应度值
% 记录最优适应度和平均适应度
trace = [avgfitness,bestfitness];

% 迭代开始
for i = 1:maxgen
    % 选择操作
    individuals = Select(individuals,sizepop);
    avgfitness = sum(individuals.fitness)/sizepop;
    % 交叉操作
    individuals.chrom = Cross(pcross,lenchrom,individuals.chrom,sizepop,bound);
    % 变异操作
    individuals.chrom = Mutation(pmutation,lenchrom,individuals.chrom,sizepop,[1,maxgen],bound);
    % 计算适应度值
    for j = 1:sizepop
        x = individuals.chrom(j,:);
        individuals.fitness(j) = fun(x);
    end

    % 找最优和最差个体
    [newbestfitness,newbestindex] = min(individuals.fitness);
    [worestfitness,worestindex] = max(individuals.fitness);
    % 更新最优个体
    if bestfitness > newbestfitness
        bestfitness = newbestfitness;
        bestchrom = individuals.chrom(newbestindex,:);
    end

    individuals.chrom(worestindex,:) = bestchrom;
    individuals.fitness(worestindex) = bestfitness;
end

```

若您对此书内容有任何疑问，可以凭在线交流卡登录 MATLAB 中文论坛与作者交流。

```

avgfitness = sum(individuals fitness)/sizepop;

% 记录该代最优适应度和最差适应度
trace = [trace; avgfitness bestfitness];
end

% 遗传算法进化过程曲线
figure(1)
plot(trace(:,2))
title('适应度变化曲线','fontsize',12)
xlabel('进化次数','fontsize',12)
ylabel('适应度','fontsize',12)

```

4.3.4 结果分析

1. BP 神经网络拟合结果分析

本案例中个体的适应度值为 BP 神经网络预测值,因此 BP 神经网络预测精度对于最优位置的寻找具有非常重要的意义。由于寻优非线性函数有 2 个输入参数、1 个输出参数,所以构建的 BP 神经网络的结构为 2-5-1。共取非线性函数 4 000 组输入输出数据,从中随机选择 3 900 组数据训练 BP 神经网络,100 组数据作为测试数据测试 BP 神经网络拟合性能, BP 神经网络预测输出和期望输出对比如图 4-3 所示。

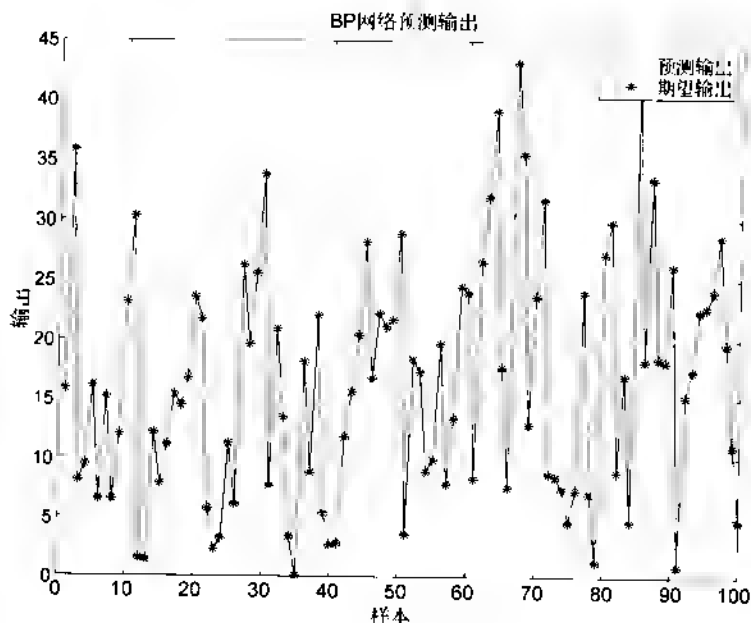


图 4-3 网络预测输出

若您对此书内容有任何疑问,可以凭在线交流卡登录 MATLAB 中文论坛与作者交流。

从 BP 神经网络预测结果可以看出, BP 神经网络可以准确预测非线性函数输出, 可以把网络预测输出近似看成函数实际输出。

2. 遗传算法寻优结果分析

BP 神经网络训练结束后, 可以用遗传算法寻找该非线性函数的最小值, 遗传算法的迭代次数是 100 次, 种群规模是 20, 交叉概率为 0.4, 变异概率为 0.2, 采用浮点数编码, 个体长度为 2, 优化过程中最优个体适应度值变化曲线如图 1-4 所示。

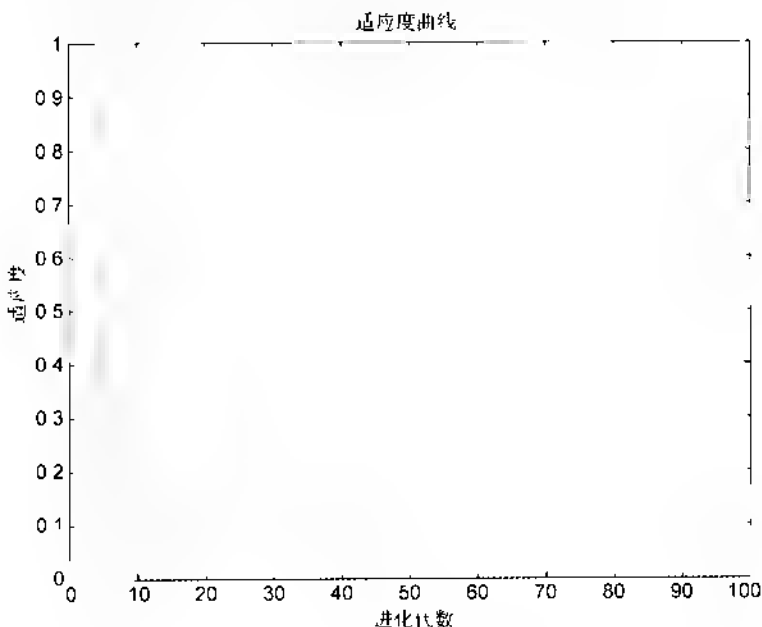


图 1-4 适应度变化曲线

遗传算法得到的最优个体适应度值为 0.0206, 最优个体为 [0.3333 0.3333], 最优个体适应度值同非线性函数实际最小值和最小值对应坐标 (0,0) 非常接近, 说明了该方法的有效性。

4.4 案例扩展

4.4.1 工程实例

本案例所使用的方法有比较重要的工程应用价值, 比如对应某项试验来说, 试验目的是得到最大试验结果对应下的试验条件。但是由于时间和经费限制, 该试验只能进行有限次, 可能单靠试验结果找不到最优的试验条件。这时可以在已知试验数据的基础上, 通过本案例介绍的神经网络遗传算法寻找最优试验条件。思路为先根据试验条件数和试验结果数确定 BP 神经网络结构, 然后把试验条件作为输入数据, 试验结果作为输出数据训练 BP 网络, 训练后的网络就可以预测一定试验条件下的试验结果。然后把试验条件作为遗传算法中种群个体, 把网络预测的试验结果作为个体适应度值, 通过遗传算法推导最优试验结果及其对应试验条

件。已知实验数据如表4.1所列

表 4.1 实验数据

实验条件				实验结果
添加物/kg	温度/℃	添加物/kg	时间/s	产量/kg
3	0	1.70	10	2.8
		1.7	5	27.6
	0	1.70	60	3.2
		1.7	5	16.3
1	1	1.70	60	3.6
		1.7	4	44.5
	2	1.7	10	6.7
		7	6	1
1	1	6.7	40	16.4
1	1	1.7	6	62.7
4		7	80	4.7
40		7	3	3.9
3	1	1.6	8	5.9
		1.7	6	66.2
	2	1.6	8	4.6
		7	6	7.5
5	1	1.7	60	71.2
	2	1.7	4	5

在试验中获得的最大实验结果为712,对应的实验条件为[1.0 1.7 1.700 6.7]。在实验数据的基本上,采用神经网络遗传算法寻优。选择的BP网络结构为4-10-1,遗传算法的迭代次数是100次,种群规模是20,交叉概率0.4,变异概率0.2,采用浮点数编码,个体长度为4,最后得到的最优实验结果为745,对应的实验条件为[42.2 16.6 1692.6 64.6],该结果可以为最优实验条件的选择提供参考。

4.4.2 预测精度探讨

BP神经网络预测精度的好坏和寻优结果有着密切的关系。BP神经网络预测越准确,寻优得到的最优值越接近实际最优值,这就需要在网络训练时采用尽可能多的训练样本。笔者曾经做过两个类似问题,一个是寻找3输入1输出系统的最大输出对应最优输入值,训练样本多达1万,神经网络预测效果非常好,最后得到预测最优值和真实最优值非常相近,误差在10%以内。一个是寻找3输入3输出系统的最大输出对应输入值,训练样本只有二百多,神经网络预测的误差较大,最后寻优得到的最优值和真实最优值的误差在20%以上。并且由于BP神经网络的拟合性能的局限性,并不是所有的系统都能够用BP神经网络精确表达,在方法使用上,应该加以注意。

若您对此书内容有任何疑问,可以凭在线交流卡登录MATLAB中文论坛与作者交流。

参考文献

- [1] 邓虎. 基于神经网络和遗传算法的凸轮轴数控磨削工艺参数优化[D]. 长沙: 湖南大学, 2008.
- [2] 刘福国. 双人1神经网络建模及约束条件下的遗传优化[J]. 动力工程, 2007, 27(3): 357-361.
- [3] 1. 异亮氨酸发酵培养基的遗传算法优化及发酵过程的神经网络建模[J]. 天津师范大学学报, 2003, 23(1): 46-50.
- [4] 方柏山. 基于神经网络和遗传算法的木糖醇发酵培养基优化研究[J]. 生物工程学报, 2000, 16(5): 648-650.
- [5] 1. 肌氨酸发酵培养基的神经网络建模与遗传算法优化[J]. 生物技术通讯, 2005, 16(2): 156-158.

第 5 章 基于 BP_Adaboost 的强分类器设计

——公司财务预警建模

5.1 案例背景

5.1.1 BP_Adaboost 模型

Adaboost 算法的思想是合并多个“弱”分类器的输出以产生有效分类。其主要步骤为,首先给出弱学习算法和样本空间 (x, y) , 从样本空间中找出 m 组训练数据, 每组训练数据的权重都是 $1/m$ 。然后用弱学习算法迭代运算 T 次, 每次运算后都按照分类结果更新训练数据权重分布, 对于分类失败的训练个体赋予较大权重, 下一次迭代运算时更加关注这些训练个体。弱分类器通过反复迭代得到一个分类函数序列 f_1, f_2, \dots, f_T , 每个分类函数赋予一个权重, 分类结果越好的函数, 其对应权重越大。 T 次迭代之后, 最终强分类函数 F 由弱分类函数加权得到。BP_Adaboost 模型即把 BP 神经网络作为弱分类器, 反复训练 BP 神经网络预测样本输出, 通过 Adaboost 算法得到多个 BP 神经网络弱分类器组成的强分类器。

5.1.2 公司财务预警系统介绍

公司财务预警系统是为了防止公司财务系统运行偏离预期目标而建立的报警系统, 具有针对性和预测性等特点。它通过公司的各项指标综合评价并预测公司财务状况、发展趋势和变化, 为决策者科学决策提供智力支持。

财务危机预警指标体系中的指标可分为表内信息指标、盈利能力指标、偿还能力指标、成长能力指标、线性流量指标和表外信息指标六类指标, 每项大指标又分为若干小指标, 如盈利能力指标又可分为净资产收益率、总资产报酬率、每股收益、主营业务利润率和成本费用利润率等。在用于公司财务预警预测时, 如果对所有指标都进行评价后综合, 模型过于复杂, 并且各指标间相关性较强, 因此在模型建立前需要筛选指标。

指标筛选分为显著性分析和因子分析两步。显著性分析通过 T 检验方法分析 ST 公司和非 ST 公司, 在财务指标中找出差别较大、能够明显区分两类公司的财务指标。因子分析在显著性分析基础上对筛选出来的指标计算主成分特征值, 从中找出特征值大的指标作为公司危机预警方法的最终评价指标。最终找出成本费用利润率、资产营运能力、公司总资产、总资产增长率、流动比率、营业现金流量、审计意见类型、每股收益、存货周转率和资产负债率十项指标作为评价指标, 该十项指标能够比较全面地反映出公司的财务状况。

5.2 模型建立

基于 BP_Adaboost 模型的公司财务预警算法流程如图 5-1 所示。

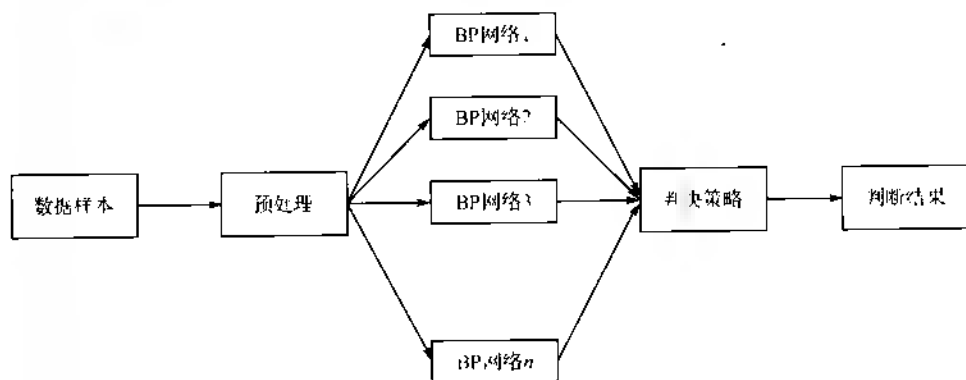


图 5-1 算法流程

算法步骤如下。

步骤 1: 数据选择和网络初始化。从样本空间中随机选择 m 组训练数据, 初始化测试数据的分布权值 $D_i(i) = 1/m$, 根据样本输入输出维数确定神经网络结构, 初始 BP 神经网络权值和阈值。

步骤 2: 弱分类器预测。训练第 t 个弱分类器时, 用训练数据训练 BP 神经网络并且预测训练数据输出, 得到预测序列 $g(t)$ 的预测误差和 e , 误差和 e 的计算公式为

$$e = \sum D_i(i) \quad i = 1, 2, \dots, m (g(t) \neq y) \quad (5-1)$$

式中, g, t 为预测分类结果; y 为期望分类结果。

步骤 3: 计算预测序列权重。根据预测序列 $g(t)$ 的预测误差 e 计算序列的权重 α , 权重计算公式为

$$\alpha = \frac{1}{2} \ln \left(\frac{1-e}{e} \right) \quad (5-2)$$

步骤 4: 测试数据权重调整。根据预测序列权重 α 调整下一轮训练样本的权重, 调整公式为

$$D_{i+1}(i) = \frac{D_i(i)}{B} * \exp[-\alpha y g(i)] \quad i = 1, 2, \dots, m \quad (5-3)$$

式中, B 是归一化因子, 目的是在权重比例不变的情况下使分布权值和为 1。

步骤 5: 强分类函数。训练 T 轮后得到 T 组弱分类函数 $f(g, \alpha)$, 由 T 组弱分类函数 $f(g, \alpha)$ 组合得到了强分类函数 $h(x)$ 。

$$h(x) = \text{sgn} \left[\sum_{t=1}^T \alpha_t * f(g, \alpha_t) \right] \quad (5-4)$$

对于本案例来说, 共有 1350 组公司财务状况数据, 每组数据的输入为 10 维, 代表上述的 10 个指标, 输出为 1 维, 代表公司财务状况, 为 1 时表示财务状况良好, 为 -1 时表示财务状况出现问题。从中随机选取 1000 组数据作为训练数据, 350 组数据作为测试数据。根据数据维数, 采用的 BP 神经网络结构为 $10-6-1$, 共训练生成 10 个 BP 神经网络弱分类器, 最后用 10 个弱分类器组成强分类器对公司财务状况进行分类。

若您对此书内容有任何疑问, 可以凭在线交流卡登录 MATLAB 中文论坛与作者交流。

5.3 编程实现

根据 Adaboost 和 BP 神经网络原理,编程实现基于 BP Adaboost 算法的公司财务预警建模。

5.3.1 数据集选择

从样本空间中选样训练样本,测试样本,并对测试样本分配权重,其中训练数据和测试数据存储在 data 文件中, input_train,output_train 为训练输入输出数据,input_test,output_test 为预测输入输出数据。

```
% 清空环境变量
clc
clear

% 下载数据
load data input_train output_train input_test output_test

% 测试样本权重
[mm,nn]=size(input_train);
D(1,:)=ones(1,nn)/nn;
```

5.3.2 弱分类器学习分类

把 BP 神经网络看作弱分类器,经过训练后分类训练样本,并且根据训练样本分类结果调整训练样本权重值,最终得出 一系列弱分类器及其权重。为了体现出强分类器分类效果,本例降低了 BP 神经网络训练次数以降低弱分类器分类能力。

```
K=10; % 若分类器数量
for i=1:K

    % 训练样本归一化
    [inputn,inputps]=mapminmax(input_train);
    [outputn,outputps]=mapminmax(output_train);
    error(i)=0;

    % BP 神经网络构建
    net=newff(inputn,outputn,6);
    net.trainParam.epochs=4;
    net.trainParam.lr=0.1;
    net.trainParam.goal=0.00004;

    % BP 神经网络训练
    net=train(net,inputn,outputn);
```

若您对此书内容有任何疑问,可以凭在线交流卡登录 MATLAB 中文论坛与作者交流。

```
% 训练数据预测
an1 = sim(net,inputn);
test_simul(1,:) = mapminmax('reverse',an1,outputps);

% 测试数据预测
inputn_test = mapminmax('apply',input_test,inputps);
an = sim(net,inputn_test);
test_simul(1,:) = mapminmax('reverse',an,outputps);

% 统计输出结果
kk1 = find(test_simul(1,:) > 0);
kk2 = find(test_simul(1,:) < 0);

aa(kk1) = 1;
aa(kk2) = -1;

% 统计错误样本数
for j = 1:nn
    if aa(j) ~ output_train(j),
        error(1) = error(1) + D(1,j);
    end
end

% 若分类器 1 权重
at(1) = 0.5 * log((1 - error(1)) / error(1));

% 更新 D 值
for j = 1:nn
    D(1+1,j) = D(1,j) * exp(- at(1) * aa(j) * test_simul(1,j));
end

% D 值归一化
Dsum = sum(D(1+1,:));
D(1+1,:) = D(1+1,:)/Dsum;

end
```

5.3.3 强分类器分类和结果统计

由 10 组弱分类器 BP 网络组成强分类器对分析样本进行分类,并统计分类误差。

```
% 强分类器分类结果
output = sign(at * test_simul);

% 统计强分类器每类分类错误个数
kkk1 = 0;
kkk2 = 0;
for j = 1:350
```

```

if output(j) == 1
    if output(j) ~= output_test(j)
        kkk1 = kkk1 + 1;
    end
end
if output(j) == -1
    if output(j) ~= output_test(j)
        kkk2 = kkk2 + 1;
    end
end
end

% 统计弱分类器每类分类误差个数
for i = 1:K
    error1(i) = 0;
    kk1 = find(test_simu(1,:) > 0);
    kk2 = find(test_simu(1,:) < 0);

    aa(kk1) = 1;
    aa(kk2) = -1;

    for j = 1:350
        if aa(j) ~= output_test(j);
            error1(i) = error1(i) + 1;
        end
    end
end
end

```

5.3.4 结果分析

分析样本共有 350 组数据,采用 10 个 BP 弱分类器组成的强分类器分类公司财务运行状况,分类误差统计如表 5.1 所列。

表 5.1 分类误差统计

强分类器分类误差率	弱分类器分类平均误差率
1.1%	6.37%

从表 5.1 可以看出,强分类器分类误差率低于弱分类器分类误差率,表明 BP Adaboost 分类算法取得了良好的效果。

5.4 案例扩展

Adaboost 方法不仅可以用于设计强分类器,还可以用于设计强预测器。强预测器设计思路与强分类器设计类似,都是先赋予测试样本权重,然后根据弱预测器预测结果调整测试样本

若您对此书内容有任何疑问,可以凭在线交流卡登录 MATLAB 中文论坛与作者交流。

权重并确定弱预测器权重,最后把弱预测器序列作为强预测器。不同的是在强分类器中增加预测错类别样本的权重,在强预测器中增加预测误差超过阈值的样本权重。采用 BP Ada Boost 强预测器预测第 2 章中非线性函数输出,函数形式为 $y = x^4 + x^2$ 。

BP 神经网络参数设置见第 2 章, MATLAB 程序如下。

5.4.1 数据集选择

从样本空间中选择训练样本,测试样本,并对测试样本分配权重。函数 $y = x^4 + x^2$ 的输入输出数据存储在 data1.mat 文件中,其中 input 为函数输入数据,output 为函数输出数据,从中随机选择 1900 组数据作为训练数据,100 组数据作为测试数据。

```
% 清空环境变量
clc
clear

% 下载数据
load data1 input output

% 从中随机选择 1900 组训练数据和 100 组测试数据
k = rand(1,2000);
[m,n] = sort(k);

% 训练样本
input_train = input(n(1,1900),:)',
output_train = output(n(1,1900),:)',

% 测试样本
input_test = input(n(1901,2000),:)',
output_test = output(n(1901,2000),:)',

% 样本权重
[mm,nn] = size(input_train);
D(1,:) = ones(1,nn)/nn;
```

5.4.2 弱预测器学习预测

把 BP 神经网络看作弱预测器,经过训练后预测测试样本输出,并且根据预测结果调整样本测试样本权重值,最终得出系列弱预测器及其权重。这里把预测误差超过 0.1 的测试样本作为应该加强学习的样本。

```
K = 10;
% 循环开始
for i = 1:K

% 弱预测器训练
net = newff(inputn,outputn,5);
net.trainParam.epochs = 20;
```

```

net.trainParam.lr = 0.1;
net = train(net, inputn, outputn);

% 弱预测器预测
an1 = sim(net, inputn);
BPoutput = mapminmax('reverse', an1, outputps);

% 预测误差
erroryc(1,:) = output_train - BPoutput;

% 测试数据预测
inputn1 = mapminmax('apply', input_test, inputps);
an2 = sim(net, inputn1);
test_simu(1,:) = mapminmax('reverse', an2, outputps);

% 调整 D 值
Error(1) = 0;
for j = 1:nn
    if abs(erroryc(1,j)) > 0.1 % 误差超过阈值
        Error(1) = Error(1) + D(1,j);
        D(1+1,j) = D(1,j) * 1.1;
    else
        D(1+1,j) = D(1,j);
    end
end

% D 值归一化
at(1) = 0.5 * exp(abs(Error(1))) * log((1 - Error(1)) / Error(1));
D(1+1,:) = D(1+1,:) / sum(D(1+1,:));

end

```

5.4.3 强预测器预测

把由弱预测器函数组成强预测器预测输出,并比较强预测器预测误差和弱预测器预测误差。

```
% 弱预测器权重归一化
```

```
at = at / sum(at);
```

```
% 强预测器预测结果
```

```
output = at * test_simu;
```

```
% 强预测器预测误差
```

```
error = output_test - output;
```

若您对此书内容有任何疑问,可以凭在线交流卡登录 MATLAB 中文论坛与作者交流。

```
% 弱预测器预测误差
for i=1:10
    error1(i,:) = test_sims(i,:) - output;
end

% 误差比较
plot(abs(error), ' *')
hold on
plot(mean(abs(error1)), '- or')
title('强预测器预测误差绝对值','fontsize',12)
xlabel('预测样本','fontsize',12)
ylabel('误差绝对值','fontsize',12)
legend('强预测器预测','弱预测器预测')
```

5.4.4 结果分析

预测样本共有 350 组,共有 10 个 BP 神经网络构成弱预测器序列,强预测器分类误差绝对值和弱预测器预测平均误差绝对值如图 5-2 所示。

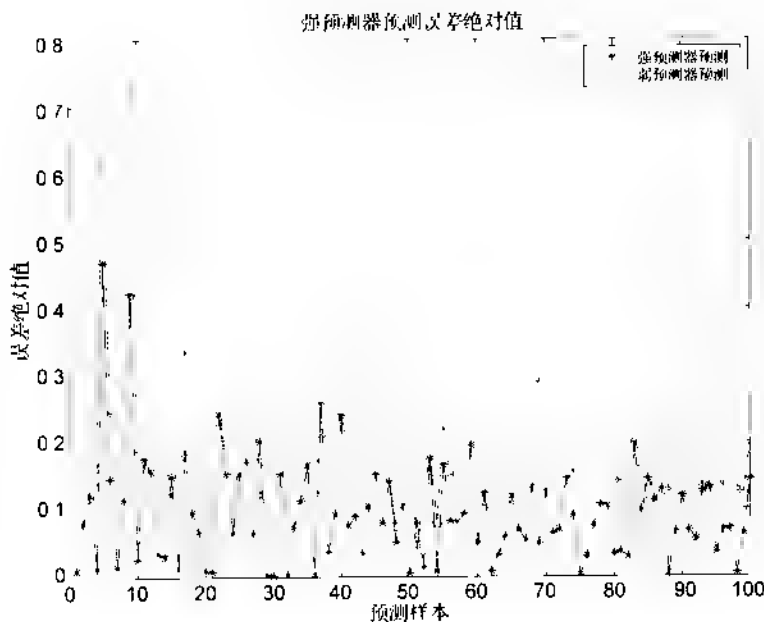


图 5-2 预测误差绝对值

从图 5-2 可以看出,强预测器预测误差低于弱预测器预测误差,BP Adaboost 强预测器预测算法取得了良好的效果。

参考文献

- [1] 何争光,孙晓峰,马勇光. AdaBoost NN 模型在浊漳河水质评价中的应用[J]. 郑州大学学报,2007.

若您对此书内容有任何疑问,可以凭在线交流卡登录 MATLAB 中文论坛与作者交流。

28(1), 114-118

- [2] 尚福华, 丁燕, 全辉. Adaboost 结合 BP 在油田水淹层识别中的应用[J]. 佳木斯大学学报, 2016, 21(1), 81-83.
- [3] 孙凤琪. AdaBoost 集成神经网络在冲击地压预报中的应用[J]. 吉林大学学报, 2016, 27(1), 19-21.
- [4] 陈春玲, 商子豪. 基于 AdaBoost 和概率神经网络的入侵检测算法[J]. 南京师范大学学报, 2018, 41(2), 21-24.
- [5] 毛志忠, 田慧欣. 基于 AdaBoost 混合模型的工业炉钢水终温度软测量[J]. 仪器仪表学报, 2018, 29(3), 662-667.
- [6] 艾力松, 黄志雄, 张良春, 等. 基于 Adaboost 算法的高速公路事件检测[J]. 计算机工程与科学, 2017, 29(2), 95-97.
- [7] 张禹, 马骊良, 张志波, 等. 基于 Adaboost 算法与神经网络的快速虹膜检测与定位算法[J]. 吉林大学学报, 2006, 11(2), 233-236.
- [8] 叶银兰. 基于 Boosting RBF 神经网络的人体行为识别[J]. 计算机工程与应用, 2018, 33(3), 188-191.
- [9] 葛启发, 冯夏庭. 基于 AdaBoost 组合学习方法的岩爆分类预测研究[J]. 岩石力学, 2018, 24(4), 913-948.
- [10] 杨涛, 张良春. 基于 Adaboost 集成 RBF 神经网络的高速公路事件检测[J]. 计算机工程与应用, 2018, 11(32), 223-229.

若您对此书内容有任何疑问, 可以在线交流卡登录 MATLAB 中文论坛与作者交流。

第 6 章 PID 神经元网络解耦控制算法

——多变量系统控制

6.1 案例背景

6.1.1 PID 神经元网络结构

PID 神经元网络从结构上可以分为输入层、隐含层和输出层三层, n 个控制量的 PID 神经元网络包含 n 个并列的相同子网络, 各子网络间既相互独立, 又通过网络连接权值相互联系。每个子网络的输入层有两个神经元, 分别接收控制量的目标值和当前值。每个子网络的隐含层由比例元、积分元和微分元构成, 分别对应着 PID 控制器中的比例控制、积分控制和微分控制。PID 神经元网络按被控系统控制量的个数可以分为控制单变量系统的单控制量神经网络和控制多变量系统的多控制量神经网络。其中单控制量神经网络是 PID 神经网络的基本形式, 多控制量神经网络可以看成是多个单控制量神经网络的组合形式。单控制量神经网络的拓扑结构如图 6-1 所示。

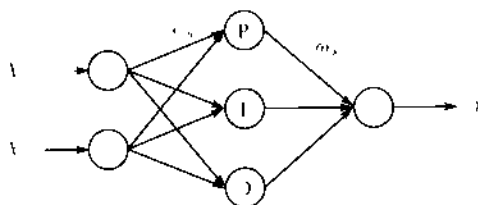


图 6-1 单控制量神经网络拓扑结构

图 6-1 中 X 是控制量的控制目标, x 是控制量当前值, Y 是神经网络计算得到的控制律, w_1 和 w_2 是网络权值, 从中可以看到单控制量神经网络是一个三层前馈神经网络, 网络结构为 $2-3-1$, 隐含层包含比例元、积分元和微分元三个神经元。多控制量神经网络可以看成多个单控制量网络的并联连接, 多控制量神经网络拓扑结构如图 6-2 所示。

图中, X_1, X_2, \dots, X_n 是控制量的控制目标, x_1, x_2, \dots, x_n 是控制量的当前值, Y_1, Y_2, \dots, Y_n 是多控制量神经网络计算得到的控制律, w_1 和 w_2 是网络权值。

6.1.2 控制律计算

PID 神经网络分为输入层、隐含层和输出层, 网络输入量为控制量当前值和控制目标, 输出量为控制律, 各层输入输出计算公式如下。

(1) 输入层

输入层中包含 $2n$ 个神经元, 输出数据 r 等于输入数据 X , 计算公式为

$$r_i(k) = X_i(k) \quad (6-1)$$

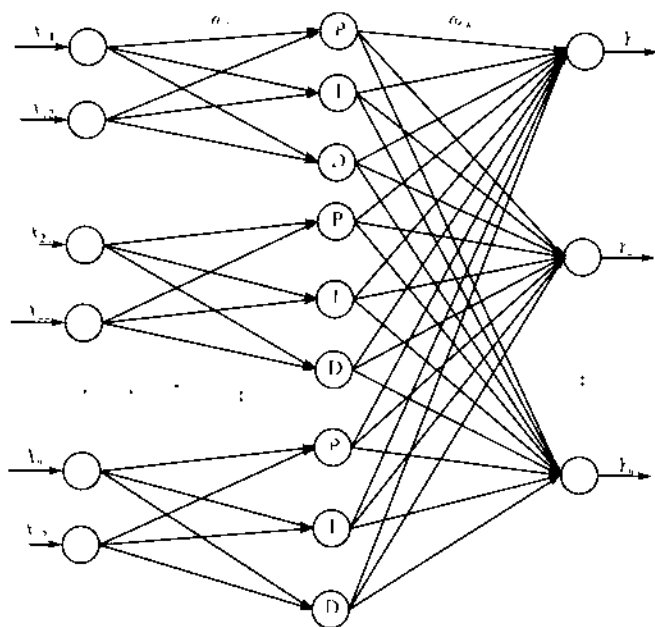


图 6-2 多控制量神经网络拓扑网络

(2) 隐含层

隐含层有 $3n$ 个神经元,包括 n 个比例神经元、 n 个积分神经元和 n 个微分神经元。这些神经元的输入值相同,计算公式为

$$net(k) = \sum_{j=1}^n \omega_{ij} x_j(k) \quad j=1,2,3 \quad (6-2)$$

隐含层各神经元输出的计算公式如下:

比例神经元

$$u(k) = net(k) \quad (6-3)$$

积分神经元

$$u(k) = net(k) + u(k-1) \quad (6-4)$$

微分神经元

$$u(k) = net(k) - net(k-1) \quad (6-5)$$

式中, i 为并联子网络的序号; j 为网络中隐含层神经元序号; $x_j(k)$ 为各子网络输入层神经元输出值; ω_{ij} 为各子网络输入层至隐含层的连接权重值。

(3) 输出层

输出层有 n 个神经元,构成 n 维输出量,输出层的输出为隐含层全部神经元的输出值加权和,计算公式如下

$$y_h(k) = \sum_{i=1}^n \sum_{j=1}^3 \omega_{ih} u_{ij}(k) \quad (6-6)$$

式中, h 为输出层神经元序号; i 为子网的序号; j 为子网的隐含层神经元序号; $u_{ij}(k)$ 为隐含层各神经元输出值; ω_{ih} 为隐含层至输出层的连接权重值。

若您对此书内容有任何疑问,可以凭在线交流卡登录 MATLAB 中文论坛与作者交流。

6.1.3 权值修正

PID 神经网络在控制的过程中根据控制量误差按照梯度修正法修正权值,使得控制量不断接近控制目标值,权值修正的过程如下。

误差计算公式如下:

$$J = \sum E = \sum_{k=1}^n [y_h(k) - r(k)]^2 \quad (6-7)$$

式中, n 为输出节点个数; y_h 为预测输出; r 为控制目标。

PID 神经网络权值的修正公式如下:

① 输出层到隐含层:

$$\omega_{jh}(k+1) = \omega_{jh}(k) - \eta \frac{\partial J}{\partial \omega_{jh}} \quad (6-8)$$

② 输入层到输出层:

$$\omega_{oj}(k+1) = \omega_{oj}(k) - \eta \frac{\partial J}{\partial \omega_{oj}} \quad (6-9)$$

式中, η 为学习速率。

6.1.4 控制对象

PID 神经网络的控制对象是一个 3 输入 3 输出的复杂耦合系统,系统的传递函数如下:

$$\begin{cases} y_1(k) = 0.4 * y_1(k-1) + u_1(k-1) [1 + u_1(k-1)^2] + 0.2 * u_2(k-1) + \\ \quad 0.5 * u_3(k-1) + 0.3 * y_2(k-1) \\ y_2(k) = 0.2 * y_2(k-1) + u_2(k-1) [1 + u_2(k-1)^2] + 0.4 * u_3(k-1)^3 + \\ \quad 0.2 * u_1(k-1) + 0.3 * y_1(k-1) \\ y_3(k) = 0.3 * y_1(k-1) + u_1(k-1) [1 + u_1(k-1)^2] + 0.4 * u_3(k-1)^4 + \\ \quad 0.4 * u_2(k-1) + 0.3 * y_2(k-1) \end{cases} \quad (6-10)$$

从式 6-10 中可以看出该系统的控制量相互耦合,用一般的控制方法难以取得理想的控制效果。

6.2 模型建立

PID 神经网络控制器和被控系统构成的闭环控制系统如图 6-3 所示。

图中, r, r_2, \dots, r_n 是控制量控制目标, u, u_2, \dots, u_n 为控制器控制律, y, y_2, \dots, y_n 为控制量当前值。对于本案例来说,由于被控对象有一个控制量,所以选择包含三个单神经网络组成的多神经网络作为系统控制器。网络权值随机初始化,控制量初始值为 $[0 \ 0 \ 0]$,控制目标为 $[0.7 \ 0.4 \ 0.6]$,控制时间间隔为 0.001 秒。

6.3 编程实现

根据 PID 神经网络控制器原理,在 MATLAB 中编程实现 PID 神经网络控制多变量

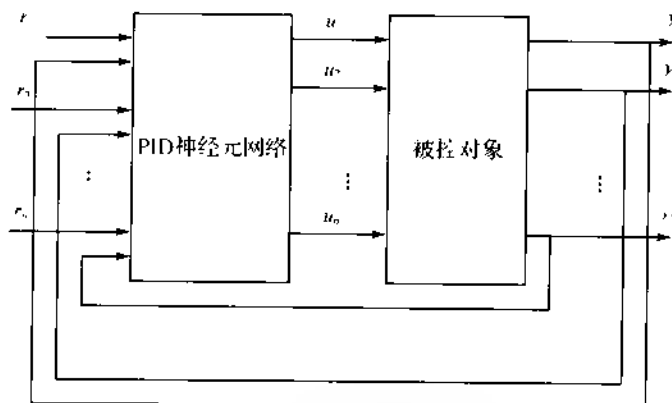


图 6-3 PID 神经网络闭环控制系统

耦合系统。由于本案例中 PID 神经网络控制器由三个单神经元控制器组成，代码较长，因此只讲解其中一个单神经元控制器代码，其余神经元控制器代码与此类似。

6.3.1 PID 神经网络初始化

初始化神经网络各层间的连接权值。

```

k0 = 0.03;

% 输入层到隐含层权值
w11 = k0 * rand(3,2); w11_1 = w11; w11_2 = w11_1;
w12 = k0 * rand(3,2); w12_1 = w12; w12_2 = w12_1;
w13 = k0 * rand(3,2); w13_1 = w13; w13_2 = w13_1;

% 隐含层到输出层权值
w21 = k0 * rand(1,9); w21_1 = w21; w21_2 = w21_1;
w22 = k0 * rand(1,9); w22_1 = w22; w22_2 = w22_1;
w23 = k0 * rand(1,9); w23_1 = w23; w23_2 = w23_1;

```

6.3.2 控制律计算

PID 神经网络根据系统控制量当前值和控制目标计算控制律，下述代码中只包含一个 PID 神经网络控制器控制律计算，其余两个 PID 神经网络控制律计算程序同下面的程序一致。

```

% 输入层输出, r1, r2, r3 是控制目标, yn 是控制量当前值
x1o = [r1(k); yn(1)]; x2o = [r2(k); yn(2)]; x3o = [r3(k); yn(3)];

% 隐含层输入计算
x1i = w11 * x1o;
x2i = w12 * x2o;
x3i = w13 * x3o;

```

若您对此书内容有任何疑问，可以凭在线交流卡登录 MATLAB 中文论坛与作者交流。

% 比例神经元 P, x_{pmax} , x_{pmin} 为比例神经元的最大、最小输出值

```
xp = [x1i(1), x2i(1), x3i(1)];
```

```
xp(find(xp > xpmax)) = xpmax;
```

```
xp(find(xp < xpmin)) = xpmin;
```

```
qp = xp;
```

```
h1i(1) = qp(1); h2i(1) = qp(2); h3i(1) = qp(3);
```

% 积分神经元 I, q_{imax} , q_{imin} 为积分神经元的最大、最小输出值

```
x1 = [x1i(2), x2i(2), x3i(2)];
```

```
q1 = [0, 0, 0]; q1_1 = [h1i(2), h2i(2), h3i(2)];
```

```
q1 = q1_1 + x1;
```

```
q1(find(q1 > qimax)) = qimax;
```

```
q1(find(q1 < qimin)) = qimin;
```

```
h1i(2) = q1(1); h2i(2) = q1(2); h3i(2) = q1(3);
```

% 微分神经元 D, q_{dmax} , q_{dmin} 为微分神经元的最大、最小输出值

```
xd = [x1i(3), x2i(3), x3i(3)];
```

```
qd = [0 0 0];
```

```
xd_1 = [x1i_1(3), x2i_1(3), x3i_1(3)];
```

```
qd = xd - xd_1;
```

```
qd(find(qd > qdmax)) = qdmax;
```

```
qd(find(qd < qdmin)) = qdmin;
```

```
h1i(3) = qd(1); h2i(3) = qd(2); h3i(3) = qd(3);
```

% 控制律输出

```
wo = [w21; w22; w23];
```

```
qo = [h1i', h2i', h3i']; qo = qo';
```

```
uh = wo * qo;
```

```
uh(find(uh > uhmax)) = uhmax;
```

```
uh(find(uh < uhmin)) = uhmin;
```

```
u1(k) = uh(1); u2(k) = uh(2); u3(k) = uh(3);
```

6.3.3 权值修正

PII 神经网络根据控制量当前值和控制目标修正权值,使控制量接近控制目标,权值修正程序如下所示。代码中只包含一个 PII 神经网络控制器权值修正过程,其余两个 PID 神经网络控制律权值修正程序同下面的程序一致。

% 控制量误差, $r1(k)$, $r2(k)$, $r3(k)$ 为控制目标, $y1(k)$, $y2(k)$, $y3(k)$ 为控制量当前值

```
error = [r1(k) - y1(k); r2(k) - y2(k); r3(k) - y3(k)];
```

```
error1(k) = error(1); error2(k) = error(2); error3(k) = error(3);
```

```
J(k) = 0.5 * (error(1)^2 + error(2)^2 + error(3)^2);
```

% 隐含层输出层权值调整

% u_1 , u_2 , u_3 是控制律, y_1 , y_2 , y_3 是被控量, y_1 为被控量上个时间点值

```

ypc = [y1(k) - y1(1); y2(k) - y1(2); y3(k) - y1(3)];
uhc = [u1(1) - u2(1); u1(2) - u2(2); u1(3) - u2(3)];

Sig1 = sign(ypc / (uhc(1) + 0.00001));
dw21 = sum(error * Sig1) * qo';
w21 = w21 + rate2 * dw21; % rate2 为学习速率

% 输入层到隐含层权值调整
delta2 = zeros(3,3);
wsh1 = [w21; w22; w23];
for t = 1:3
    delta2(1,3,t) = error(1,3) * sign(ypc(1,3) - (uhc(t) + 0.00000001));
end
for j = 1:3
    sgn(j) = sign((h11(j) - h11(1(j))) / (x11(j) - x11(1(j) + 0.00001)));
end

s1 = sgn' * [r1(k), y1(k)];
wsh12_1 = wsh1(1,3,1,3);
alter = zeros(3,1);
dws1 = zeros(3,2);
for j = 1:3
    for p = 1:3
        alter(j) = alter(j) + delta2(p,:) * wsh12_1(j,j);
    end
end

for p = 1:3
    dws1(p,:) = alter(p) * s1(p,:);
end
w11 = w11 + rate1 * dws1; % rate1 为学习速率

```

6.3.4 结果分析

用PID神经网络控制式(6-10)中3输入3输出的复杂耦合系统,网络初始权值随机得到,网络权值学习率为0.05,控制间隔为0.001秒,控制量的控制目标分别为0.7、0.4和0.6, PID神经网络控制效果如图6-4所示。

控制器控制误差如图6-5所示。

从图6-4、图6-5可以看出, PID神经网络控制器能够较好控制此多输入多输出复杂耦合系统,控制量最终值接近目标值。

若您对此书内容有任何疑问,可以凭在线交流卡登录MATLAB中文论坛与作者交流。

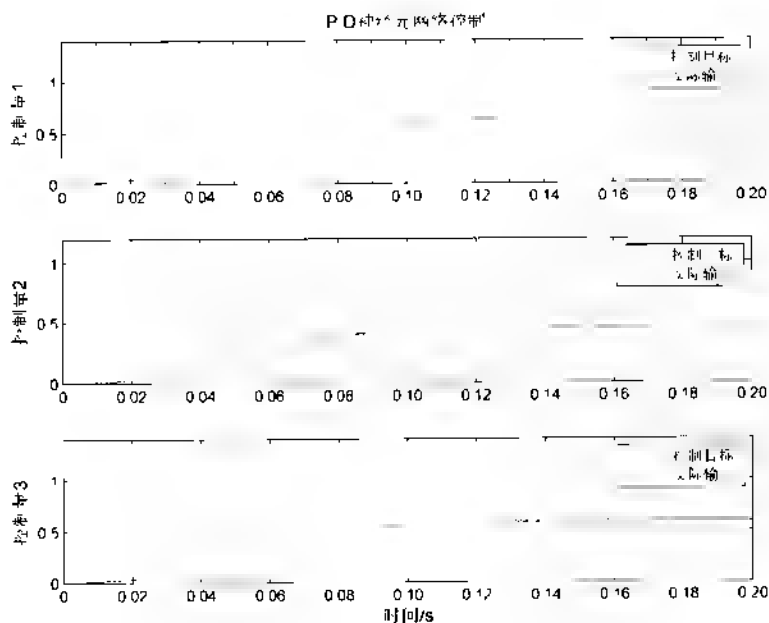


图 6-4 控制器控制效果

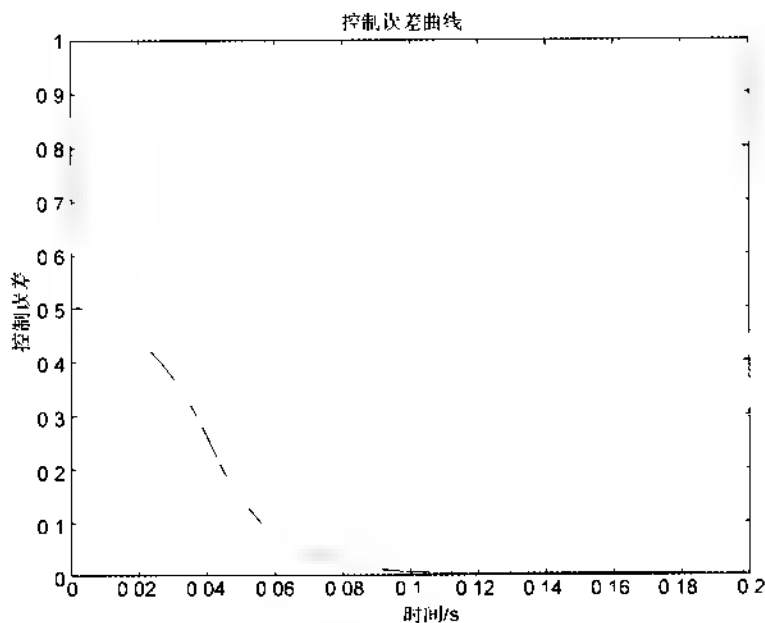


图 6-5 控制误差曲线

若您对此书内容有任何疑问，可以凭在线交流卡登录 MATLAB 中文论坛与作者交流。

6.4 案例扩展

6.4.1 增加动量项

PID神经网络权值采用梯度学习算法,网络权值修正较慢并且容易陷入局部最优,可以通过增加动量项的方法提高网络学习效率,增加动量项的权值学习公式如下:

$$\omega_{jk}(k+1) = \omega_{jk}(k) - \eta \frac{\partial J}{\partial \omega_{jk}} + \eta [\omega_{jk}(k) - \omega_{jk}(k-1)] \quad (6-11)$$

$$\omega_i(k+1) = \omega_i(k) - \eta \frac{\partial J}{\partial \omega_i} + \eta [\omega_i(k) - \omega_i(k-1)] \quad (6-12)$$

式中, ω_{jk} 为隐含层到输出层权值; ω_i 为输入层到隐含层间权值; J 为控制误差; η, η_1 为学习速率。

带动量项的PID神经网络控制效果如图6-6所示。

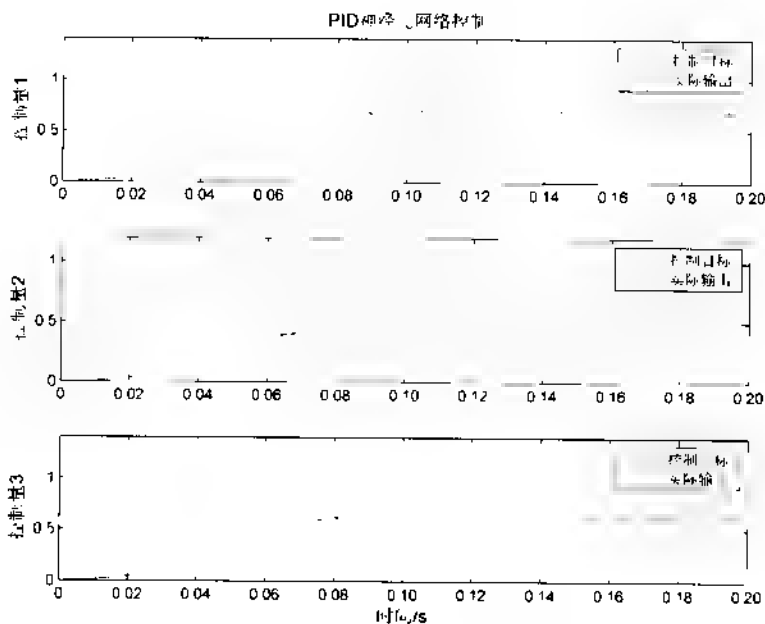


图 6-6 控制器控制效果

6.4.2 神经元系数

PID神经网络控制器中隐含层三个节点分别对应着比例控制、积分控制和微分控制的三个环节。积分控制神经元的值在不断累加,造成积分神经元值不断累积增加,微分控制神经元的值为控制量当前值和目标值的差,微分控制神经元值过小。因此,借鉴PID控制器中PID参数设置,增加神经元输出乘积系数,隐含层输出值由隐含层神经元输出值乘以对应系数得到,计算公式如下:

若您对此书内容有任何疑问,可以凭在线交流卡登录MATLAB中文论坛与作者交流。

比例神经元

$$u_1(k) = k_p * net_1(k) \quad (6-13)$$

积分神经元

$$\begin{aligned} U_{s2}(k) &= net_{s2}(k) + U_{s2}(k-1) \\ u_{s2}(k) &= k_i * U_{s2}(k) \end{aligned} \quad (6-14)$$

微分神经元

$$u_{s3}(k) = k_d * [net_{s3}(k) - net_{s3}(k-1)] \quad (6-15)$$

式中, k_p, k_i, k_d 为系数; $U_{s2}(k)$ 为中间变量, 其他参数解释与式 6.3-6.5 一致。

设置 $k_p=1, k_i=1.5, k_d=10$, 带神经元系数的 PID 神经网络控制效果如图 6-7 所示。

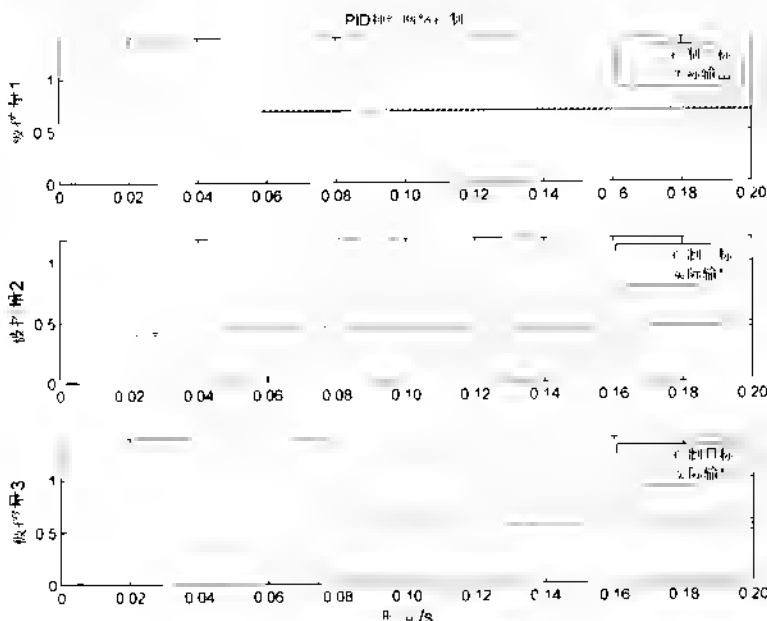


图 6-7 控制器控制效果

6.4.3 PID 神经网络权值优化

PID 神经网络采用的学习算法是梯度学习法, 初始权值随机得到, 权值在学习过程中可能陷入局部最优值。采用粒子群算法优化神经网络初始权值(粒子群算法介绍请参考第 26 章), 粒子群算法的参数设置为: 种群规模为 50, 进化次数 4), 采用自适应变异方法提高种群搜索能力, 粒子群算法进化过程如图 6-8 所示。

把粒子群算法优化得到的最优初始权值带入 PID 神经网络, 神经网络控制效果如图 6-9 所示。

从图 6-9 可以看出, 粒子群算法优化的 PID 神经网络控制取得了满意的效果, 控制量不仅迅速逼近控制目标, 而且响应时间较短。

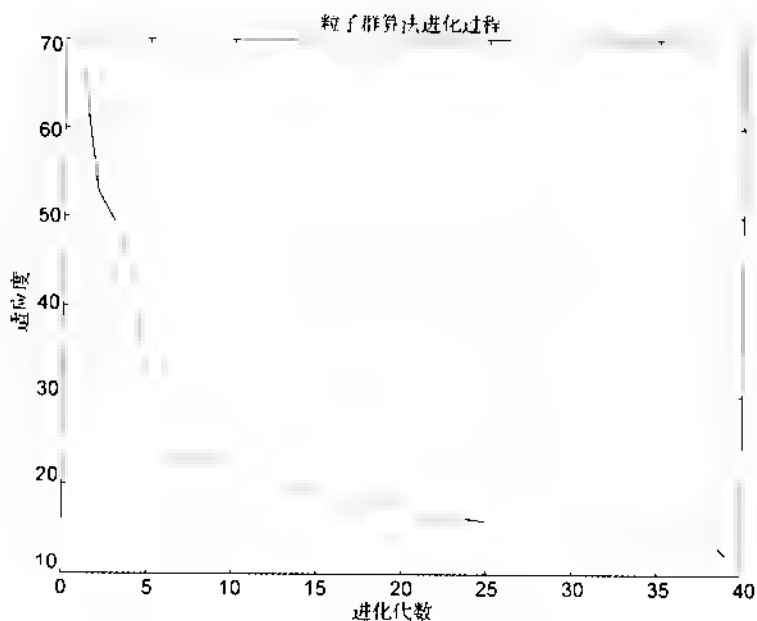


图 6-8 粒子群算法进化过程

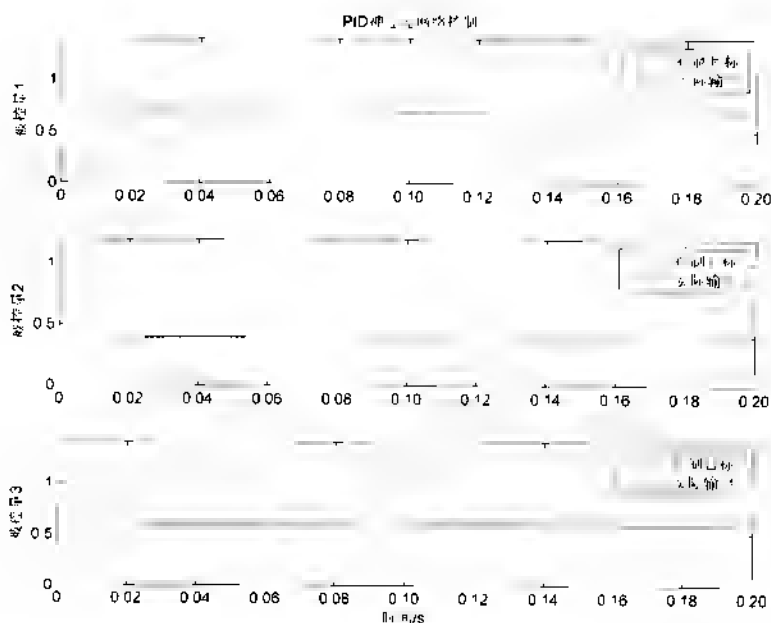


图 6-9 控制器控制效果

若您对此书内容有任何疑问，可以凭在线交流卡登录 MATLAB 中文论坛与作者交流。

参考文献

- [1] 刘国荣. 多变量系统模糊解耦自适应控制[J]. 控制理论与应用, 1997, 14(2): 152-156
- [2] 郑安平. 基于PID神经网络的自由度飞行器模型控制研究[D]. 南京: 南京理工大学, 2008
- [3] 时文飞. 基于人工神经网络与PID复合控制研究[D]. 重庆: 重庆大学, 2007
- [4] 李广飞. 基于神经网络的多变量解耦控制方法研究[D]. 大连: 大连理工大学, 2007
- [5] 曾军. 神经网络PID控制器的研究及仿真[D]. 长沙: 湖南大学, 2004
- [6] 董宏丽. 神经网络PID控制系统研究[D]. 大庆: 大庆石油学院, 2004
- [7] 舒怀林, 郭秀才. 多变量强耦合时变系统的PID神经网络控制[J]. 矿冶自动化, 2003(1): 16-18
- [8] 刘金琨. 先进PID控制MATLAB仿真[M]. 北京: 电子工业出版社, 2004.

第 7 章 RBF 网络的回归

——非线性函数回归的实现

7.1 案例背景

7.1.1 RBF 神经网络概述

径向基函数(RBF, Radical Basis Function)是多维空间插值的传统技术,由 Powell 于 1980 年提出。1988 年, Broomhead 和 Lowe 根据生物神经元具有局部响应这一特点,将 RBF 引入神经网络设计中,产生了 RBF 神经网络。1989 年, Jackson 论证了 RBF 神经网络对非线性连续函数的一致逼近性能。

RBF 神经网络属于前向神经网络类型,网络的结构与多层前向网络类似,是一种三层的正向网络。第一层为输入层,由信号源结点组成;第二层为隐藏层,隐藏层节点数视所描述问题的需要而定,隐藏层中神经元的变换函数即径向基函数是对中心点径向对称且衰减的非负非线性函数,该函数是局部响应函数,而以前的前向网络变换函数都是全局响应的函数;第三层为输出层,它对输入模式作出响应。

RBF 网络的基本思想是:用 RBF 作为隐单元的“基”构成隐藏层空间,隐含层对输入矢量进行变换,将低维的模式输入数据变换到高维空间内,使得在低维空间内的线性不可分的问题在高维空间内线性可分。

RBF 神经网络结构简单、训练简洁而且学习收敛速度快,能够逼近任意非线性函数,因此它已被广泛应用于时间序列分析、模式识别、非线性控制和图形处理等领域。

7.1.2 RBF 神经网络结构模型

径向基神经网络的神经元模型如图 7-1 所示。径向基神经网络的节点激活函数采用径向基函数,通常定义为空间任一点到某一中心之间的欧式距离的单调函数。

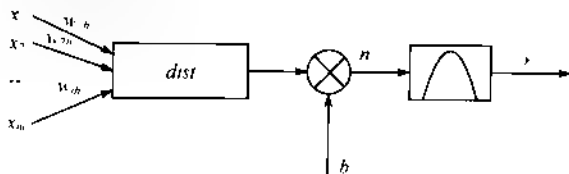


图 7-1 径向基神经元模型

由图 7-1 所示的径向基神经元结构可以看出,径向基神经网络的激活函数是以输入向量和权值向量之间的距离 $dist$ 作为自变量的。径向基神经网络的激活函数的一般表达式为

$$R(\text{dist}_i) = e^{-\frac{\text{dist}_i^2}{2\sigma^2}}$$

随着权值和输入向量之间距离的减少,网络输出是递增的,当输入向量和权值向量一致时,神经元输出为 1。图中的 b 为阈值,用于调整神经元的灵敏度。利用径向基神经元和线性神经元可以建立广义回归神经网络,此种神经网络适用于函数逼近方面的应用;径向基神经元和竞争神经元可以建立概率神经网络,此种神经网络适用于解决分类问题。

由输入层、隐含层和输出层构成的一般径向基神经网络结构如图 7-2 所示。在 RBF 神经网络中,输入层仅仅起到传输信号的作用,与前面所讲述的神经网络相比较,输入层和隐含层之间可以看作连接权值为 1 的连接,输出层和隐含层所完成的任务是不同的,因而它们的学习策略也不相同。输出层是对线性权进行调整,采用的是线性优化策略,因而学习速度较快。而隐含层是对激活函数(格林函数或高斯函数,一般取高斯函数)的参数进行调整,采用的是非线性优化策略,因而学习速度较慢。

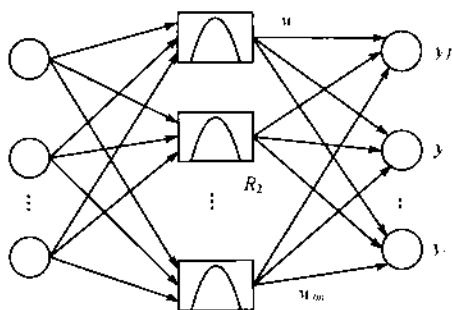


图 7-2 径向基神经网络结构

7.1.3 RBF 神经网络的学习算法

RBF 神经网络学习算法需要求解的参数有 3 个:基函数的中心、方差以及隐含层到输出层的权值。根据径向基函数中心选取方法的不同,RBF 网络有多种学习方法,如随机选取中心法、自组织选取法、有监督选取中心法和正交最小二乘法等。下面将介绍自组织选取中心的 RBF 神经网络学习法。该方法由两个阶段组成:一是自组织学习阶段,此阶段为无导师学习过程,求解隐含层基函数的中心与方差;二是有导师学习阶段,此阶段求解隐含层到输出层之间的权值。

径向基神经网络中常用的径向基函数是高斯函数,因此径向基神经网络的激活函数可表示为

$$R(x_p, c) = \exp\left\{-\frac{1}{2\sigma^2} \|x_p - c\|^2\right\}$$

式中, $\|x_p - c\|$ 为欧式范数; c 为高斯函数的中心; σ 为高斯函数的方差。

由图 7-2 所示的径向基神经网络的结构可得到网络的输出为

$$y_j = \sum_{p=1}^h w_{pj} \exp\left\{-\frac{1}{2\sigma^2} \|x_p - c\|^2\right\} \quad j = 1, 2, \dots, n$$

式中, $x_p = [x_p^1, x_p^2, \dots, x_p^n]^T$ 为第 p 个输入样本; $p = 1, 2, 3, \dots, P$, P 为样本总数; c 为网络隐含层结点的中心; w 为隐含层到输出层的连接权值; $j = 1, 2, 3, \dots, h$ 为隐含层节点数, y_j 为与

输入样本对应的网络的第 j 个输出结点的实际输出。

设 d 是样本的期望输出值,那么基函数的方差可表示为

$$\sigma = \frac{1}{P} \sum_{j=1}^m d_j^2$$

学习算法具体步骤如下。

步骤 1: 基于 K 均值聚类方法求取基函数中心 c 。

① 网络初始化: 随机选取 h 个训练样本作为聚类中心 $c_i (i=1, 2, \dots, h)$ 。

② 将输入的训练样本集合按最近邻规则分组,按照 x_p 与中心为 c 之间的欧式距离将 x_p 分配到输入样本的各个聚类集合 $\theta_p (p=1, 2, \dots, P)$ 中。

③ 重新调整聚类中心: 计算各个聚类集合 θ_i 中训练样本的平均值,即新的聚类中心 c ,如果新的聚类中心不再发生变化,则所得到的 c 即为 RBF 神经网络最终的基函数中心,否则返回②,进行下一轮的中心求解。

步骤 2: 求解方差 σ 。

该 RBF 神经网络的基函数为高斯函数,方差 σ 可由下式求解。

$$\sigma = \frac{c_{\max}}{\sqrt{2h}} \quad i=1, 2, \dots, h$$

式中, c_{\max} 是所选取中心之间的最大距离。

步骤 3: 计算隐含层和输出层之间的权值。

隐含层至输出层之间神经元的连接权值可以用最小二乘法直接计算得到,计算公式如下。

$$w = \exp\left\{\frac{h}{c_{\max}} \|x_p - c\|\right\} \quad i=1, 2, \dots, h; p=1, 2, 3, \dots, P$$

7.1.4 曲线拟合相关背景

曲线拟合 (curve fitting) 是用连续曲线近似地刻画或比拟平面上离散点组所表示的坐标之间函数关系的一种数据处理方法,是用解析表达式逼近离散数据的一种方法。在科学实验或社会活动中,通过实验或观测得到量 x 与 y 的一组数据对 $(x_i, y_i) (i=1, 2, \dots, m)$, 其中 x_i 是彼此不同的。人们希望用一类与数据的背景材料规律相适应的解析表达式如 $y=f(x, c)$ 来反映量 x 与 y 之间的依赖关系,即在一定意义下“最佳”地逼近或拟合已知数据。 $y=f(x, c)$ 常被称作拟合模型,式中, (c_1, c_2, \dots, c_n) 是一些待定参数。当 c 在 f 中线性出现时,此时称模型 f 为线性模型,否则称 f 为非线性模型。现在有许多衡量拟合优度的标准,最常用的一种做法是选择参数 c 使得拟合模型与实际观测值在各点的残差 (或离差) $e_k = y_k - f(x_k, c)$ 的加权平方和达到最小,此时所求曲线称作在加权最小二乘意义下对数据的拟合曲线。目前有许多求解拟合曲线的成功方法,对于线性模型一般通过建立和求解方程组来确定参数,从而求得拟合曲线。至于非线性模型,则要借助求解非线性方程组或用最优化方法求得所需参数才能得到拟合曲线,有时也称之为非线性最小二乘拟合。

7.2 模型建立

本例用 RBF 网络拟合未知函数,预先设定一个非线性函数,如式 (7-1) 所示,假定函数解

若您对此书内容有任何疑问,可以凭在线交流卡登录 MATLAB 中文论坛与作者交流。

析式不清楚的情况下,随机产生 x_1, x_2 和由这两个变量按式(7-1)得出的 y 。将 x_1, x_2 作为 RBF 网络的输入数据,将 y 作为 RBF 网络的输出数据,分别建立近似和精确 RBF 网络进行回归分析,并评价网络拟合效果。

$$y = 20 + x^2 - 10\cos(2\pi x_1) + x^2 - 10\cos(2\pi x_2) \quad (7-1)$$

在使用精确(exact)径向基网络来实现非线性函数的回归例子中,共产生了 361 个样本,全部作为网络的训练样本,使用图形可视化来观察拟合效果。

在使用近似(approximate)径向基网络对同一函数进行拟合的例子中,共产生了 400 个训练数据和 961 个验证数据,使用 400 个训练数据训练 RBF 网络后,使用训练好的网络来预测 961 个验证数据的结果,并通过可视化的方法观察 RBF 神经网络的拟合效果。

7.3 MATLAB 实现

7.3.1 RBF 网络的相关函数

(1) newrb()

该函数可以用来设计一个近似(approximate)径向基网络。其调用格式为

```
[net, tr] = newrb(P, T, GOAL, SPREAD, MN, DF)
```

其中, P 为 Q 组输入向量组成的 $R \times Q$ 维矩阵; T 为 Q 组目标分类向量组成的 $S \times Q$ 维矩阵; $GOAL$ 为均方误差目标, (Mean Squared Error Goal), 默认为 0.0, $SPREAD$ 为径向基函数的扩展速度, 默认为 1; MN 为神经元的最大数目, 默认为 Q ; DF 为两次显示之间所添加的神经元数目, 默认为 25; net 为返回值, 一个 RBF 网络; tr 为返回值, 训练记录。

用 newrb() 创建 RBF 网络是一个不断尝试的过程, 在创建过程中, 需要不断增加中间层神经元和个数, 直到网络的输出误差满足预先设定的值为止。

(2) newrbf()

该函数用于设计一个严格(exact)径向基网络。其调用格式为

```
net = newrbf(P, T, SPREAD)
```

其中, P 为 Q 组输入向量组成的 $R \times Q$ 维矩阵; T 为 Q 组目标分类向量组成的 $S \times Q$ 维矩阵; $SPREAD$ 为径向基函数的扩展速度, 默认为 1。

和 newrb() 不同, newrbf() 能够基于设计向量快速地、无误差地设计一个径向基网络。

(3) radbas()

该函数为径向基传递函数。其调用格式为

```
A = radbas(N)
info = radbas(code)
```

其中, N 为输入(列)向量的 $S \times Q$ 维矩阵; A 为函数返回矩阵, 与 N 一一对应, 即 N 中的每个元素通过径向基函数得到 A 。 $info = radbas(code)$ 表示根据 $code$ 值的不同返回有关函数的不同信息。包括

derive 返回导函数的名称。

name 返回函数全称。

output 返回输入范围。

active 返回可用输入范围。

使用 exact 径向基网络来实现非线性的函数回归(chapter7_1.m),代码如下:

```
%% 清空环境变量
clc
clear
%% 产生输入 输出数据
% 设置步长
interval = 0.01;
% 产生 x1 x2
x1 = -1.5: interval: 1.5;
x2 = -1.5: interval: 1.5;
% 按照函数先求得相应的函数值,作为网络的输出。
F = 20 + x1 ^2 - 10 * cos(2 * pi * x1) + x2 ^2 - 10 * cos(2 * pi * x2);
%% 网络建立和训练
% 网络建立 输入为[x1;x2],输出为 F。Spread 使用默认。
net = newrbf([x1;x2],F);
%% 网络的效果验证
% 将原数据回带,测试网络效果。
ty = sim(net,[x1;x2]);
% 使用图像来看网络对非线性函数的拟合效果
figure
plot3(x1,x2,F,'rd');
hold on,
plot3(x1,x2,ty,'b');
view(113,36)
title('可视化的方法观察严格的 RBF 神经网络的拟合效果')
xlabel('x1')
ylabel('x2')
zlabel('F')
grid on
```

下面用 approximate RBF 网络对同一函数进行拟合(chapter7_2.m)。

```
%% 清空环境变量
clc
clear
%% 产生训练样本(训练输入,训练输出)
% ld 为样本例数
ld = 400;
% 产生 2 * ld 的矩阵
x = rand(2,ld);
% 将 x 转换到[-1 5 1 5]之间
x = (x - 0.5) * 1.5 * 2;
% x 的第一列为 x1,第二列为 x2
```

若您对此书内容有任何疑问,可以凭在线交流卡登录 MATLAB 中文论坛与作者交流。

```

x1 = x(1,:);
x2 = x(2,:);
% 计算网络输出 F 值
F = 20 + x1.^2 - 10 * cos(2 * pi * x1) + x2.^2 - 10 * cos(2 * pi * x2);
%% 建立 RBF 神经网络
% 采用 approximate RBF 神经网络。spread 为默认值
net = newrb(x,F);
%% 建立测试样本
% generate the testing data
interval = 0.1;
[1, j] = meshgrid(-1.5: interval: 1.5);
row = size(1);
tx1 = 1(:);
tx1 = tx1';
tx2 = j(:);
tx2 = tx2';
tx = [tx1; tx2];

%% 使用建立的 RBF 网络进行模拟, 得出网络输出
ty = sim(net, tx);
%% 使用图像, 画出 3 维图
% 真正的函数图像
interval = 0.1;
[x1, x2] = meshgrid(-1.5: interval: 1.5);
F = 20 + x1.^2 - 10 * cos(2 * pi * x1) + x2.^2 - 10 * cos(2 * pi * x2);
subplot(1,3,1)
mesh(x1,x2,F);
zlim([0,60])
title('真正的函数图像')
% 网络得出的函数图像
v = reshape(ty, row);
subplot(1,3,2)
mesh(1,j,v);
zlim([0,60])
title('RBF 神经网络结果')
% 误差图像
subplot(1,3,3)
mesh(x1,x2,F - v);
zlim([0,60])
title('误差图像')
set(gcf, 'position', [300, 250, 900, 400])

```

7.3.2 结果分析

代码运行后的结果如图 7-3、图 7-4 所示。

在命令窗口中的输出结果如下：

可视化的方法观察精确RBF神经网络的拟合效果

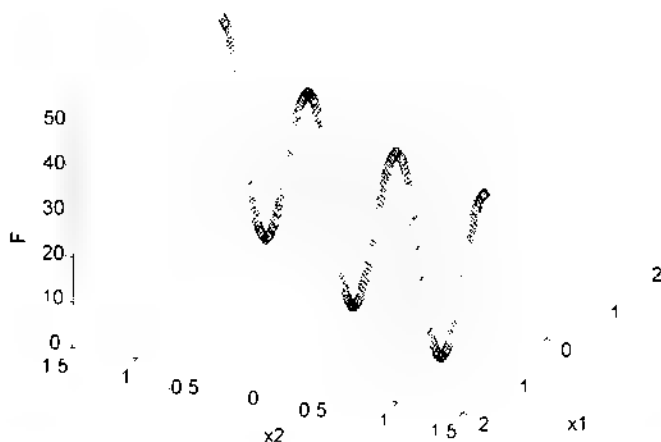


图 7-3 exact 径向基网络拟合效果

真正的函数图像

RBF神经网络结果

误差图像

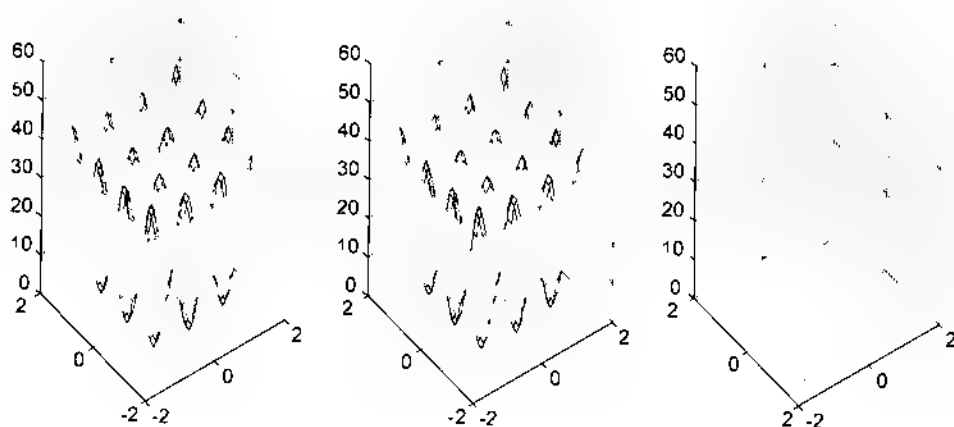


图 7-4 approximate RBF 神经网络拟合效果比较图和误差图

```

NEWRB, neurons = 0, MSE = 108.563
NEWRB, neurons = 25, MSE = 48.7566
NEWRB, neurons = 50, MSE = 3.67744
NEWRB, neurons = 75, MSE = 0.127232
NEWRB, neurons = 100, MSE = 0.00159733
NEWRB, neurons = 125, MSE = 0.000151675
NEWRB, neurons = 150, MSE = 2.15211e-005
NEWRB, neurons = 175, MSE = 1.25473e-005
NEWRB, neurons = 200, MSE = 6.46407e-006
NEWRB, neurons = 225, MSE = 9.79246e-007

```

若您对此书内容有任何疑问，可以凭在线交流卡登录 MATLAB 中文论坛与作者交流。

```
NEWRB, neurons = 250, MSE = 1.35697e-006
NEWRB, neurons = 275, MSE = 6.16004e-007
NEWRB, neurons = 300, MSE = 1.14613e-007
NEWRB, neurons = 325, MSE = 1.09115e-007
NEWRB, neurons = 350, MSE = 1.04741e-007
NEWRB, neurons = 375, MSE = 1.24349e-007
NEWRB, neurons = 400, MSE = 6.41058e-008
```

由图 7-3、7-4 可知,神经网络的训练结果能较好地逼近该非线性函数 F 。由误差图 7-5 看,神经网络的预测效果在数据边缘处的误差较大;在其他数值处的拟合效果很好。网络的输出和函数值之间的差值在隐藏层神经元的个数为 100 时已经接近于 0,说明网络输出能非常好地逼近函数。

7.4 案例扩展

7.4.1 应用径向基神经网络需要注意的问题

尽管 RBF 网络的输出是隐单元输出的线性加权,并且网络学习速率快,但并不等于 RBF 神经网络就可以取代其他前馈网络。这是因为 RBF 网络很可能需要比 BP 神经网络多得多的隐含层神经元来达到预期的训练目标。BP 网络采用 `sigmoid()` 函数,这样的神经元有很大的输出可见区域,而径向基网络使用的径向基函数,输入空间区域就很小,这就不可避免地导致了再输入空间较大时,需要更多的径向基神经元。

7.4.2 SPREAD 对网络的影响

SPREAD 为径向基函数的扩展系数,默认值为 1.0。合理选择 SPREAD 是很重要的,其值应该足够大,使径向基神经元能够对输入向量所覆盖的区间都产生响应,但也不要求大到所有的径向基神经元都如此,只要部分径向基神经元能够对输入向量所覆盖的区间产生响应就足够了。SPREAD 的值越大,其输出结果越光滑,但太大的 SPREAD 值会导致数值计算上的困难,若在设计网络时,出现“Rank deficient”警告,应考虑减小 SPREAD 的值重新进行设计。因此,在网络设计的过程中,需要用不同的 SPREAD 值进行尝试,以确定一个最优值。

为了更严格地对数据进行拟合,最好使 SPREAD 的值小于输入向量之间的典型距离。

参考文献

- [1] 飞思科技产品研发中心. 神经网络与 MATLAB 7 实现[M]. 北京: 电子工业出版社, 2005.
- [2] 张德丰. MATLAB 神经网络应用设计[M]. 北京: 机械工业出版社, 2008.
- [3] 张延亮. Matlab 神经网络(第 2 版): RBF 神经网络[CP/OL]. (2008-11-15)[2009-12-05]. MATLAB 中文论坛, 2008.
- [4] 李忠国, 张为公, 王琪, 李世民. RBF 网络在基于动载的路面识别中的应用[J]. 重庆工学院学报(自然科学版), 2009, (01): 1-5.
- [5] 穆云峰. RBF 神经网络学习算法在模式分类中的应用研究[D]. 大连: 大连理工大学, 2006.

第 8 章 GRNN 的数据预测

——基于广义回归神经网络的货运量预测

8.1 案例背景

8.1.1 GRNN 神经网络概述

广义回归神经网络 (GRNN, Generalized Regression Neural Network) 是美国学者 Donald F. Specht 在 1991 年提出的,它是径向基神经网络的一种。GRNN 具有很强的非线性映射能力和柔性网络结构以及高度的容错性和鲁棒性,适用于解决非线性问题。GRNN 在逼近能力和学习速度上较 RBF 网络有更强的优势,网络最后收敛于样本量积聚较多的优化回归面,并且在样本数据较少时,预测效果也较好。此外,网络还可以处理不稳定的数据。因此,GRNN 在信号过程、结构分析、教育产业、能源、食品科学、控制决策系统、药物设计、金融领域、生物工程等各个领域得到了广泛的应用。

8.1.2 GRNN 的网络结构

GRNN 在结构上与 RBF 网络较为相似。它由四层构成,如图 8-1 所示,分别为输入层 (input layer)、模式层 (pattern layer)、求和层 (summation layer) 和输出层 (output layer)。对网络输入 $X = [x_1, x_2, \dots, x_n]^T$, 其输出为 $Y = [y_1, y_2, \dots, y_k]^T$ 。

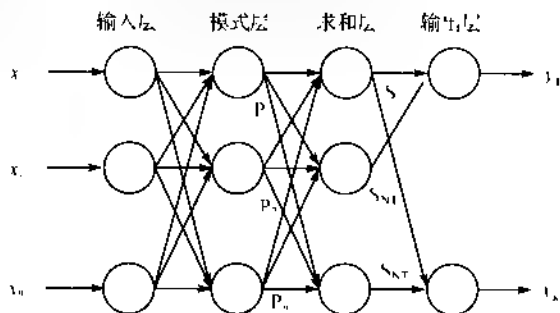


图 8-1 广义回归网络结构图

(1) 输入层

输入层神经元的数目等于学习样本中输入向量的维数,各神经元是简单的分布单元,直接将输入变量传递给模式层。

(2) 模式层

模式层神经元数目等于学习样本的数目 n ,各神经元对应不同的样本,模式层神经元传递

函数为

$$p = \exp\left[-\frac{(\mathbf{X} - \mathbf{X}_i)^T(\mathbf{X} - \mathbf{X}_i)}{2\sigma^2}\right] \quad i = 1, 2, \dots, n$$

神经元 i 的输出为输入变量与其对应的样本 \mathbf{X} 之间 Euclid 距离平方的指数平方 $D^2 = (\mathbf{X} - \mathbf{X}_i)^T(\mathbf{X} - \mathbf{X}_i)$ 的指数形式。式中, \mathbf{X} 为网络输入变量; \mathbf{X}_i 为第 i 个神经元对应的学习样本。

(3) 求和层

求和层中使用两种类型神经元进行求和。

一类计算公式为 $\sum_{i=1}^n \exp\left[-\frac{(\mathbf{X} - \mathbf{X}_i)^T(\mathbf{X} - \mathbf{X}_i)}{2\sigma^2}\right]$, 它对所有模式层神经元的输出进行算术求和, 其模式层与各神经元的连接权值为 1, 传递函数为

$$S_D = \sum_{i=1}^n P$$

另一类计算公式为 $\sum_{i=1}^n Y_i \exp\left[-\frac{(\mathbf{X} - \mathbf{X}_i)^T(\mathbf{X} - \mathbf{X}_i)}{2\sigma^2}\right]$, 它对所有模式层的神经元进行加权求和, 模式层中第 i 个神经元与求和层中第 j 个分子求和神经元之间的连接权值为第 i 个输出样本 \mathbf{Y} 中的第 j 个元素, 传递函数为

$$S_N = \sum_{i=1}^n y_i P \quad i = 1, 2, \dots, k$$

(4) 输出层

输出层中的神经元数目等于学习样本中输出向量的维数 k , 各神经元将求和层的输出相除, 神经元 j 的输出对应估计结果 $\hat{Y}(\mathbf{X})$ 的第 j 个元素, 即

$$\hat{y}_j = \frac{S_N}{S_D} \quad j = 1, 2, \dots, k$$

8.1.3 GRNN 的理论基础

广义回归神经网络的理论基础是非线性回归分析, 非独立变量 Y 相对于独立变量 x 的回归分析实际上是计算具有最大概率值的 y 。设随机变量 x 和随机变量 y 的联合概率密度函数为 $f(x, y)$, 已知 x 的观测值为 X , 则 y 相对于 X 的回归, 也即条件均值为

$$\hat{Y} = E(y|X) = \frac{\int_{-\infty}^{\infty} y f(X, y) dy}{\int_{-\infty}^{\infty} f(X, y) dy} \quad (8-1)$$

\hat{Y} 即为在输入为 X 的条件下, Y 的预测输出。

应用 Parzen 非参数估计, 可由样本数据集 $x, y = 1, \dots, n$, 估算密度函数 $\hat{f}(X, y)$ 。

$$\hat{f}(X, y) = \frac{1}{n(2\pi)^{\frac{p}{2}} \sigma^p} \sum_{i=1}^n \exp\left[-\frac{(X - X_i)^T(X - X_i)}{2\sigma^2}\right] \exp\left[-\frac{(X - Y_i)^2}{2\sigma^2}\right]$$

式中, X, Y 为随机变量 x 和 y 的样本观测值; n 为样本容量; p 为随机变量 x 的维数; σ 为高斯函数的宽度系数, 在此称为平滑因子。

用 $f(X, y)$ 代替 $f(X, y)$ 代入式(8-1), 并交换积分与加和的顺序:

$$\hat{Y}(X) = \frac{\sum_{j=1}^n \exp\left[-\frac{(X - X_j)^T (X - X_j)}{2\sigma^2}\right] \int_{-\infty}^{+\infty} y \exp\left[-\frac{(Y - Y_j)^2}{2\sigma^2}\right] dy}{\sum_{j=1}^n \exp\left[-\frac{(X - X_j)^T (X - X_j)}{2\sigma^2}\right] \int_{-\infty}^{+\infty} \exp\left[-\frac{(Y - Y_j)^2}{2\sigma^2}\right] dy} \quad (8-2)$$

由于 $\int_{-\infty}^{+\infty} ze^{-z^2} dz = 0$, 对两个积分进行计算后可得网络的输出 $\hat{Y}(X)$ 为

$$\hat{Y}(X) = \frac{\sum_{j=1}^n Y_j \exp\left[-\frac{(X - X_j)^T (X - X_j)}{2\sigma^2}\right]}{\sum_{j=1}^n \exp\left[-\frac{(X - X_j)^T (X - X_j)}{2\sigma^2}\right]} \quad (8-3)$$

估计值 $\hat{Y}(X)$ 为所有样本观测值 Y 的加权平均, 每个观测值 Y 的权重因子为相应的样本 X 与 X 之间 Euclid 距离平方的指数。当光滑因子 σ 非常大的时候, $\hat{Y}(X)$ 近似于所有样本因变量的均值。相反, 当光滑因子 σ 趋向于 0 的时候, $\hat{Y}(X)$ 和训练样本非常接近, 当需预测的点被包含在训练样本集中时, 公式求出的因变量的预测值会和样本中对应的因变量非常接近, 而一旦碰到样本中未能包含进去的点, 有可能预测效果会非常差, 这种现象说明网络的泛化能力差。当 σ 取值适中, 求预测值 $\hat{Y}(X)$ 时, 所有训练样本的因变量都被考虑了进去, 与预测点距离近的样本点对应的因变量被加了更大的权。

8.1.4 运输系统货运量预测相关背景

运输系统作为社会经济系统中的一个子系统, 在受外界因素影响和作用的同时, 对外部经济系统也具有一定的反作用, 使得运输需求同时受到来自运输系统内外两方面因素的影响。作为运输基础设施建设投资决策的基础, 运输需求预测在国家 and 区域经济发展规划中具有十分重要的作用, 其中, 由于货物运输和地方经济及企业发展的紧密联系, 货运需求预测成为货运需求和经济发展关系研究中的一个重要问题。因此, 作为反映货物运输需求的一项重要指标, 货运量预测研究和分析具有较强的实际和理论意义。

常用的货运量预测方法包括时间序列方法、移动平滑法、指数平滑法、随机时间序列方法、相关、回归分析法以及灰色预测方法和多种方法综合的组合预测方法等。这些方法大都集中在对其因果关系回归模型和时间序列模型的分析上, 所建立的模型不能全面、科学和本质地反映所预测动态数据的内在结构和复杂特性, 丢失了信息量。人工神经网络作为一种并行的计算模型, 具有传统建模方法所不具备的很多优点, 有很好的非线性映射能力, 对被建模对象的先验知识要求不多, 一般不必事先知道有关被建模对象的结构、参数、动态特性等方面的知识, 只需给出对象的输入、输出数据, 通过网络本身的学习功能就可以达到输入与输出的完全符合。

在此情况下, 国内一些学者将神经网络引入到货运量预测中来。但 BP 神经网络在用于函数逼近时, 存在收敛速度慢和局部极小等缺点, 在解决样本量少而且噪声较多问题时效果并不理想。GRNN 在逼近能力、分类能力和学习速度方面具有较强优势网络最后收敛于样本量积聚最多的优化回归面, 并且在数据缺乏时效果也较好。网络可以处理不稳定的数据, 因此本案例采用 GRNN 建立了货运量预测模型, 并利用历史统计数据对货运量进行预测。

若您对此书内容有任何疑问, 可以凭在线交流卡登录 MATLAB 中文论坛与作者交流。

8.2 模型建立

根据货运量影响因素的分析,分别取国内生产总值(GDP),工业总产值,铁路运输线路长度,复线里程比重,公路运输线路长度,等级公路比重,铁路货车数量和民用载货汽车数量 8 项指标因素作为网络输入,以货运总量,铁路货运量和公路货运量 3 项指标因素作为网络输出,构建 GRNN,由于训练数据较少,采取交叉验证方法训练 GRNN 神经网络,并用循环找出最佳的 SPREAD。

本案例中 data.mat 中共有 p、t 两组数据,又各含 13 组数据,代表了 1996—2008 年的货运量和与其相关的各个变量值。将 p、t 的前 12 组数据作为网络的训练数据,最后 1 组数据作为网络的预测数据,建立 GRNN 神经网络对货运量进行预测。

8.3 MATLAB 实现

GRNN 网络的相关函数,其函数名称为 newgrnn()。

该函数可用于设计一个广义回归神经网络。广义回归神经网络是 RBF 网络的一种,通常用于函数逼近。其调用格式为

```
net = newgrnn(P,T,SPREAD)
```

其中,P 为 Q 组输入向量组成的 $R \times Q$ 维矩阵,T 为 Q 组目标分类向量组成的 $S \times Q$ 维矩阵;SPREAD 为径向基函数的扩展速度,默认值为 1。

根据上面确定的网络输入和输出,利用 1996—2007 年某地的历史数据作为网络的训练样本,2008 年的数据作为网络的外推测试样本。代码如下(chapter8_1.m):

```
% 清空环境变量
clc;
clear all
close all
nntwarn off;

% 载入数据
load data,
% 载入数据并将数据分成训练和预测两类
p_train=p(1:12,:);
t_train=t(1:12,:);
p_test=p(13,:);
t_test=t(13,:);

% 交叉验证
desired_spread=[];
mse_max=10e20;
```

```

desired input = [];
desired output = [];
result_perfp = [];
indices = crossvalind('Kfold',length(p_train),4);
h = waitbar(0,'正在寻找最优优化参数 ');
k = 1;
for i = 1 : 4
    perfp = [];
    disp(['以下为第',num2str(i),'次交叉验证结果'])
    test = (indices == i); train = ~test;
    p_cv_train = p_train(train,:);
    t_cv_train = t_train(train,:);
    p_cv_test = p_train(test,:);
    t_cv_test = t_train(test,:);
    p_cv_train = p_cv_train';
    t_cv_train = t_cv_train';
    p_cv_test = p_cv_test';
    t_cv_test = t_cv_test';

    [p_cv_train,minp,maxp,t_cv_train,mint,maxt] = premmx(p_cv_train,t_cv_train);
    p_cv_test = trannmx(p_cv_test,minp,maxp);
    for spread = 0.1 : 0.1 : 2;
        net = newgrnn(p_cv_train,t_cv_train,spread);
        waitbar(k,80,h);
        disp(['当前 spread 值为', num2str(spread)]);
        test_Out = sim(net,p_cv_test);
        test_Out = postmmx(test_Out,mint,maxt);
        error = t_cv_test - test_Out;
        disp(['当前网络的 mse 为',num2str(mse(error))])
        perfp = [perfp mse(error)];
        if mse(error)<mse_max
            mse_max = mse(error);
            desired_spread = spread;
            desired_input = p_cv_train;
            desired_output = t_cv_train;
        end
        k = k + 1;
    end
    result_perfp(1,:) = perfp;
end;
close(h)
disp(['最佳 spread 值为',num2str(desired_spread)])
disp(['此时最佳输入值为'])
desired_input

```

若您对此书内容有任何疑问，可以凭在线交流卡登录MATLAB中文论坛与作者交流。

```
disp('此时最佳输出值为')
desired_output
%% 采用最佳方法建立 GRNN 网络
net = newgrnn(desired_input,desired_output,desired_spread),
p_test = p_test',
p_test = trannmx(p_test,minp,maxp),
grnn_prediction_result = sim(net,p_test);
grnn_prediction_result = postmnmx(grnn_prediction_result,minr,maxr),
grnn_error = t_test - grnn_prediction_result';
disp('GRNN 神经网络 7 项流量预测的误差为')
abs(grnn_error)
save best desired_input desired_output p_test t_test grnn_error minr maxr
```

结果如下:

最佳 spread 值为 0.7

此时最佳输入值为

desired_input =

	-1.0000	0.8993	0.7948	-0.5023	-0.0574	0.1602	0.3838
0.6652	1.0000						
	-0.9998	-1.0000	0.1291	0.0072	0.3417	0.5137	0.6187
0.7838	1.0000						
	1.0000	0.8616	-0.4969	-0.4969	0.3333	0.4465	0.6478
0.6604	1.0000						
	-1.0000	-0.5385	-0.0769	0.5385	0.3846	0.3846	0.6923
0.6923	1.0000						
	1.0000	-0.9429	-0.9175	-0.7778	0.3270	-0.0286	0.2508
0.5619	1.0000						
	1.0000	1.0000	-1.0000	-0.5000	0.2000	0.0000	0.2000
0.5000	1.0000						
	0.0141	1.0000	0.0187	0.0187	0.3682	0.4944	0.6195
0.7735	1.0000						
	-1.0000	-0.9211	0.8826	0.9563	-0.6099	0.3042	0.0318
0.2843	1.0000						

此时最佳输出值为

desired_output =

	1.0000	-0.9839	-0.9838	-0.7127	0.2463	0.0126	0.2862
0.5394	1.0000						

```

-1 0000      0 9040      0 8604      -0 6403      0 2293      0 0769      0 2124
0 4116      1 0000
      1 0000      0 8020      0 8042      -0 5446      0 0500      0 0416      0 2505
0 4693      1 0000

```

GRNN 神经网络 三项流量预测的误差为 28106 967 15245 9913 21653 0686

由程序运行后的结果中看出, SPREAD 值设置为 0.7 时, 训练数据的预测较好。SPREAD 值越小, 网络对样本的逼近性就越强; SPREAD 值越大, 网络对样本数据的逼近过程就越平滑, 但误差也相应增大。在实际应用时, 为了选取最佳的 SPREAD 值, 一般采取本案例中循环训练的方法, 从而达到最好的预测效果。

8.4 案例扩展

GRNN 神经网络和 BP 网络都可以用于货运量等的预测, 但对具体的网络训练来说, GRNN 需要调整的参数较少, 只有一个 SPREAD 参数, 因此可以更快地预测网络, 具有较大的计算优势。

下面将针对本案例数据, 使用 BP 神经网络模型预测得出的流量数据。代码如下 (chapter8_2 m)。

```

%% 以下程序为案例扩展里的 GRNN 和 BP 比较 需要 load chapter8_1 的相关数据
clear all
load best
n=13
p=desired_input
t=desired_output
net_bp=newff(minmax(p),[n,3],{'tansig','purelin'},'trainlm');
% 训练网络
net_trainParam show=50;
net_trainParam epochs=2000;
net_trainParam goal=1e-3;
% 调用 TRAINLM 算法训练 BP 网络
net_bp=train(net_bp,p,t);
bp_prediction_result=sim(net_bp,p_test);
bp_prediction_result=postanmx(bp_prediction_result,min_t,max_t);
bp_error=t_test-bp_prediction_result;
disp(['BP 神经网络 三项流量预测的误差为',num2str(abs(bp_error))])

```

结果如下:

BP 神经网络 三项流量预测的误差为 15774 4287 13249 1823 27806 9352

由此可见, BP 神经网络在对于此类数据的预测结果上同 GRNN 神经网络预测结果基本一致。

参考文献

- [1] 孙静. 基于数码打样的 CMYK 与 L*a*b 颜色空间转换方法的研究[D]. 西安: 西安理工大学, 2008.
- [2] 魏艳强. 基于 RBF 神经网络的货运量预测模型研究[D]. 天津: 天津理工大学, 2007.
- [3] 范群林, 李桃, 吴花平. 基于广义回归神经网络的经济预测模型研究[J]. 商场现代化, 2008, (26): 195.
- [4] 谷志红, 牛东晓, 王会青. 广义回归神经网络模型在短期电力负荷预测中的应用研究[J]. 中国电力, 2006, (04): 11-14.
- [5] 张德丰. MATLAB 神经网络应用设计[M]. 北京: 机械工业出版社, 2008.

第 9 章 离散 Hopfield 神经网络的联想记忆

——数字识别

9.1 案例背景

9.1.1 离散 Hopfield 神经网络概述

Hopfield 网络作为一种全连接型的神经网络,曾经为人工神经网络的发展开辟了新的研究途径。它利用与阶层型神经网络不同的结构特征和学习方法,模拟生物神经网络的记忆机理,获得了令人满意的结果。这一网络及学习算法最初是由美国物理学家 J. J Hopfield 于 1982 年首先提出的,故称为 Hopfield 神经网络。

Hopfield 最早提出的网络是二值神经网络,神经元的输出只取 1 和 -1,所以,也称离散 Hopfield 神经网络(DHNN, Discrete Hopfield Neural Network)。在离散 Hopfield 网络中,所采用的神经元是二值神经元,因此,所输出的离散值 1 和 -1 分别表示神经元处于激活和抑制状态。

1. 网络结构

DHNN 是一种单层、输出为二值的反馈网络。假设有一个由 n 个神经元组成的离散 Hopfield 神经网络,其结构如图 9-1 所示。

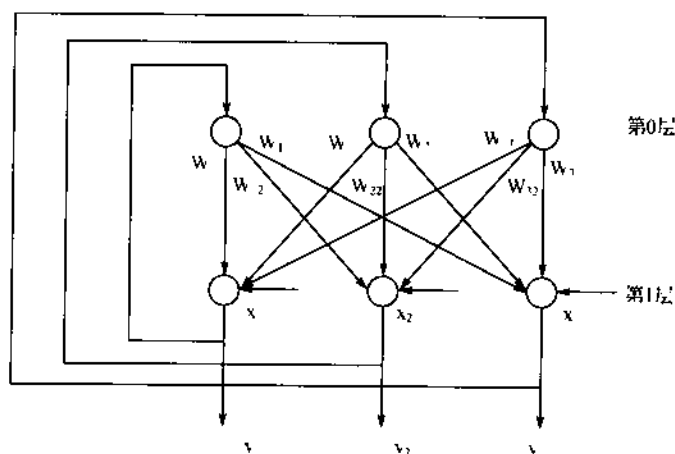


图 9-1 离散 Hopfield 网络结构

在图 9-1 中,第 0 层仅仅作作为网络的输入,它不是实际神经元,所以无计算功能;第 1 层是神经元,故而执行对输入信息与权系数的乘积求累加和,并经非线性函数 f 处理后产生输出信息。 f 是一个简单的阈值函数,如果神经元的输出信息大于阈值 θ ,那么,神经元的输出取

值为 1；小于阈值 θ ，则神经元的输出取值为 -1。

对于 i 值神经元，它的计算公式如下：

$$u_i = \sum_j w_{ij} y_j + x_i \quad (9-1)$$

式中， x_i 为外部输入。并且有

$$\begin{aligned} y_i &= 1, u_i \geq \theta, \\ y_i &= -1, u_i < \theta, \end{aligned} \quad (9-2)$$

一个 DHNN 的网络状态是输出神经元信息的集合，对于一个输出层是 n 个神经元的网络，其 t 时刻的状态为一个 n 维向量：

$$Y(t) = [y_1(t), y_2(t), \dots, y_n(t)]^T \quad (9-3)$$

因为 $y_i(t) (i=1, 2, \dots, n)$ 可以取值为 1 或 -1，故 n 维向量 $Y(t)$ 有 2^n 种状态，即网络有 2^n 种状态。考虑 DHNN 的一般节点状态，用 $y_j(t)$ 表示第 j 个神经元，即节点 j 在时刻 t 的状态，则节点的下一个时刻 $t+1$ 的状态可以求得：

$$y_j(t+1) = f[u_j(t)] = \begin{cases} 1, u_j(t) \geq 0 \\ -1, u_j(t) < 0 \end{cases} \quad (9-4)$$

$$u_i(t) = \sum_j w_{ij} y_j(t) + x_i - \theta_i \quad (9-5)$$

如果 w_{ij} 在 $i=j$ 时等于 0，说明一个神经元的输出并不会反馈到其输入，这时，DHNN 称为无自反馈的网络。如果 w_{ij} 在 $i=j$ 时不等于 0，说明一个神经元的输出会反馈到其输入端，这时，DHNN 称为有自反馈的网络。

2. 网络工作方式

Hopfield 网络按动力学方式运行，其工作过程为神经元状态的演化过程，即从初始状态按“能量”(Lyapunov 函数)减小的方向进行演化，直到达到稳定状态，稳定状态即为网络的输出。

Hopfield 网络的工作方式主要有两种形式：

① 串行(异步)工作方式。在任一时刻 t ，只有某一个神经元 i (随机的或确定的选择)依式(9-4)与式(9-5)变化，而其他神经元的状态不变。

② 并行(同步)工作方式。在任一时刻 t ，部分神经元或全部神经元的状态同时改变。

下面以串行(异步)工作方式为例说明 Hopfield 网络的运行步骤：

步骤 1：对网络进行初始化。

步骤 2：从网络中随机选取一个神经元 i 。

步骤 3：计算该神经元 i 的输入 $u_i(t)$ 。

步骤 4：计算该神经元 i 的输出 $y_i(t+1)$ ，此时网络中其他神经元的输出保持不变。

步骤 5：判断网络是否达到稳定状态，若达到稳定状态或满足给定条件则结束；否则转到步骤 2 继续运行。

这里网络的稳定状态定义为：若网络从某一时刻以后，状态不再发生变化，则称网络处于稳定状态。

$$y_i(t + \Delta t) = y_i(t) \quad \Delta t \rightarrow 0 \quad (9-6)$$

3. 网络稳定性

从 DHNN 的结构可以看出，它是一种多输入、含有阈值的二值非线性动态系统。在动态

系统中,平衡稳定状态可以理解成系统某种形式的能量函数在系统运动过程中,其能量值不断减小,最后处于最小值。

Cohen 和 Grossberg 在 1983 年给出了关于 Hopfield 网络稳定的充分条件,他们指出,如果 Hopfield 网络的权系数矩阵 W 是一个对称矩阵,并且对角线元素为 0,则这个网络是稳定的。即在权系数矩阵 W 中,如果

$$\begin{aligned} w_{ij} &= w_{ji}, i, j \\ w_{ii} &= 0, i \neq j \end{aligned} \quad (9-7)$$

则 Hopfield 网络是稳定的。详细推导过程见参考文献[1]~[3]。

应该指出,这只是 Hopfield 网络稳定的充分条件,而不是必要条件。在实际中有很多稳定的 Hopfield 网络,但是它们并不满足权系数矩阵 W 是对称矩阵这一条件。

9.1.2 数字识别概述

在日常生活中,经常会遇到带噪声字符的识别问题,如交通系统中汽车车号和汽车牌照,由于汽车在使用过程中,要经受自然环境的风吹日晒,造成字体模糊不清,难以辨认。如何从这些残缺不全的字符中攫取完整的信息,是字符识别的关键问题。作为字符识别的组成部分之一,数字识别在邮政、交通及商业票据管理方面有着极高的应用价值。

目前有很多种方法用于字符识别,主要分为神经网络识别、概率统计识别和模糊识别等。传统的数字识别方法在有干扰的情况下不能很好地对数字进行识别,而离散型 Hopfield 神经网络具有联想记忆的功能,利用这一功能对数字进行识别可以取得令人满意的效果,并且计算的收敛速度很快。

9.1.3 问题描述

根据 Hopfield 神经网络相关知识,设计一个具有联想记忆功能的离散型 Hopfield 神经网络。要求该网络可以正确地识别 0~9 这 10 个数字,当数字被一定的噪声干扰后,仍具有较好的识别效果。

9.2 模型建立

9.2.1 设计思路

假设网络由 0~9 共 10 个稳态构成,每个稳态用 10×10 的矩阵表示。该矩阵直观地描述模拟阿拉伯数字,即将数字划分成 10×10 的矩阵,有数字的部分用 1 表示,空白部分用 -1 表示,如图 9-2 所示。网络对这 10 个稳态即 10 个数字(点阵),具有联想记忆的功能,当有带噪声的数字点阵输入到该网络时,网络的输出便可以得到最接近的目标向量(即 10 个稳态),从而达到正确识别的效果。

9.2.2 设计步骤

在此思路的基础上,设计 Hopfield 网络需要经过以下几个步骤,如图 9-3 所示。

若您对此书内容有任何疑问,可以凭在线交流卡登录 MATLAB 中文论坛与作者交流。

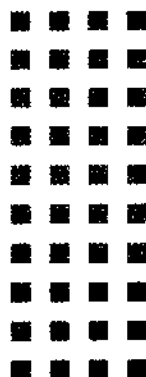


图 9-2 数字 1 的点阵图

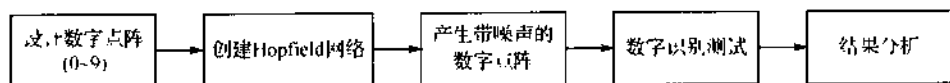


图 9-3 Hopfield 网络设计流程图

1. 输入输出设计——设计数字点阵(0~9)

如图 9-2 所示,有数字的部分用 1 表示,空白部分用 -1 表示,即可得到数字 1 和数字 2 的点阵:

```
array_one=[-1 -1 -1 -1 1 1 -1 -1 1 -1;-1 -1 -1 -1 1 1 -1 -1 -1 -1;...
-1 -1 -1 -1 1 1 -1 -1 -1 -1;-1 -1 -1 -1 1 1 -1 -1 -1 -1;...
-1 -1 -1 -1 1 1 -1 -1 -1 -1;-1 -1 -1 -1 1 1 -1 -1 -1 -1;...
-1 -1 -1 -1 1 1 -1 -1 -1 -1;-1 -1 -1 -1 1 1 -1 -1 -1 -1;...
-1 -1 -1 -1 1 1 -1 -1 -1 -1;-1 -1 -1 -1 1 1 -1 -1 -1 -1;...
-1 -1 -1 -1 1 1 -1 -1 -1 -1;-1 -1 -1 -1 1 1 -1 -1 -1 -1;...
-1 -1 -1 -1 1 1 -1 -1 -1 -1;-1 -1 -1 -1 1 1 -1 -1 -1 -1;...
array_two=[-1 1 1 1 1 1 1 1 1 -1;-1 1 1 1 1 1 1 1 1 -1;...
-1 -1 -1 -1 -1 -1 -1 1 1 -1;-1 -1 1 -1 -1 -1 -1 1 1 -1;...
-1 1 1 1 1 1 1 1 1 -1;-1 1 1 1 1 1 1 1 1 -1;...
-1 1 1 -1 -1 -1 -1 -1 -1 -1;-1 1 1 -1 -1 -1 -1 -1 -1 -1;...
-1 1 1 1 1 1 1 1 1 -1; 1 1 1 1 1 1 1 1 1 -1;
```

其他的数字点阵以此类推。

2. 创建 Hopfield 网络

MATLAB 神经网络工具箱为 Hopfield 网络提供了一些工具函数。10 个数字点阵,即 Hopfield 网络的目标向量确定以后,可以借助这些函数,方便地创建 Hopfield 网络。具体过程见 MATLAB 实现部分。

3. 产生带噪声的数字点阵

带噪声的数字点阵,即点阵的某些位置的值发生了变化。模拟产生带噪声的数字矩阵方法有很多种,由于篇幅所限,本书仅列举两种比较常见的方法:固定噪声产生法和随机噪声产生法。

4. 数字识别测试

将带噪声的数字点阵输入到创建好的 Hopfield 网络,网络的输出是与该数字点阵最为接

若您对此书内容有任何疑问,可以凭在线交流卡登录 MATLAB 中文论坛与作者交流。

近的目标向量,即 0~9 中的某个数字,从而实现联想记忆的功能。

5. 结果分析

对测试的结果进行分析、比较,通过大量的测试来验证 Hopfield 网络用于数字识别的可行性与有效性。

9.3 Hopfield 网络的神经网络工具箱函数

MATLAB 神经网络工具箱中包含了许多用于 Hopfield 网络分析与设计的函数,本节将详细说明常用的两个函数的功能、调用格式以及参数意义等。

9.3.1 Hopfield 网络创建函数

`newhop()` 函数用于创建一个离散型 Hopfield 神经网络,其调用格式为:

```
net = newhop(T);
```

其中, T 是具有 Q 个目标向量的 $R \times Q$ 矩阵(元素必须为 -1 或 1); net 为生成的神经网络,具有在 T 中的向量上稳定的点。

Hopfield 神经网络仅有一层,其激活函数用 `satlins()` 函数。

9.3.2 Hopfield 网络仿真函数

`sim()` 函数用于对神经网络进行仿真,其调用格式为:

```
[Y,Af,E,perf] = sim(net,P,A1,T)
```

```
[Y,Af,E,perf] = sim(net,{Q TS},A1,T)
```

其中, P 、 Q 为测试向量的个数; A_1 表示初始的层延时,默认为 0; T 表示测试向量(矩阵或元胞数组形式); TS 为测试的步数; Y 为网络的输出向量; Af 为训练终止时的层延迟状态; E 为误差向量; $perf$ 为网络的性能。

函数中用到的参数采取了两种不同的形式进行表示:矩阵和元胞数组。矩阵的形式只用于仿真的时间步长 $TS=1$ 的场合,元胞数组形式常用于一些没有输入信号的神经网络。

9.4 MATLAB 实现

利用 MATLAB 神经网络工具箱提供的函数,将设计步骤在 MATLAB 环境下实现。

9.4.1 输入输出设计

由于篇幅所限,本书仅以数字 1 和数字 2 为例,利用这两个数字点阵构成训练样本 T :

```
% 训练样本
```

```
T = [array one; array two];
```

9.4.2 网络建立

利用前面讲到的 `newhop()` 函数可以方便地创建一个离散型 Hopfield 神经网络:

若您对此书内容有任何疑问,可以凭在线交流卡登录 MATLAB 中文论坛与作者交流。

```
%% 创建 Hopfield 神经网络
```

```
net = newhop(T);
```

9.4.3 产生带噪声的数字点阵

如前文所述,本书将介绍两种常见的模拟产生带噪声数字的方法:固定噪声产生法和随机噪声产生法。

1. 固定噪声产生法

固定噪声产生法又称人工产生法,指的是用人工修改的方法改变数字点阵某些位置的值,从而模拟产生带噪声的数字点阵。比如,数字 1 和 2 的点阵经过修改后的带噪声数字点阵变为:

```
%% 固定噪声
noisy_array_one=[-1 -1 -1 -1 1 1 -1 -1 1 -1;-1 -1 1 -1 1 1 -1 -1 -1 1;...
                 -1 -1 1 -1 1 1 -1 -1 -1 1;-1 -1 -1 -1 1 1 1 -1 -1 -1;...
                 -1 -1 1 -1 -1 1 -1 -1 -1 -1;-1 -1 -1 1 1 1 -1 1 -1 -1;...
                 1 -1 -1 1 1 1 -1 1 -1 -1;-1 1 -1 -1 1 1 -1 -1 -1 -1;...
                 -1 -1 1 -1 -1 1 -1 -1 -1 1;-1 -1 -1 -1 1 1 -1 -1 1 -1];
noisy_array_two=[ 1 1 1 1 -1 1 1 -1 1 -1;-1 1 1 1 1 1 1 1 1 1;...
                 -1 1 1 -1 1 1 -1 1 1 -1;-1 -1 -1 1 -1 1 -1 1 1 -1;...
                 -1 1 1 1 1 1 1 1 1 -1;-1 1 1 1 1 1 1 1 1 -1;...
                 -1 1 1 -1 -1 -1 -1 -1 -1 -1;-1 1 1 -1 -1 -1 1 -1 -1 -1;...
                 -1 1 1 1 -1 1 1 1 1 1;-1 1 1 -1 1 1 1 1 1 -1];
```

如果希望产生不同的带噪声的数字矩阵,需要人工做多次的修改,这无疑是比较麻烦的。相比较而言,随机噪声产生法可以方便地产生各种类型的带噪声的数字矩阵。

2. 随机噪声产生法

随机噪声产生法,利用产生随机数的方法来确定需要修改的点阵位置,进而对数字点阵进行修改。由于数字点阵中的值只有 1 和 -1,所以这里的修改就是将“1”换成“-1”,“-1”换成“1”。带噪声的数字 1 和 2 的数字点阵产生程序如下:

```
%% 随机噪声
noisy_array_one = array_one,
noisy_array_two = array_two;
for i=1:100
    a = rand;
    if a<0.1
        noisy_array_one(i) = -array_one(i),
        noisy_array_two(i) = -array_two(i),
    end
end
```

9.4.4 数字识别测试

利用 MATLAB 神经网络工具箱中的 `sim()` 函数,将带噪声的数字点阵输入已创建好的

若您对此书内容有任何疑问,可以在线交流或登录 MATLAB 中文论坛与作者交流。

Hopfield 网络,使可以对带噪声的数字点阵进行识别。实现的程序如下:

```
%% 仿真测试
noisy_one = (noisy_array_one)';
identify_one = sim(net, {10, 10}, {}, noisy_one);
identify_one(10, '
noisy_two = (noisy_array_two)';
identify_two = sim(net, 10, 10, {}, noisy_two);
identify_two(10, '

```

9.4.5 结果分析

1. 结果显示

考虑到仿真结果的直观性和可读性,将程序中的数字点阵以图形的形式呈现给广大读者。具体的程序如下。

```
%% 绘图
subplot(3,2,1)
Array_one = imresize(array_one, 20);
imshow(Array_one)
title('standard number 1')
subplot(3,2,2)
Array_two = imresize(array_two, 20);
imshow(Array_two)
title('standard number 2')
subplot(3,2,3)
Noisy_array_one = imresize(noisy_array_one, 20);
imshow(Noisy_array_one)
title('noisy number 1')
subplot(3,2,4)
Noisy_array_two = imresize(noisy_array_two, 20);
imshow(Noisy_array_two)
title('noisy number 2')
subplot(3,2,5)
imshow(imresize(identify_one(10, '20)))
title('identify number 1')
subplot(3,2,6)
imshow(imresize(identify_two(10, '20)))
title('identify number 2')

```

说明:

① `subplot(m,n,p)` 函数用于在同一个图形中绘制 m 行 n 列共 $m \times n$ 个子图, p 为当前画的子图的位置,其值范围是 $1 \sim m \times n$ 。

② `imresize(A, scale)` 函数可以实现图形的缩放,当 $scale > 1$ 时为放大, $0 < scale < 1$ 时为缩小。

若您对此书内容有任何疑问,可以凭在线交流卡登录 MATLAB 中文论坛与作者交流。

③ `imshow(I)` 函数将矩阵 I 所对应的图形显示出来。

固定噪声产生法和随机噪声产生法程序运行结果分别如图 9-4 和图 9-5 所示。

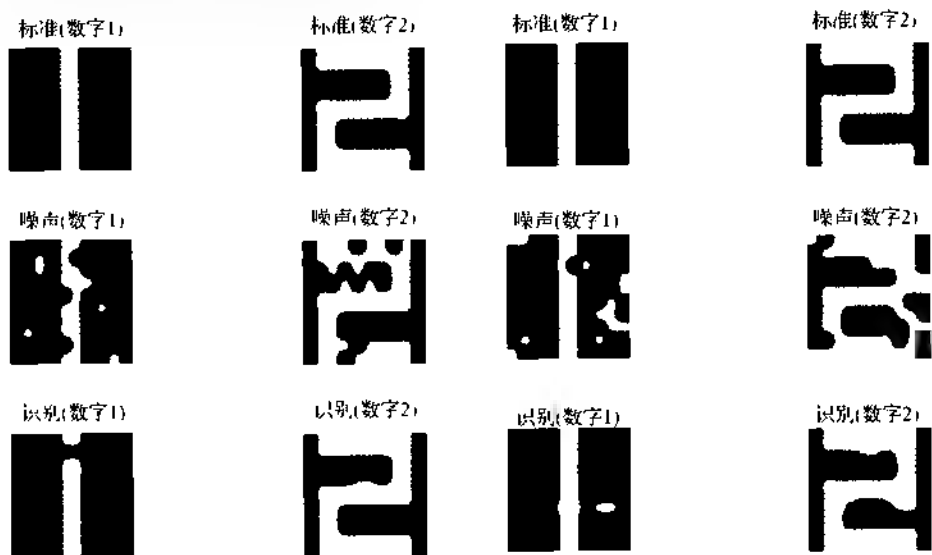


图 9-4 固定噪声产生法数字识别结果

图 9-5 随机噪声产生法数字识别结果

2. 结果分析

通过观察图 9-4 和图 9-5, 可以看到, 通过联想记忆, 对于带一定噪声的数字点阵, Hopfield 网络可以正确地进行识别。

9.5 案例扩展

9.5.1 识别效果讨论

图 9-5 所示是噪声强度为 0.1 (即 10% 的数字点阵位置值发生了改变) 时的识别效果, 从图中可以看出识别效果很好。进一步的研究发现, 随着噪声强度的增加, 识别效果逐渐下降。噪声强度为 0.2 和 0.3 时的识别结果分别如图 9-6 和图 9-7 所示, 从图中不难看出, 当噪声强度为 0.3 时, Hopfield 已经很难对数字进行识别。

9.5.2 应用扩展

离散型 Hopfield 神经网络具有联想记忆的功能。近年来, 越来越多的研究人员尝试着将 Hopfield 神经网络应用到各个领域, 因此解决很多传统方法难以解决的问题, 如水质评价、发电机故障诊断、项目风险分析等。

将一些优化算法与离散 Hopfield 神经网络相结合, 可以使其联想记忆能力更强, 应用效果更为突出。例如, 由于一般离散 Hopfield 神经网络存在很多伪稳定点, 网络很难达到真正的稳态。将遗传算法应用到离散 Hopfield 神经网络中, 利用遗传算法的全局搜索能力, 对 Hopfield 联想记忆稳态进行优化, 使得联想的模式跳出伪稳定点, 从而使 Hopfield 网络在较

若您对此书内容有任何疑问, 可以凭在线交流卡登录 MATLAB 中文论坛与作者交流。

高噪声比的情况下保持较高的联想成功率。

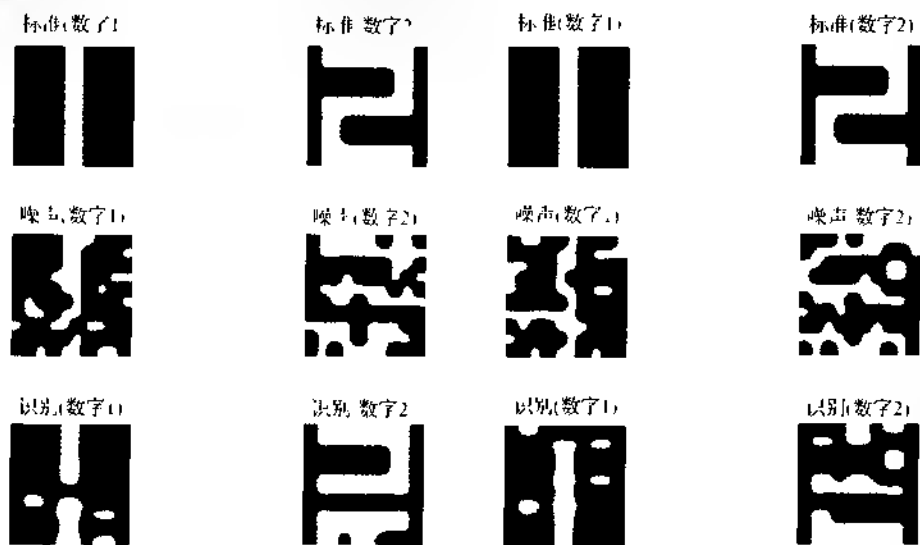


图 9-6 噪声强度为 0.2 时的识别结果

图 9-7 噪声强度为 0.3 时的识别结果

参考文献

- [1] 飞思科技产品研发中心. 神经网络与 MATLAB 7 实现[M]. 北京: 电子工业出版社, 2005.
- [2] 董长虹. Matlab 神经网络与应用[M]. 2 版. 北京: 国防工业出版社, 2017.
- [3] 张良均, 曹品, 蒋世忠. 神经网络实用教程[M]. 北京: 机械工业出版社, 2008.
- [4] 崔永华, 方其亨. 基于 Hopfield 网络的水质综合评价及其 matlab 实现[J]. 水资源保护, 2007, 23(3): 14-16.
- [5] 徐若冰, 施伟峰, 刘燕. 基于 DHNN 的船舶发电机故障诊断[J]. 仪器仪表用户, 2017, 14(6): 114-115.
- [6] 宋涛, 唐德晋, 曲炜. 基于离散型 Hopfield 神经网络的项目风险分析模型[J]. 统计与决策, 2011, 3(24): 24-26.
- [7] 高雷阜, 徒君, 赵艳艳. 基于 Hopfield 网的煤与瓦斯突出分类模型[J]. 辽宁工程技术大学学报, 2015, 34(6): 818-822.
- [8] 谢宏, 付怡刚, 彭敏放, 等. 离散 Hopfield 神经网络在燃烧控制系统故障诊断中的应用[J]. 湖南大学学报(自然科学版), 2017, 34(3): 33-37.
- [9] 姜惠兰, 孙雅明. 反馈式 Hopfield 神经网络在输电线路故障诊断中的应用[J]. 电力系统及自动化, 2006, 30(1): 6-12.

若您对此书内容有任何疑问，可以凭在线交流卡登录 MATLAB 中文论坛与作者交流。

第 10 章 离散 Hopfield 神经网络的分类

——高校科研成果评价

10.1 案例背景

10.1.1 离散 Hopfield 神经网络学习规则

离散型 Hopfield 神经网络的结构、工作方式、稳定性等问题在第 9 章中已经进行了详细的介绍,此处不再赘述。本节将详细介绍离散 Hopfield 神经网络权系数矩阵的设计方法,设计权系数矩阵的目的是:

- ① 保证系统在异步工作时的稳定性,即它的权值是对称的;
- ② 保证所有要求记忆的的稳定平衡点都能收敛到自己;
- ③ 使伪稳定点的数目尽可能地少;
- ④ 使稳定点的吸引力尽可能地大。

常用的设计方法有:外积法和正交化法。

1. 外积法

对于一给定的需记忆的样本向量 t^1, t^2, \dots, t^N , 如果 t^k 的状态为 $+1$ 或 -1 , 则其连接权值的学习可以利用“外积规则”, 即

$$W = \sum_{k=1}^N [t^k (t^k)^T - I] \quad (10-1)$$

利用外积法设计离散型 Hopfield 的步骤可归结为:

步骤 1: 根据需要记忆的样本 t^1, t^2, \dots, t^N , 按式(10-1)计算权系数矩阵。

步骤 2: 令测试样本 $p_i (i=1, 2, \dots, n)$ 为网络输出的初始值 $y(0) = p_i (i=1, 2, \dots, n)$, 设定迭代次数。

步骤 3: 进行迭代计算的公式为

$$y(k+1) = f\left(\sum_{i=1}^N w_{ij} y_i\right) \quad (10-2)$$

步骤 4: 当达到最大迭代次数或神经元输出状态保持不变时, 迭代终止; 否则, 返回步骤 3 继续迭代。

2. 正交化法

MATLAB 神经网络工具箱中 newhop() 函数采用的权值修正方法即为正交化法, 总体调整算法如下:

步骤 1: 输入 N 个输入模式 t^1, t^2, \dots, t^N 及参数 τ, h 。

步骤 2: 计算 $A = [t^1, t^2, \dots, t^N]$ 。

步骤 3: 对 A 做奇异值分解 $A = USV^T$, 并计算 A 的秩 $K = \text{rank}(A)$ 。

步骤4:分别由 $U^0 = U, U^0, \dots, U^k$ 和 $u^m = u^{k+1}, u^{k+2}, \dots, u^N$ 计算 $T^0 = \sum_{i=1}^N u(u^i)^T$,

$$T^m = \sum_{i=k+1}^N u^i(u^i)^T.$$

步骤5:计算 $W^0 = T^0 \times T^0, b^0 = t^0, W < t^0$ 。

步骤6:计算 $W = \exp(h \times W)$ 。

步骤7:计算 $b = U \times \begin{bmatrix} C_1 \times I(K) & 0(K, N-K) \\ 0(N-K, K) & C_2 \times I(N-K) \end{bmatrix} \times U^T \times b'$, 其中 $C = \exp(h) - 1$,

$$C_1 = [\exp(\tau \times h) - 1] \tau.$$

关于正交化法的公式推导和样本收敛证明,请参考文献[2]。

10.1.2 高校科研能力评价概述

科研能力是高校的核心能力,其高低已成为衡量一所高校综合实力的重要指标。科研能力的高低不仅影响高校自身的发展,对高校所在地区的经济发展也有很大的影响。如何准确评价高校的科研能力已成为摆在政府、企业和高校面前的一个十分重要的问题。影响科研能力的因素众多,且互相交叉、互相渗透和互相影响,无法用确定的数学模型进行描述。目前,高校科研能力评价方法很多,但普遍存在工作繁琐、时间滞后等缺点,且人为主观因素对评价结果有很大的影响。如何快速、准确地对众多高校的科研能力进行客观、公正地评价?这是一个目前亟待解决的问题。

10.1.3 问题描述

影响高校科研能力的因素很多,本书仅以较为重要的 11 个影响因素作为评价指标:科研队伍(X_1)、科研基地(X_2)、科技学识及其相应的载体(图书情报资料)(X_3)、科研经费(X_4)、科研管理(X_5)、信息接收加工能力(X_6)、学识积累与技术储备能力(X_7)、科研技术创新能力(X_8)、知识释放能力(X_9)、自适应调节能力(X_{10})、科学决策能力(X_{11})。

高校科研能力一般分为五个等级:很强(I)、较强(II)、一般(III)、较差(IV)及很差(V)。

某机构对 20 所高校的科研能力进行了调研和评价,试根据调研结果中较为重要的 11 个评价指标的数据,并结合离散 Hopfield 神经网络的联想记忆能力,建立离散 Hopfield 高校科研能力评价模型。

10.2 模型建立

10.2.1 设计思路

将若干个典型的分类等级所对应的评价指标设计为离散型 Hopfield 神经网络的平衡点, Hopfield 神经网络学习过程即为典型的分类等级的评价指标逐渐趋近于 Hopfield 神经网络的平衡点的过程。学习完成后, Hopfield 神经网络储存的平衡点即为各个分类等级所对应的评价指标。当有待分类的高校的评价指标输入时, Hopfield 神经网络即利用其联想记忆的能力逐渐趋近于某个储存的平衡点,当状态不再改变时,此时平衡点所对应的便是待求的分类

若您对此书内容有任何疑问,可以凭在线交流卡登录 MATLAB 中文论坛与作者交流。

等级。

10.2.2 设计步骤

在设计思路的基础上,本案例的设计步骤主要包括如下5个步骤,如图10-1所示。

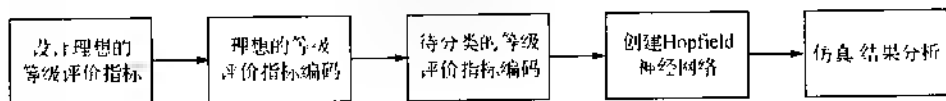


图 10-1 模型建立流程图

1. 设计理想的等级评价指标

本书所研究的20所高校的科研能力等级与11个评价指标之间的关系,如表10-1所列。

表 10-1 20所高校的科研能力等级及对应的评价指标

序号\指标	X_1	X_2	X_3	X_4	X_5	X_6	X_7	X_8	X_9	X_{10}	X_{11}	等级
1	98	92	86	90	97	9	96	92	91	94		I
2	92	96	94	88	95	91	89	97	93	91	99	I
3	73	87	82	6	81	14	86	80	91	8	82	II
4	78	7	76	91	82	84	81	78	63	76	84	II
5	87	46	93	97	91	91		88	46	98	94	I
6	68	1	64	16	69	6	67	7	7	63	67	III
7	61	61	2	7	67	68	72	61	63	69	62	II
8	38	43	5	67	18	17	33	46	4	50	34	IV
9	3	46	17	38		16	39	48	2	8	47	IV
10	44	97	91	96	87	93	48	92	86	44	95	I
11	24	31	47	31	8	19	33	13	22	38	31	V
12	84	80	71	78	73	81	71	67	82	88	75	II
13	44	78	57	45	62	74	46	79	55	45	43	IV
14	37	23	16	27	38	24	29	28	38	21	26	V
15	6	44	17	38	26	3	2	37	14	11	39	V
16	65	61	68	62	61	78	63	69	64	62	66	III
17	78	67	62	67	7	69	64	66		74	67	III
18	73	84	97	78	81	86	76	8	89	7	87	II
19	33	28	37	27	26	14	38	26	36	44	21	V
20	94	84	96	94	91	99	9	87	93	88	88	I

将各个等级的样本对应的各评价指标的平均值作为各个等级的理想评价指标,即作为Hopfield神经网络的平衡点,如表10-2所列。

若您对此书内容有任何疑问,可以凭在线交流卡登录MATLAB中文论坛与作者交流。

表 10-2 5 个等级理想评价指标

指标 等级	X_1	X_2	X_3	X_4	X_5	X_6	X_7	X_8	X_9	X_{10}	X_{11}
I	94	94	92	94	94	95	94	92	92	93	94
II	88	78	81	78	82	84	79	77	80	81	82
III	64	67	64	63	67	64	66	67	68	67	65
IV	45	49	41	42	47	44	46	41	51	44	48
V	27	33	32	24	27	34	30	26	34	34	29

2. 理想的等级评价指标编码

由于离散型 Hopfield 神经网络神经元的状态只有 1 和 -1 两种情况, 所以将评价指标映射为神经元的状态时, 需要将其进行编码。编码规则为: 当大于或等于某个等级的指标值时, 对应的神经元状态设为“1”, 否则设为“-1”。理想的 5 个等级评价指标编码如图 10-2 所列, 其中●表示神经元状态为“1”, 即大于或等于对应等级的理想评价指标值, 反之则用○表示。

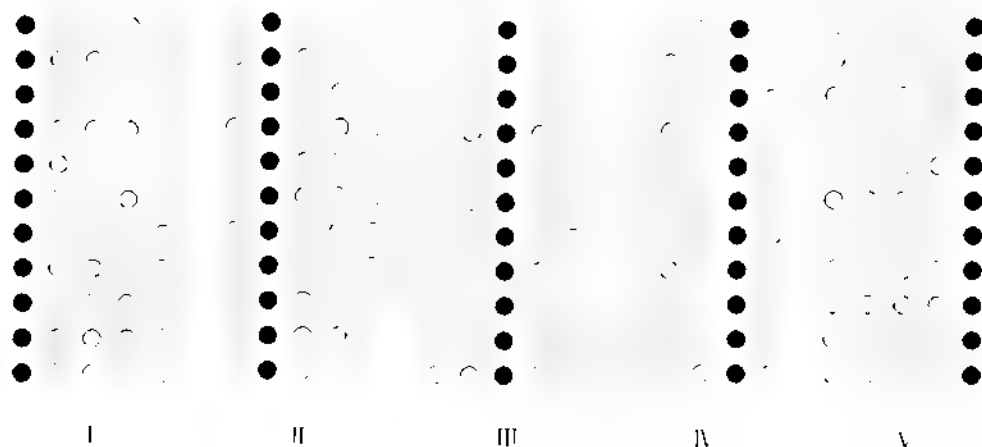


图 10-2 理想的 5 个等级评价指标编码

3. 待分类的等级评价指标编码

5 所待分类的高校等级评价指标如表 10-3 所列, 根据上述的编码规则得到对应的编码, 如图 10-3 所示。

表 10-3 5 所待分类的高校等级评价指标

指标 $i \in I_j$	X_1	X_2	X_3	X_4	X_5	X_6	X_7	X_8	X_9	X_{10}	X_{11}
1	96	92	85	89	93	87	91	76	98	94	97
2	70	88	75	82	96	79	89	80	84	85	83
3	60	7	68	67	77	7	76	8	69	7	64

若您对此书内容有任何疑问, 可以凭在线交流卡登录 MATLAB 中文论坛与作者交流。

续表 10-3

指标 序号	X_1	X_2	X_3	X_4	X_5	X_6	X_7	X_8	X_9	X_{10}	X_{11}
1	5	19	4	81	68	73	57	48	6	43	55
5	20	38	12	25	24	37	40	46	21	46	32

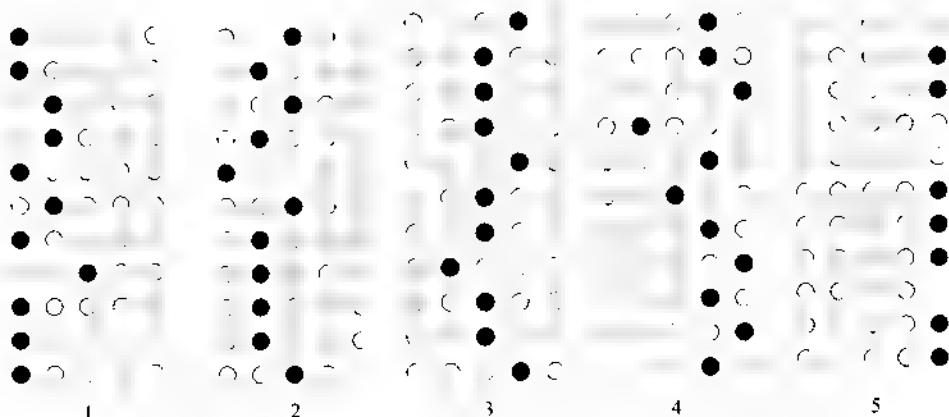


图 10-3 5 所待分类的高校等级评价指标编码

4. 创建网络

设计好理想的 5 个等级评价指标及编码后,即可利用 MATLAB 自带的神经网络工具箱函数创建离散型 Hopfield 神经网络。

5. 仿真、分析

网络创建完毕后,将待分类的 5 所高校等级评价指标的编码作为 Hopfield 神经网络的输入,经过一定次数的学习,便可以得到仿真结果。将仿真结果与真实的等级进行比较,可以对模型进行合理的评价。

10.3 MATLAB 实现

利用 MATLAB 神经网络工具箱提供的函数,将设计步骤 在 MATLAB 环境下实现。

10.3.1 清空环境变量

程序运行之前,清除工作空间 workspace 中的变量及 command window 中的命令。具体程序为

```
%% 清空环境变量
clear all
clc
```

10.3.2 导入数据

1. 导入5个理想的等级评价指标编码

理想的5个等级评价指标编码为5个 11×5 的矩阵,每个矩阵中的元素只包含“1”和“-1”两种取值。数据保存在 class.mat 文件中,依次为 class_1、class_2、class_3、class_4、class_5。由于篇幅所限,此处只列出等级1的编码情况。

```
class_1 [1      1      -1      1      -1; 1      1      -1      1      -1; 1      1      -1      -1      1; 1      -1      -1      -1      1; 1      -1      1      -1      1; 1      -1      1      -1      -1];
```

具体程序如下:

```
%% 导入5个理想的等级评价指标编码
load class.mat
```

2. 导入5所待分类高校的等级评价指标编码

待分类的5所高校等级评价指标的编码保存在 sim.mat 文件中,5个编码矩阵分别为 sim_1、sim_2、sim_3、sim_4 和 sim_5,与图 10-3-1 对应。本书仅列出一所高校等级评价指标的编码:

```
sim_1 = [1      -1      -1      1      -1; 1      1      -1      -1      1; 1      1      1      -1      -1; 1      -1      -1      1      -1; 1      1      -1      -1      1; 1      -1      -1      -1      1];
```

具体程序为:

```
%% 导入待分类的5所高校等级评价指标编码
load sim.mat
```

10.3.3 创建目标向量(平衡点)

将理想的5个等级评价指标的编码作为 Hopfield 神经网络的平衡点,程序为:

```
%% 目标向量
T=[class_1 class_2 class_3 class_4 class_5];
```

10.3.4 创建网络

利用 MATLAB 自带的神经网络工具箱函数 newhop,可以方便地创建离散型 Hopfield 神经网络,具体程序如下:

若您对此书内容有任何疑问,可以凭在线交流卡登录 MATLAB 中文论坛与作者交流。

```
%% 创建网络
net = newhop(T),
```

10.3.5 仿真测试

将待分类的 5 所高校等级评价指标的编码输入创建好的离散型 Hopfield 神经网络,利用 MATLAB 自带的神经网络工具箱函数 `sim` 进行仿真。具体程序如下:

```
%% 网络仿真
A = {[sim_1 sim_2 sim_3 sim_4 sim_5]};
Y = sim(net, 25/20, {}, A);
Y1 = Y(20(:,1:5))
Y2 = Y(20(:,6:10))
Y3 = Y(20(:,11:15))
Y4 = Y(20(:,16:20))
Y5 = Y(20(:,21:25))
```

10.3.6 结果分析

1. 结果显示

为了直观地显示仿真结果,本书以图形的形式将结果呈现出来。具体程序为:

```
%% 结果显示
result = {T;A;1;Y/20};
figure
for p = 1:3
    for k = 1:5
        subplot(3,5,(p-1)*5+k)
        temp = result{p}(:,(k-1)*5+1:k*5);
        [m,n] = size(temp);
        for i = 1:m
            for j = 1:n
                if temp(i,j) > 0
                    plot(j,m-i,'ko','MarkerFaceColor','k');
                else
                    plot(j,m-i,'ko');
                end
            end
            hold on
        end
        end
        axis([0 6 0 12])
        axis off
        if p == 1
            title(['class' num2str(k)])
        elseif p == 2
            title(['presim' num2str(k)])
        end
    end
end
```

若您对此书内容有任何疑问,可以凭在线交流卡登录 MATLAB 中文论坛与作者交流。

```

else
    title(['sim' num2str(k,)]
end
end
end
end

```

2. 结果分析

仿真结果如图 10-4 所示。其中,第一行与图 10-2 相对应,表示 5 个理想的等级评价指标编码;第二行与图 10-3 相对应,表示 5 所待分类的高校等级评价指标编码;第三行为设计的 Hopfield 神经网络分类的结果。从图中可以清晰地看出,设计的 Hopfield 网络可以有效地进行分类,从而可以对高校的科研能力进行客观公正地评价。

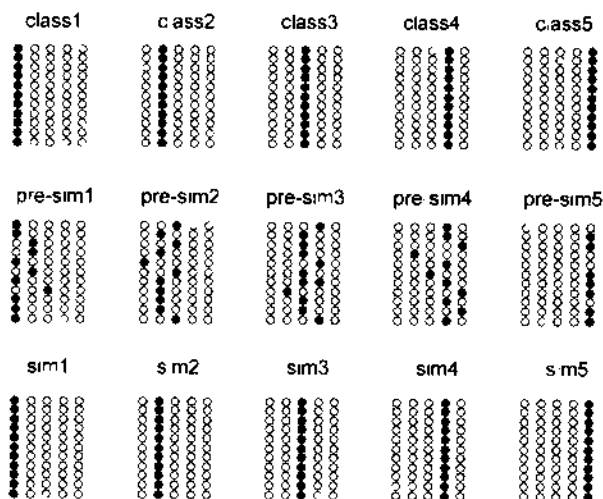


图 10-4 待分类的 5 所高校等级评价指标编码仿真结果

10.4 案例扩展

值得注意的是,本书中所设计的离散型 Hopfield 神经网络并非适用于任何场合。当某所高校的优势与劣势并存且相当明显(即一些影响因素得分很高,一些影响因素得分很低)时, Hopfield 神经网络将得不到确切的分类。例如,某所高校经过上述的编码规则编码后,得到的等级评价指标编码为:

```

sim_n = [ 1      1      -1      1      -1; -1      1      -1      1      -1;
          1      1      1      -1      -1; 1      1      1      -1      -1;
          1      1      1      -1      -1; -1      1      1      1      -1;
          1      1      -1      1      -1; 1      -1      1      -1      1;
          -1      1      1      1      -1];

```

利用前文创建好的 Hopfield 网络进行仿真测试,仿真步数 TS 设置为 100,具体程序为:

若您对此书内容有任何疑问,可以凭在线交流卡登录 MATLAB 中文论坛与作者交流。

仿真结果为:

a =					
-1	-1	1	1	-1	
-1	1	1	-1	-1	
1	-1	-1	-1	1	
-1	-1	1	1	-1	
-1	1	-1	-1	-1	
1	-1	-1	-1	1	
-1	-1	1	1	-1	
-1	-1	1	-1	-1	
1	1	-1	-1	1	
-1	-1	-1	1	-1	
-1	-1	1	1	-1	

如图 10-5 所示,从仿真结果中可以看出,其不属于五种典型等级类别,即意味着所设计的 Hopfield 神经网络寻找不到与之最为接近的平衡点,因此无法将其正确分类。在这一点上,和专家打分法的结果是一致的。

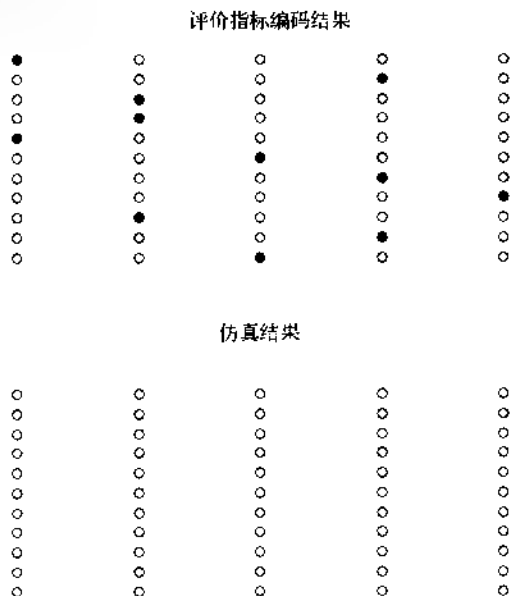


图 10-5 待分类的高校等级评价指标编码与仿真结果

- [2] 徐振东. 人工神经网络的数学模型建立及成矿预测 BP 网络的实现[D]. 吉林: 吉林大学, 2004.
- [3] 朱文藻. 高校科研能力评价指标体系的建立及评价[J]. 安徽工程科技学院学报, 2003, 18(3): 40-44.
- [4] 史忠植. 神经网络[M]. 北京: 高等教育出版社, 2009.
- [5] Fredric M Ham, Ivica Kostanic. 神经计算原理[M]. 叶世伟, 王海娟, 译. 北京: 机械工业出版社, 2007.
- [6] 高芳, 王明秀, 崔刚. 基于神经网络的高校财务评价[J]. 哈尔滨工业大学学报, 2000, 37(6): 854-857.
- [7] 刘权, 官建成. 神经网络在 R&D 项目中止决策中的应用[J]. 北京航空航天大学学报, 2001, 26(4): 461-464.
- [8] 曾华, 王恒山. 基于 Hopfield 网络的信息技术外包服务商评价模型[J]. 电子技术应用, 2006, 9: 15-18.

第 11 章 连续 Hopfield 神经网络的优化

——旅行商问题优化计算

11.1 案例背景

11.1.1 连续 Hopfield 神经网络概述

1. 网络结构

连续 Hopfield 神经网络(CHNN, Continuous Hopfield Neural Network)的拓扑结构和离散 Hopfield 神经网络的结构类似,如图 11-1 所示。连续 Hopfield 网络和离散 Hopfield 网络不同点在于其传递函数不是阶跃函数,而是连续函数。

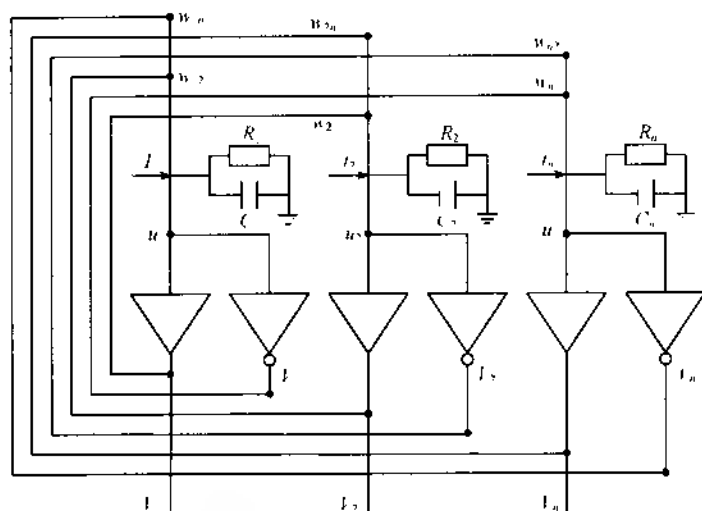


图 11-1 CHNN 的电路形式

与离散型 Hopfield 神经网络不同,由于连续型 Hopfield 神经网络在时间上的连续性,其工作方式并行(同步)方式。

J. J. Hopfield 利用模拟电路(电阻、电容和运算放大器)实现了对网络的神经元的描述,如图 11-1 所示。假设神经元 j ($j=1,2,\dots,n$) 的内部膜电位状态用 U 表示,细胞膜输入电容为 C ,细胞膜的传递电阻为 R ,输出电压为 V ,外部输入电流用 I 表示。其中, R 和 C 的并联模拟了生物神经元的时间常数, u 模拟了神经元间的突触特性,运算放大器模拟了神经元的非线性特性, I 相当于阈值。由基尔霍夫电流定律(KCL, Kirchhoff's Current Law)可以得出:

$$C_j \frac{dU_j(t)}{dt} = \sum_{i=1}^n w_{ij} V_i(t) - \frac{U_j(t)}{R_j} + I_j \quad j = 1, 2, \dots, n \quad (11-1)$$

$$V_j(t) = g_j(U_j(t))$$

式中, n 为神经网络神经元的个数; $V_j(t)$ 为输出电位; $U_j(t)$ 为输入电位; g_j 为神经元的传递函数; $W = w_{ij} (i, j = 1, 2, \dots, n)$ 为网络权系数矩阵。

2. 网络稳定性

关于连续型 Hopfield 神经网络的稳定性, J. J. Hopfield 利用定义的能量函数进行了详细的推导和证明, 具体证明过程如下。

能量函数 $E(t)$ 定义为:

$$E(t) = \frac{1}{2} \sum_{i=1}^n \sum_{j=1}^n w_{ij} V_i(t) V_j(t) - \sum_{i=1}^n V_i(t) I_i + \sum_{i=1}^n \frac{1}{R_i} \int_{-\infty}^{V_i(t)} g_i^{-1}(V) dV \quad (11-2)$$

式中, $g_i^{-1}(V)$ 是 $V_i(t) = g_i(U_i(t))$ 的反函数。

对能量函数 $E(t)$ 求时间的导数 $dE(t)/dt$, 则有

$$\begin{aligned} \frac{dE(t)}{dt} &= \frac{1}{2} \sum_{i=1}^n \sum_{j=1}^n \left[w_{ij} \frac{dV_j(t)}{dt} V_i(t) + w_{ji} V_j(t) \frac{dV_i(t)}{dt} \right] \\ &\quad + \sum_{i=1}^n I_i \frac{dV_i(t)}{dt} + \sum_{i=1}^n \frac{U_i(t)}{R_i} \times \frac{dV_i(t)}{dt} \end{aligned} \quad (11-3)$$

如果存在 $w_{ij} = w_{ji}$, 则上式可以写为

$$\begin{aligned} \frac{dE(t)}{dt} &= \sum_{i=1}^n \sum_{j=1}^n w_{ij} V_i(t) \frac{dV_j(t)}{dt} + \sum_{i=1}^n I_i \frac{dV_i(t)}{dt} + \sum_{i=1}^n \frac{U_i(t)}{R_i} \times \frac{dV_i(t)}{dt} \\ &\quad + \sum_{i=1}^n \frac{dV_i(t)}{dt} \left[\sum_{j=1}^n w_{ji} V_j(t) + I_i - \frac{U_i(t)}{R_i} \right] \end{aligned} \quad (11-4)$$

将连续型 Hopfield 网络的动态方程式(11-1)代入上式, 有

$$\frac{dE(t)}{dt} = \sum_{i=1}^n \frac{dV_i(t)}{dt} \times C_i \frac{dU_i(t)}{dt} \quad (11-5)$$

由于 $V_i(t) = g_i(U_i(t))$, 所以 $U_i(t) = g_i^{-1}(V_i(t))$, 因此上式可以改写为

$$\begin{aligned} \frac{dE(t)}{dt} &= \sum_{i=1}^n \frac{dV_i(t)}{dt} \times C_i \frac{d[g_i^{-1}(V_i(t))]}{dt} \\ &= \sum_{i=1}^n \frac{dV_i(t)}{dt} \times C_i \frac{d[g_i^{-1}(V_i(t))]}{dV_i(t)} \times \frac{dV_i(t)}{dt} \\ &= \sum_{i=1}^n \left[\frac{dV_i(t)}{dt} \right]^2 \times C_i \times [g_i^{-1}(V_i(t))] \end{aligned} \quad (11-6)$$

若传递函数 $g_i(u)$ 为单调递增的连续有界函数, 则其反函数也为单调增函数, 故可知其导数必定大于 0, 即 $[g_i^{-1}(V_i(t))] > 0$ 。同时, 可知 $C_i > 0$, $\left(\frac{dV_i(t)}{dt}\right)^2 \geq 0$, 因此 $\frac{dE(t)}{dt} \leq 0$, 且仅当

$\frac{dV_i(t)}{dt} = 0$ 时有 $\frac{dE(t)}{dt} = 0$ 。

从上述证明过程可以看出:

① 当网络神经元的传递函数单调递增且网络权系数矩阵对称时, 网络的能量会随着时间变化下降或保持不变;

若您对此书内容有任何疑问, 可以凭在线交流卡登录 MATLAB 中文论坛与作者交流。

② 当且仅当神经元的输出不再随时间变化而变化时,网络的能量 E 会不变。

3. 优化计算

在实际应用中,如果将一个最优化问题的目标函数转换成连续 Hopfield 神经网络的能量函数,把问题的变量对应于网络中神经元的状态,那么 Hopfield 神经网络就能够用于解决优化组合问题。即当网络的神经元状态趋于平衡点时,网络的能量函数也趋于最小值,网络由初态向稳态收敛的过程就是目标函数优化计算的过程。

11.1.2 组合优化问题概述

组合优化(combinatorial optimization)问题的目标是从组合问题的可行解集中求出最优解,通常可描述为:令 $\Omega = \{s_1, s_2, \dots, s_n\}$ 为所有状态构成的解空间, $C(s_i)$ 为状态 s_i 对应的目标函数值,要求寻找最优解 s^* ,使得对于所有的 $s \in \Omega$,有 $C(s^*) = \min(C(s))$ 。组合优化往往涉及排序、分类、筛选等问题,是运筹学的一个重要分支。

典型的组合优化问题有旅行商问题(TSP, Traveling Salesman Problem)、加工调度问题(scheduling problem,如 Flow Shop, job shop)、0-1 背包问题(knapsack problem)、装箱问题(bin packing problem)、图着色问题(graph coloring problem)、聚类问题(clustering problem)等。这些问题描述非常简单,并且有很强的工程代表性,但最优化求解很困难,其主要原因是求解这些问题的算法运行时,需要极长的运行时间与极大的存储空间,以致根本不可能在现有的计算机上实现,即会产生所谓的“组合爆炸”问题。正是这些问题的代表性和复杂性激起了人们对组合优化理论与算法的研究兴趣。

利用神经网络解决组合优化问题是神经网络应用的一个重要方面。将 Hopfield 网络应用于求解组合优化问题,把目标函数转化为网络的能量函数,把问题的变量对应到网络的神经元的状态,这样,当网络的能量函数收敛于极小值时,问题的最优解也随之求出。由于神经网络是并行计算的,其计算量不会随着维数的增加而发生指数性“爆炸”,因而对于优化问题的高速计算特别有效。

11.1.3 问题描述

旅行商(TSP)问题的描述是:在 N 个城市中各经历一次后再回到出发点,使所经过的路程最短。若不考虑方向性和周期性,在给定 N 的条件下,可能存在的闭合路径数目为 $\frac{1}{2}(N-1)!$ 。当 N 较大时,枚举法的计算量之大难以想象。现对于一个城市数量为 10 的 TSP 问题,要求设计一个可以对其进行组合优化的连续型 Hopfield 神经网络模型,利用该模型可以快速地找到最优(或近似最优)的一条路线。

11.2 模型建立

11.2.1 设计思路

由于连续型 Hopfield 神经网络具有优化计算的特性,因此将 TSP 问题的目标函数(即最短路径)与网络的能量函数相对应,将经过的城市顺序与网络的神经元状态相对应。这样,由

若您对此书内容有任何疑问,可以凭在线交流卡登录 MATLAB 中文论坛与作者交流。

连续型 Hopfield 神经网络的稳定性理论可知,当网络的能量函数趋于最小值时,网络的神经元状态也趋于平衡点,此时对应的城市顺序即为待求的最佳路线。

11.2.2 设计步骤

依据设计思路,将 TSP 问题映射为一个连续型 Hopfield 神经网络主要分为以下几个步骤,如图 11-2 所示。

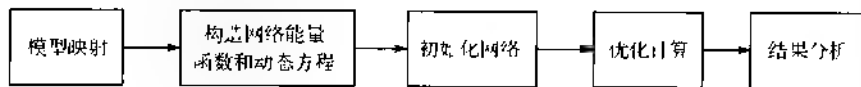


图 11-2 应用 Hopfield 网络解决优化计算的主要步骤

1. 模型映射

为了将 TSP 问题映射为一个神经网络的动态过程,Hopfield 采取了换位矩阵的表示方法,用 $N \times N$ 矩阵表示商人访问 N 个城市。例如,有 5 个城市 A,B,C,D,E,访问路线是 $A \rightarrow C \rightarrow E \rightarrow D \rightarrow B$,则 Hopfield 网络输出所代表的有效解对应的二维矩阵如表 11-1 所列。

表 11-1 5 个城市的访问路线

城市 \ 访问	1	2	3	4	5
A	1	0	0	0	0
B	0	1	0	0	0
C	0	0	1	0	0
D	0	0	0	1	0
E	0	0	0	0	1

对于 N 个城市 TSP 问题,需用 $N \times N$ 个神经元来实现,而每行每列都只能有一个 1,其余为 0,矩阵中 1 的和为 N ,该矩阵称为换位矩阵。

2. 构造网络能量函数和动态方程

如前文所述,设计的 Hopfield 神经网络的能量函数是与目标函数(即最短路径)相对应的。同时,应该考虑到有效解(路线)的实际意义,即换位矩阵的每行、每列都只能有一个 1。因此,网络的能量函数包含目标项(目标函数)和约束项(换位矩阵)两部分。这里,将网络的能量函数定义为:

$$E = \frac{A}{2} \sum_i \left(\sum_j V_{ij} - 1 \right)^2 + \frac{A}{2} \sum_j \left(\sum_i V_{ij} - 1 \right)^2 + \frac{D}{2} \sum_i \sum_j \sum_k V_{ij} d_{jk} V_{ik} \quad (11-7)$$

式中,前两项为问题的约束项,第三项为待优化的目标项。

由式(11-5)可以推导出,网络的动态方程为:

$$\frac{dU_i}{dt} = -\frac{\partial E}{\partial V_{in}} = A \left(\sum_j V_{ij} - 1 \right) - A \left(\sum_j V_{ij} - 1 \right) - D \sum_j d_{ij} V_j \quad (11-8)$$

3. 初始化网络

Hopfield 神经网络迭代过程对网络的能量函数及动态方程的系数十分敏感,在总结前人

若您对此书内容有任何疑问,可以凭在线交流卡登录 MATLAB 中文论坛与作者交流。

经验及多次实验的基础上,网络输入初始化选取如下:

$$U_{in}(t) = U \cdot \ln(N-1) + \delta_{in} \quad (x, z = 1, 2, \dots, N; t = 0) \quad (11-9)$$

式中, $U = 0.1$, N 为城市个数 10; δ_{in} 为 $(-1, +1)$ 区间的随机值。

在式(11-7)、式(11-8)中,取 $A = 200$, $D = 100$; 采样时间设置为 $\text{step} = 0.0001$, 迭代次数为 10 000。

4. 优化计算

当网络的结构及参数设计完成后,迭代优化计算的过程就变得非常简单,具体步骤如下。

步骤 1: 导入 N 个城市的位置坐标并计算城市之间的距离;

步骤 2: 网络初始化;

步骤 3: 利用式(11-8)动态方程计算 $\frac{dU_n}{dt}$, 并利用 4 阶欧拉法计算 $U_n(t+1) = U(t) +$

$\frac{dU_n}{dt} \Delta T$;

步骤 4: 根据 $V_n(t) = g(U_n(t)) = \frac{1}{2} \left[1 + \tan^{-1} \left(\frac{U_n(t)}{U} \right) \right]$ 计算 $V_n(t)$;

步骤 5: 利用式(11-7)计算能量函数 E ;

步骤 6: 判断迭代次数是否结束,若迭代次数 $k > 10000$, 则终止,否则 $k = k + 1$ 返回步骤 3。

11.3 MATLAB 实现

11.3.1 清空环境变量、声明全局变量

程序运行之前,有必要对工作空间(workspace)中的变量及命令窗口(command window)中的命令进行清除,同时,对于一些在主函数和子函数中都需使用的变量,可以定义为全局变量。具体程序如下:

```
%% 清空环境变量、定义全局变量
clear all
clc
global A D
```

11.3.2 城市位置导入并计算城市间距离

10 个城市的横、纵坐标如表 11-2 所列,数据保存在 city_location.mat 中,程序运行时只需要利用 load 命令导入即可。根据导入的城市坐标位置,求取任意两个城市间的距离,以便计算动态方程和能量函数的时候使用。具体的程序如下:

```
%% 导入城市位置
load city_location
%% 计算相互城市间距离
distance = dist(citys, citys');
```

说明:distc()函数用于求取两点间的距离,具体可以查看 Help 帮助文档。

表 11-2 10 个城市的坐标位置

城市序号 坐标位置	1	2	3	4	5	6	7	8	9	10
横坐标	0.1	0.2	0.4	0.7	0.7	0.8	0.2	0.5	0.7	0.9
纵坐标	0.6	0.3	0.4	0	0.2	0.4	0.8	0.9	0.6	0.8

11.3.3 初始化网络

根据 11.2 节中的设置,网络参数及输入神经元的初始化程序如下:

```
%% 初始化网络
N = size(citys,1);
A = 200;
D = 100;
U0 = 0.1;
step = 0.0001;
delta = 2 * rand(N,N) - 1;
U = U0 * log(N-1) + delta;
V = (1 + tansig(U/U0))/2;
iter_num = 10000;
E = zeros(1,iter_num);
```

11.3.4 寻优迭代

寻优迭代过程包括动态方程计算、输入神经元状态更新、输出神经元状态更新、能量函数计算四个步骤。主函数程序如下:

```
%% 寻优迭代
for k = 1:iter_num
    % 动态方程计算
    dU = diff_u(V,distance);
    % 输入神经元状态更新
    U = U + dU * step;
    % 输出神经元状态更新
    V = (1 + tanh(U/U0))/2;
    % 能量函数计算
    e = energy(V,distance);
    E(k) = e;
end
```

其中,动态方程计算和能量函数计算对应的子函数程序如下。

若您对此书内容有任何疑问,可以凭在线交流卡登录 MATLAB 中文论坛与作者交流。

1. 动态方程计算 diff_u.m

根据式(11-8),可以很方便地编写出动态方程计算的程序:

```
function du = diff_u(V,d)
global A D
n = size(V,1);
sum_x = repmat(sum(V,2) - 1,1,n);
sum_1 = repmat(sum(V,1) - 1,n,1);
V_temp = V(:,2:n);
V_temp = [V_temp V(:,1)];
sum_d = d * V_temp;
du = A * sum_x - A * sum_1 - D * sum_d;
```

说明:

① $\text{sum}(V,1)$ 表示将矩阵 V 进行按列求和,得到一个行向量; $\text{sum}(V,2)$ 表示将矩阵 V 进行按行求和,得到一个列向量;

② $\text{repmat}()$ 用于矩阵复制, $B = \text{repmat}(A,m,n)$ 表示将 A 复制 m 行 n 列, B 的大小 $\text{size}(B) = [\text{size}(A,1) * m, \text{size}(A,2) * n]$ 。

2. 能量函数计算 energy.m

根据式(11-7),计算能量函数的程序如下:

```
function E = energy(V,d)
global A D
n = size(V,1);
sum_x = sumsqr(sum(V,2) - 1);
sum_1 = sumsqr(sum(V,1) - 1);
V_temp = V(:,2:n);
V_temp = [V_temp V(:,1)];
sum_d = d * V_temp;
sum_d = sum(sum(V * sum_d));
E = 0.5 * (A * sum_x + A * sum_1 + D * sum_d);
```

说明:

① $\text{sum}()$ 和 $\text{repmat}()$ 的用法同上,此处不再赘述;

② $\text{sumsqr}()$ 用于求矩阵中各个元素平方之和,即 $\text{sumsqr}(a) = \text{sum}(\text{sum}(a.^2))$ 。

11.3.5 结果输出

1. 判断路径的有效性

当迭代过程完成以后,需要对最终的输出神经元状态进行标准化并检查路径是否有效,即是否满足换位矩阵的条件:每行每列均只有一个 1,矩阵中 1 的个数与城市数相等。具体的程序如下:

```
% 判断路径有效性
[rows,cols] = size(V);
V1 = zeros(rows,cols);
```

```
[V_max,V_ind] = max(V);
for j = 1:cols
    V1(V_ind(j),j) = 1;
end
C = sum(V1);
R = sum(V1');
flag = isequal(C,ones(1,N)) & isequal(R,ones(1,N));
```

如果 flag=1,表示迭代得到的矩阵是有效的,其所对应的路径也是合法的,否则,则表示迭代结束后没有找到一条有效的路径。

2. 结果显示

为了方便读者的阅读,将优化前后的路径及能量函数的变化以图形的形式展现出来,具体程序为:

```
% % 结果显示
if flag==1
    % 计算初始路径长度
    sort_rand = randperm(N);
    citys_rand = citys(sort_rand,:);
    Length_init = dist(citys_rand(1,:),citys_rand(end,:));
    for i = 2:size(citys_rand,1)
        Length_init = Length_init + dist(citys_rand(i-1,:),citys_rand(i,:));
    end
    % 绘制初始路径
    figure(1)
    plot([citys_rand(:,1),citys_rand(1,1)],...
        [citys_rand(:,2),citys_rand(1,2)],'o-')
    for i = 1:length(citys)
        text(citys(i,1),citys(i,2),[' ' num2str(i)])
    end
    text(citys_rand(1,1),citys_rand(1,2),[' ' 起点'])
    text(citys_rand(end,1),citys_rand(end,2),[' ' 终点'])
    title(['优化前路径(长度: ' num2str(Length_init) ' )'])
    axis([0 1 0 1])
    grid on
    xlabel('城市位置横坐标')
    ylabel('城市位置纵坐标')
    % 计算最优路径长度
    [V1_max,V1_ind] = max(V1);
    citys_end = citys(V1_ind,:);
    Length_end = dist(citys_end(1,:),citys_end(end,:));
    for i = 2:size(citys_end,1)
        Length_end = Length_end + dist(citys_end(i-1,:),citys_end(i,:));
    end
    disp('最优路径矩阵');V1
```

若您对此书内容有任何疑问,可以凭在线交流卡登录 MATLAB 中文论坛与作者交流。

```
% 绘制最优路径
figure(2)
plot([citys_end(:,1);citys_end(1,1)],...
[citys_end(:,2);citys_end(1,2)],'o-')
for i = 1:length(citys)
    text(citys(i,1),citys(i,2),[' num2str(i)'])
end
text(citys_end(1,1),citys_end(1,2),[' 起点'])
text(citys_end(end,1),citys_end(end,2),[' 终点'])
title(['优化后路径(长度: ' num2str(Length_end) ')'])
axis([0 1 0 1])
grid on
xlabel('城市位置横坐标')
ylabel('城市位置纵坐标')
% 绘制能量函数变化曲线
figure(3)
plot(1:iter_num,E);
title(['能量函数变化曲线(最优能量: ' num2str(E(end)) ')']);
xlabel('迭代次数');
ylabel('能量函数');
else
    disp('寻优路径无效');
end
```

3. 结果分析

图 11-3 为随机产生的初始路径,所经过的路径为 9 → 4 → 5 → 3 → 7 → 6 → 10 → 1 → 2 → 8 → 9,其长度为 4.934。

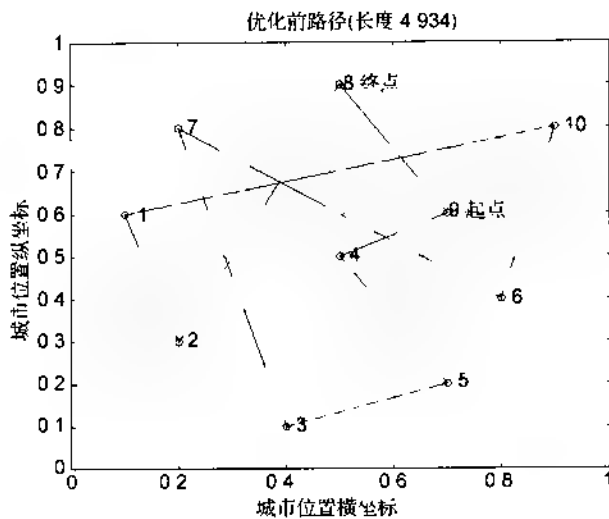


图 11-3 随机产生的初始路径

若您对此书内容有任何疑问，可以在线交流或登录 MATLAB 中文论坛与作者交流。

经过连续型 Hopfield 神经网络优化后,找到的优化路径为 $4 \rightarrow 9 \rightarrow 10 \rightarrow 8 \rightarrow 7 \rightarrow 1 \rightarrow 2 \rightarrow 3 \rightarrow 5 \rightarrow 6 \rightarrow 4$,其长度为 2.9137,如图 11-4 所示。

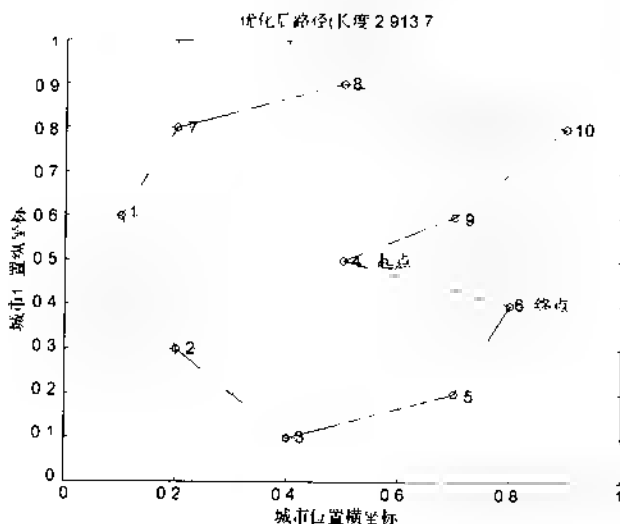


图 11-4 Hopfield 网络优化后路径

能量函数随迭代过程变化的曲线如图 11-5 所示,从图中可以看出,网络的能量随着迭代过程不断减少。当网络的能量变化很小时,网络的神经元状态也趋于平衡点,此时对应的城市顺序即为待求的优化路径。

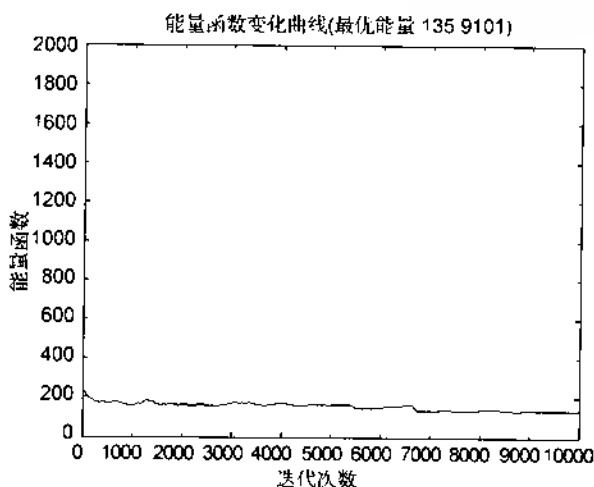


图 11-5 能量函数随迭代次数变化曲线

结果表明,利用连续型 Hopfield 神经网络,可以快速准确地解决 TSP 问题。同理,对于其他利用枚举法会产生“组合爆炸”的组合优化问题,利用连续型 Hopfield 神经网络也可以进行优化计算。

若您对此书内容有任何疑问,可以凭在线交流卡登录 MATLAB 中文论坛与作者交流。

11.4 案例扩展

11.4.1 结果比较

图 11-6 列出了在进行 100 次的实验中, 寻找到有效路径的次数与城市数量和迭代次数的关系。从表中可以看出, 随着城市数量的增加, Hopfield 神经网络寻优的效果越来越差, 增加迭代次数, 可以改善寻优的效果, 但并非迭代次数越多越好, 还得结合实际问题进行具体分析。

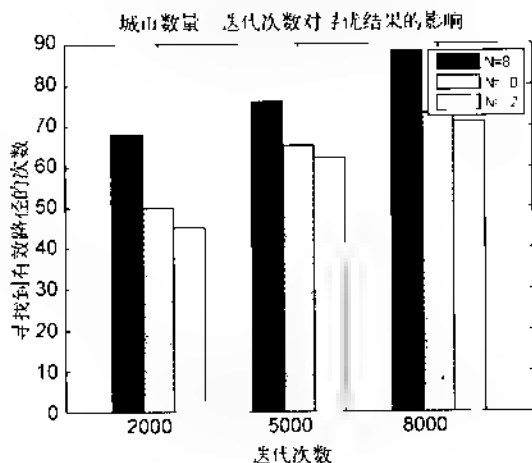


图 11-6 城市数量、迭代次数对寻优结果的影响

11.4.2 案例扩展

利用连续型 Hopfield 神经网络, 将待优化的目标函数及相对应的约束条件转化为能量函数, 将问题的变量对应神经网络神经元的状态。当 Hopfield 神经网络的输出状态趋于平衡点时, 能量函数对应的便是待优化问题的最优解。利用此思路, 可以快速、准确地解决各种优化问题, 如选址优化、轴承设计优化等。另外, 能量函数、网络参数会对优化结果产生很大的影响, 许多专家学者对这些问题进行了广泛深入的研究, 取得了很多有意义的成果, 具体请参考参考文献 [11]。

参考文献

- [1] 黄长虹. MATLAB 神经网络与应用[M]. 2 版. 北京: 国防工业出版社, 2007
- [2] 朱双东. 神经网络应用基础[M]. 沈阳: 东北大学出版社, 2000
- [3] 朱人奇, 史慧. 人工神经网络原理及应用[M]. 北京: 科学出版社, 2006
- [4] 刘金琨. 机器人控制系统的设计与 MATLAB 仿真[M]. 北京: 清华大学出版社, 2008
- [5] 王凌, 郑大钟. TSP 及其基于 Hopfield 网络优化的研究[J]. 控制与决策, 1999, 14(6): 669-674
- [6] 孙宇宇, 郑君里. Hopfield 网络求解 TSP 的一种改进算法和理论证明[J]. 电子学报, 1995, 23(1):

73 78

- [7] 费春国,韩正之,唐厚君 基于连续 Hopfield 网络求解 TSP 的新方法[J]. 控制理论与应用,2006,23(6):907-912
- [8] 张玉艳,陈萍. Hopfield 神经网络求解 TSP 中的参数分析[J]. 微电子学与计算机,2003,20(8):8-10
- [9] 于一娇. 用 Hopfield 神经网络与遗传算法求解 TSP 问题的实验比较与分析[J]. 华中师范大学学报. 自然科学版,2001,35(2):1-7-16.
- [10] 陈萍,郭金峰 对 Hopfield 神经网络求解 TSP 的研究[J]. 北京邮电大学学报,1999,22(2):58-61.
- [11] 任丽君 基于罚函数法的神经网络优化设计研究[J]. 绍兴文理学院学报,2006,26(10):36-39
- [12] 曹云忠 物流中心选址算法改进及其 Hopfield 神经网络设计[J]. 计算机应用与软件,2009,26(3):117-120.

若您对此书内容有任何疑问,可以凭在线交流卡登录 MATLAB 中文论坛与作者交流。

第 12 章 SVM 的数据分类预测

——意大利葡萄酒种类识别

12.1 案例背景

12.1.1 SVM 神经网络概述

支持向量机(SVM, Support Vector Machine)是由 Vapnik 首先提出的,像多层感知器网络和径向基函数网络一样,可用于模式分类和非线性回归。支持向量机的主要思想是建立一个分类超平面作为决策曲面,使得正例和反例之间的隔离边缘被最大化。支持向量机的理论基础是统计学习理论,更精确地说,支持向量机是结构风险最小化的近似实现。这个原理基于这样的事实:学习机器在测试数据上的误差率(即泛化误差率)以训练误差率和一个依赖于 VC 维数(Vapnik-Chervonenkis dimension)的项的和为界,在可分模式情况下,支持向量机对于前一项的值为零,并且使第二项最小化。因此,尽管它不利用问题的领域内部问题,但在模式分类问题上支持向量机能提供好的泛化性能,这个属性是支持向量机特有的。

支持向量机具有以下的优点:

- ① 通用性:能够在很广的各种函数集中构造函数;
- ② 鲁棒性:不需要微调;
- ③ 有效性:在解决实际问题中总是属于最好的方法之一;
- ④ 计算简单:方法的实现只需要利用简单的优化技术;
- ⑤ 理论上完善:基于 VC 推广性理论的框架。

在支持向量 $x(i)$ 和输入空间抽取的向量 x 之间的内积核这一个概念是构造支持向量机学习算法的关键。支持向量机是由算法从训练数据中抽取的小的 α 子集构成。

支持向量机的体系结构如图 12-1 所示。

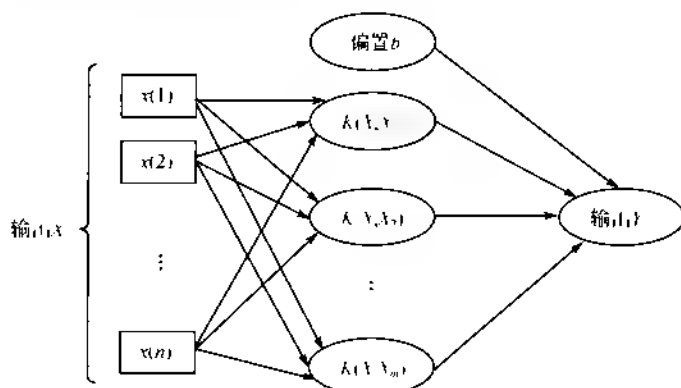


图 12-1 支持向量机的体系结构

其中 K 为核函数,其种类主要有:

线性核函数: $K(x, x') = x \cdot x'$;

多项式核函数 $K(x, x') = (\gamma x \cdot x' + r)^p, \gamma > 0$;

径向基核函数: $K(x, x') = \exp(-\gamma \|x - x'\|^2), \gamma > 0$;

两层感知器核函数: $K(x, x') = \tanh(\gamma x \cdot x' + r)$ 。

12.1.2 意大利葡萄酒种类识别相关背景

wine 数据的来源是 UCI 数据库,记录的是在意大利同一区域上三种不同品种的葡萄酒的化学成分分析,数据里含有 178 个样本,每个样本含有 13 个特征分量(化学成分),每个样本的类别标签已给。将这 178 个样本的 50% 做为训练集,另 50% 做为测试集,用训练集对 SVM 进行训练可以得到分类模型,再用得到的模型对测试集进行类别标签预测。

(1) 测试数据:wine data set

整体数据存储在 chapter12_wine,该数据可以在 MATLAB 中文论坛下载,数据内容如下:

classnumber = 3,记录类别数目;

wine, 178×13 的一个 double 型的矩阵,记录 178 个样本的 13 个属性;

wine_labels, 178×1 的一个 double 型的列向量,记录 178 个样本各自的类别标签。

(2) 数据来源:UCI

<http://archive.ics.uci.edu/ml/datasets/wine>

(3) 数据详细描述

wine 数据是物理化学相关领域的数据库,wine 数据记录的是在意大利某一地区同一区域上三种不同品种的葡萄酒的化学成分分析,数据里含有 178 个样本分别属于三个类别(类别标签已给),每个样本含有 13 个特征分量(化学成分),如下:

- ① Alcohol
- ② Malic acid
- ③ Ash
- ④ Alkalinity of ash
- ⑤ Magnesium
- ⑥ Total phenols
- ⑦ Flavonoids
- ⑧ Nonflavonoid phenols
- ⑨ Proanthocyanins
- ⑩ Color intensity
- ⑪ Hue
- ⑫ OD280/OD315 of diluted wines
- ⑬ Proline

(4) 数据的可视化图

数据的可视化图如图 12-2 和图 12-3 所示。

若您对此书内容有任何疑问,可以凭在线交流卡登录 MATLAB 中文论坛与作者交流。

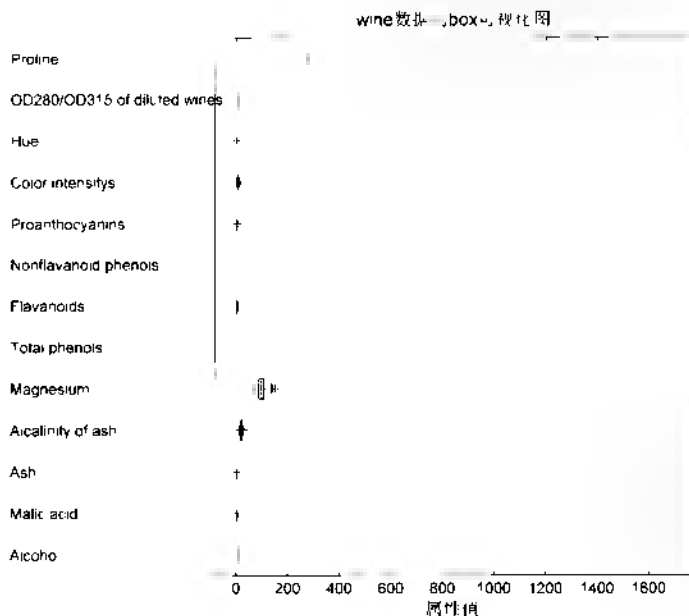


图 12-2 wine 数据的可视化图

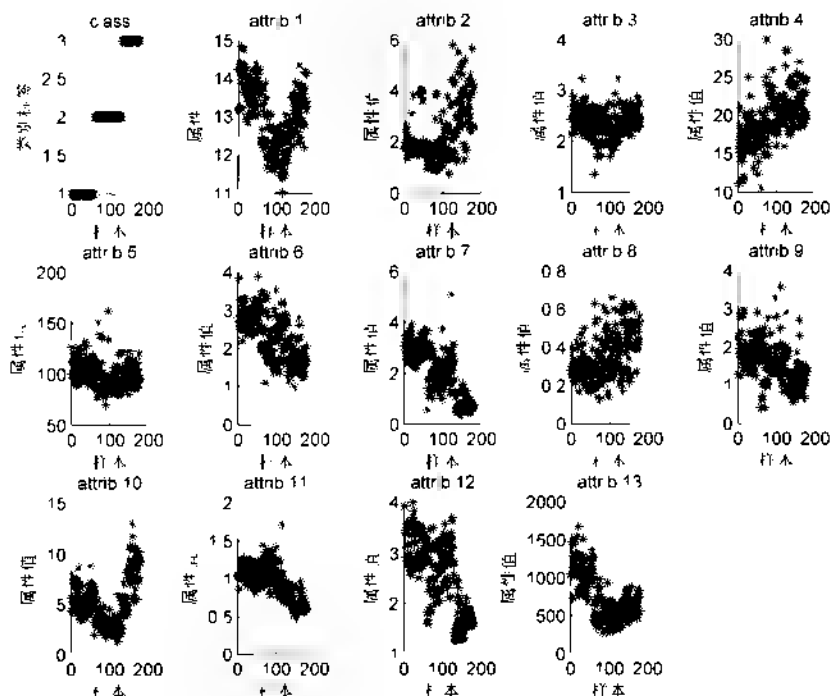


图 12-3 wine 数据的分维可视化图

12.2 模型建立

模型建立首先需要从原始数据里把训练集和测试集提取出来,然后进行一定的预处理(必要的时候还需要进行特征提取),之后用训练集对SVM进行训练,再用得到的模型来预测测试集的分类标签,算法流程如图12-4所示。

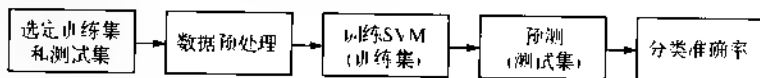


图 12-4 模型整体流程

12.3 MATLAB 实现

12.3.1 选定训练集和测试集

在这178个样本中,其中1~59属于第一类(类别标签为1),60~130属于第二类(类别标签为2),131~178属于第三类(类别标签为3)。现将每个类别分成两组,重新组合数据,一部分做为训练集(train wine),一部分做为测试集(test wine)。

MATLAB实现代码如下:

```

% 先载入数据
load chapter12_wine.mat;
% 将第一类的1~30,第二类的60~95,第三类的131~153做为训练集
train_wine = [wine(1:30,:);wine(60:95,:);wine(131:153,:)];
% 将相应的标签提取出来
train_wine_labels =
[wine_labels(1:30),
wine_labels(60:95);wine_labels(131:153)];
% 将第一类的31~59,第二类的96~130,第三类的154~178做为测试集
test_wine = [wine(31:59,:);wine(96:130,:);wine(154:178,:)];
% 将相应的标签提取出来
test_wine_labels =
[wine_labels(31:59),
wine_labels(96:130);wine_labels(154:178)];
  
```

12.3.2 数据预处理

对训练集和测试集进行归一化预处理,采用的归一化映射如下。

$$f: x \rightarrow y = \frac{x - x_{\min}}{x_{\max} - x_{\min}}$$

式中, $x, y \in \mathbf{R}^n$, $x_{\min} = \min(x)$, $x_{\max} = \max(x)$ 归一化的效果是原始数据被规整到 $[0, 1]$ 范围内,即 $y \in [0, 1]$, $i = 1, 2, \dots, n$, 这种归一化方式称为 $[0, 1]$ 区间归一化。

若您对此书内容有任何疑问,可以凭在线交流卡登录MATLAB中文论坛与作者交流。

除了上面的规范化方式还有其他的归一化方式,比如 $[-1,1]$ 区间归一化,其映射如下:

$$f: x \rightarrow y = 2 \times \frac{x - x_{\min}}{x_{\max} - x_{\min}} + (-1)$$

式中, $x, y \in \mathbb{R}^n$, $x_{\min} = \min(x)$, $x_{\max} = \max(x)$ 。

有关归一化的详细讨论,请看 MATLAB 中文论坛中的相关帖子: <http://www.ilovematlab.cn/thread-27021-1-1.html>。

在 MATLAB 中, `mapminmax` 函数可以实现上述的归一化,其常用的函数接口如下:

```
[y,ps] = mapminmax(x);
[y,ps] = mapminmax(x,ymin,ymax)
[x,ps] = mapminmax('reverse',y,ps)
```

其中, x 是原始数据, y 是归一化后的数据, ps 是个结构体记录的是归一化的映射。 `mapminmax` 函数所采用的映射是:

$$y = (y_{\max} - y_{\min}) \times (x - x_{\min}) / (x_{\max} - x_{\min}) + y_{\min}$$

其中, x_{\min} 和 x_{\max} 是原始数据 x 的最小值和最大值, y_{\min} 和 y_{\max} 是映射的范围参数,可调节,默认为 -1 和 1 ,此时的映射函数即为上面说的 $[-1,1]$ 归一化。如果把 y_{\min} 置为 0 , y_{\max} 置为 1 ,则此时的映射函数即为上面说的 $[0,1]$ 归一化,可利用新的映射函数对 x 进行重新归一化,代码如下:

```
[y,ps] = mapminmax(x);
ps.ymin = 0;
ps.ymax = 1;
[ynew,ps] = mapminmax(x,ps);
```

反归一化可用如下代码实现:

```
[y,ps] = mapminmax(x);
[x,ps] = mapminmax('reverse',y,ps);
```

wine 数据的归一化 MATLAB 实现代码如下:

```
% 数据预处理,将训练集和测试集归一化到[0,1]区间
[mtrain,ntrain] = size(train_wine);
[mtest,ntest] = size(test_wine);

dataset = [train_wine;test_wine];
% mapminmax 为 MATLAB 自带的归一化函数
[dataset_scale,ps] = mapminmax(dataset',0,1);
dataset_scale = dataset_scale';
```

```
train_wine = dataset_scale(1:mtrain,:);
test_wine = dataset_scale((mtrain+1):(mtrain+mtest),:);
```

12.3.3 训练与预测

用训练集 `train_wine` 对 SVM 分类器进行训练,用得到的模型对测试集进行标签预测,最

后得到分类的准确率为 98.8764%。其中 SVM 的实现采用的是 Libsvm 工具箱 (libsvm.mat)。

(1) libsvm 工具箱简介

libsvm 是台湾大学林智仁 (Lin Chih-Jen) 教授等开发设计的一个简单、易于使用且快速有效的 SVM 模式识别与回归的软件包。它不但提供了编译好的可在 Windows 系列系统的执行文件, 还提供了源代码, 方便改进、修改以及在其他操作系统上应用; 该软件还有一个特点, 就是对 SVM 所涉及的参数调节相对比较少, 提供了很多的默认参数, 利用这些默认参数就可以解决很多问题; 并且提供了交互检验 (cross validation) 的功能。该软件包可以在 <http://www.cse.ntu.edu.tw/~cjlin/> 免费获得。该软件可以解决 C-SVC (C-support vector classification)、nu-SVC (nu-support vector classification)、one-class SVM (distribution estimation)、epsilon-SVR (epsilon-support vector regression)、nu-SVR (nu-support vector regression) 等问题, 包括基于一对一算法的多类模式识别问题。SVM 用于模式识别或回归时, SVM 方法及其参数、核函数及其参数的选择, 目前国际上还没有形成一个统一的模式, 也就是说最优 SVM 算法参数选择还只能是凭借经验、实验对比、大范围的搜索或者利用软件包提供的交互检验功能进行择优。

工具箱主要函数介绍如下:

训练函数

```
model = svmtrain(train_label, train_matrix, ['libsvm_options'],;
```

输入:

train_label: 训练集的标签

train_matrix: 训练集的属性

libsvm_options: 一些选项参数

输出:

model: 训练得到的分类模型

预测函数

```
[predicted_label, accuracy] = svmpredict(test_label, test_matrix, model, ['libsvm_options'],;
```

输入:

test_label: 测试集的标签

test_matrix: 测试集的属性

model: 由 svmtrain 得到的分类模型

libsvm_options: 一些选项参数

输出:

predicted_label: 预测得到的测试集的标签

accuracy: 分类准确率

(2) wine 数据的训练和预测的 MATLAB 实现代码

若您对此书内容有任何疑问, 可以凭在线交流卡登录 MATLAB 中文论坛与作者交流。

```
model =  
svmtrain(train_wine_labels,train_wine,'c2=g1');  
[predict_label,accuracy] =  
svmpredict(test_wine_labels,test_wine,model);
```

运行结果：

Accuracy = 98.8764 % (88/89) (classification,

最终分类的结果如图 12-5 所示。

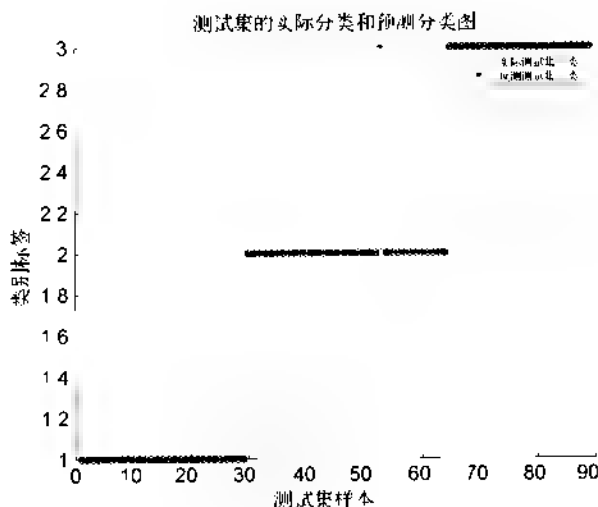


图 12-5 测试集的分类结果图

12.4 案例扩展

12.4.1 采用不同归一化方式的对比

对于不同的归一化方式以及不用归一化预处理,最后测试集预测分类准确率的对比如表 12-1 所列。

表 12-1 采用不同归一化方式对比

归一化方式	Accuracy	svmtrain 的参数选项
不进行归一化处理	34.728% (3/89)	'c2=g1'
线性归一化	97.222% (87/89)	'c2=g1'
非线性归一化	98.8764% (88/89)	'c2=g1'

从表 12-1 可以看出对于 wine 这个数据需要将其先进行归一化的预处理,才能提高最后的分类的准确率,而且不同的归一化方式对最后的准确率也会有一定的影响。但是否必须进行归一化预处理才能提高最后的准确率呢? 答案是否定的。并不是任何问题都必须事先把原

始数据进行归一化,也就是数据归一化这一步并不是必须要做的,要具体问题具体分析。测试表明有时候归一化后的预测准确率比没有归一化的预测准确率会低很多。

12.4.2 采用不同核函数的对比

对于SVM中不同的核函数,测试集预测分类准确率的对比(统一采用 $[0,1]$ 归一化,如表12-2所示)。

表 12-2 采用不同核函数对比

采用的核函数	Accuracy	svmtrain 的参数选项
linear	97.72% (87/89)	'-s -g -1 -r'
polynomial	98.8764% (88/89)	'-2 -g 1 -r'
radial basis function	98.8764% (88/89)	'-2 -g -1 -r'
sigmoid	2.809% (47/8)	'-c 0 -g -1 -r'

通过上面的对比,可以看出对于 wine 这个数据采用径向基函数作为核函数,最终的分类准确率最高。

12.4.3 关于 svmtrain 的参数 c 和 g 选取的讨论

上面的过程中 svmtrain 的惩罚参数 c 和核函数参数 g 是任意给定的或凭测试经验给定的,那么这个参数 c 和 g 该如何选取呢?有没有在某种意义下最好的参数 c 和 g 呢?

最简单的一种思想就是在 c 和 g 在某范围内离散取值,取使得最终测试集分类准确率最高的 c 和 g 为最佳的参数,但这是在知道测试集的标签的情况下,如果不知道测试集的标签怎么办(往往多数情况事先可能不知道测试集的标签)?

有一种叫做交叉验证(cross validation)的办法,可以找到在一定意义下最佳的参数 c 和 g ,其算法伪代码如下:

```

Start
    bestAccuracy = 0;
    bestc = 0;
    bestg = 0;
    % 其中 n1,n2,N 都是预先给定的数
    for c = 2^(-n1):2^(n1)
        for g = 2^(-n2):2^(n2)
            将训练集平均分为 N 部分,设为
            train(1),train(2),...,train(N)。
            分别让每一部分作为测试集进行预测(剩下的 N-1 部分作为训练集对
            分类器进行训练),取最后得到的所有分类准确率的平均数,设为 cv。
            if (cv > bestAccuracy)
                bestAccuracy = cv; bestc = c; bestg = g;
            end
        end
    end
end
Over

```

采用这种 Cross Validation 的方法,在没有测试集的标签的情况下可以找到一定意义下的最佳的参数 c 和 g ,这里说“一定意义下”指的是此时的最佳参数 c 和 g 是使得训练集在交叉验证思想下能够达到最高分类准确率的参数,但并不一定能保证会使得测试集也能达到最高的分类准确率

有关交叉验证的方法在第 13 章中还会有更为详细的讨论,以达到优化 SVM 相关参数的目的。

用此方法来对 wine 数据进行分类预测,MATLAB 实现代码如下(相关数据已经过前面数据预处理):

```
bestcv = 0;
for log2c = -4:4,
    for log2g = -4:4,
        cmd = ['-v 3 -c',num2str(2^log2c),'-g',num2str(2^log2g)];
        cv = svmtrain(train_wine_labels, train_wine, cmd);
        if (cv > bestcv),
            bestcv = cv; bestc = 2^log2c; bestg = 2^log2g;
        end
    end
end
fprintf('(best c = %g, g = %g, rate = %g)\n',bestc, bestg, bestcv);
cmd = ['-c', num2str(bestc), '-g', num2str(bestg)],
model = svmtrain(train_wine_labels, train_wine, cmd);
[predict_label,accuracy] =
svmpredict(test_wine_labels,test_wine,model);
```

最终运行结果:

```
(best c = 2, g = 1, rate = 98.8764
Accuracy = 98.8764 % (88/89) (classification)
```

可见采用 Cross Validation 方法,可以最终得到最佳的参数是 $c = 2, g = 1$,测试集的分类准确率为 98.8764%,且在此种情况下所采用的参数是某种意义下最佳的。

更多关于 SVM 理论和应用方面的资料,请参看参考文献所列部分内容。

参考文献

- [1] Vapnik V. Statistical Learning Theory[M]. Wiley, New York, NY, 1998
- [2] Cortes C, Vapnik V. Support Vector network[J]. Machine Learning, 1995, 20: 273 ~ 297
- [3] Boser B, Guyon I, Vapnik V. A training algorithm for optimal margin classifiers[J]. ACM press In Proceedings of the Fifth Annual Workshop on Computational Learning Theory, 1992.
- [4] Hsu C W, Lin C J. A comparison of methods for multi-class support vector machines[J]. IEEE Transactions on Neural Networks, 2002, 13(2): 41 ~ 425.
- [5] Lin C J. Formulations of support vector machines: a note from an optimization point of view[J]. Neural Computation, 2001, 13(2): 507 ~ 517

- [6] 张小艳,李强.基于SVM的分类方法综述[J].科技信息,2008,28.
- [7] 陈光英,张千里,李星.基于SVM分类机的入侵检测系统[J].通信学报,2002,23(5):41-56.
- [8] 范昕炜,杜数新,吴铁军.粗SVM分类方法及其在污水处理过程中的应用[J].控制与决策,2004,19(5):573-576.
- [9] 米切尔(Mitchell T M).Machine Learning[M].北京:机械工业出版社,2001.
- [10] 海金(Haykin S).神经网络原理[M].卞世伟,史忠植,译.北京:机械工业出版社,2004.

若您对此书内容有任何疑问,可以凭在线交流卡登录MATLAB中文论坛与作者交流。

第 13 章 SVM 的参数优化

——如何更好地提升分类器的性能

13.1 案例背景

关于 SVM 相关的背景知识请参看第 12 章。

在第 12 章中采用 SVM 来做分类,达到了较满意的结果,但用 SVM 做分类预测时需要调节相关的参数(主要是惩罚参数 c 和核函数参数 g)才能得到比较理想的预测分类准确率,那么 SVM 的参数该如何选取呢?有没有最佳的参数呢?采用交叉验证(CV, Cross Validation)的思想可以在某种意义上得到最优的参数,可以有效地避免过学习和欠学习状态的发生,最终对于测试集合的预测得到较理想的准确率。实例验证表明,用交叉验证选取出的参数来训练 SVM 得到的模型比随机地选取参数训练 SVM 得到的模型在分类上更有效。

CV 是用来验证分类器性能的一种统计分析方法,基本思想是把在某种意义上将原始数据(dataset)进行分组,一部分做为训练集(train set),另一部分做为验证集(validation set)。其方法是首先用训练集对分类器进行训练,再利用验证集来测试训练得到的模型(model),以得到的分类准确率做为评价分类器的性能指标。常见 CV 的方法如下。

(1) Hold Out Method

原始数据被随机分为两组,一组做为训练集,一组做为验证集,利用训练集训练分类器,然后利用验证集验证模型,记录最后的分类准确率作为此 Hold Out Method 下分类器的性能指标。此种方法的好处是处理简单,只需随机把原始数据分为两组即可,其实严格意义来说 Hold Out Method 并不能算是真正意义上的 CV,因为这种方法没有达到交叉的思想,由于是随机的将原始数据分组,所以最后验证集分类准确率的高低与原始数据的分组有很大的关系,所以这种方法得到的结果其实并不具有说服力。

(2) K-fold Cross Validation(K-CV)

原始数据被分成 K 组(一般是均分),将每个子集数据分别做一次验证集,同时其余的 $K-1$ 组子集数据作为训练集,这样会得到 K 个模型,用这 K 个模型最终的验证集的分类准确率的平均数作为此 K -CV 下分类器的性能指标。 K 一般大于等于 2,实际操作时一般从 3 开始取,只有在原始数据集数据量小的时候才会尝试取 2。 K -CV 可以有效地避免过学习以及欠学习状态的发生,最后得到的结果也比较具有说服力。

(3) Leave One Out Cross Validation(LOO-CV)

如果设原始数据有 N 个样本,那么 LOO-CV 就是 N -CV,即每个样本单独作为验证集,其余的 $N-1$ 个样本作为训练集,所以 LOO-CV 会得到 N 个模型,用这 N 个模型最终的验证集的分类准确率的平均数作为在 LOO-CV 下分类器的性能指标。相比于前面的 K -CV, LOO-CV 有两个明显的优点。

1. 集合中几乎所有的样本皆用于训练模型,因此最接近原始样本的分布,这样评估所得

的结果比较可靠。

② 实验过程中没有随机因素影响实验数据,确保实验过程是可以被复制的。

但 LOO CV 的缺点则是计算成本高,因为需要建立的模型数量与原始数据样本数量相同,当原始数据样本数量相当多时,LOO CV 在实际操作上有困难,几乎不可实现,除非每次训练分类器得到模型的速度很快,或是可以用并行化计算减少计算所需的时间。

在下面 SVM 相关参数的优化过程中使用的是 K CV 方法,所采用的测试数据也是第 12 章中的数据,有关数据的详细介绍请参看第 12.1.2 相关内容。

13.2 模型建立

本章要解决的问题就是仅仅利用训练集找到分类的最佳参数,不但能够高准确率的预测训练集而且要合理的预测测试集,使得测试集的分类准确率也维持在一个较高水平,即使得到的 SVM 分类器的学习能力和推广能力保持一个平衡,避免过学习和欠学习状况发生。

算法流程与第 12 章相似,只不过多了一个交叉选择最佳参数的过程,如图 13-1 所示,在下面 MATLAB 实现环节会重点介绍这一部分,关于选定训练集、测试集以及数据预处理过程在这里就不再介绍了,详细内容请参看 12.3.1 和 12.3.2 相关内容。

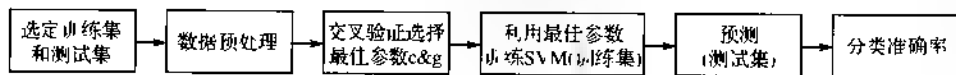


图 13-1 模型整体流程

13.3 MATLAB 实现

其中 SVM 的实现使用的是 libsvm 工具箱,有关 libsvm 工具箱的介绍和使用方法请参看 12.3.3 相关内容。

13.3.1 交叉验证选择最佳参数 c & g

关于 SVM 参数的优化选取,国际上并没有公认统一的最好的方法,目前常用的方法就是让 c 和 g 在一定的范围内取值,对于取定的 c 和 g 把训练集作为原始数据集利用 K CV 方法得到在此组 c 和 g 下训练集验证分类准确率,最终取使得训练集验证分类准确率最高的那组 c 和 g 做为最佳的参数,但有一个问题就是可能会有多组的 c 和 g 对应于最高的验证分类准确率,这种情况怎么处理? 这里采用的手段是选取能够达到最高验证分类准确率中参数 c 最小的那组 c 和 g 做为最佳的参数,如果对应最小的 c 有多组 g ,就选取搜索到的第一组 c 和 g 做为最佳的参数。这样做的理由是:过高的、会导致过学习状态发生,即训练集分类准确率很高而测试集分类准确率很低(分类器的泛化能力降低),所以在能够达到最高验证分类准确率中的所有的成对的 c 和 g 中认为较小的惩罚参数 c 是更佳的选择对象。

上面参数选取算法(将其命名为算法 CV (g))的伪代码如下。

算法 CV (g)

给定训练集 train 及其标签 train_label,目的是通过 K CV 方法选取最佳的参数 c 和 g 。

若您对此书内容有任何疑问,可以凭在线交流卡登录 MATLAB 中文论坛与作者交流。

```

Start
% 相应的数据初始化
bestAccuracy = 0;
bestc = 0;
bestg = 0;
% 将 c 和 g 划分网格进行搜索
for c = 2^(cmin):2^(cmax)
    for g = 2^(gmin):2^(gmax)
        % 采用 K-CV 方法
        将 train 大致平均分为 K 组，
        记 train(1),train(2),...,train(K)
        相应的标签也要分离出来，
        记为 train_label(1),train_label(2),...,train_label(K)
        for run = 1:K
            让 train(run),作为验证集,其他的作为训练集。
            记录此时的验证准确率为 acc(run)
        end
        cv = ( acc(1)+acc(2)+...+acc(K) ) / K;
        if ( cv > bestAccuracy )
            bestAccuracy = cv; bestc = c; bestg = g;
        end
    end
end
end
Over
    
```

其中 $c_{min}, c_{max}, g_{min}, g_{max}, K$ 都是给定的数。由于必须将 c 和 g 的值进行离散化查找,这里将 c 和 g 在 2 的指数范围网格内进行查找,当然 c 和 g 的查找范围可以更加详细,在编程实现时这些技术细节可以调整,下面的函数 SVMcgForClass 可以实现上面的算法 CV cg,看一下其函数接口和具体的代码实现过程。

```

[bestacc,bestc,bestg] = ...
    SVMcgForClass(train_label,train,cmin,cmax,gmin,gmax,v,cstep,gstep,accstep)
    
```

输入

train_label:训练集标签。要求与 libsvm 工具箱中要求一致。

train:训练集。要求与 libsvm 工具箱中要求一致。

cmin:惩罚参数 c 的变化范围的最小值(取以 2 为底的幂指数后),即 $c_{min} = 2^{(cmin)}$,默认为 5。

cmax:惩罚参数 c 的变化范围的最大值(取以 2 为底的幂指数后),即 $c_{max} = 2^{(cmax)}$,默认为 5。

gmin:参数 g 的变化范围的最小值(取以 2 为底的幂指数后),即 $g_{min} = 2^{(gmin)}$,默认为 5。

gmax:参数 g 的变化范围的最小值(取以 2 为底的幂指数后),即 $g_{max} = 2^{(gmax)}$,默认为 5。

认为5。

`v`:cross validation 的参数,即给测试集分为几部分进行 cross validation,默认为3。

`cstep`:参数 c 步进的大小(取以2为底的幂指数后),默认为1。

举例:若 c 的变化范围是 $2^{(-10)}$ 到 $2^{(10)}$,且 `cstep` = 2,则 c 的取值分别为 $2^{(-10)}$, $2^{(-8)}$, ..., $2^{(10)}$

`gstep`:参数 g 步进的大小(取以2为底的幂指数后),默认为1。

举例:若 g 的变化范围是 $2^{(-10)}$ 到 $2^{(10)}$,且 `cstep` = 2,则 g 的取值分别为 $2^{(-10)}$, $2^{(-8)}$, ..., $2^{(10)}$

`accstep`:最后显示准确率图时的步进大小,默认为4.5。

以上参数只有 `train_label` 和 `train` 是必须输入的,其他的可不输入采用默认值即可。

输出

`bestacc`:K - CV 方法过程中的最高分类准确率。

`bestc`:K - CV 方法下最佳的参数 c 。

`bestg`:K - CV 方法下最佳的参数 g 。

函数 `SVMcgForClass` 保存在 `SVMcgForClass.m` 文件中,其源代码主要内容如下(全部代码请参看相应的本书的代码)。

```
function [bestacc,bestc,bestg] =
SVMcgForClass(train_label,train, cmin,cmax,gmin,gmax,v,cstep,gstep,accstep)

%
%前面略去了一些默认输入参数的设置代码

%将c和g划分网格,X中记录的是c,Y中记录的是g。
[X,Y] = meshgrid(cmin:cstep:cmax,gmin:gstep:gmax);
[m,n] = size(X);
%cg中将要记录的是对应不同的c和g的K-CV过程准确率
cg = zeros(m,n);
%相关变量的初始化
bestc = 0;
bestg = 0;
bestacc = 0;
basenum = 2;
for i = 1:m
    for j = 1:n
        %libsvm mat 工具箱中采用 -v 参数就可以直接实现 K - CV 方法。
        cmd = ['-v',num2str(v),' -c',num2str( basenum*X(1,j) ),...'-g',num2str( basenum*Y(1,j) )];
        cg(1,j) = svmtrain(train_label, train, cmd);

        if cg(1,j) > bestacc
            bestacc = cg(1,j);
            bestc = basenum*X(1,j);
            bestg = basenum*Y(1,j);
        end
    end
end
```

若您对此书内容有任何疑问,可以凭在线交流卡登录 MATLAB 中文论坛与作者交流。

```

end

% 选取能够达到最高验证分类准确率中参数 c 最小的那组 c 和 g 做为最佳的参数。
% 如果对应最小的 c 有多组 g, 就选取搜索到的第一组 c 和 g 做为最佳的参数。
eps = 10^(-4);
if (abs(cg(1,j)) - bestacc) < eps && bestc > basenumX(1,j)
    bestacc = cg(1,j);
    bestc = basenumX(1,j);
    bestg = basenumY(1,j);
end

end

end

% 后面略去了图形展示的代码
%

```

下面来应用 `SVMcgForClass` 来寻找对于 wine 数据最佳的参数 c 和 g , 在实际操作中也有些小技巧, 可以先在大的范围粗略寻找最佳的参数 c 和 g , 比如让 c 和 g 的取值变化都为: $2^(-10), 2^(-9), \dots, 2^(-10)$ 。

MATLAB 代码如下。

```

[bestacc, bestc, bestg] = ...
SVMcgForClass(train wine labels, train wine, -10, 10, -10, 10);

```

得到的结果如下(结果见图 13-2)。

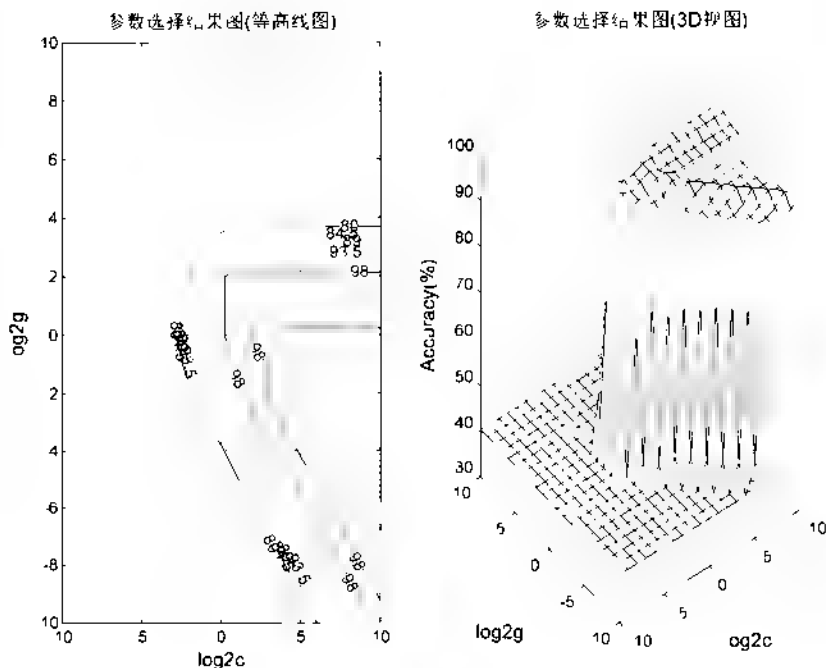


图 13-2 参数粗略选择结果图

打印粗略选择结果

Best Cross Validation Accuracy = 98.8764 % Best c = 2 Best g = 0.5

上面图形的意义是 x 轴表示 c 取以 2 为底的对数后的值, y 轴表示 g 取以 2 为底的对数后的值, 等高线表示的取相应的 c 和 g 后对应的 K-CV 方法的准确率, 通过图中可以看出可以把 c 的范围缩小到 $2^{(-2)} \sim 2^{(4)}$, 同时 g 的范围可以缩小到 $2^{(-4)} \sim 2^{(4)}$, 这样在上面粗略参数选择的基础上可以再利用 SVMcgForClass 进行精细的参数选择。

让 c 的取值变化为: $2^{(-2)}, 2^{(-1.5)}, \dots, 2^{(4)}$, 让 g 的取值变化为: $2^{(-4)}, 2^{(-3.5)}, \dots, 2^{(4)}$, 并把最后参数选择结果图(grid search)上准确率的显示的变化间隔设为 0.9, 这样可以更加精细的看到准确率的变化。

MATLAB 代码如下

```
[bestacc,bestc,bestg]=SVMcgForClass(train_wine_labels,train_wine,-2,4,-4,4,3,0.5,0.5,0.9);
```

得到的结果如下(见图 13-3):

打印精细选择结果

Best Cross Validation Accuracy =

98.8764 % Best c = 1.41421 Best g = 1

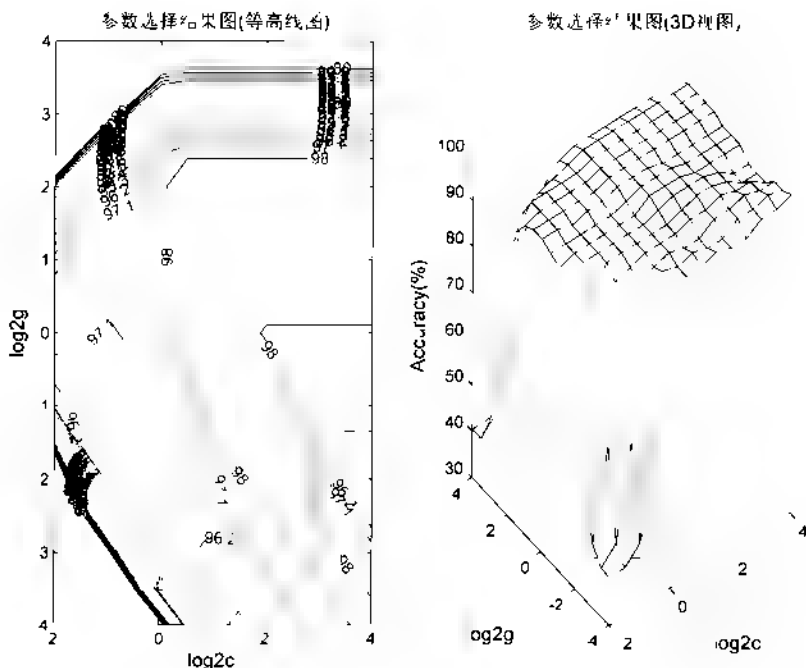


图 13-3 参数精细选择结果图

至此可以看到在 K-CV 方法下(这里 K=3)最佳的参数是 $c=1.41421$, $g=1$ 。

13.3.2 训练与预测

利用上面得到的在 K-CV 方法下的最佳参数,就可以对 SVM 进行训练和分类预测。

若您对此书内容有任何疑问,可以凭在线交流卡登录 MATLAB 中文论坛与作者交流。

MATLAB 代码如下

```
% 利用最佳的参数进行 SVM 网络训练
cmd = [' c',num2str(bestc),' g',num2str(bestg)];
model = svmtrain(train_wine_labels,train_wine,cmd);
% SVM 网络预测
[predict_label,accuracy]=svmpredict(test_wine_labels,test_wine,model);
```

最后得到分类准确率的结果如下

```
Accuracy = 98.8764 % (88/89)
```

13.4 案例扩展

13.4.1 随机选择的参数下的分类准确率

采用下面的程序段可以随机生成在 $[0,100]$ 范围内的参数 c 和在 $[100,100^3]$ 范围内的参数 g ,并利用这组参数来训练 SVM,最后再进行预测,运行若干次下面的程序段(在前面数据预处理后用下面的程序段),表 13-1 所列为随机选择参数下的分类准确率。

```
rand_c = 100 * rand(1)
rand_g = 200 * rand(1) - 100
cmd = ['-c',num2str(rand_c),'-g',num2str(rand_g)];
model = svmtrain(train_wine_labels,train_wine,cmd);
[predict_label,accuracy]=svmpredict(test_wine_labels,test_wine,model);
```

表 13-1 随机选择参数下的分类准确率

运行次数	随机选择的参数 c	随机选择的参数 g	测试集分类准确率
1	4.8849	12.6177	39.328%
2	4.6806	4.2271	42.1348%
3	2.4226	87.718	39.328%
4	83.829	17.6128	41.684%

通过上表可以看出,随机选择的参数无法保证最后测试集分类准确率达到理想的效果,有时候凭经验可能会取到较合适的参数,但也不能保证此时的参数是最优的。而采用本案例中的算法找到的参数却能保证在某种意义上是最优的。

13.4.2 算法 CV_cg 中对于同时达到最高验证分类准确率的参数 c 和 g 的取舍问题

关于对于同时达到最高验证分类准确率的参数 c 和 g 的取舍问题,在算法 CV_cg 的实现过程中,采用的处理方法是选取能够达到最高验证分类准确率中参数 c 最小的那组 c 和 g 做为最佳的参数,如果对应最小的 c 有多组 g ,就选取搜索到的第一组 c 和 g 。事实上,也可以把达到最高验证分类准确率的所有的 c 和 g 分别记录下来,在后面对测试集进行预测时可以分

别采用这些参数,看最后的效果如何。

13.4.3 启发式算法参数寻优

本章中在 CV 意义上,用网格划分(grid search)来寻找最佳的参数 c 和 g ,虽然采用网格搜索能够找到在 CV 意义下的最高的分类准确率,即全局最优解,但有时候如果想在更大的范围内寻找最佳的参数 c 和 g 会很费时,采用启发式算法就可以不必遍历网格内的所有的参数点,也能找到全局最优解。下面主要介绍两种启发式算法的参数寻优:遗传算法参数寻优和粒子群优化算法参数寻优。

1. 遗传算法参数寻优

遗传算法(GA, Genetic Algorithm),起源于对生物系统所进行的计算机模拟研究。美国 Michigan 大学的 Holland 教授及其学生受到生物模拟技术的启发,创造出了一种基于生物遗传和进化机制的适合复杂系统优化的自适应概率优化技术——遗传算法。1967年, Holland 的学生 Bageley 在其博士论文中首次提出了“遗传算法”一词,他发展了复制、交叉、变异、显性、倒位等遗传算子,在个体编码上使用双倍体的编码方法。从遗传算法的整个发展过程来看,20世纪70年代是兴起阶段,20世纪80年代是发展阶段,20世纪90年代是高潮阶段。遗传算法作为一种实用、高效、鲁棒性强的优化技术,发展极为迅速,已引起国内外学者的高度重视。更多关于 GA 的基本理论和应用的相关知识请参看参考文献所列内容、第3章和第27章。

以下将对训练集进行 CV 意义下的准确率作为 GA 中的适应度函数值,则利用 GA 对 SVM 参数进行优化的整体的算法过程如图 13-4 所示。

gaSVMcgForClass.m 实现了对分类问题的利用 GA 来优化 SVM 参数的问题,关于详细代码和实现过程请参看 MatLab 中文论坛相应的本章的代码附件。

现进行测试,测试数据仍然使用 wine 数据,首先进行数据的提取和预处理(详细参看第12章),然后利用 gaSVMcgForClass 函数对 wine 数据进行 SVM 最佳参数的寻找,最终的适应度曲线如图 13-5 所示。

最终的参数的选择结果及预测结果如下:

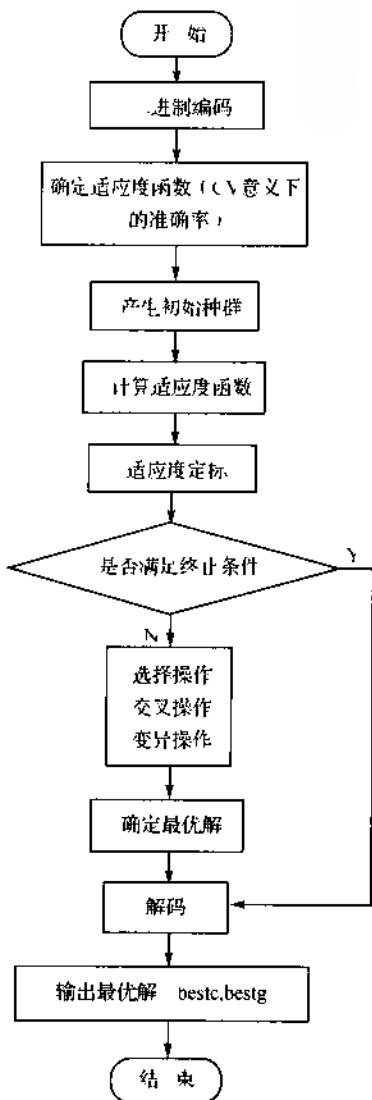


图 13-4 利用 GA 优化 SVM 参数(c & g)的算法流程图

若您对此书内容有任何疑问,可以凭在线交流卡登录 MATLAB 中文论坛与作者交流。

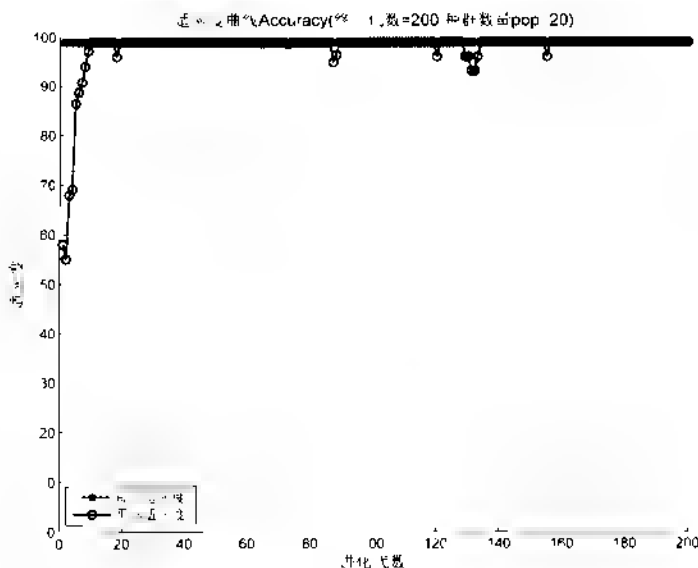


图 13-5 利用 GA 寻找最佳参数的适应度(准确率)曲线

```
bestc =
    16 1982
bestg =
     3 3135
bestCVaccuracy =
    98 8764
Accuracy = 100 % (89 89) (classification)      % 训练集分类准确率
Accuracy = 98 8764 % (88 89) (classification)   % 测试集分类准确率
```

2. 粒子群优化算法参数寻优

粒子群优化算法(PSO, Particle Swarm Optimization)是计算智能领域,除蚁群算法外的另外一种基于群体智能的优化算法。该算法最早由 Kennedy 和 Eberhart 于 1995 年提出,它的基本概念源于对鸟群捕食行为的研究。

PSO 是一种基于群体智能的演化计算技术,与 GA 相比 PSO 没有 GA 中的选择、交叉、变异的操作,而是通过粒子在解空间追随最优的例子进行搜索。更多关于 PSO 的基本理论和应用的相关知识请参看参考文献所列内容和第 26 章。

以下将对训练集进行 CV 意义下的准确率作为 PSO 中的适应度函数值,则利用 PSO 对 SVM 参数进行优化的整体的算法过程如图 13-6 所示。

psoSVMcForClass.m 实现了对于分类问题的利用 PSO 来优化 SVM 参数的问题,关于详细代码和实现过程请参看 Matlab 中文论坛相应的本章的代码附件。

现进行测试,测试数据仍然使用 wine 数据,首先进行数据的提取和预处理(详细参看 12.3.1 和 12.3.2 相关内容),然后利用 psoSVMcForClass 函数对 wine 数据进行 SVM 最佳参数的寻找,最终的适应度曲线如图 13-7 所示。

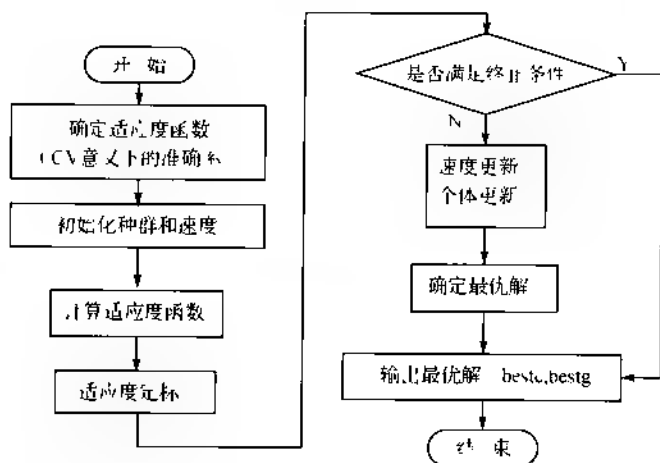


图 13-6 利用 PSO 优化 SVM 参数(c&g)的算法流程图

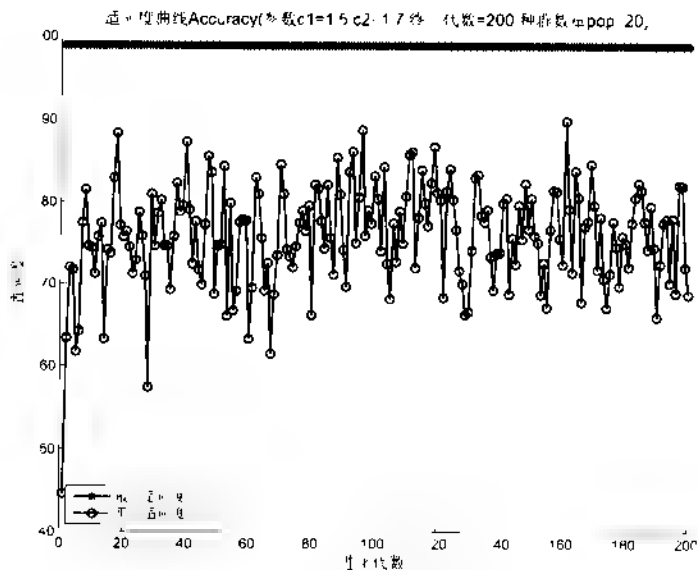


图 13-7 PSO 寻找最佳参数的适应度(准确率)曲线

```

bestc =
    34.7321
bestg =
    4.5175
bestCVaccuracy =
    98.8764

Accuracy = 100% (89/89) (classification)    % 训练集分类准确率
Accuracy = 97.7528% (87/89) (classification) % 测试集分类准确率
  
```

若您对此书内容有任何疑问，可以凭在线交流卡登录 MATLAB 中文论坛与作者交流。

更多关于 SVM 参数优化方面的资料, 请参看参考文献所列内容。

参考文献

- [1] Vapnik V. Statistical Learning Theory[M]. Wiley, New York, NY, 1998.
- [2] Cortes C, Vapnik V. Support Vector network[J]. Machine Learning, 1995, 20: 273-297.
- [3] Boser B, Guyon I, Vapnik V. A training algorithm for optimal margin classifiers[1]. ACM press, In Proceedings of the Fifth Annual Workshop on Computational Learning Theory, 1992.
- [4] 雷英杰, 张善文, 李续武, 等. MATLAB 遗传算法工具箱及应用[M]. 西安: 西安电子科技大学出版社, 2000.
- [5] 曾建潮, 介婧, 崔志华. 微粒群算法[M]. 北京: 科学出版社, 2004.
- [6] 杨杰, 郑宇, 刘莹, 等. 基于遗传算法的 SVM 带权特征和模型参数优化[J]. 计算机仿真, 2008, 25(9): 113-118.
- [7] 金晶, 王行愚, 罗先国, 等. PSO- ϵ -SVM 的回归算法[J]. 华东理工大学学报, 2006, 32(7), 872-875.
- [8] 张庆, 刘内杰. 基于 PSO 和分组训练的 SVM 参数快速优化方法[J]. 科学技术与工程, 2008, 8(16), 4613-4616.
- [9] 米切尔(Mitchell T M). Machine Learning[M]. 北京: 机械工业出版社, 2003.
- [1] 海金(Haykin S). 神经网络原理[M]. 叶世伟, 史忠植, 译. 北京: 机械工业出版社, 2004.

第 14 章 SVM 的回归预测分析

——上证指数开盘指数预测

14.1 案例背景

在第 12 和 13 章中讨论了有关利用 SVM 进行分类的问题, SVM 不但可以用来分类也可以用来做回归预测分析, 这个案例中来看一下如何用 SVM 做回归预测分析。对于开盘指数的有效预测可以为从整体上观测股市的变化提供强有力的信息, 所以对于上证指数的预测很有意义, 通过对上证指数从 1990.12.20—2009.08.19 每日的开盘数进行回归分析, 最终拟合的结果是: 均方误差 $MSE=2.3270 \times 10^{-5}$ 平方相关系数 $R=99.9195\%$ 。SVM 的拟合结果还是比较理想的。

测试数据: 上证指数(1990.12.19—2009.08.19)

整体数据存储在 chapter14.sh.mat, 数据是一个 4579×6 的 double 型的矩阵, 记录的是从 1990 年 12 月 19 日至 2009 年 8 月 19 日这期间内 4579 个交易日每日上证综合指数的各种指标, 每一行表示每一天的上证指数各种指标, 6 列分别表示当天上证指数的开盘指数, 指数最高值, 指数最低值, 收盘指数, 当日交易量, 当日交易额。上证指数每日的开盘指数如图 14-1 所示。

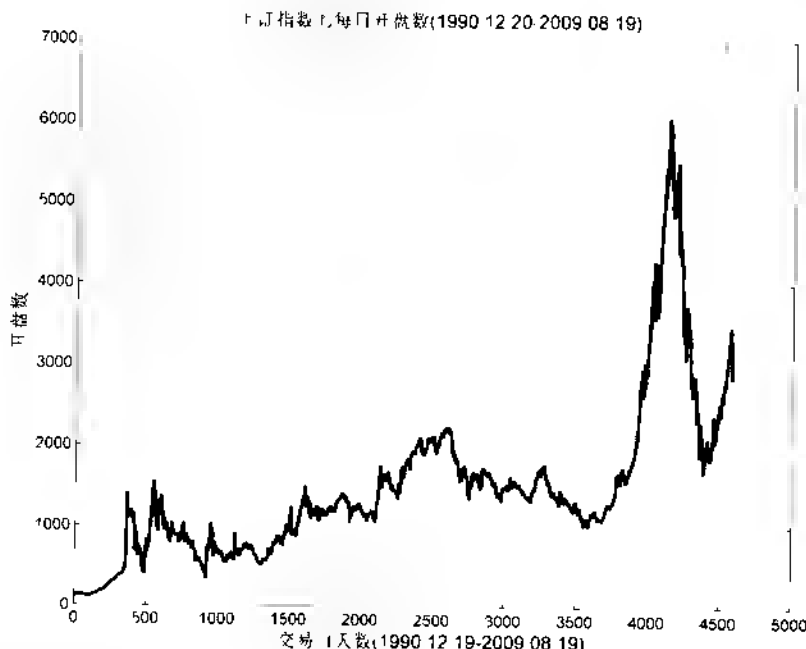


图 14-1 上证指数每日的开盘指数

14.2 模型建立

模型目的:利用 SVM 建立的回归模型对上证指数每日的开盘数进行回归拟合。

模型假设:假设上证指数每日的开盘数与前一日的开盘指数、指数最高值、指数最低值、收盘指数、交易量、交易额相关,即把前一日的开盘指数、指数最高值、指数最低值、收盘指数、交易量、交易额作为当日开盘指数的自变量,当日的开盘指数为因变量。

算法流程如图 14-2 所示。

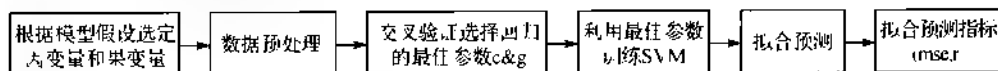


图 14-2 模型整体流程

14.3 MATLAB 实现

SVM 的实现使用的是 libsvm 工具箱,有关 libsvm 工具箱的介绍和使用方法请参看 12.3.3 相关内容。

14.3.1 根据模型假设选定自变量和因变量

选取第 1 个到第 4578 个交易日内的每日的开盘指数,指数最高值,指数最低值,收盘指数,交易量,交易额作为自变量,选取第 2 个到第 4579 个交易日内的每日的开盘数作为因变量。

matlab 实现代码如下:

```

% 载入测试数据上证指数(1990.12.19 - 2009.08.19),载入后数据存储在变量 sh 中
% 数据是一个 4579 * 6 的 double 型的矩阵,每一行表示每一天的上证指数的各种指标
% 6 列分别表示当日上证指数的开盘指数,指数最高值,指数最低值,收盘指数,当日交易量,
% 当日交易额。
load chapter14 sh.mat;
% 提取数据
[m,n] = size(sh);
ts = sh(2:m,1);
tsx = sh(1:m,1,:);
  
```

14.3.2 数据预处理

数据归一化预处理的方式与第 12 章所讲案例类似,使用 mapminmax 函数来实现,关于数据预处理的介绍这里不再赘述,需要说明的是这里不但需要对因变量(上证指数每日的开盘数)做归一化处理,对于自变量也需要做同样的预处理。

MATLAB 实现代码如下:

```

% 数据预处理,将原始数据进行归一化
ts = ts';
  
```

```
tsx = tsx';
% mapminmax 为 matlab 自带的映射函数
% 对 ts 进行归一化
[TS,TSps] = mapminmax(ts,1,2);

% mapminmax 为 matlab 自带的映射函数
% 对 tsx 进行归一化
[TSX,TSXps] = mapminmax(tsx,1,2);
% 对 TSX 进行转置,以符合 libsvm 工具箱的数据格式要求
TSX = TSX';
```

对于上证指数每日的开盘数归一化的结果如图 14-3 所示(这里将其归一到[1,2]区间)。

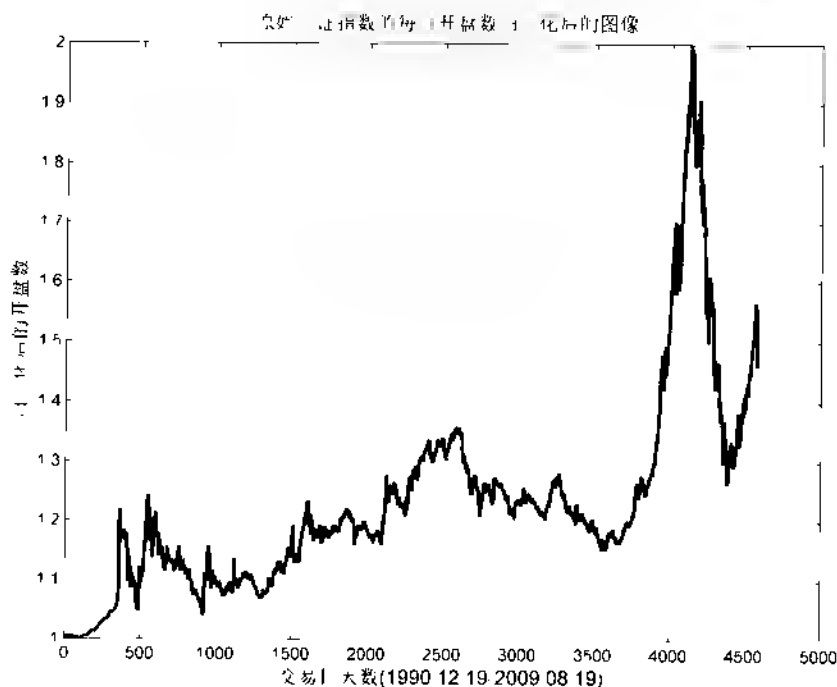


图 14-3 上证指数每日的开盘数归一化的结果图

14.3.3 参数选择

关于 SVM 参数优化的方法详细介绍请参看第 12 章所讲案例。第 12 章中案例的 SVMcgForClass.m 实现的是对于分类寻找最佳的参数 c 和 g , 对于回归问题对 SVMcgForClass.m 稍作修改就可以用来寻找回归的最佳参数 c 和 g , 由 SVMcgForRegress.m 实现, 其函数接口为

```
[mse,bestc,bestg] =
SVMcgForRegress(train_label,train,cmin,cmax,gmin,gmax,v,cstep,gstep,msestep)
```

输入

train_label: 训练集标签(待回归的变量), 要求与 libsvm 工具箱中要求一致。

若您对此书内容有任何疑问, 可以凭在线交流卡登录 MATLAB 中文论坛与作者交流。

train: 训练集(自变量), 要求与 libsvm 工具箱中要求一致。

cmin: 惩罚参数 c 的变化范围的最小值(取以 2 为底的幂指数后), 即 $c_{\min} = 2^{\text{cmin}}$, 默认为 0。

cmax: 惩罚参数 c 的变化范围的最大值(取以 2 为底的幂指数后), 即 $c_{\max} = 2^{\text{cmax}}$, 默认为 5。

gmin: 参数 g 的变化范围的最小值(取以 2 为底的幂指数后), 即 $g_{\min} = 2^{\text{gmin}}$, 默认为 0。

gmax: 参数 g 的变化范围的最大值(取以 2 为底的幂指数后), 即 $g_{\max} = 2^{\text{gmax}}$, 默认为 5。

v: Cross Validation 的参数, 即给测试集分为几部分进行 Cross Validation, 默认为 5。

cstep: 参数 c 步进的大小, 默认为 1。

gstep: 参数 g 步进的大小, 默认为 1。

mstep: 最后显示 MSE 图时的步进大小, 默认为 0.1。

输出

mse: Cross Validation 过程中的最低的均方误差。

bestc: 最佳的参数 c 。

bestg: 最佳的参数 g 。

关于 SVMcgForRegress.m 的详细代码这里不再赘述, 与第 13 章中的 SVMcgForClass.m 类似。利用 SVMcgForRegress.m 寻找回归的最佳参数, 首先进行粗略的寻找(见图 14-4), 观察粗略寻找的结果后再进行精细选择(见图 14-5)。

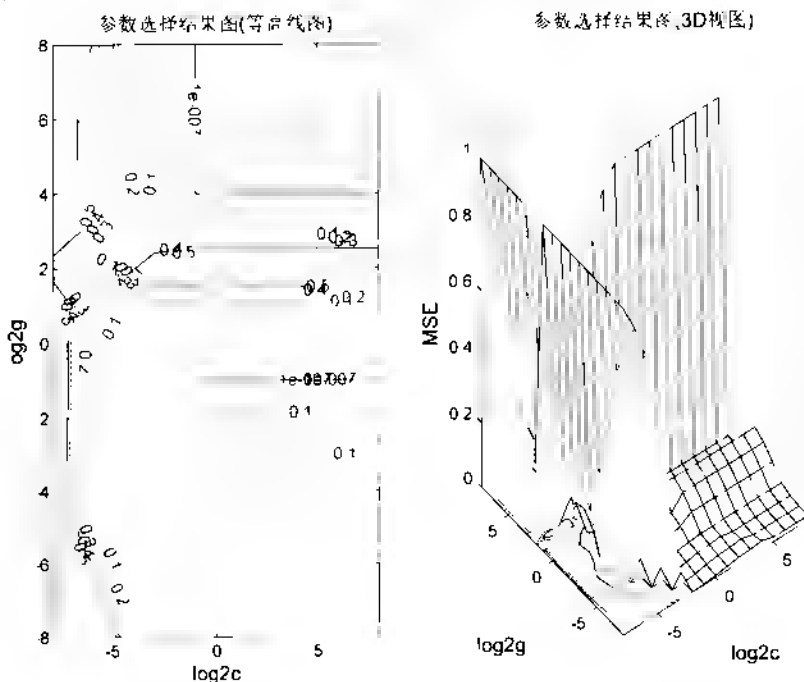


图 14-4 参数粗略选择结果图

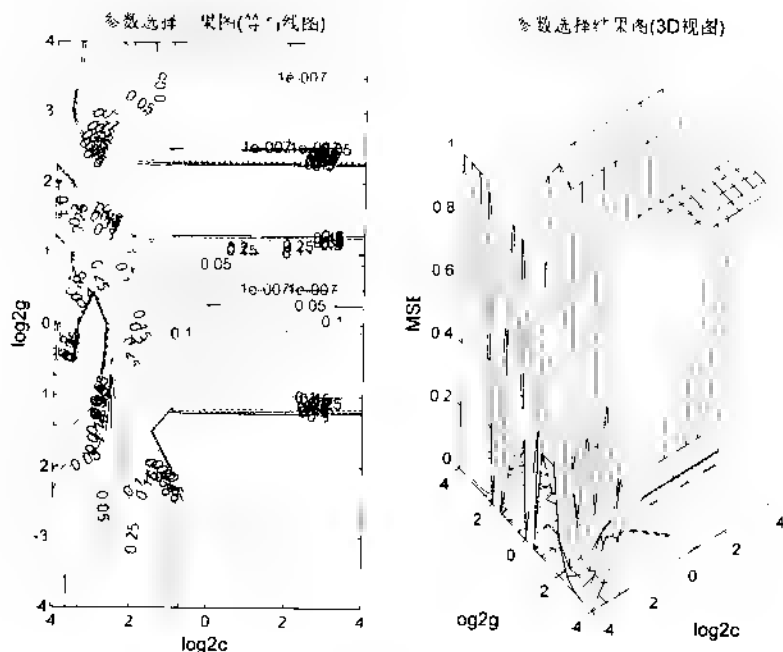


图 14-5 参数精细选择结果图

MATLAB 实现代码如下:

```
% 首先进行粗略选择:
[bestmse,bestc,bestg]
SVMcgForRegress(TS,TSX, -8,8, -8,8);

% 打印粗略选择结果
disp('打印粗略选择结果');
str =
sprintf('Best Cross Validation MSE = %g
Best c = %g Best g = %g',bestmse,bestc,bestg);
disp(str);

% 根据粗略选择的结果图再进行精细选择:
[bestmse,bestc,bestg] =
SVMcgForRegress(TS,TSX, -4,4, 4,4,3,0.5,0.5,0.05);

% 打印精细选择结果
disp('打印精细选择结果');
str =
sprintf('Best Cross Validation MSE = %g
Best c = %g Best g = %g',bestmse,bestc,bestg);
disp(str);

运行结果:
```

若您对此书内容有任何疑问,可以凭在线交流卡登录 MATLAB 中文论坛与作者交流。

打印粗略选择结果

Best Cross Validation MSE = 0.000961388

Best c = 0.25 Best g = 2

打印精细选择结果

Best Cross Validation MSE = 0.000948821

Best c = 1 Best g = 1.6245

14.3.4 训练 & 回归预测

利用上面的得到的最佳参数 c 和 g 对 SVM 进行训练,然后再对原始数据进行回归预测。
MATLAB 实现代码如下:

%% 利用回归预测分析最佳的参数进行 SVM 网络训练

```
cmd = ['-c', num2str(bestc), '-g',
```

```
num2str(bestg), '-s 3 -p 0.01'];
```

```
model = svmtrain(TS,TSX,cmd);
```

%% SVM 网络回归预测

```
[predict,mse] = svmpredict(TS,TSX,model);
```

```
predict = mapminmax('reverse',predict',TSps);
```

```
predict = predict';
```

运行结果:

均方误差 MSE = 2.35705e-005 相关系数 R = 99.9195%

最终的回归预测结果(见图 14-6)、误差图(见图 14-7)和相对误差图(见图 14-8)。

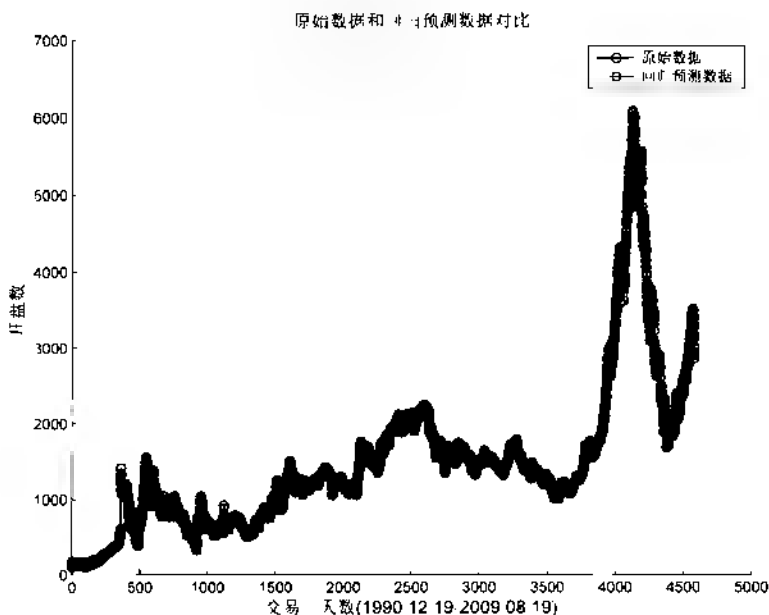


图 14-6 回归预测结果图

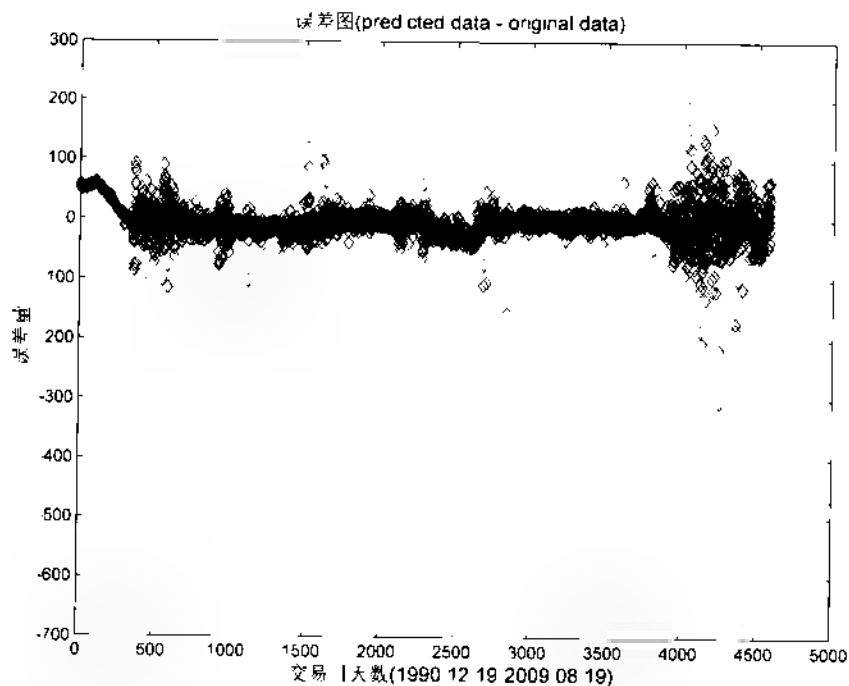


图 14-7 误差可视化图

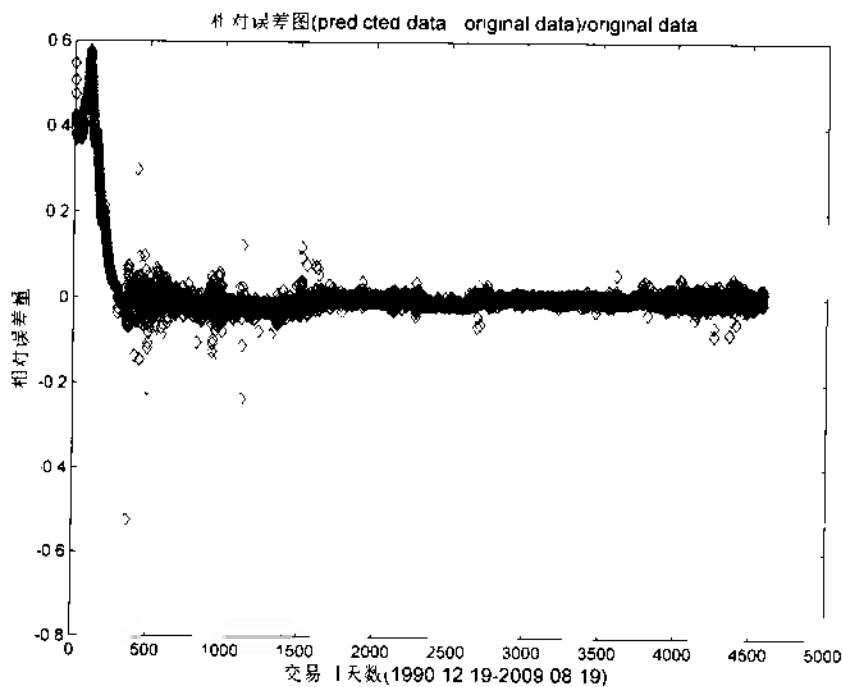


图 14-8 相对误差可视化图

若您对此书内容有任何疑问，可以凭在线交流卡登录MATLAB中文论坛与作者交流。

14.4 案例扩展

对于股票指数来说,大多时候无法对其进行精确预测,对投资最有参考意义的是:能否预测它未来 3~5 天的趋势和变化空间?本章中介绍了 SVM 在回归中的应用,在下一个案例中,首先用模糊信息粒化处理原始数据,然后再用 SVM 来进行回归预测,进而可以对上证指数未来 5 天内的变化趋势和变化空间进行预测,实例验证表明预测的结果是可靠的。

更多关于 SVM 理论和应用方面的资料,请参看参考文献所列内容。

参考文献

- [1] Vapnik V. Statistical Learning Theory[M]. Wiley, New York, NY, 1998.
- [2] Cortes C, Vapnik V. Support Vector network[J]. Machine Learning, 1995, 20: 273-297.
- [3] Boser B, Guyon I, Vapnik V. A training algorithm for optimal margin classifiers[J]. ACM press. In Proceedings of the Fifth Annual Workshop on Computational Learning Theory, 1992.
- [4] Hsu C W, Lin C J. A comparison of methods for multi-class support vector machines[J]. IEEE Transactions on Neural Networks, 2002, 13(2): 415-425.
- [5] Lin C J. Formulations of support vector machines: a note from an optimization point of view[J]. Neural Computation, 2001, 13(2): 307-317.
- [6] 冯振华, 杨杰明. SVM 回归的参数探讨[J]. 机械. 程与自动化, 2007, 3: 17-22.
- [7] 王晓红, 吴德会. 基于 WLS-SVM 回归模型的电力负荷预测[J]. 微计算机信息 2008, 24(2-1): 312-314.
- [8] 滕卫平, 俞善贵, 胡波, 等. SVM 回归法在汛期旱涝预测中的应用[J]. 浙江大学学报: 理学版 2008, 35(3): 313-314.
- [9] 米切尔, Mitchell, T. M. Machine Learning[M]. 北京, 机械工业出版社, 2003.
- [10] 海金(Haykin S). 神经网络原理[M]. 于世伟, 史忠植, 译. 北京, 机械工业出版社, 2004.

第 15 章 SVM 的信息粒化时序回归预测

——上证指数开盘指数变化趋势和变化空间预测

15.1 案例背景

在第 14 章中对于上证指数进行了回归预测,但是往往有时候或者人多数时候无法对上证指数进行精确的预测,这时候如果能对上证指数开盘指数变化趋势和变化空间进行预测就显得更为重要。如果能知道上证指数开盘指数变化趋势和变化空间,这对于用户来说也是十分有帮助的,在这个案例里面我们将利用 SVM 对进行模糊信息粒化后的上证每日的开盘指数进行变化趋势和变化空间的预测,通过实际检验会看到这种方法是十分可行的并且结果很是可靠,从而可以看到将 SVM 与其他工具方法结合后 SVM 强有力的效果。本章的测试数据与第 14 章相同,关于测试数据的具体介绍请参看 14.1。

15.1.1 信息粒化基本知识

由于本案例中会用到信息粒化相关的知识,在这里做简要介绍。

信息粒化(IG, Information Granulation)是粒化计算和词语计算的主要方面,研究信息粒化的形成、表示、粗细、语义解释等。从本质上讲,信息颗粒是通过不可区分性、功能相近性、相似性、函数性等来划分的对象的集合。粒化计算(GrC, Granular Computation)是信息处理的一种新的概念和计算范式,覆盖了所有有关粒化的理论、方法、技术和工具的研究。它是词计算理论、粗糙集理论、商空间理论、区间计算等的超集,也是软计算科学的一个分支。它已成为粗糙及海量信息处理的重要工具和人工智能研究领域的热点之一。

15.1.2 信息粒化简介

信息粒化这一概念最早是由 Lotfi A. Zadeh(L. A. Zadeh)教授提出的。信息粒化就是将一个整体分解为一个个的部分进行研究,每个部分为一个信息粒。Zadeh 教授指出:信息粒就是一些元素的集合,这些元素由于难以区别、或相似、或接近或某种功能而结合在一起。

信息粒作为信息的表现形式在我们的周围是无所不在的,它是人类认识世界的一个基本概念。人类在认识世界时往往将一部分相似的事物放在一起作为一个整体研究它们所具有的性质或特点,实际上,这种处理事物的方式就是信息粒化。而所研究的“整体”就称为信息粒。例如:时间信息粒有年、月、日、时等。从时间信息粒中可以看出信息粒在本质上是分层次的,一种信息粒可以细化为更“低”一层次的信息粒。

信息粒化中,粒为非模糊的粒化方式(c-粒化)在众多方法技术中起着重要的作用,但是在几乎所有人的推理及概念形成中,粒都是模糊的(f-粒化),非模糊的粒化没有反映这一事实。模糊信息粒化正是受人类粒化信息方式启发并据此进行推理的。

信息粒化的主要三种模型是:基于模糊集理论的模型;基于粗糙集理论的模型;于商空间

理论的模型。二种模型之间存在着密切的联系与区别。模糊集理论与粗糙集理论有很强的互补性,这两个理论优化、整合在处理知识的不确定性和不完全性时已显示出更强的功能。商空间理论与粗糙集理论都是利用等价类来描述粒化,再用粒化来描述概念,但是,它们讨论的出发点有所不同。粗糙集理论的论域只是对象的点集,元素之间拓扑关系不在考虑之内,商空间理论是着重研究空间关系的理论,商空间理论是在论域元素之间存在有拓扑关系的前提下进行研究的,即论域是一个拓扑空间。本案例的采用的是基于模糊集理论的模型。

20世纪60年代,美国著名数学家 L. A. Zadeh 提出模糊集合论,在此基础上,于1979年首次提出并讨论了模糊信息粒化问题,并给出了一种数据粒的命题刻画:

$$g(x) \triangleq (x \in G) \wedge \lambda$$

其中, x 是论域 U 中取值的变量, G 是 U 的模糊子集,由隶属函数 μ_G 来刻画。 λ 表示可能性概率。一般假设 U 为实数集合 $R(R^n)$, G 是 U 的凸模糊子集, λ 是单位区间的模糊子集。

例如:

$g(x)$ 是小的)是可能的

$g(x)$ 不是很大)是很不可能的

$g(x)$ 比 y 大的多)是不可能的

另外,模糊信息粒也可以由如下命题刻画,

$$g \triangleq x \in G$$

L. A. Zadeh 认为人类在进行思考、判断、推理时主要是用语言进行的,而语言是一个很粗的粒化,如何利用语言进行推理判断,这就是要进行词计算。狭义的模糊词计算理论是指利用通常意义下的数学概念和运算,诸如:加、减、乘、除等构造的带有不确定或模糊值的词计算的数学体系。它借助模糊逻辑概念和经典的群、环、域代数结构,构造出以词为定义域的类似结构。

15.1.3 模糊信息粒化方法模型

非模糊的信息粒化有许多方法,比如区间信息粒化、相空间信息粒化、基于信息密度的信息粒化,在许多的领域非模糊的信息粒化方法也起着重要的作用,但许多情况下非模糊的信息粒不能明确的反映所描述事物的特性,因此建立模糊信息粒是必要的。

模糊信息粒就是以模糊集形式表示的信息粒。用模糊集方法对时间序列进行模糊粒化,主要分为两个步骤:划分窗口和模糊化。划分窗口就是将时间序列分割成若干小子序列,作为操作窗口;模糊化则是将产生的每一个窗口进行模糊化,生成一个个模糊集也就是模糊信息粒。这两种广义模式结合在一起就是模糊信息粒化,称为 f 粒化。在 f 粒化中,最为关键的是模糊化的过程,也就是在所给的窗口上建立一个合理的模糊集,使其能够取代原来窗口中的数据,表示相关的人们所关心的信息。本案例重点采用的是 Witold Pedrycz(W. Pedrycz)的粒化方法。

对于给定的时间序列,考虑单窗口问题,即把整个时序 X 看成是一个窗口进行模糊化。模糊化的任务是在 X 上建立一个模糊粒子 P ,即一个能够合理描述 X 的模糊概念 G (以 X 为论域的模糊集合),确定了 G 也就确定了模糊粒子 P :

$$g \triangleq x \in G$$

所以模糊化过程本质上就是确定一个函数 A 的过程, A 是模糊概念 G 的隶属函数, 即 $A = \mu_G$ 。通常粒化时首先确定模糊概念的基本形式, 然后确定具体的隶属函数 A 。

在后面的论述中, 在不做特别声明的情况下, 模糊粒子 P 可以代替模糊概念 G , 即 P 可简单描述为:

$$P = A(x)$$

常用的模糊粒子有以下几种基本形式: 三角型, 梯型, 高斯型, 抛物型等。其中三角型模糊粒子为本案例采用的, 其隶属函数如式 15-1 所示, 图像如图 15-1 所示。

$$A(x, a, m, b) = \begin{cases} 0, & x < a \\ \frac{x-a}{m-a}, & a \leq x < m \\ \frac{b-x}{b-m}, & m \leq x \leq b \\ 0, & x > b \end{cases} \quad (15-1)$$

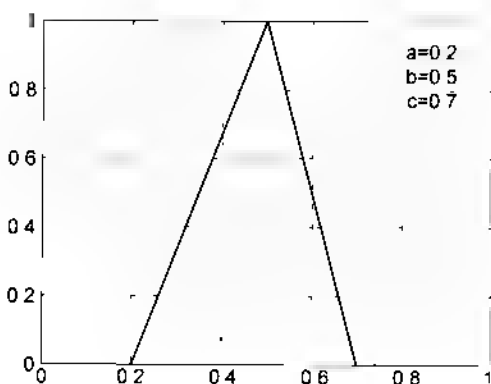


图 15-1 一个三角型模糊粒子的隶属函数例子

15.1.4 W. Pedrycz 模糊粒化方法模型

建立模糊粒子的基本思想:

- ① 模糊粒子能够合理的代表原始数据;
- ② 模糊粒子要有一定的特殊性。

即无论使用那种形式的模糊集来建立模糊粒子, 都要满足上面建立模糊粒子的基本思想。为满足上述的两个要求, 找到两者的最佳平衡, 可考虑建立如下的关于 A 的一个函数:

$$Q_A = \frac{M_A}{N_A}$$

其中 M_A 满足建立模糊粒子的基本思想①, N_A 满足建立模糊粒子的基本思想②。

例如当取 $M_A = \sum_{x \in X} A(x)$ 、 $N_A = \text{measure}(\text{supp}(A))$ 时

$$Q_A = \frac{\sum_{x \in X} A(x)}{\text{measure}(\text{supp}(A))}$$

则为满足建立模糊粒子的基本思想, 只需 Q_A 越大越好。

若您对此书内容有任何疑问, 可以凭在线交流卡登录 MATLAB 中文论坛与作者交流。

以上模型算法由 FIG_D.m 实现,在 15.3 中将介绍。

15.2 模型建立

模型目的:利用从 1990 年 12 月 19 日到 2009 年 8 月 19 日这期间内上证指数每日的开盘数,预测下 5 个交易日内上证指数的变化趋势和变化空间,即预测 20,21,24,25,26 这 5 个交易日上证指数的变化趋势(整体变大或变小)和变化的范围空间。

模型假设:假设上证指数每日的开盘数与时间相关,即把时间点作为影响上证指数变化的自变量。

算法流程,如图 15-2 所示。



图 15-2 模型整体流程

15.3 MATLAB 实现

其中 SVM 的实现使用的是 libsvm 工具箱,有关 libsvm 工具箱的介绍和使用方法请参看 12.3.3 相关内容。

15.3.1 原始数据提取

将第 1 个到第 459 个交易日内每日的上证指数开盘数从原始数据提取出来, MATLAB 实现代码如下。

```

% 载入测试数据上证指数(1990 12 19 ~ 2009 08 19)
% 载入后上证指数每日开盘数存储在变量 sh_open 中
% 数据是一个 4579 * 6 的 double 型的矩阵,每一行表示每一天的上证指数的各种指标
% 6 列分别表示当日上证指数的开盘指数,指数最高值,指数最低值,
% 收盘指数,当日交易量,当日交易额。
load chapter15_sh.mat;
% 提取数据
ts = sh_open;
time = length(ts);
    
```

15.3.2 FIG(Fuzzy Information Granulation:模糊信息粒化)

采用案例背景中介绍的模糊粒化模型对原始数据进行模糊信息粒化,由 FIG_D.m 实现,其函数接口如下。

```
[low,R,up] = FIG_D(XX,MFkind,win num)
```

输入

XX:待粒化的时间序列。

MFkind:隶属函数种类,即所采用的模糊粒子类型,本案例采用的是三角型的模糊粒子, MFkind = 'triangle'。

win num:粒化的窗口数日,即将原始数据划分为多少窗口,每一个窗口将生成一个模糊粒子,这里将5个交易日作为一个窗口的大小,则窗口数日为原始数据的长度除以5后取整。

输出

low,R,up分别为模糊粒子的三个参数,对于三角型模糊数而言 low,R,up即为a,m,b三个参数,其中对于单个模糊粒子而言,low参数描述的是相应的原始数据变化的最小值,R参数描述的是相应的原始数据变化的中体的平均水平,up参数描述的是相应的原始数据变化的最大值。

MATLAB实现代码如下:

```
%% 对原始数据进行模糊信息粒化
win num = floor(time/5);
tsx = 1:win num;
tsx = tsx';
[Low,R,Up] = FIG D(ts','triangle',win num);
```

最终粒化的结果可视化如图 15-3 所示。

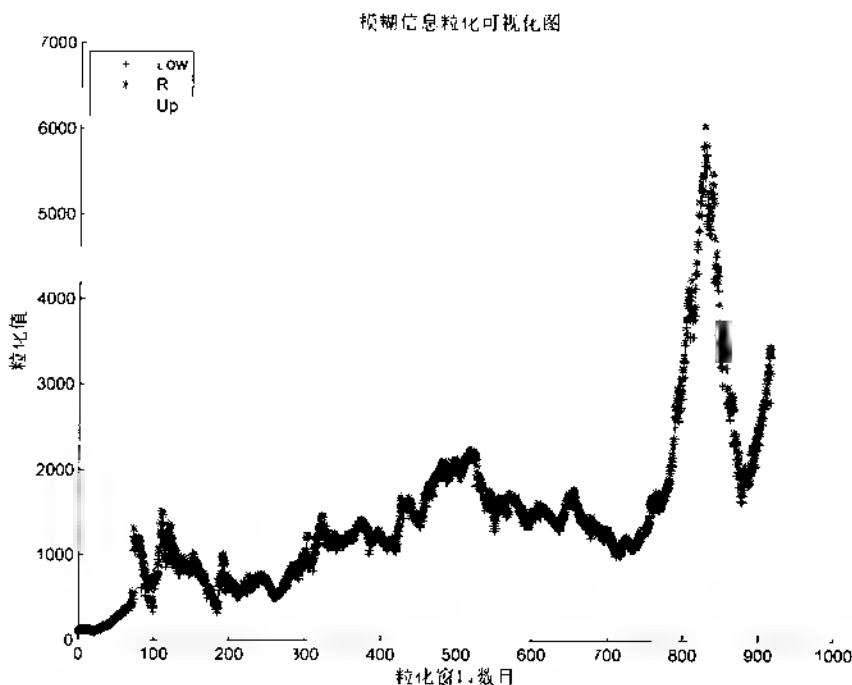


图 15-3 粒化结果图

15.3.3 利用 SVM 对粒化数据进行回归预测

利用 SVM 对 Low,R,Up 三个模糊粒子的参数进行回归预测的过程类似,这里仅就 Low 来详细说明。

若您对此书内容有任何疑问,可以凭在线交流卡登录 MATLAB 中文论坛与作者交流。

对于 Low 进行回归预测的过程与第 14 章中案例的过程类似,首先需要先进行数据预处理(归一化,这里将其归一化到 $[100,500]$),然后利用 `SVMcgForRegress.m` 函数来寻找最佳的参数 c 和 g ,最后再进行训练和预测。这里仅给出数据预处理和寻参的结果(见图 15-4、图 15-5、图 15-6)。

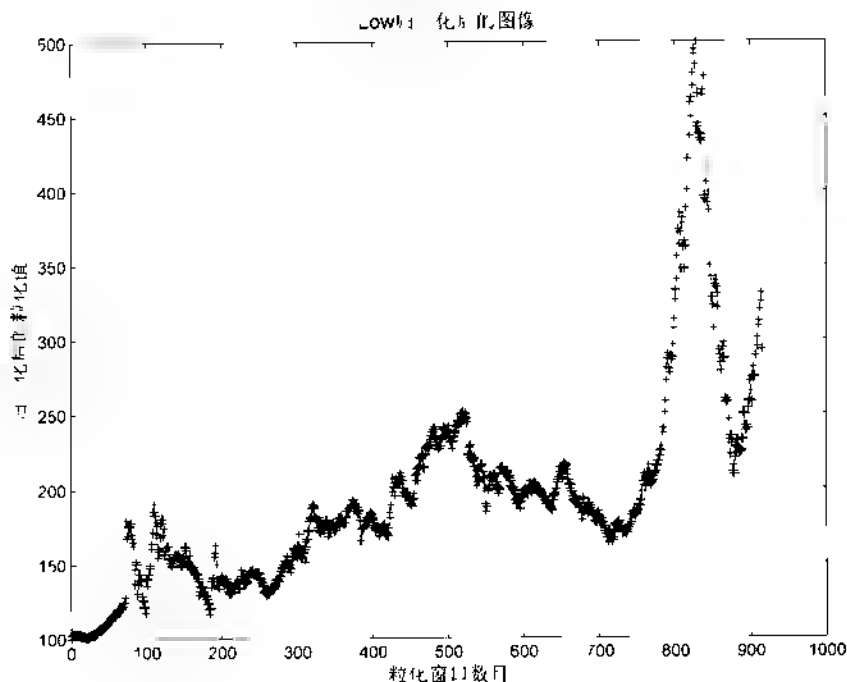


图 15-4 Low 归一化后图像

打印粗略选择结果:

```
SVM parameters for Low;
Best Cross Validation MSE = 35.0879
Best c = 256 Best g = 0.03125
```

打印精细选择结果:

```
SVM parameters for Low;
Best Cross Validation MSE = 35.0177
Best c = 256 Best g = 0.0220971
```

利用上面得到的最佳参数来进行训练和预测。

MATLAB 实现代码如下:

```
% 训练 SVM
cmd = ['-c', num2str(bestc), '-g', num2str(bestg), '-s 3 -p 0.1'];
low_model = svmtrain(low, tsx, cmd);

% 预测
[low_predict, low_mse] = svmpredict(low, tsx, low_model);
```

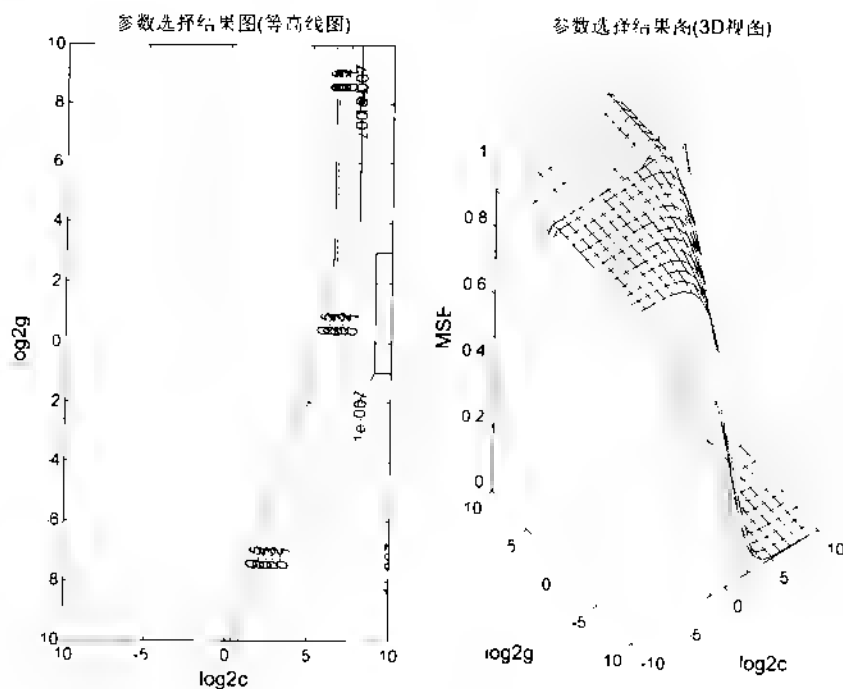


图 15-5 参数粗略选择结果图

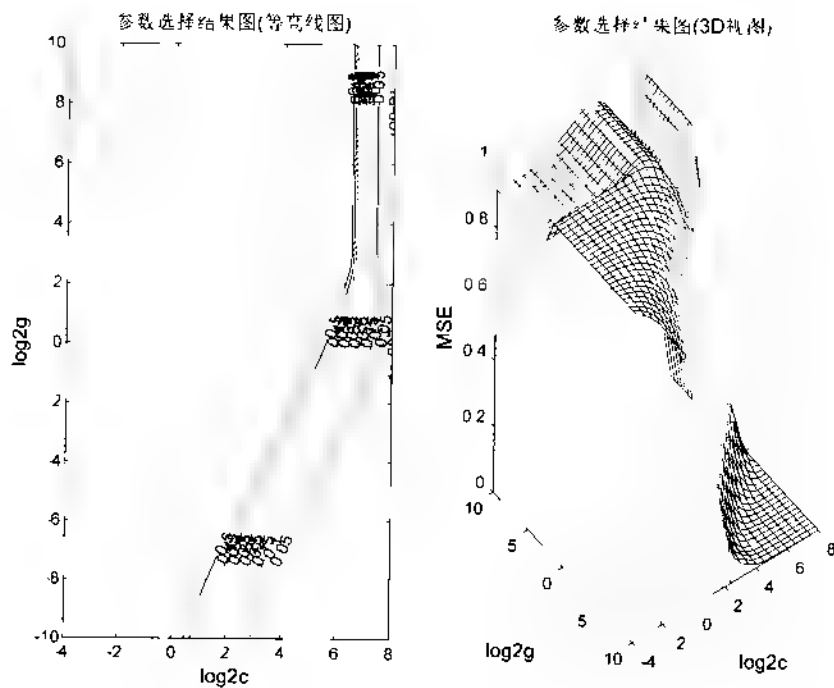


图 15-6 参数精细选择结果图

若您对此书内容有任何疑问，可以凭在线交流卡登录 MATLAB 中文论坛与作者交流。

```
low_predict = mapminmax('reverse',low_predict,low ps);
predict_low = svmpredict(1,win num+1,low model),
predict_low = mapminmax('reverse',predict_low,low ps);
predict_low
```

可以得到对于 low 的拟合结果以及误差(见图 15-7、图 15-8)

Mean squared error = 22.0054 (regression)

Squared correlation coefficient = 0.995366 (regression)

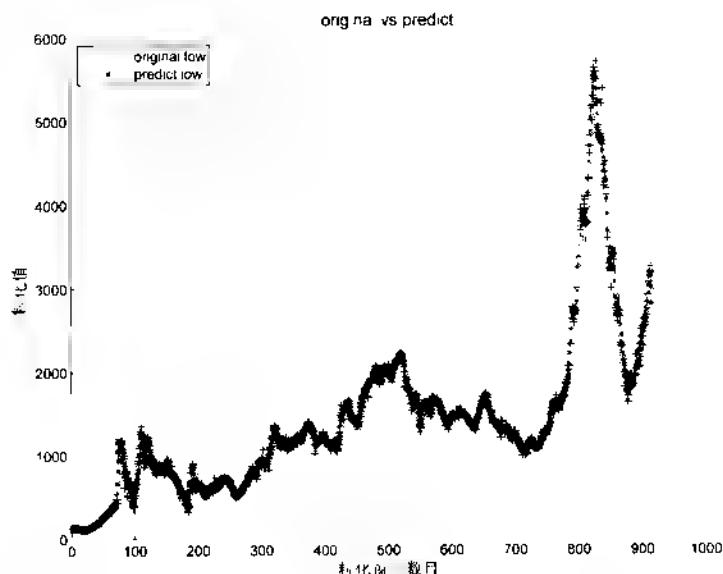


图 15-7 Low 的拟合结果图

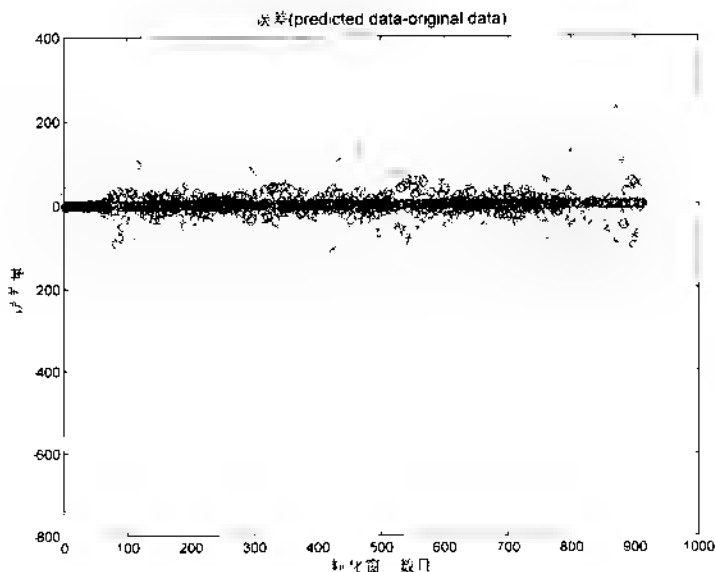


图 15-8 误差

还可以预测出下一个交易日内(20日,21日,24日,25日,26日)模糊粒子的low参数

```
predict_low = 2796.8
```

15.3.4 上证指数的变化趋势和变化空间及预测效果验证

对于R和Up也进行类似预测,最终可以得到5个交易日内(20日,21日,24日,25日,26日)模糊粒子的r,up参数分别为:

```
predict_r = 2950.0, predict_up = 3267.3
```

下面验证一下预测的效果,检验20日,21日,24日,25日,26日这5日内上证指数的开盘数是否在上述预测的范围内,并与10个交易日进行比较来整体看待上证指数的变化趋势如表15-1所列。

表 15-1 上证指数变化趋势和变化空间预测

日期	18	19	20	21	22	实际变化范围(由模糊粒子描述)
实际开盘数	3126.3	3138.2	3139.9	3181.7	3216.6	[Low,R,Up] = [2796.8, 3138.2, 3380.2]
日期	23	24	25	26	预测变化范围(由模糊粒子描述)	
实际开盘数	3168.1	3200.1	3208.8	3285.74	Low,R,Up = [2796.8, 2950.0, 3267.3]	

通过上表可以看到预测的20日,21日,24日,25日,26日这5日内上证指数每日开盘数的变化范围是准确的,并且较前10个交易日而言,20日,21日,24日,25日,26日这5日内上证指数开盘数整体有下降的趋势。

15.4 案例扩展

以上的预测是在8月21日凌晨做出的,即当时还不知道21日,24日,25日,26日这4日的上证指数的开盘数,具体可以看MATLAB中文论坛里相应的帖子(里面有发帖时间):<http://www.iloveMATLAB.cn/viewthread.php?tid=47651>。

本案例中SVM参数有精细调整,故本案例中的预测范围与Matlab中文论坛原始帖子里的稍有出入,但差别不大。

更多关于SVM理论和应用方面的资料以及信息粒化相关的资料,部分请参看参考文献所列内容。

附录

libsvm mat 加强工具箱介绍

由于libsvm的MATLAB版本的工具箱libsvm_mat并没有给出寻参的函数模块,而无论利用libsvm工具箱进行分类还是回归,参数的选取都是十分重要的,鉴于此libsvm_mat加强工具箱在libsvm_mat 2.89.3的基础上给出相应的辅助函数插件,方便用户来选取最佳的参数,该加强工具箱可以在MATLAB中文论坛上下载,现对该加强工具箱里主要的辅助

若您对此书内容有任何疑问,可以凭在线交流卡登录MATLAB中文论坛与作者交流。

函数插件的接口进行介绍,所有的源代码可以到 MATLAB 中文论坛下载并查看。

归一化函数, scaleForSVM

```
[train_scale, test_scale, ps] = scaleForSVM(train_data, test_data, ymin, ymax)
```

输入

train_data: 训练集, 格式要求与 svmtrain 相同。

test_data: 测试集, 格式要求与 svmtrain 相同。

ymin, ymax: 归一化的范围, 即将训练集和测试都归一化到 [ymin, ymax], 这两个参数可不输入, 默认值为 ymin = 0, ymax = 1, 即默认将训练集和测试都归一化到 [0, 1] 区间。

输出

train_scale: 归一化后的训练集。

test_scale: 归一化后的测试集。

ps: 归一化过程中的映射(方便反归一化使用)。

pca 降维预处理函数, pcaForSVM

```
[train_pca, test_pca] = pcaForSVM(train_data, test_data, threshold)
```

输入

train_data: 训练集, 格式要求与 svmtrain 相同。

test_data: 测试集, 格式要求与 svmtrain 相同。

threshold: 对原始变量的解释程度([0, 1] 之间的一个数), 通过该阈值可以选取出主成分, 该参数可以不输入, 默认为 90, 即选取的主成分默认可以达到对原始变量达到 90% 的解释程度。

输出

train_pca: 进行 pca 降维预处理后的训练集。

test_pca: 进行 pca 降维预处理后的测试集。

网格参数寻优函数(分类问题), SVMcgForClass

```
[bestCVaccuracy, bestc, bestg] =  
SVMcgForClass(train_label, train, cmin, cmax, gmin, gmax, v, cstep, gstep, accstep)
```

输入

train_label: 训练集的标签, 格式要求与 svmtrain 相同。

train: 训练集, 格式要求与 svmtrain 相同。

cmin, cmax: 惩罚参数 c 的变化范围, 即在 $[2^{cmin}, 2^{cmax}]$ 范围内寻找最佳的参数 c, 默认值为 cmin = -8, cmax = 8, 即默认惩罚参数 c 的范围是 $[2^{-8}, 2^8]$ 。

gmin, gmax: RBF 核参数 g 的变化范围, 即在 $[2^{gmin}, 2^{gmax}]$ 范围内寻找最佳的 RBF 核参数 g, 默认值为 gmin = -8, gmax = 8, 即默认 RBF 核参数 g 的范围是 $[2^{-8}, 2^8]$ 。

v: 进行 Cross Validation 过程中的参数, 即对训练集进行 v fold Cross Validation, 默认为 3, 即默认进行 3 折 CV 过程。

cstep, gstep: 进行参数寻优是 c 和 g 的步进入小, 即 c 的取值为 $2^{cmin}, 2^{(cmin+cstep)}, \dots, 2^{cmax}$, g 的取值为 $2^{gmin}, 2^{(gmin+gstep)}, \dots, 2^{gmax}$, 默认取值为 cstep = 1, gstep = 1。

accstep:最后参数选择结果图中准确率离散化显示,的步进间隔大小 $([0,10])$ 之间的一个数,默认为4.7。

输出

bestCVaccuracy:最终CV意义下的最佳分类准确率。

bestc:最佳的参数 c 。

bestg:最佳的参数 g 。

网格参数寻优函数(回归问题):SVMcgForRegress

```
[bestCVmse,bestc,bestg] = SVMcgForRegress(train_label,train,cmin,cmax,gmin,gmax,v,cstep,
gstep,msestep)
```

其输入输出与SVMcgForClass类似,这里不再赘述。

利用PSO参数寻优函数(分类问题):psoSVMcgForClass

```
[bestCVaccuracy,bestc,bestg,pso_option] = psoSVMcgForClass(train_label,train,pso_option,
```

输入

train_label:训练集的标签,格式要求与svmtrain相同。

train:训练集,格式要求与svmtrain相同。

pso_option:PSO中的一些参数设置,可不输入,有默认值,详细请看代码的帮助说明。

输出

bestCVaccuracy:最终CV意义下的最佳分类准确率。

bestc:最佳的参数 c 。

bestg:最佳的参数 g 。

pso_option:记录PSO中的一些参数。

利用PSO参数寻优函数(回归问题):psoSVMcgForRegress

```
[bestCVmse,bestc,bestg,pso_option] = psoSVMcgForRegress(train_label,train,pso_option)
```

其输入输出与psoSVMcgForClass类似,这里不再赘述。

利用GA参数寻优函数(分类问题):gaSVMcgForClass

```
[bestCVaccuracy,bestc,bestg,ga_option] = gaSVMcgForClass(train_label,train,ga_option)
```

输入

train_label:训练集的标签,格式要求与svmtrain相同。

train:训练集,格式要求与svmtrain相同。

ga_option:GA中的一些参数设置,可不输入,有默认值,详细请看代码的帮助说明。

输出

bestCVaccuracy:最终CV意义下的最佳分类准确率。

bestc:最佳的参数 c 。

bestg:最佳的参数 g 。

ga_option:记录GA中的一些参数。

利用GA参数寻优函数(回归问题):gaSVMcgForRegress

若您对此书内容有任何疑问,可以凭在线交流卡登录MATLAB中文论坛与作者交流。

```
[bestCvmse,bestc,bestg,ga_option]=
gaSVMcgForRegress(train_label,train,ga_option)
```

其输入输出与 gaSVMcgForClass 类似,这里不再赘述。

参考文献

- [1] Vapnik V. Statistical Learning Theory[M]. Wiley, New York, NY, 1998.
- [2] Cortes C, Vapnik V. Support Vector networks[J]. Machine Learning, 1995, 20: 273-297.
- [3] Boser B, Guyon I, Vapnik V. A training algorithm for optimal margin classifiers[J]. ACM press: In Proceedings of the Fifth Annual Workshop on Computational Learning Theory, 1992.
- [4] 米切尔(Mitchell I M). Machine Learning[M]. 北京:机械工业出版社, 2003.
- [5] 海金(Haykin S). 神经网络原理[M]. 叶世伟, 史忠植, 译. 北京:机械工业出版社, 2004.
- [6] 罗承忠. 模糊集引论: 上下册[M]. 北京:北京师范大学出版社, 2005.
- [7] Witold Pedrycz. Knowledge Based Clustering: From Data to Information Granules[M]. John Wiley & Sons, Inc, 2007.
- [8] 李洋. 基于信息粒化的机器学习分类及回归预测分析[D]. 北京:北京师范大学数学科学学院, 2009.
- [9] A Bargela, W Pedrycz. Granular Computing: An Introduction[M]. Kluwer Academic Publishers, Dordrecht, 2003.
- [10] Y. Y. Yao. Granular computing using neighborhood systems. Advances in soft computing: Engineering design and manufacturing[M]. London: Springer-Verlag Company, 1999.
- [11] Yao, Y. Y. On Modeling data mining with granular computing[J]. Proceedings of COMPSAC 2001, 638-643.

若您对此书内容有任何疑问, 可以凭在线交流卡登录 MATLAB 中文论坛与作者交流。

第 16 章 自组织竞争网络在模式分类中的应用

——患者癌症发病预测

16.1 案例背景

16.1.1 自组织竞争网络概述

前面案例中讲述的都是训练过程中采用有导师监督学习方式的神经网络模型。这种学习方式在训练过程中,需要预先给网络提供期望输出,根据期望输出来调整网络的权重,使得实际输出和期望输出尽可能地接近。但是在很多情况下,在人们认知的过程中没有预知的正确模式,也就是常说的“无师自通”。在这种无监督无期望输出的情况下,基于有导师学习的神经网络往往是无能为力的。自组织神经网络可以通过对客观事件的反复观察,分析与比较,自行提示其内在规律,并对具有共同特征的事物进行正确的分类。此种网络更与人脑中生物神经网络的学习模式类似,即可以通过自动寻找样本中的内在规律和本质属性,自组织、自适应地改变网络参数与结构,这也是自组织名称的由来。自组织神经网络的学习规则大都采用竞争型的学习规则,详见 16.1.2 中的讲解。

竞争型神经网络的基本思想是网络竞争层的各个神经元通过竞争来获得对输入模式的响应机会,最后仅有一个神经元成为竞争的胜利者,并将与获胜神经元有关的各连接权值向着更有利于其竞争的方向调整。自组织竞争网络自组织、自适应的学习能力进一步拓宽了神经网络在模式分类和识别方面的应用。

16.1.2 竞争网络结构和学习算法

竞争型神经网络有很多具体形式和不同的学习算法,本案例只介绍一种比较简单的网络结构和学习算法,其网络结构如图 16-1 所示。

竞争网络可分为输入层和竞争层。假定输入层由 N 个神经元构成,竞争层有 M 个神经元。网络的连接权值为 w_{ji} ($i=1,2,\dots,N, j=1,2,\dots,M$) 且满足约束条件 $\sum_{j=1}^M w_{ji} = 1$ 。

在竞争层中,神经元之间相互竞争,最终只有一个神经元获胜,以适应当前的输入样本。竞争胜利的神经元就代表着当前输入样本的分类模式。竞争型网络的输入样本为二值向量,各元素取值 0 或者 1。竞争层神经元 j 的状态可按下式计算。

$$S_j = \sum_{i=1}^N w_{ji} x_i \quad (16-1)$$

式 16-1 中, x_i 为输入样本向量的第 i 个元素。根据竞争机制,竞争层中具有最大加权值的神经元 k 赢得竞争胜利,输出为

$$a_k = \begin{cases} 1, & S_k = S, \forall j, k \neq j \\ 0, & \text{else} \end{cases}$$

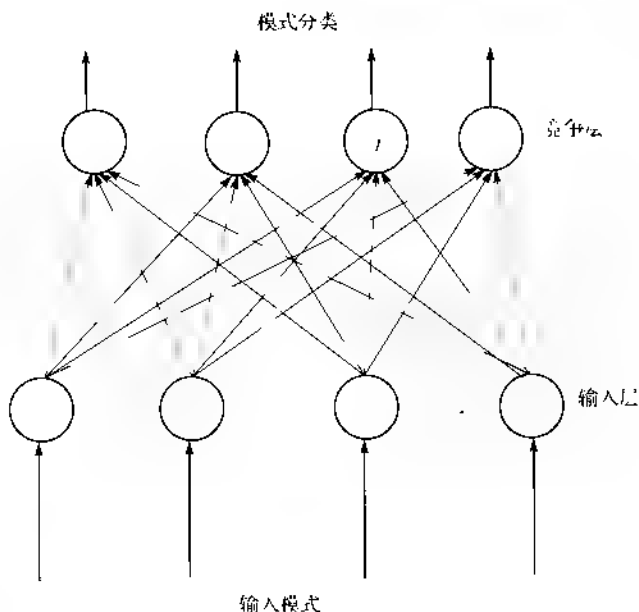


图 16-1 基本竞争型神经网络结构

竞争后的权值按照下式进行修正,对于所有的输入层神经元 i ,有

$$u_{ij} = u_{ij} + \alpha \left(\frac{x_i}{m} - u_{ij} \right) \quad (16-2)$$

式中, α 为学习参数, $0 < \alpha < 1$,一般取为 0.01~0.03; m 为输入层中输出为 1 的神经元个数,

$$m = \sum_i x_i$$

权值调整公式中的 $\frac{x_i}{m}$ 项表示当 x_i 为 1 时,权值增加;而当 x_i 为 0 时,权值减小。也就是说,当 i 活跃时,对 u_{ij} 的第 j 个权值就增加,否则就减小。由于所有权值的和为 1,所以当第 j 个权值增加或减小时,对应的其他权值就可能减小或增加。此外,式 16-2 还保证了权值的调整能够满足所有的权值调整量之和为 0。

16.1.3 癌症和基因理论概述

癌症(cancer),医学上称为恶性肿瘤(malignant neoplasia),是机体在环境污染、化学污染(化学毒素)、电离辐射、自由基毒素、微生物(细菌、真菌、病毒等)及其代谢毒素、遗传特性、内分泌失调、免疫功能紊乱等等各种致癌物质、致癌因素的作用下导致身体正常细胞发生癌变的结果,常表现为局部组织的细胞异常增生而形成的局部肿块。癌症是机体正常细胞在多重因素、多阶段与多次突变所引起的人类疾病。癌细胞的特点是,无限增殖、无限制地增生,使患者体内的营养物质被大量消耗;癌细胞释放出多种毒素,使人体产生一系列症状;癌细胞还可转移到全身各处生长繁殖,导致人体消瘦、无力、贫血、食欲不振、发热以及严重的脏器功能受损等。与之相对的有良性肿瘤,良性肿瘤则容易清除干净,一般不转移、不复发,对器官、组织只有挤压和阻塞作用,但癌症(恶性肿瘤)还可破坏组织、器官的结构和功能,引起坏死出血合并

感染,患者最终由于器官功能衰竭而死亡。

人体基因组图谱好比是一张能说明构成每一个人体细胞脱氧核糖核酸(DNA)的30亿个碱基对精确排列的“地图”。科学家们认为,通过对每一个基因的测定,人们将能够找到新的方法来治疗和预防许多疾病,如癌症和心脏病等。基因有两个特点,一是能忠实地复制自己,以保持生物的基本特征;二是基因能够“突变”,突变绝大多数会导致疾病,另外的一小部分是有益致病突变。非致病突变给自然选择带来了原始材料,使生物可以在自然选择中被选择出最适合自然的个体。

通过使用基因芯片分析人类基因组,可找出致病的遗传基因。癌症、糖尿病等,都是遗传基因缺陷引起的疾病。医学和生物学研究人员将能在数秒钟内鉴定出最终会导致癌症等的突变基因。借助一小滴测试液,医生们能预测药物对病人的功效,可诊断出药物在治疗过程中的不良反应,还能当场鉴别出病人受到了何种细菌、病毒或其他微生物的感染。利用基因芯片分析遗传基因,将使10年后对糖尿病的诊断率达到50%以上。

未来人们在体检时,由搭载基因芯片的诊断机器人对受检者取血,转瞬间体检结果便可以显示在计算机屏幕上。利用基因诊断,医疗将从千篇一律的“大众医疗”的时代,进步到依据个人遗传基因而异的“定制医疗”的时代。

16.2 模型建立

本案例中给出了一个含有60个个体基因表达水平的样本。每个样本中测量了114个基因特征,其中前20个样本是癌症病人的基因表达水平的样本(其中还可能含有子类),中间的20个样本是正常人的基因表达信息样本,余下的20个样本是待检测的样本(未知它们是否正常)。以下将设法找出癌症与正常样本在基因表达水平上的区别,建立竞争网络模型去预测待检测样本是癌症还是正常样本。

本案例程序中使用的gene.mat是一个 60×114 的矩阵,即共有60组样本数据,每个样本中包括114个元素。利用newc()函数创建一个自竞争网络。由于需要区分的类别数目为2,因此,竞争层神经元的数目也为2。为了加快学习速度,将学习速率设置为0.1。具体函数使用方法和MATLAB实现见16.3。

16.3 MATLAB 实现

本例代码中使用到的相关函数

建立一个竞争层网络,其函数名称和内容如下。

```
net = newc(PR,S,KLR,CLR)
```

其中,PR:R个输入元素的最大值和最小值的设定值。

S:神经元的数目。

KLS:Kohonen学习速率,默认为0.01。

CLR:Conscience学习速率,默认为0.001。

net = 函数返回值,一个新的竞争层。

若您对此书内容有任何疑问,可以在线交流卡登录MATLAB中文论坛与作者交流

代码实现

由于原始数据是 60 个个体的集合,首先将样本分为训练和预测样本,既前 40 个为训练样本,后 20 个为预测样本,代码实现如下。

```
%% 清空环境变量
clc
clear
%% 录入输入数据
% 载入数据并将数据分成训练和预测两类
load gene.mat;
data = gene;
P = data(1:40,:);
T = data(41:60,:);

% 转置后符合神经网络的输入格式
P = P';
T = T';
% 取输入元素的最大值和最小值 Q
Q = minmax(P);

%% 网络建立和训练
% 利用 newc() 命令建立竞争网络:2 代表竞争层的神经元个数,也就是要分类的个数。0.1 代表学习
速率。
net = newc(Q,2,0.1);

% 初始化网络及设定网络参数;
net = init(net);
net.trainparam.epochs = 20;
% 训练网络;
net = train(net,P);

%% 网络的效果验证

% 将原数据回带,测试网络效果。
a = sim(net,P);
ac = vec2ind(a)

% 这里使用了变换函数 vec2ind(),用于将单值向量组变换成下标向量。其调用的格式为:
% ind = vec2ind(vec)
% 其中,
% vec:为 m 行 n 列的向量矩阵 x,x 中的每个列向量 i,除包含一个 1 外,其余元素均为 0。
% ind:为 n 个元素值为 1 所在的行下标值构成的一个行向量。

%% 网络作分类的预测
% 下面将后 20 个数据带入神经网络模型中,观察网络输出:
```

```
% sim()来做网络仿真
Y=sim(net,T)
yc=vec2ind(Y)
```

结果如下。

```
ac =
```

Columns 1 through 18

```
1 1 1 1 1 1 1 1 1 1 1 1 1 2
1 1 1 2 1
```

Columns 19 through 36

```
1 2 2 2 2 2 2 2 2 2 1 1 2 2
1 1 2 2 2
```

Columns 37 through 40

```
2 1 2 1
```

```
yc =
```

Columns 1 through 18

```
2 2 1 1 1 1 1 1 1 1 1 1 1 1
1 1 1 2 1
```

Columns 19 through 20

```
1 1
```

预测结果如表 16-1、表 16-2 所列。

表 16-1 训练数据的分类结果

编号	1	2	3	4	5	6	7	8	9	10	11	12	13	14	15	16	17	18	19	20
真实	1	1	1	1	1	1	1	1	1	1	1	1	1	1	1	1	1	1	1	1
分类	1	1	1	1	1	1	1	1	1	1	1	1	2	1	1	1	2	1	1	2

编号	21	22	23	24	25	26	27	28	29	30	31	32	33	34	35	36	37	38	39	40
真实	2	2	2	2	2	2	2	2	2	2	2	2	2	2	2	2	2	2	2	2
分类	2	2	2	2	2	2	2	2	2	2	2	1	2	2	2	2	2	1	2	2

表 16-2 待分类数据的分类结果

编号	1	2	3	4	5	6	7	8	9	10	11	12	13	14	15	16	17	18	19	20
分类	2	2	1	1	1	1	1	1	1	1	1	1	1	1	1	2	1	1	1	1

由表 16-1 可知,自竞争网络成功地对 40 个训练样本进行了聚类,对数据的分类错误率为 9.40/22.5%,此模型基本达到了预期的精度要求。并可判断出:癌症输入样本的激活神经元编号为 1,正常输入样本的激活神经元编号为 2。也就是说,激活了编号为 1 的神经元的样本属于癌症患者样本,激活了编号为 2 的神经元的样本属于正常样本。从表 16-2 中,可以看出在 20 个待检测样本中,1 号、2 号、17 号样本被划分为正常样本,其余 17 个待检测样本都

若您对此书内容有任何疑问,可以凭在线交流卡登录 MATLAB 中文论坛与作者交流。

划分为癌症样本。

由以上例子,我们可以看出,自组织竞争网络可以看作一个模式识别器,其竞争层每个神经元都代表一个类别。再输入一个新的输入向量时,可以应用 `sim` 函数进行仿真。

16.4 案例扩展

从本案例可以拓展的方面如下:

① 利用基本竞争型网络进行分类,需要首先设定输入向量的类别总数,再由此确定神经元的个数。但是如果利用 SOM 网络进行分类却不需要这样,SOM 网络会自动将差别很小的样本归为一类,差别不大的样本激发的神经元位置也是相邻的。

② 本案例需要注意的是,重新运行上述代码,可能结果就会不一致,这中因为每次激发的神经元不一样,但是,相似的类激发的神经元总是临近的,差别很大的类激发的神经元相差也比较远。

③ 经过训练,可以看到自竞争网络在很少的训练次数下就能达到较好的效果。并且在处理无监督的数据时,可以指定网络输出的分类。

④ 本例中的预测效果经对患者的随访发现,预测率较好。这对癌症预防有很积极的意义。

参考文献

1. 飞思科技产品研发中心. 神经网络与 MATLAB 实现[M]. 北京: 电子工业出版社, 2004.
2. 张德丰. MATLAB 神经网络应用设计[M]. 北京: 机械工业出版社, 2008.
3. 王建华, 李志勇, 周冠武. 基于 Matlab 的自组织神经网络在油气层识别中的应用研究[J]. 电脑知识与技术, 2006, (3), 1.
4. 艾林, 周焯华. 基于模糊逻辑的自组织竞争网络对操作风险强度的识别[J]. 中国软科学, 2007, (01), 1.

第 17 章 SOM 神经网络的数据分类

——柴油机故障诊断

17.1 案例背景

17.1.1 SOM 神经网络概述

自组织特征映射网络、SOM、Self-Organizing Feature Map 也称 Kohonen 网络,它是由芬兰学者 Teuvo Kohonen 于 1981 年提出的。该网络是一个由全连接的神经元阵列组成的无教师、自组织、自学习网络。Kohonen 认为,处于空间中不同区域的神经元有着不同的分工,当一个神经网络接受外界输入模式时,将会分为不同的反应区域,各区域对输入模式具有不同的响应特性。

自组织特征映射神经网络根据输入空间中输入向量的分组进行学习和分类,其与第 16 章案例中的自组织网络(竞争层网络)的区别在于:在 SOM 网络中,竞争层中的神经元会尝试识别输入空间临近该神经元的部分,也就是说,SOM 神经网络既可以学习训练数据输入向量的分布特征,也可以学习训练数据输入向量的拓扑结构。与 SOM 拓扑排序特征有关的重要特点是每个神经元与其近邻神经元也是相关联的。在权值更新过程中,不仅获胜神经元的权值向量得到更新,而且其近邻神经元的权值向量也按照某个“近邻函数”进行更新。这样在开始移动量很大,权值向量大致地可按它们的最终位置来排序。最后,只移动单个权值向量(微调)。这样就形成了一种特殊的分类法,权值向量按照这样一种方式变为有序,即它们在某个“弹性”网络上代表着输入向量。如果网络的某个位置有变化,那么这种变化将影响到此神经元的近邻。但是,离该神经元越远,这种影响就越小。因此,在竞争层的神经元位置演变的过程中,每个区域代表一类输入向量。换句话说,要用若干个权值向量来表示一个数据集(输入向量),每个权值向量表示某类输入向量的均值。

通过训练,可以建立起这样一种布局,它使得每个权值向量都位于输入向量聚类的中心。一旦 SOM 完成训练,就可以用于对训练数据或其他数据进行聚类。

17.1.2 SOM 神经网络结构

典型 SOM 网络结构如图 17-1 所示,由输入层和竞争层(有些书上也称为映射层)组成。输入层神经个数为 m ,竞争层由 $a \times b$ 个神经元组成的二维平面阵列,输入层与竞争层各神经元之间实现全连接。

SOM 网络的一个典型特征就是可以在一维或者二维的处理单元阵列上,形成输入信号的特征拓扑分布,因此 SOM 网络具有抽取输入信号模式特征的能力。SOM 网络一般只包含有一维阵列和二维阵列,但也可以推广到多维处理单元阵列中去。SOM 网络模型由以下 4 个部分组成。

① 处理单元阵列。用于接收事件输入,并且形成对这些信号的“判别函数”。

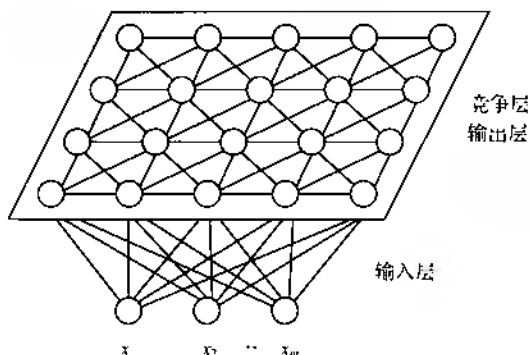


图 17-1 二维阵列 SOM 神经网络模型

- ② 比较选择机制。用于比较“判别函数”，并选择一个具有最大函数输出值的处理单元。
- ③ 局部互联作用。用于同时激励被选择的处理单元及其最邻近的处理单元。
- ④ 自适应过程。用于修正被激励的处理单元的参数，以增加其对应于特定输入“判别函数”的输出值。

17.1.3 SOM 神经网络学习算法

Kohonen 自组织特征映射算法能够自动找出输入数据之间的类似度，将相似的输入在网络上就近配置，因此是一种可以构成对输入数据有选择地给予反应的神经网络。Kohonen 的自组织特征映射的学习算法步骤归纳如下

(1) 网络初始化

用随机数设定输入层和映射层之间权值的初始值。对 m 个输入神经元到输出神经元的连接权值赋予较小的权值。选取输出神经元 j 个“邻接神经元”的集合 S 。其中， $S_j(0)$ 表示时刻 $t=0$ 的神经元 j 的“邻接神经元”的集合， $S(t)$ 表示时刻 t 的“邻接神经元”的集合。区域 $S_j(t)$ 随着时间的增长而不断缩小。

(2) 输入向量的输入

把输入向量 $\mathbf{X} = (x_1, x_2, x_3, \dots, x_m)^T$ 输入给输入层。

(3) 计算映射层的权值向量和输入向量的距离(欧式距离)

在映射层，计算各神经元的权值向量和输入向量的欧式距离。映射层的第 j 个神经元和输入向量的距离，如式 17-1 所示。

$$d_j = \|\mathbf{X} - \mathbf{W}_j\| = \sqrt{\sum_{i=1}^m (x_i(t) - w_{ij}(t))^2} \quad (17-1)$$

式中， w_{ij} 为输入层的 i 神经元和映射层的 j 神经元之间的权值。通过计算，得到一个具有最小距离的神经元，将其称为胜出神经元，记为 j^* ，即确定出某个单元 k ，使得对于任意的 i ，都有 $d_{j^*} = \min(d_i)$ 。并给出其邻接神经元集合。

(4) 权值的学习

按下式 17-2 修正输出神经元 j^* 及其“邻接神经元”的权值。

$$\Delta u \quad u_j(t+1) = w_j(t) + \eta(t)(r(t) - u_j(t)) \quad (17-2)$$

式中, η 为一个大于 0 小于 1 的常数, 随着时间变化逐渐下降到 0。

$$\eta(t) = \frac{1}{t} \text{ 或 } \eta(t) = 0.2 \left(1 - \frac{t}{1000} \right) \quad (17-3)$$

(5) 计算输出 o_k

$$o_k = f(\min \|X - W_k\|)$$

式中, $f(\cdot)$ 一般为 0~1 函数或者其他非线性函数。

(6) 是否达到预先设定的要求

如达到要求则算法结束; 否则, 则返回步骤(2), 进入下一轮学习。

SOM 网络的结构和映射算法研究表明, 脑皮层的信息具有两个明显的特点: 其一, 拓扑映射结构不是通过神经元的运动重新组织实现的, 而是由各个神经元在不同兴奋状态下构成一个整体, 所形成的拓扑结构; 其二, 这种拓扑映射结构的形成具有自组织的特点。SOM 网络中神经元的拓扑组织就是它最根本的特征。对于拓扑相关而形成的神经元子集, 权重的更新是相似的。且在这个学习过程中, 这样选出的子集将包含不同的神经元。

17.1.4 柴油机故障诊断概述

随着科学与生产技术的发展, 现代设备大多数集机电液于一体, 结构越来越复杂, 自动化程度越来越高。在工作过程中, 故障发生的概率相对提高, 出现故障后不仅会造成经济损失, 甚至会导致整个设备遭受灾难性的毁坏。柴油机由于其本身的结构异常复杂, 加之系统的输入输出不明显, 难以用比较完备准确的模型对其机构、功能以及状态等进行有效的描述, 因而给故障诊断带来了很大麻烦。近年来, 随着模式识别和神经网络理论的引入, 柴油机故障诊断技术有了较快发展。神经网络技术的出现, 为故障诊断问题提供了一种新的解决途径, 特别是对于柴油机这类复杂系统。神经网络的输入输出非线性映射特性、信息的分布存储、并行处理和全局集体应用, 特别是其高度的自组织和自学习能力, 使其成为故障诊断的一种有效方法和手段。

对于燃油压力波形(图 17-2)来说, 最大压力(P_1)、次最大压力(P_2)、波形幅度(P_3)、上升沿宽度(P_4)、波形宽度(P_5)、最大余波的宽度(P_6)、波形的面积(P_7)、起喷压力(P_8)等特征最能体现柴油机运行的状况。

燃油系统常见的故障有供油量不足, 针阀门卡死致油孔阻塞, 针阀泄露, 出油阀失效等几种故障。本例中诊断的故障也是基于上述故障, 主要有 100% 供油量(T_1), 75% 供油量(T_2), 25% 供油量(T_3), 怠速油量(T_4), 针阀卡死(小油量 T_5), 针阀卡死、标定油量 T_6), 针阀泄露(T_7), 出油阀失效(T_8) 8 种故障。

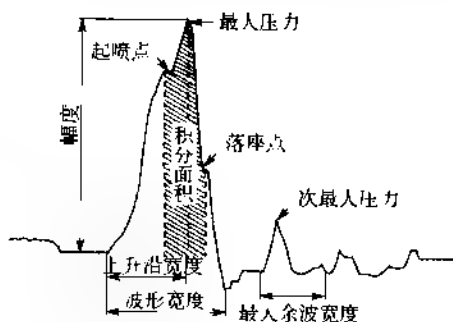


图 17-2 燃油压力波形

若您对此书内容有任何疑问, 可以凭在线交流卡登录 MATLAB 中文论坛与作者交流。

17.2 模型建立

本案例中给出了一个含有 8 个故障样本的数据集。每个故障样本中有 8 个特征,分别是前面提及过的:最大压力(P_1)、次最大压力(P_2)、波形幅度(P_3)、上升沿宽度(P_4)、波形宽度(P_5)、最大余波的宽度(P_6)、波形的面积(P_7)、起喷压力(P_8),使用 SOM 网络进行故障诊断。故障样本如表 17-1 所列,数据已归一化。

表 17-1 常见的 8 种故障特征

故障输入	输入样本							
	P_1	P_2	P_3	P_4	P_5	P_6	P_7	P_8
I_1	0.2	0.1	0.1	0.1	0.1	0.1	0.1	0.1
I_2	0.1	0.2	0.1	0.1	0.1	0.1	0.1	0.1
I_3	0.1	0.1	0.2	0.1	0.1	0.1	0.1	0.1
I_4	0.1	0.1	0.1	0.2	0.1	0.1	0.1	0.1
I_5	0.1	0.1	0.1	0.1	0.2	0.1	0.1	0.1
I_6	0.1	0.1	0.1	0.1	0.1	0.2	0.1	0.1
I_7	0.1	0.1	0.1	0.1	0.1	0.1	0.2	0.1
I_8	0.1	0.1	0.1	0.1	0.1	0.1	0.1	0.2

应用 SOM 神经网络诊断柴油机故障的步骤如下:

① 选取标准故障样本;

② 对每一种标准故障样本进行学习,学习结束后,对具有最大输出的神经元标记该故障的记号;

③ 将待检样本输入到 SOM 神经网络中;

④ 若输出神经元在输出层的位置与某标准故障样本的位置相同,说明待检样本发生了相应的故障;若输出神经元在输出层的位置介于很多标准故障之间,说明这几种标准故障都有可能发生,且各故障的程度由该位置与相应标准故障样本位置的欧氏距离确定。

17.3 MATLAB 实现

代码中使用到的相关函数。

SOM 的创建函数

`newsom()`

该函数用于创建一个自组织特征映射。其调用格式为:

```
net = newsom(PR,[d1,d1,...],tfcn,dfcd,olr,osteps,tlr,tns)
```

其中:

PR: R 个输入元素的最大值和最小值的设定值, $R \times 2$ 维矩阵。

d1, 第 1 层的维数,默认为 5。

tfcn:拓扑函数(即结构函数),默认为'nextop'。

dfcn:距离函数,默认为'linkdist'。

olr:分类阶段学习速率,默认为0.9。

osteps:分类阶段学习的步长,默认为1。

t.r:调谐阶段的学习速率,默认为0.02。

tns:调谐阶段的邻域距离,默认为1。

函数返回一个自组织特征映射。

SOM距离函数

(1) boxdist

该函数为Box距离函数。在给定神经网络竞争层神经元的位置后,可利用该函数计算神经元之间的距离。该函数通常用于结构函数gridtop的神经网络层。其调用格式为:

d = boxdist(pos)

其中,pos:神经元位置的 $N \times S$ 维矩阵。

d:函数返回值,神经元距离的 $S \times S$ 维矩阵。

函数的运算原理为 $d(i,j) = \max_k |P_i - P_j|$ 。其中, $d(i,j)$ 表示距离矩阵中的元素; P 表示位置矩阵的第 j 列向量。

(2) dist

该函数为欧式距离函数,通过对输入进行加权得到加权后的输入。其调用格式为:

Z = dist(W,P)

其中,W: $S \times R$ 维的权值矩阵。

P:Q组输入(列)向量的 $R \times Q$ 维矩阵。

函数的运行原理为 $D = \sqrt{\sum (x - y)^2}$,其中 x 和 y 分别为列向量。

(3) linkdist

该函数为连接距离函数。在给定神经元的位置后,该函数可用于计算神经元之间的距离。其调用格式为:

d = linkdist(pos)

其中,pos: $N \times S$ 维的神经元位置矩阵。

d: $S \times S$ 维的距离矩阵。

函数的运行原理为:

$$d(i,j) = \begin{cases} 0 & \text{如果 } i = j \\ 1 & \text{如果 } \sum_k (P_i - P_j)^2 \leq 1 \\ 2 & \text{如果存在 } k, \text{使得 } d(i,k) = d(k,j) = 1 \\ 3 & \text{如果存在 } k, k_2, \text{使得 } d(i,k) = d(k, k_2) = d(k_2, j) = 1 \\ \vdots & \text{如果存在 } k, k_2, \dots, k_n, \text{使得 } d(i,k) = d(k, k_2) = \dots = d(k_n, j) = 1 \\ S & \text{其他} \end{cases}$$

(4) mandist

该函数为Manhattan距离函数。该函数的调用格式为:

若您对此书内容有任何疑问,可以凭在线交流卡登录MATLAB中文论坛与作者交流。

```
Z = mandist(W,P)
```

各参数含义请参见 dist 函数的运行原理为 $d = \sum(abc(X-Y))$, 其中 X 和 Y 为两个向量。

SOM 结构函数

(1) hextop()

该函数为六角结构函数。其调用格式为

```
pos = hextop(dim1,dim2,...,dimN)
```

其中,

dim1: 维数为 1 层的长度。

pos: 由 N 个并列向量组成的 $N \times S$ 维矩阵, 其中, $S = \text{dim1} * \text{dim2} * \dots * \text{dimN}$

(2) gridtop()

该函数为网格层结构函数。其调用格式为:

```
pos = gridtop(dim1,dim2,...,dimN)
```

各参数含义请参考 hextop()。

(3) randtop()

该函数为随机层结构函数。其调用格式为。

```
pos = randtop(dim1,dim2,...,dimN)
```

各参数含义请参考 hextop()。

MATLAB 实现代码如下。

```
% 清空环境变量
```

```
clc
```

```
clear
```

```
% 录入输入数据
```

```
% 载入数据
```

```
load p;
```

```
% 转置后符合神经网络的输入格式
```

```
P = P';
```

```
% 网络建立和训练
```

```
% newson 建立 SOM 网络。Minmax(P)取输入的最大最小值。竞争层为  $6 * 6 = 36$  个神经元
```

```
net = newson(minmax(P),[6 6]);
```

```
plotsom(net.layers{1},positions)
```

```
% 7 次训练的次
```

```
a = [10 30 50 100 200 500 1000];
```

```
% 随机初始化一个  $1 * 10$  向量。
```

```
yc = rand(7,8);
```

若您对此书内容有任何疑问,可以凭在线交流卡登录 MATLAB 中文论坛与作者交流。

```
% 进行训练
% 训练次数为 10 次
net trainparam epochs = a(1);
% 训练网络和查看分类
net = train(net,P);
y = sim(net,P);
yc(1,:) = vec2ind(y);
plotsom(net.IW{1,1},net.layers{1},distances)

% 训练次数为 30 次
net trainparam epochs = a(2);
% 训练网络和查看分类
net = train(net,P);
y = sim(net,P);
yc(2,:) = vec2ind(y);
plotsom(net.IW{1,1},net.layers{1},distances)

% 训练次数为 50 次
net trainparam epochs = a(3);
% 训练网络和查看分类
net = train(net,P);
y = sim(net,P);
yc(3,:) = vec2ind(y);
plotsom(net.IW{1,1},net.layers{1},distances)

% 训练次数为 100 次
net trainparam epochs = a(4);
% 训练网络和查看分类
net = train(net,P);
y = sim(net,P);
yc(4,:) = vec2ind(y);
plotsom(net.IW{1,1},net.layers{1},distances)

% 训练次数为 200 次
net trainparam epochs = a(5);
% 训练网络和查看分类
net = train(net,P);
y = sim(net,P);
yc(5,:) = vec2ind(y);
plotsom(net.IW{1,1},net.layers{1},distances)

% 训练次数为 500 次
```

若您对此书内容有任何疑问，可以凭在线交流卡登录MATLAB中文论坛与作者交流。

```
net=trainparam epochs=a(6);
% 训练网络和查看分类
net=train(net,P);
y=sim(net,P);
yc(6,:)=vec2ind(y);
plotsom(net IW,1,1,net.layers{1} distances)

% 训练次数为 1000 次
net=trainparam epochs=a(7);
% 训练网络和查看分类
net=train(net,P);
y=sim(net,P);
yc(7,:)=vec2ind(y);
plotsom(net IW,1,1,net.layers{1} distances)
yc
%% 网络作分类的预测
% 测试样本输入
t=[0 9512 1 0000 0 9458 -0 4215 0 4218 0 9511 0 9645 0 8941]';
% sim() 来做网络仿真
r=sim(net,t);
% 变换函数 将单值向量转变成下标向量。
rr=vec2ind(r)
%% 网络神经元分布情况
% 查看网络拓扑学结构
plotsomtop(net)
% 查看临近神经元直接的距离情况
plotsomnd(net)
% 查看每个神经元的分类情况
plotsomhits(net,P)
```

结果如下：

yc =

1	36	1	36	4	36	2	4
36	1	36	1	3	1	5	7
36	7	36	13	29	1	12	29
36	2	36	32	28	25	22	12
36	25	24	3	21	1	33	6
36	31	24	3	17	13	28	6
12	1	11	33	23	31	4	35

rr =

12

注：代码中涉及网络拓扑学结构、临近神经元直接的距离情况、每个神经元的分类情况的

部分将在视频中详细介绍。

聚类的结果如表 17-2 所列,当训练步数为 10 时,故障原因 1、3 分为一类,2、4、6 分为一类,5、8 为分类,7 单独一类。可见,网络已经对样本进行了初步的分类,这种分类不够精准。

表 17-2 网络在不同训练次数下的分类结果

训练次数	聚类结果							
1	36		36		36	4	4	
		36					7	
	36		36	24		1	24	
10	36	2	36		24	24	1	
20	6	25	24			33	6	
	36	3	24			33	6	
	12	7		33		31	3	

当训练步数为 200 时,每个样本都被划分为一类。这种分类结果更加细化了。当训练步数为 500 或者 1000 时,同样是每个样本都被划分为一类。这时如果再提高训练步数,已经没有实际意义了。网络拓扑学结构如图 17-3 所示。

临近神经元直接的距离情况如图 17-4 所示。

每个神经元的分类情况如图 17-5 所示。

由图 17-3 可知 竞争层神经元有 $6 \times 6 = 36$ 个;在图 17-4 中,蓝色代表神经元,红色线代表神经元直接连接,每个菱形中的颜色表示神经元之间距离的远近,从黄色到黑色,颜色越深说明神经元之间的距离越远。图 17-5 中蓝色神经元表示竞争胜利的神经元。

注:代码中涉及网络拓扑学结构、临近神经元之间的距离情况、每个神经元的分类情况的部分将在视频中详细介绍。

使用 SOM 网络预测结果如下:

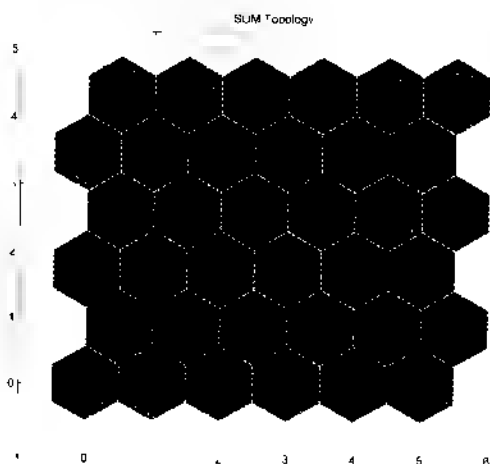


图 17-3 SOM 网络拓扑学结构

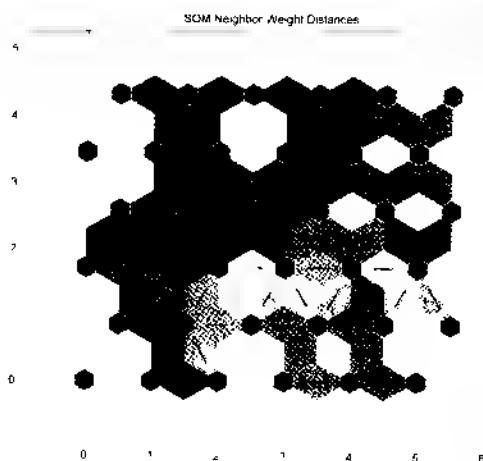


图 17-4 临近神经元之间的距离情况

若您对此书内容有任何疑问,可以凭在线交流卡登录 MATLAB 中文论坛与作者交流。

r = 12

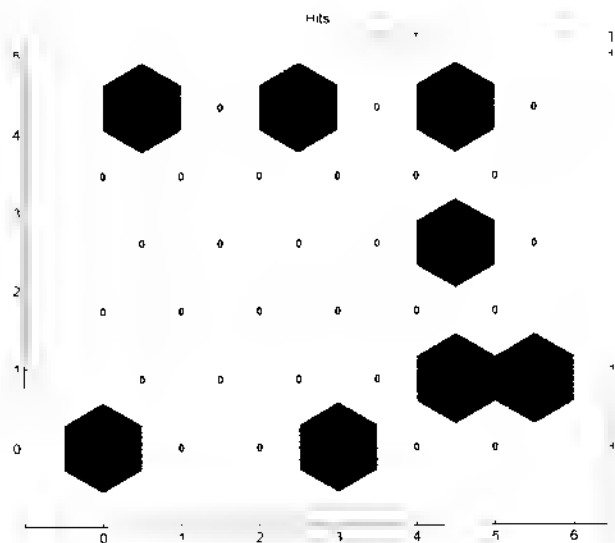


图 17-5 每个神经元的分类情况

从图 17-5 可以看出, SOM 网络将未知故障样本分到了第 1 类故障里。

17.4 案例扩展

17.4.1 SOM 网络分类优势

SOM 网络的训练步数影响网络的聚类性能,本例选择了 10,100,500 次分别进行训练,观察其性能。发现 10 次就可以将样本完全分开,这样的话,就没有必要训练更多次了。另外, SOM 网络在 100 次就可以很快地将样本进行精确的分类,这比一般方法的聚类速度快。

17.4.2 SOM 结果分析上需要注意的问题

SOM 程序执行时,每次执行后的结果不一样,原因是每次的激发神经元可能不一样,但是无论激活那个神经元,最后的分类的结果不会改变。

17.4.3 SOM 神经网络的缺点与不足

自组织竞争神经网络算法能够进行有效的自适应分类,但它仍存在一些问題。第一个问題就是学习速度的选择使其不得不在学习速度和最终权值向量的稳定性之间进行折中。第二个问題是有时一个神经元的初始权值向量里输入向量太远以至于它从未在竞争中获胜,因而也从未得到学习,这将形成毫无用处的“死”神经元。

若您对此书内容有任何疑问,可以凭在线交流卡登录 MATLAB 中文论坛与作者交流。

参考文献

- [1] 飞思科技产品研发中心. 神经网络与 MATLAB7 实现[M]. 北京: 电子工业出版社, 2006.
- [2] 张德丰. MATLAB 神经网络应用设计[M]. 北京: 机械工业出版社, 2008.
- [3] 周开利, 康耀红. 神经网络模型及其 MATLAB 仿真程序设计[M]. 北京: 清华大学出版社, 2005.
- [4] 余金宝, 谷立臣, 孙颖宏. 利用 SOM 网络可视化方法诊断液压系统故障[J]. 工程机械, 2007, 38(1): 12.
- [5] 沈海峰, 李东升, 李群霞, 等. 基于 Kohonen 自组织特征映射神经网络图像分割方法的研究[J]. 计算机应用与软件, 2011, 30(1): 12.

若您对此书内容有任何疑问, 可以凭在线交流卡登录 MATLAB 中文论坛与作者交流。

第 18 章 Elman 神经网络的数据预测

——电力负荷预测模型研究

18.1 案例背景

18.1.1 Elman 神经网络概述

根据神经网络运行过程中的信息流向,神经网络可分为前馈式和反馈式两种基本类型。前馈式网络通过引入隐藏层以及非线性转移函数,具有复杂的非线性映射能力。但前馈式网络的输出仅由当前输入和权矩阵决定,而与网络先前的输出结果无关。反馈型神经网络也称递归网络或回归网络。反馈神经网络的输入包括有延迟的输入或者输出数据的反馈,由于存在有反馈的输入,所以它是一种反馈动力学系统;这种系统的学习过程就是它的神经元状态的变化过程,这个过程最终会达到一个神经元状态不变的稳定态,也标志着学习过程的结束。

反馈网络的动态学习特征,主要由网络的反馈形式决定。反馈网络的反馈形式是比较多样化的,有输入延迟的、单层输出反馈的、神经元自反馈的、两层之间互相反馈的等类型。常见的反馈型神经网络有 Elman 神经网络、Hopfield 神经网络和与离散 Hopfield 结构相似的 Boltzmann 神经网络等。Elman 神经网络是 Elman 于 1990 年提出的,该模型在前馈式网络的隐含层中增加了一个承接层,作为一步延时的算子,以达到记忆的目的,从而使系统具有适应时变特性的能力,能直接动态反映动态过程系统的特性。

18.1.2 Elman 神经网络结构

Elman 型神经网络一般分为四层:输入层、隐含层(中间层)、承接层和输出层。如图 18-1 所示,输入层、隐含层、输出层的连接类似于前馈式网络,输入层的单元仅起信号传输作用,输

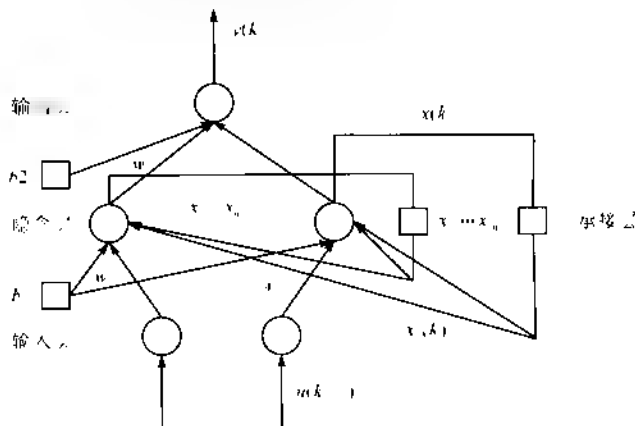


图 18-1 Elman 网络结构

出层单元起线性加权作用。隐含层单元的传递函数可采用线性或非线性函数,承接层又称为上下文层或者状态层,它用来记忆隐含层单元前一个时刻的输出值并返回给网络的输入,可以认为是一个一步延时算了。

Elman神经网络的特点是隐含层的输出通过承接层的延迟与存储,自联到隐含层的输入。这种自联方式使其对历史状态的数据具有敏感性,内部反馈网络的加入增加了网络本身处理动态信息的能力,从而达到动态建模的目的。此外,Elman神经网络能够以任意精度逼近任意非线性映射,可以不考虑外部噪声对系统影响的具体形式,如果给出系统的输入输出数据对,就可以对系统进行建模。

18.1.3 Elman神经网络学习过程

以图 18-1 为例,Elman 网络的非线性状态空间表达式为

$$\begin{aligned} y(k) &= g(w^o x(k)) \\ x(k) &= f(u^o x(k) + w^i u(k-1)) \\ x(k) &= x(k-1) \end{aligned}$$

式中, y 为 m 维输出结点向量; x 为 n 维中间层结点单元向量; u 为 r 维输入向量; x 为 n 维反馈状态向量。 u^o 为中间层到输出层连接权值; w^i 为输入层到中间层连接权值; w^o 为承接层到中间层的连接权值。 $g(\cdot)$ 为输出神经元的传递函数,是中间层输出的线性组合。 $f(\cdot)$ 为中间层神经元的传递函数,常采用 S 函数。

Elman 神经网络也采用 BP 算法进行权值修正,学习指标函数采用误差平方和函数。

$$E(u) = \sum_{k=1}^n v_k(u) = \frac{1}{2} \sum_{k=1}^n (y_k(u) - \hat{y}_k(u))^2$$

式中, $\hat{y}_k(u)$ 为目标输入向量。

18.1.4 电力负荷预测概述

电力系统由电力网、电力用户共同组成。其任务是给广大用户不间断地提供经济、可靠、符合质量标准的电能,满足各类负荷的需求,为社会发展提供动力。由于电力的生产与使用具有特殊性,即电能难以大量的储存,而且各类用户对电力的需求是时刻变化的,这就要求系统发电出力应随时紧跟系统负荷的变化动态平衡,即系统要最大限度地发挥出设备能力,使整个系统保持稳定且高效地运行,以满足用户的需求。否则,就会影响供用电的质量,甚至危及系统的安全与稳定。因此,电力系统负荷预测技术发展起来,并且是这一切得以顺利进行的前提和基础。

负荷预测的核心问题是预测的技术问题,或者说是预测的数学模型。传统的数学模型是用现成的数学表达式加以描述,具有计算量小、速度快的优点,但同时也存在很多的缺陷和局限性,比如不具备自学习、自适应能力、预测系统的鲁棒性没有保障等。特别是随着我国经济的发展,电力系统的结构日趋复杂,电力负荷变化的非线性、时变性和不确定性的特点更加明显,很难建立一个合适的数学模型来清晰地表达负荷和影响负荷的变量之间的关系。而基于神经网络的非数学模型预测法,为解决数学模型法的不足提供了新的思路。

18.2 模型建立

利用人工神经网络对电力系统负荷进行预测,实际上是利用人工神经网络可以以任意精

度逼近任一非线性函数的特性及通过学习历史数据建模的优点。而在各种人工神经网络中,反馈式神经网络又因为其具有输入延迟,进而适合应用于电力系统负荷预测。根据负荷的历史数据,选定反馈神经网络的输入、输出节点,来反映电力系统负荷运行的内在规律,从而达到预测未来时段负荷的目的。因此,用人工神经网络对电力系统负荷进行预测,首要的问题是确定神经网络的输入、输出节点,能使其反映电力负荷的运行规律。

一般来说,电力系统的负荷高峰通常出现在每天的 9~19 时之间,出于篇幅的原因,本案例只对每天上午的逐时负荷进行预测,即预测每天 9~11 时共 3 小时负荷数据。电力系统负荷数据如表 18-1 所列,以下数据为真实数据,已经经过归一化。

表 18-1 电力系统负荷数据

日期	负荷数据			日期	负荷数据		
2008-1-9	129	121	257.6	2008-1-10	127	112	4
2008-1-11	184	179	81.8	2008-1-12	123	442	8.1
2008-1-13	120	172	13	2008-1-14	172	171	62.6
2008-1-15	122	46.8	801.8	2008-1-16	112	184	791.2
2008-1-17	113	16.6	8.1				

利用前 8 天的数据作为网络的训练样本,每 3 天的负荷作为输入向量,第 4 天的负荷作为目标向量。这样可以得到 5 组训练样本。第 9 天的数据作为网络的测试样本,验证网络能否合理地预测出当天的负荷数据。

18.3 MATLAB 实现

建立一个 Elman 网络,其函数名称和内容如下:

`newelm()`

函数用途:创建一个 Elman 网络

其调用格式为:

`net = newelm(PR,[S1 S2... SN],{TF1 TF2... TFN1},{BTF,BLF,PF,IPF,OPF})`

PR:R 组输入元素的最小值和最大值的设定值,R * 2 维的矩阵。

T:SN * Q2 的具有 SN 个元素的输出矩阵。

Si:第 i 层的长度。

TFi:第 i 层的传递函数,默认为:隐藏层为'tansig'输出层为'purelin'。

BTF:反向传播神经网络训练函数,默认为'trainlm'。

BLF:反向传播神经网络权值 阈值学习函数,默认为'learngdm'。

PF:性能函数,默认为'mse'。

IPF:输入处理函数,默认为'fixrknowns','removeconstantrows','mapminmax'。

OPF:输出处理函数,默认为'removeconstantrows','mapminmax'。

MATLAB 实现代码如下。

```

%% 清空环境变量

clc;
clear all
close all
nntwarn off;

%% 数据载入

load data;
a = data;

%% 选取训练数据和测试数据

for i = 1:6
    p(i,:) = [a(i,:), a(i+1,:), a(i+2,)];
end

% 训练数据输入
p_train = p(1,5,:);
% 训练数据输出
t_train = a(4,8,:);
% 测试数据输入
p_test = p(6,:);
% 测试数据输出
t_test = a(9,:);

% 为适应网络结构 做转置

p_train = p_train';
t_train = t_train';
p_test = p_test';

%% 网络的建立和训练
% 利用循环,设置不同的隐藏层神经元个数
nn = [7 11 14 18];
for i = 1:4
    threshold = [0 1; 0 1; 0 1; 0 1; 0 1; 0 1; 0 1; 0 1; 0 1];
    % 建立 Elman 神经网络 隐藏层为 nn(i) 个神经元
    net = newelm(threshold, [nn(i), 3], 'tansig', 'purelin');
    % 设置网络训练参数
    net.trainparam.epochs = 1000;
    net.trainparam.show = 20;
    % 初始化网络

```

若您对此书内容有任何疑问,可以凭在线交流卡登录 MATLAB 中文论坛与作者交流。

```
net = init(net,;
% Elman 网络训练
net = train(net,p_train,t_train);
% 预测数据
y = sim(net,p_test);
% 计算误差
error(1,:) = y' - t_test;
end

%% 通过作图 观察不同隐藏层神经元个数时,网络的预测效果

plot(1:1:3,error(1,:),'-ro','linewidth',2);
hold on;
plot(1:1:3,error(2,:),'b;x','linewidth',2);
hold on;
plot(1:1:3,error(3,:),'k s','linewidth',2);
hold on;
plot(1:1:3,error(4,:),'c -d','linewidth',2);
title('Elman 预测误差图')
set(gca,'xtick',[1,3]);
legend('7','11','14','18','location','best')
xlabel('时间点')
ylabel('误差')
hold off;
```

预测的结果如下:

由图 18-2 可知,网络预测误差还是比较小的,但是,中间神经元为 14 时出现了较大的误

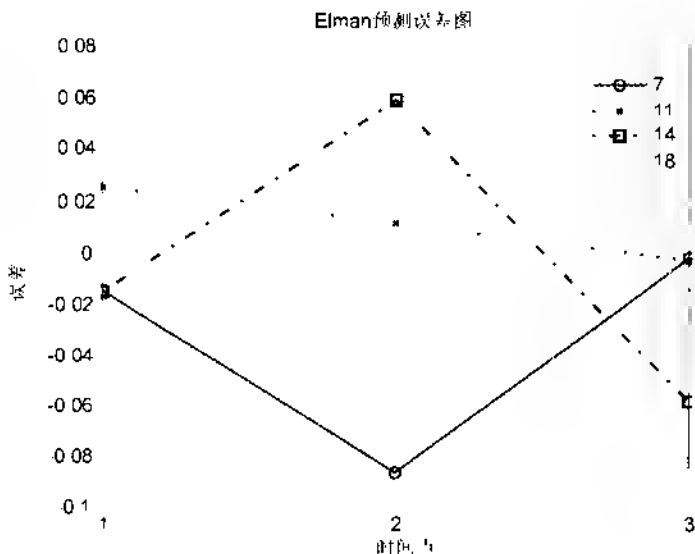


图 18-2 Elman 神经网络预测误差图

差。这可能是训练样本太小导致的。当中间神经元为11个时,网络的预测误差最小,也就是预测性能最好。因此,对于本例,中间层神经元的最佳数目应该是11个。

18.4 案例扩展

目前,电力系统的负荷预测仍然是一个难点,这主要是由于电力系统的复杂性造成的。

本例只是为时间序列等数据提供预测的依据和思路。由于电力负荷特性变化受制于其他诸多因素,而基础数据信息的局限、天气信息数据的缺乏等情况影响了负荷预测精度。另外,对于电力预测来说,只考虑历史数据是不够的。对于一个实际的时间序列,它的预测值不仅仅取决于历史数据,而且受许多突变因素的影响。另外,由于工作日和节假日的负荷不同,还要考虑时间特征值。本例由于篇幅有限,对预测模型简单化,但这并不影响 Elman 预测功能的演示。

Elman 神经网络是一种典型的动态神经网络,它是在 BP 网络的基本结构的基础上,通过存储内部状态使其具备映射动态特征的功能,从而使系统具有适应时变特性的能力。

由于训练样本较少,预测时出现相多较大的误差的情况是可能的。可以通过加大样本量,事先剔除错误数据等避免。

参考文献

- [1] 任丽娜.基于 Elman 神经网络的中期电力负荷预测模型研究[D].兰州:兰州理工大学,2007.
- [2] 飞思科技产品研发中心.神经网络与 MATLAB7 实现[M].北京:电子工业出版社,2005.
- [3] 张德丰. MATLAB 神经网络应用设计[M].北京:机械工业出版社,2008.
- [4] 王青松,程士虎,易建强,等.基于 Elman 网络的非线性系统增强式学习控制[J].中国矿业大学学报,2006,(1).
- [5] 吴微,徐东坡,李正学. Elman 网络梯度学习法的收敛性[J].应用数学和力学,2008,(10).
- [6] 丁艳,秦玉平,张志强,等.一种改进的 Elman 神经网络算法[J].渤海大学学报(自然科学版),2007,(4).

若您对此书内容有任何疑问,可以在线交流卡登录 MATLAB 中文论坛与作者交流。

第 19 章 概率神经网络的分类预测

——基于 PNN 的变压器故障诊断

19.1 案例背景

19.1.1 PNN 神经网络概述

概率神经网络(probabilistic neural networks)是 D. F. Specht 博士在 1989 年首先提出的,是一种基于 Bayes 分类规则与 Parzen 窗的概率密度函数估计方法发展而来的并行算法。它是一类结构简单、训练简洁、应用广泛的人工神经网络。在实际应用中,尤其是在解决分类问题的应用中,它的优势在于用线性学习算法来完成非线性学习算法所做的工作,同时保持非线性算法的高精度等特性;这种网络对权值就是模式样本的分布,网络不需要训练,因而能够满足训练上实时处理的要求。

PNN 网络是由径向基函数网络发展而来的一种前馈型神经网络,其理论依据是贝叶斯最小风险准则(即贝叶斯决策理论)。PNN 作为径向基网络的一种,适合于模式分类。当分布密度 SPREAD 的值接近于 0 时,它构成最邻分类器;当 SPREAD 的值较大时,它构成对几个训练样本的临近分类器。PNN 的层次模型,由输入层、模式层、求和层、输出层共 4 层组成,其基本结构如图 19-1 所示。

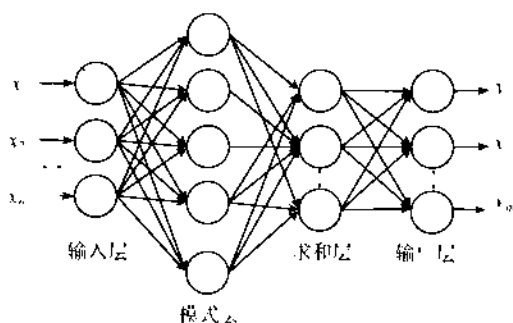


图 19-1 概率神经网络基本结构

输入层接收来自训练样本的值,将特征向量传递给网络,其神经元数目和样本矢量的维数相等。模式层计算输入特征向量与训练集中各个模式的匹配关系,模式层神经元的个数等于各个类别训练样本数之和,该层每个模式单元的输出为

$$f(\mathbf{X}, \mathbf{W}) = \exp \left[-\frac{(\mathbf{X} - \mathbf{W})^T (\mathbf{X} - \mathbf{W})}{2\delta^2} \right] \quad (19-1)$$

式中, \mathbf{W} 为输入层到模式层连接的权值; δ 为平滑因子,它对分类的起着至关重要的作用。

第 3 层是求和层,是将属于某类的概率累计,按式 19-1 计算,从而得到故障模式的估计

概率密度函数。每一类只有一个求和层单元,求和层单元只属于自己类的模式层单元相连接,而与模式层中的其他单元没有连接。因此求和层单元简单地将属于自己类的模式层单元的输出相加,而与属于其他类别的模式层单元的输出无关。求和层单元的输出与各类基于内核的概率密度的估计成比例,通过输出层的归一化处理,就能得到各类的概率估计。网络的输出决策层由简单的阈值辨别器组成,其作用是在各个故障模式的估计概率密度中选择一个具有最大后验概率密度的神经元作为整个系统的输出。输出层神经元是一种竞争神经元,每个神经元分别对应于一个数据类型即故障模式,输出层神经元个数等于训练样本数据的种类个数,它接收从求和层输出的各类概率密度函数,概率密度函数最大的那个神经元输出为1,即所对应的那一类即为待识别的样本模式类别,其他神经元的输出全为0。

基于PNN的故障诊断方法是概率统计学中被广泛接受的一种决策方法,可描述为:假设有两种已知的故障模式 θ_A 、 θ_B ,对于要判断的故障特征样本 $X = (x_1, x_2, \dots, x_n)$:

若 $h_A l_A f_A(X) > h_B l_B f_B(X)$,则 $X \in \theta_A$;

若 $h_A l_A f_A(X) < h_B l_B f_B(X)$,则 $X \in \theta_B$;

式中, h_A 、 h_B 为故障模式的 θ_A 、 θ_B 先验概率 $h_A = N_A / N$ 、 $h_B = N_B / N$; N_A 、 N_B 为故障模式的 θ_A 、 θ_B 的训练样本数; N 为训练样本总数; l_A 为将本属于 θ_A 的故障特征样本 X 错误地划分到模式 θ_B 的代价因子; l_B 为将本属于 θ_B 的故障特征样本 X 错误地划分到模式 θ_A 的代价因子; f_A 、 f_B 为故障模式 θ_A 、 θ_B 的概率密度函数(PDF, Probability Density Function),通常PDF不能精确地获得,只能根据现有的故障特征样本求其统计值。

1982年Parzen提出了一种从已知随机样本中估计概率密度函数的方法,只要样本数目足够多,该方法所获得的函数可以连续平滑地逼近原概率密度函数。由Parzen方法得到的PDF估计式如下

$$f_A(X) = \frac{1}{(2\pi)^p \delta^p} \frac{1}{m} \sum \exp \left[-\frac{(X - X_m)(X - X_m)^T}{2\delta^2} \right] \quad (19-2)$$

式中, X_m 为故障模式 θ_A 的第 m 个训练向量; m 为故障模式 θ_A 的训练样本数目; δ 为平滑参数,其取值确定了以样本点为中心的钟状曲线的宽度。

19.1.2 变压器故障诊断系统相关背景

故障诊断(FD, Fault Diagnosis)始于机械设备故障诊断。现代设备技术水平和复杂度不断提高,设备故障对生产的影响也显著增加,因此要保证设备可靠、有效地运行,充分发挥其效益,必须发展故障诊断技术。故障诊断技术借助于现代测试、监控和计算机分析等手段,研究设备在运行中或相对静止条件下的状态信息,分析设备的技术状态,诊断其故障的性质和起因,并预测故障趋势,进而确定必要的对策。利用故障诊断技术可以早发现故障征兆和原因,有利于及早排除故障和安全隐患,避免不必要的损失,因而具有很高的经济和社会效益。

运行中的变压器发生不同程度的故障时,会产生异常现象或信息。故障分析就是搜集变压器的异常现象或信息,根据这些现象或信息进行分析,从而判断故障的类型、严重程度和故障部位。因此,变压器故障诊断的目的首先是准确判断运行设备当前处于正常状态还是异常状态。若变压器处于异常状态有故障,则判断故障的性质、类型和原因。例如是绝缘故障、过热故障还是机械故障;若是绝缘故障,则是绝缘老化、受潮,还是放电性故障;若是放电性故障又是哪种类型的放电等。变压器故障诊断还要根据故障信息或根据信息处理结果,预测故障

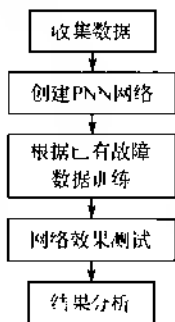
若您对此书内容有任何疑问,可以凭在线交流卡登录MATLAB中文论坛与作者交流。

的可能发展即对故障的严重程度,发展趋势做出诊断;提出控制故障的措施,防止和消除故障;提出设备维修的合理方法和相应的反事故措施;对设备的设计、制造、装配等提出改进意见,为设备现代化管理提供科学依据和建议。

对变压器油中溶解气体分析是变压器内部故障诊断的重要手段。我国当前大量应用的是改良三比值法,但利用三比值法作为变压器故障诊断的判断存在两方面的不足,即所谓编码缺损和临界值判断缺损。人工神经网络以其分布式并行处理、自适应、自学习、联想记忆以及非线性映射等优点,为解决这一问题开辟了新途径。当前变压器故障诊断系统大多数都是采用BP网络模型,但由于BP网络自身结构的特点,在训练样本较大且要求精度较高时,网络常常不收敛且容易陷入局部最优。

19.2 模型建立

任何神经网络建模中,选取的输入特征向量,必须能够正确地反映问题的特征。如果所基于的故障特征没有包括足够的待识别信息或未能提取反映故障特征的信息,则诊断结果往往会受到很大的影响。油中溶解气体分析方法能很好地反映变压器的潜伏性故障,且在各种诊断方法中以改良三比值法的判断准确率最高,所以选择油中溶解气体含量的三对比值作为神经网络的输入特征向量,而输出特征向量则选用变压器的故障类型。



在此思路的基础上,经过以下几个步骤设计PNN网络模型,流程图如图19-2所示。

概率神经网络结构简单、训练简洁,利用概率神经网络模型的强大的非线性分类能力,将故障样本空间映射到故障模式空间中,可形成一个具有较强容错能力和结构自适应能力的诊断网络系统,从而提高故障诊断的准确率。本案例在对油中溶解气体分析法进行深入分析后,以改良三比值法为基础,建立基于概率神经网络的故障诊断模型。案例数据中的data.mat是 33×4 维的矩阵,前3列为改良三比值法数值,第4列为分类的输出,也就是故障的类别。使用前23个样本作为PNN神经网络训练样本,后10个样本作为验证样本。

图 19-2 PNN 网络设计流程

19.3 MATLAB 实现

PNN 的创建函数

newpnn、)

该函数用于创建概率神经网络。概率神经网络是一种适用于分类问题的径向基网络,其调用格式为。

```
net = newpnn(P,T,SPREAD)
```

各参数含义请参见 newrb。(案例7:RBF网络的回归——非线性函数拟合的实现)
MATLAB 实现代码如下:

```

%% 清空环境变量
clc;
clear all
close all
nntwarn off;
warning off;
%% 数据载入
load data
%% 选取训练数据和测试数据

Train = data(1:23,:);
Test = data(24:end,:);
p_train = Train(:,1:3)';
t_train = Train(:,4)';
p_test = Test(:,1:3)';
t_test = Test(:,4)';

%% 将期望类别转换为向量
t_train = ind2vec(t_train);
t_train temp = Train(:,4)';
%% 使用 newpnn 函数建立 PNN SPREAD 选取为 1 5
Spread = 1 5;
net = newpnn(p_train,t_train,Spread)

%% 训练数据回代 查看网络的分类效果

% Sim 函数进行网络预测
Y = sim(net,p_train);
% 将网络输出向量转换为指针
Yc = vec2ind(Y);

%% 通过作图 观察网络对训练数据分类效果
figure(1)
subplot(1,2,1)
stem(1:length(Yc),Yc,'bo')
hold on
stem(1:length(Yc),t_train temp,'r*')
title('PNN 网络训练后的效果')
xlabel('样本编号')
ylabel('分类结果')
set(gca,'Ytick',[1,5])
subplot(1,2,2)
H = Yc - t_train temp;

```

若您对此书内容有任何疑问，可以凭在线交流卡登录 MATLAB 中文论坛与作者交流。

```
stem(H)
title('PNN 网络训练后的误差图')
xlabel('样本编号')
```

```
% 网络预测未知数据效果
Y2 = sim(net,p test);
Y2c = vec2ind(Y2)
figure(2)
stem(1:length(Y2c),Y2c,'b',
hold on
stem(1:length(Y2c),t test,'r *')
title('PNN 网络的预测效果')
xlabel('预测样本编号')
ylabel('分类结果')
set(gca,'Ytick',[1.5])
```

程序运行的结果,如图 19-3、图 19-4 所示。

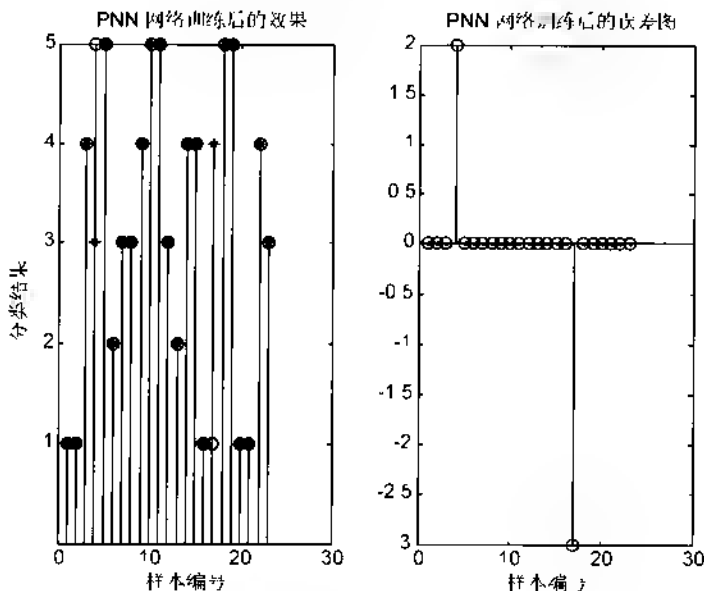


图 19-3 训练后训练数据网络的分类效果图

由图 19-3 和图 19-4 可见,在训练后,将训练数据做为输入代入已经训练好的 PNN 网络中,只有两个样本判断错误,并且用预测样本进行验证时候,也只有两个样本即两种变压器的故障类型判断错误。最后得到的 PNN 网络可以用来进行更多样本的预测。

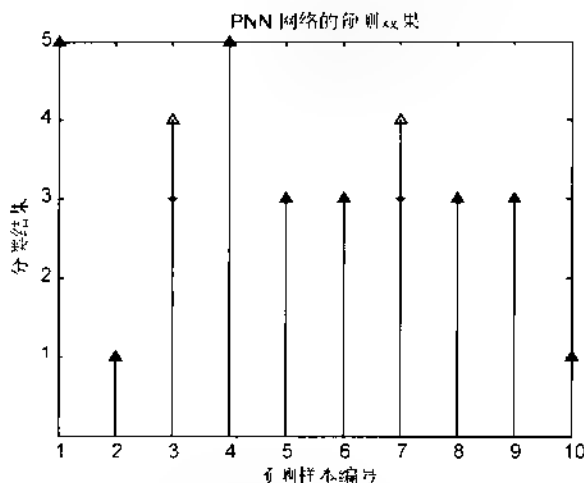


图 19-4 预测数据网络的分类效果图

19.4 案例扩展

1. PNN 与 BP 网络相比,在以下几方面具有明显的优势

① PNN 过程简单,收敛速度快。BP 网络的输入输出和 PNN 相同,但其隐藏层单元的选择没有确定性法则,需要根据经验反复试算得到。而 PNN 需调节的参数少,不需确定隐藏层数、隐藏层中的神经元个数等网络结构,比较容易使用。BP 网络的学习算法收敛速度慢,而且易陷入局部最优值。PNN 的训练过程一步到位,训练样本可直接赋值给网络,其训练时间仅略大于数据读取的时间,且不存在局部最优值。

② PNN 网络总收敛于 Bayes 优化解,稳定性高。BP 网络的分类规则是没有确定解释的,缺乏透明度。PNN 是基于贝叶斯最小风险准则对对象进行分类的,可以最大限度地利用故障先验知识,无论分类问题多么复杂,只要有足够多的训练样本,概率神经网络能够保证获得贝叶斯准则下的最优解,而 BP 神经网络却可能在一个局部最优值处中断,无法保证得到一个全局最优值。

③ 样本的追加能力强,且可以容忍个别错误的样本。如果在故障诊断过程中有新的训练样本加入或需要除去某些旧的训练样本,PNN 只需增加或减少相应的模式层单元,新增加的输入层至模式层的连接权值只需将新样本直接赋值。而对于 BP 网络修改训练样本后则需要重新进行训练,网络的连接权值全部需要重新赋值,相当于重新建立整个网络。

在实际应用中,需要建立变压器故障样本库,其内容会随着变压器故障的增加、变化而产生变化,此时 PNN 网络的样本追加能力强的优越性就可得到充分的体现。综上所述,PNN 变压器故障诊断系统在诊断速度、追加样本的能力以及在实际应用中的诊断准确率等几方面的性能都要优于 BP 变压器故障诊断系统。

2. SPREAD 的作用

如果 SPREAD 值接近于 0,则创建的概率神经网络可以作为一个最近邻域分类器。随着

若您对此书内容有任何疑问,可以凭在线交流卡登录 MATLAB 中文论坛与作者交流。

SPREAD 的增大,需要更多地考虑该网络附近的设计向量。具体请参看 2.4.2 中关于 SPREAD 的讨论。

3. 其他需要注意的问题

PNN 模型故障特征的选择要使得故障特征样本包含最大故障信息量,因此要深入分析故障产生机理及故障信息传递关系,选择最能反映故障的特征量,对一些无关或关系较小的故障特征量应不予考虑,以保证生成的 PNN 规模最小。

参考文献

- [1] Specht D F. Probabilistic neural networks[J]. Neural Networks, 1990, 3(1): 109-118.
- [2] 石敏,吴国,徐震.基于概率神经网络和双小波的电能量扰动自动识别[J].电力自动化设备, 2006, 26(1): 1-8.
- [3] 方怡媛.基于概率神经网络的变压器故障诊断[D].南昌:南昌大学,2007.
- [4] 沈永福.设备故障诊断技术[M].北京:科学出版社,1990.
- [5] 翟季青,刘志清.变压器故障诊断的综述[J].电力设备,2003,4(6):60-61.
- [6] 侯建敏.基于神经网络的变压器故障诊断研究[D].南京:南京气象学院,2003.

第 20 章 神经网络变量筛选

——基于 BP 的神经网络变量筛选

20.1 案例背景

前面各个章节讨论的神经网络中所包含的网络输入数据是研究者根据专业知识和经验预先选择好的,然而在许多实际应用中,由于没有清晰的理论依据,神经网络所包含的自变量即网络输入特征难以预先确定,如果将一些不重要的自变量也引入神经网络,会降低模型的精度,因此选择有意义的自变量特征作为网络输入数据常常是应用神经网络分析预测问题中很关键一步。选择神经网络输入的方法有多种,其基本思路是,尽可能将作用效果显著的自变量选入神经网络模型中,将作用不显著的自变量排除在外。本例将结合 BP 神经网络应用平均影响值(MIV, Mean Impact Value)方法来说明如何使用神经网络来筛选变量,找到对结果有较大影响的输入项,继而实现使用神经网络进行变量筛选。

BP(back propagation)神经网络是一种神经网络学习算法,全称基于误差反向传播算法的人工神经网络。如图 20-1 所示单隐藏层前馈网络拓扑结构,一般称为三层前馈网或三层感知器,即:输入层、中间层(也称隐藏层)和输出层。输入层各神经元负责接收来自外界的输入信息,并传递给中间层各神经元;中间层是内部信息处理层,中间层可以设计为单隐层或者多隐层结构;最后一个隐层传递到输出层各神经元的信息,经进一步处理后,完成一次学习的正向传播处理过程,由输出层向外界输出信息处理结果。它的特点是,各层神经元仅与相邻层神经元之间相互全连接,同层内神经元之间无连接,各层神经元之间无反馈连接,构成具有层次结构的前馈型神经网络系统。单层前馈神经网络只能求解线性可分问题,能够求解非线性问题的网络必须是具有隐层的多层神经网络。当实际输出与期望输出不符时,进入误差的反向传播阶段。误差通过输出层,按误差梯度下降的方式修正各层权值,向隐层、输入层逐层反传。周而复始的信息正向传播和误差反向传播过程,是各层权值不断调整的过程,也是神经网络学习训练的过程,此过程一直进行到网络输出的误差减少到可以接受的程度,或者预先设定的学习次数为止。

Domb 等人提出用 MIV 来反映神经网络中权重矩阵的变化情况,MIV 被认为是在神经网络中评价变量相关性最好的指标之一,也为解决此类问题开创了新思路。因此探索此类型的评价指标在实际工作中的运用以及寻找新的评价指标是值得研究的课题。

本例选择 MIV 作为评价各个自变量对于因变量影响的重要性大小指标。MIV 是用于确定输入神经元对输出神经元影响大小的一个指标,其符号代表相关的方向,绝对值大小代表影响的相对重要性。具体计算过程:在网络训练终止后,将训练样本 P 中每一自变量特征在其原值的基础上分别加、减 10% 构成新的两个训练样本 P_1 和 P_2 ,将 P_1 和 P_2 分别作为仿真样本利用已建成的网络进行仿真,得到两个仿真结果 A_1 和 A_2 ,求出 A_1 和 A_2 的差值,即为变动该自变量后对输出产生的影响变化值(IV, Impact Value),最后将 IV 按观测例数平均得出该

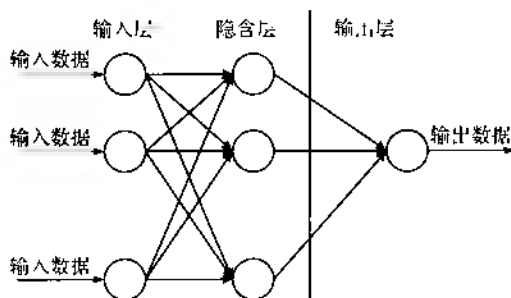


图 20-1 BP 神经网络结构

自变量对于应变量——网络输出的 MIV。按照上面步骤依次算出各个自变量的 MIV 值，最后根据 MIV 绝对值的大小为各自变量排序，得到各自变量对网络输出影响相对重要性的位次表，从而判断出输入特征对于网络结果的影响程度，即实现了变量筛选。

20.2 模型建立

本例按照式 20-1 产生网络的训练数据。

$$F = 2x_1 + x_2 - 10\cos(2\pi x_1) + x_2^2 - 10\cos(2\pi x_2) \quad (20-1)$$

随机产生的 x_1 和 x_2 和由它们决定的 F 作为 BP 神经网络的训练样本，同时加入 x_1 、 x_2 噪声，通过 MIV 方法，筛选对网络结果有主要影响的变量。流程如图 20-2 所示。

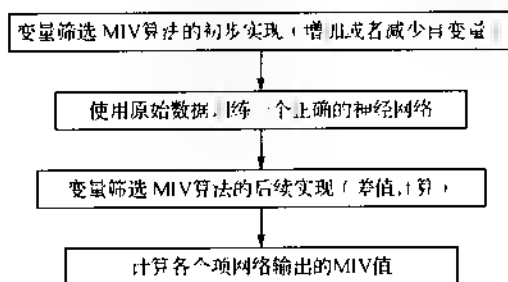


图 20-2 基于 BP 神经网络的变量筛选流程图

20.3 MATLAB 实现

本例程序如下。

```
%% 清空环境变量
clc
clear
%% 产生输入、输出数据

% 设置步长
```

```

interval = 0.01;

% 产生 x1 x2
x1 = -1.5: interval: 1.5;
x2 = -1.5: interval: 1.5;

% 产生 x3 x4(噪声)
x = rand(1,301);
x3 = (x - 0.5) * 1.5 * 2;
x4 = (x - 0.5) * 1.5 * 2;

% 按照函数先求得相应的函数值,作为网络的输出
F = 20 + x1.^2 - 10 * cos(2 * pi * x1) + x2.^2 - 10 * cos(2 * pi * x2);

% 设置网络输入输出值
p = [x1; x2; x3; x4];
t = F;

%% 变量筛选 MIV算法的初步实现(增加或者减少自变量)

p = p';
[m,n] = size(p);
yy_temp = p;

% p_increase 为增加 10% 的矩阵 p_decrease 为减少 10% 的矩阵
for i = 1:n
    p = yy_temp;
    pX = p(:,i);
    pa = pX * 1.1;
    p(:,i) = pa;
    aa = ['p_increase' int2str(i) '= p'];
    eval(aa);
end

for i = 1:n
    p = yy_temp;
    pX = p(:,i);
    pa = pX * 0.9;
    p(:,i) = pa;
    aa = ['p_decrease' int2str(i) '= p'];
    eval(aa);
end

```

若您对此书内容有任何疑问,可以凭在线交流卡登录 MATLAB 中文论坛与作者交流。


```

%% 利用原始数据训练一个正确的神经网络
nntwarn off;

p = p';
% bp 网络建立
net = newff(minmax(p),[8,1],{'tansig','purelin','trainqdm'},
% 初始化 bp 网络
net = init(net);
% 网络训练参数设置
net.trainParam.show = 50;
net.trainParam.lr = 0.05;
net.trainParam.mc = 0.9;
net.trainParam.epochs = 2000;

% bp 网络训练
net = train(net,p,t);

%% 变量筛选 MIV 算法的后续实现(差值计算)

% 转置后 sim

for i = 1:n
    eval(['p increase',num2str(i),' = transpose(p increase',num2str(i),'')'])
end

for i = 1:n
    eval(['p decrease',num2str(i),' = transpose(p decrease',num2str(i),'')'])
end

% result_in 为增加 10% 后的输出 result_de 为减少 10% 后的输出
for i = 1:n
    eval(['result_in',num2str(i),' = sim(net,','p increase',num2str(i),'')'])
end

for i = 1:n
    eval(['result_de',num2str(i),' = sim(net,','p decrease',num2str(i),'')'])
end

for i = 1:n
    eval(['result_in',num2str(i),' = transpose(result_in',num2str(i),'')'])
end

for i = 1:n

```

```
eval(['result_de',num2str(1),'= transpose(result_de',num2str(1),')'])
end
```

%% MIV_n的值为各个项网络输出的MIV值 MIV被认为是在神经网络中评价变量相关的最好指标之一,其符号代表相关方向,绝对值大小代表影响的相对重要性。

```
for i=1:n
    IV= ['result_in',num2str(i),' result_de',num2str(i)];
    eval(['MIV ',num2str(i),'= mean(',IV,')'])
end
```

本例的结果为。

```
MIV_1 =

    1 2553
MIV_2 =

    1 2896
MIV_3 =

    0 0685
MIV_4 =

   -0 7430
```

MIV_n的值为各项网络输出的MIV值,MIV被认为是在神经网络应用中评价变量对结果影响大小的最好指标之一,其符号代表相关方向,绝对值大小代表影响的相对重要性。

由此可见:第一个变量得出的MIV值较大;因为F值是靠 x_1, x_2 计算出来的,与 x_3, x_4 无关,所以MIV筛选出的对结果有重要影响的自变量同真实情况一致。神经网络使用MIV方法对变量进行筛选是可行的。

20.4 案例扩展

使用MIV方法进行变量筛选需要注意以下一些问题。神经网络模型本身可以应用于多重共线性的数据,所谓多重共线性(mult.collinearity)是指回归模型中的自变量之间由于存在精确相关关系或高度相关关系而使模型估计失真或难以估计准确。为了网络的训练效果更佳,使用了MIV算法来寻找对结果影响大的变量。不只是BP神经网络,其他很多神经网络在进行拟合、回归、分类的条件下,都可以应用MIV方法进行变量筛选并且建立自变量更少、效果更好的神经网络模型。

若您对此书内容有任何疑问,可以凭在线交流卡登录MATLAB中文论坛与作者交流。

第 21 章 LVQ 神经网络的分类

——乳腺肿瘤诊断

21.1 案例背景

21.1.1 LVQ 神经网络概述

学习向量量化(LVQ, Learning Vector Quantization)神经网络是一种用于训练竞争层的有监督学习(supervised learning)方法的输入前向神经网络,其算法是从 Kohonen 竞争算法演化而来的。LVQ 神经网络在模式识别和优化领域有着广泛的应用。

1. LVQ 神经网络的结构

LVQ 神经网络由 3 层神经元组成,即输入层、竞争层和线性输出层,如图 21-1 所示。输入层与竞争层之间采用全连接的方式,竞争层与线性输出层之间采用部分连接的方式。竞争层神经元个数总是大于线性输出层神经元个数,每个竞争层神经元只与一个线性输出层神经元相连接且连接权值恒为 1。但是,每个线性输出层神经元可以与多个竞争层神经元相连接。竞争层神经元与线性输出层神经元的值只能是 1 或 0。当某个输入模式被送至网络时,与输入模式距离最近的竞争层神经元被激活,神经元的状态为“1”,而其他竞争层神经元的状态均为“0”。因此,与被激活神经元相连接的线性输出层神经元状态也为“1”,而其他线性输出层神经元的状态均为“0”。

图 21-1 中, p 为 R 维的输入模式; S 为竞争层神经元个数; W^{-1} 为输入层与竞争层之间的连接权系数矩阵; n 为竞争层神经元的输入; a^1 为竞争层神经元的输出; LW 为竞争层与线性输出层之间的连接权系数矩阵; n^2 为线性输出层神经元的输入, a^2 为线性输出层神经元的输出。

2. LVQ 神经网络的学习算法

LVQ 神经网络算法是在有教师状态下对竞争层进行训练的一种学习算法,因此 LVQ 算法可以认为是把自组织特征映射算法改良成有教师学习的算法。LVQ 神经网络算法可分为 LVQ1 算法和 LVQ2 算法两种。

(1) LVQ1 算法

向量量化是利用输入向量的固有结构进行数据压缩的技术,学习向量量化是在向量量化基础上能将输入向量分类的监督学习技术。Kohonen 把自组织特征映射算法改良成有教师学习算法,首先设计了 LVQ1 算法。LVQ1 的训练过程始于随机地自“标定”训练集合选择一个输入向量以及该向量的正确类别。

LVQ1 算法的基本思想是:计算距离输入向量最近的竞争层神经元,从而找到与之相连接的线性输出层神经元,若输入向量的类别与线性输出层神经元所对应的类别一致,则对应的竞争层神经元权值沿着输入向量的方向移动;反之,若两者的类别不一致,则对应的竞争层神经

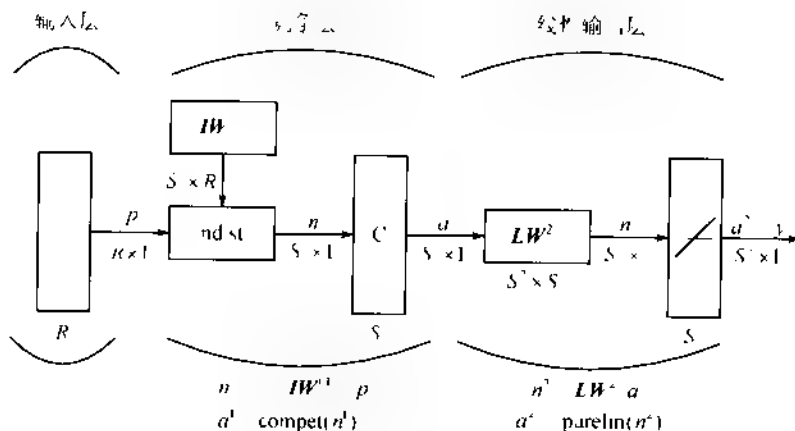


图 21-1 学习向量量化网络

元权值沿着输入向量的反方向移动。基本的 LVQ 算法步骤为:

步骤 1: 初始化输入层与竞争层之间的权值 u 及学习率 η ($\eta > 0$)。

步骤 2: 将输入向量 $x = (x_1, x_2, \dots, x_R)$ 送入到输入层, 并根据式 (21-1) 计算竞争层神经元与输入向量的距离:

$$d_i = \sqrt{\sum_{j=1}^R (x_j - u_{ji})^2}, \quad i = 1, 2, \dots, S \quad (21-1)$$

式中, u_{ji} 为输入层的神经元 j 与竞争层的神经元 i 之间的权值。

步骤 3: 选择与输入向量距离最小的竞争层神经元, 若 d_i 最小, 则记与之连接的线性输出层神经元的类标签为 C 。

步骤 4: 记输入向量对应的类标签为 C' , 若 $C' = C$, 则根据式 (21-2) 调整权值; 否则, 根据式 (21-3) 进行权值更新:

$$u_{ji}^{\text{new}} = u_{ji}^{\text{old}} + \eta(x_j - u_{ji}^{\text{old}}) \quad (21-2)$$

$$u_{ji}^{\text{new}} = u_{ji}^{\text{old}} - \eta(x_j - u_{ji}^{\text{old}}) \quad (21-3)$$

(2) LVQ2 算法

在 LVQ1 算法中, 只有一个神经元可以获胜, 即只有一个神经元的权值可以得到更新调整。为了提高分类的正确率, Kohonen 改进了 LVQ1, 并且被称为新版本 LVQ2。LVQ2 算法基于光滑的移动决策边界逼近 Bayes 极限。LVQ2 版本接着被修改, 产生 LVQ2.1, 并且最终发展为 LVQ3。这些后来的 LVQ 版本共同具有的特点是引入了“次获胜”神经元, 获胜神经元的权值向量和“次获胜”神经元的权值向量都被更新。具体计算步骤如下:

步骤 1: 利用 LVQ1 算法对所有输入模式进行学习。

步骤 2: 将输入向量 $x = (x_1, x_2, \dots, x_R)$ 送入到输入层, 并根据式 (21-1) 计算竞争层与输入向量的距离。

步骤 3: 选择与输入向量距离最小的两个竞争层神经元 i, j 。

步骤 4: 如果神经元 i 和神经元 j 满足以下两个条件:

- ① 神经元 i 和神经元 j 对应于不同的类别;
- ② 神经元 i 和神经元 j 与当前输入向量的距离 d_i 和 d_j 满足式 (21-4):

$$\min_{d_1, d_2} \frac{d_1 + d_2}{2} > \rho \quad (21-4)$$

其中, ρ 为输入向量可能落进的接近于两个向量中段平面的窗口宽度, 一般取 2~3 左右。

则有

① 若神经元 i 对应的类别 C_i 与输入向量对应的类别 C 一致, 即 $C_i = C$, 则神经元 i 和神经元 j 的权值根据式(21-5)进行修正。

$$\begin{aligned} w_{ij}^{\text{new}} &= w_{ij}^{\text{old}} + \alpha(x_i - w_{ij}^{\text{old}}) \\ w_{ij}^{\text{new}} &= w_{ij}^{\text{old}} - \alpha(x_i - w_{ij}^{\text{old}}) \end{aligned} \quad (21-5)$$

② 若神经元 j 对应的类别 C_j 与输入向量对应的类别 C 一致, 即 $C_j = C$, 则神经元 i 和神经元 j 的权值根据式(21-6)进行修正

$$\begin{aligned} w_{ij}^{\text{new}} &= w_{ij}^{\text{old}} - \alpha(x_i - w_{ij}^{\text{old}}) \\ w_{ij}^{\text{new}} &= w_{ij}^{\text{old}} + \alpha(x_i - w_{ij}^{\text{old}}) \end{aligned} \quad (21-6)$$

步骤 5: 若神经元 i 和神经元 j 不满足步骤 4 中的条件, 则只更新距离输入向量最近的神经元权值, 更新公式与 LVQ1 算法中步骤 4 相同。

3. LVQ 神经网络特点

竞争层神经网络可以自动学习对输入向量模式的分类, 但是竞争层进行的分类只取决于输入向量之间的距离, 当两个输入向量非常接近时, 竞争层就可能将它们归为一类。在竞争层的设计中没有这样的机制, 即严格地判断任意的两个输入向量是属于同一类还是属于不同类。而对于 LVQ 网络用户指定目标分类结果, 网络可以通过监督学习完成对输入向量模式的准确分类。

与其他模式识别和映射方式相比, LVQ 神经网络优点在于网络结构简单, 只通过内部单元的相互作用就可以完成十分复杂的分类处理, 也很容易将设计域中的各种繁杂分散的设计条件收敛到结论上来。而且它不需要对输入向量进行归一化、正交化处理, 只需要直接计算输入向量与竞争层之间的距离, 从而实现模式识别, 因此简单易行。

21.1.2 乳腺肿瘤诊断概述

目前, 乳腺癌已成为世界上妇女发病率最高的癌症。近年来在中国, 尤其在相对比较发达的东部地区, 乳腺癌的发病率及死亡率呈明显的增长趋势。研究表明, 乳腺恶性肿瘤若能早期发现、早期诊断、早期治疗, 可取得良好的效果。过去的 20 年中, 人们在分析和诊断各种乳腺肿瘤方面发现了很多方法, 尤其是针对乳腺图像的分析已日趋成熟。医学研究发现, 乳腺肿瘤病灶组织的细胞核显微图像与正常组织的细胞核显微图像不同, 但是用一般的图像处理方法很难对其进行区分。因此, 运用科学的方法, 根据乳腺肿瘤病灶组织的细胞核显微图像对乳腺肿瘤属于良性或恶性进行诊断显得尤为重要。

21.1.3 问题描述

威斯康星大学医学院经过多年的收集和整理, 建立了一个乳腺肿瘤病灶组织的细胞核显微图像数据库。数据库中包含了细胞核图像的 10 个量化特征(细胞核半径、质地、周长、面积、光滑性、紧密度、凹陷度、凹陷点数、对称度、断裂度), 这些特征与肿瘤的性质有密切的关系。因此, 需要建立一个确定的模型来描述数据库中各个量化特征与肿瘤性质的关系, 从而可以根

据细胞核显微图像的量化特征诊断乳腺肿瘤是良性还是恶性。

21.2 模型建立

21.2.1 设计思路

将乳腺肿瘤病灶组织的细胞核显微图像的 10 个量化特征作为网络的输入,良性乳腺肿瘤和恶性乳腺肿瘤作为网络的输出。用训练集数据对设计的 LVQ 神经网络进行训练,然后对测试集数据进行测试并对测试结果进行分析。

21.2.2 设计步骤

根据上述设计思路,设计步骤主要包括以下几个,如图 21-2 所示。

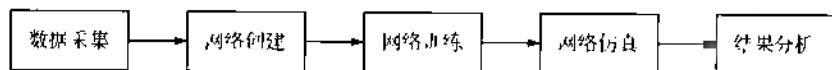


图 21-2 设计步骤流程图

1. 数据采集

威斯康星大学医学院的乳腺癌数据集共包括 569 个病例,其中,良性 357 例,恶性 212 例。本书随机选取 500 组数据作为训练集,剩余 69 组作为测试集。

每个病例的一组数据包括采样组织中各细胞核的 10 个特征量的平均值、标准差和最坏值(各特征的 3 个最大数据的平均值)共 30 个数据。数据文件中每组数据共分 32 个字段,第 1 个字段为病例编号;第 2 个字段为确诊结果,B 为良性,M 为恶性,第 3~12 个字段是该病例肿瘤病灶组织的各细胞核显微图像的 10 个量化特征的平均值,第 13~22 个字段是相应的标准差,第 23~32 个字段是相应的最坏值。

2. 网络创建

数据采集完成后,利用 MATLAB 自带的神经网络工具箱函数 newlvq,可以构建一个 LVQ 神经网络,函数具体用法将在 21.3 节中详细介绍。

3. 网络训练

网络创建完毕后,若需要,还可以对神经网络的参数进行设置和修改。将训练集 500 个病例的数据输入网络,便可以对网络进行训练。

4. 网络仿真

网络通过训练后,将测试集 69 组的 10 个量化特征数据输入网络,便可以得到对应的输出(即分类)。

5. 结果分析

通过对网络仿真结果的分析,可以得到误诊率(包括良性被误诊为恶性及恶性被误诊为良性),从而可以对该方法的可行性进行评价。同时,可以与其他方法进行比较,探讨该方法的有效性。

若您对此书内容有任何疑问,可以凭在线交流卡登录 MATLAB 中文论坛与作者交流。

21.3 LVQ 网络的神经网络工具箱函数

MATLAB 的神经网络工具箱为 LVQ 神经网络提供了大量的函数工具,本节将详细介绍这些函数的功能、调用格式和注意事项等问题。

21.3.1 LVQ 网络创建函数

`newlvq()` 函数用于创建一个学习向量量化 LVQ 网络,其调用格式为:

```
net = newlvq(PR,S1,PC,LR,LF)
```

其中,PR 为输入向量的范围, $\text{size}(\text{PR}) = [R \ 2]$,R 为输入向量的维数;S1 为竞争层神经元的个数;PC 为线性输出层期望类别各自所占的比重;LR 为学习速率,默认值为 0.01;LF 为学习函数,默认为“`learnlv1`”。

21.3.2 LVQ 网络学习函数

1. LVQ1 学习算法

`learnlv1` 是 LVQ1 算法对应的权值学习函数,其调用格式为

```
[dW,LS] = learnlv1(W,P,Z,N,A,T,E,gW,gA,D,LP,LS)
```

其中,dW 为权值(或阈值)变化矩阵;LS 为当前学习状态(可省略);W 为权值矩阵或者是阈值矢量,P 为输入矢量或者是全为 1 的矢量;Z 为输入层的权值矢量(可省略);N 为网络的输入矢量(可省略);A 为网络的输出矢量;T 为目标输出矢量、可省略);E 为误差矢量(可省略);gW 为与性能相关的权值梯度矩阵(可省略);gA 为与性能相关的输出梯度矩阵;D 为神经元的距离矩阵;LP 为学习参数,默认值为 1;LS 为初始学习状态。

2. LVQ2 学习算法

`learnlv2` 是 LVQ2 算法对应的权值学习函数,其调用格式为:

```
[dW,LS] = learnlv2(W,P,Z,N,A,T,E,gW,gA,D,LP,LS)
```

其参数意义与 `learnlv1` 中的参数意义相同,只是权值调整的方法不同,在 21.1.1 节中已详细描述,此处不再赘述。

21.4 MATLAB 实现

利用 MATLAB 神经网络工具箱提供的函数可以方便地在 MATLAB 环境下实现上述步骤。

21.4.1 清空环境变量

程序运行之前,清除工作空间(`workspace`)中的变量及命令窗(`command window`)中的命令。具体程序为:

```

%% 清空环境变量
clear all
clc
warning off

```

21.4.2 导入数据

数据保存在 data.mat 文件中,共 569 组数据,不失一般性,随机选取 500 组数据作为训练集,剩余 69 组数据作为测试集。如前文所述,输入神经元个数为 30,分别代表 30 个细胞核的形态特征。输出神经元个数为 2,分别表示良性乳腺肿瘤和恶性乳腺肿瘤。本书中以数字“1”与良性乳腺肿瘤对应,数字“2”与恶性乳腺肿瘤对应。具体程序如下:

```

%% 导入数据
load data.mat
a = randperm(569);
Train = data(a(1:500),:);
Test = data(a(501:end),:);
% 训练数据
P_train = Train(:,3:end)';
Tc_train = Train(:,2)';
T_train = ind2vec(Tc_train);
% 测试数据
P_test = Test(:,3:end)';
Tc_test = Test(:,2)';

```

说明:ind2vec()函数用于将代表类别的下标矩阵转换成对应的目标向量,例如,在命令窗口输入:

```

a = [1 2 1 3];
b = ind2vec(a)
c = [1 0 1 0, 0 1 0 0, 0 0 0 1]
flag = isequal(b,c)

```

运行结果为:

```

b =
(1,1)      1
(2,2)      1
(1,3)      1
(3,4)      1

c =
1     0     1     0
0     1     0     0
0     0     0     1

flag =
1

```

若您对此书内容有任何疑问,可以在线交流或登录 MATLAB 中文论坛与作者交流。

从运行结果可以看出,行向量 a 经过 `ind2vec()` 函数转换后的结果矩阵 b 与 c 相等。

21.4.3 创建 LVQ 网络

利用 `newlvq()` 函数可以创建 LVQ 神经网络,将隐含层神经元个数设为 20,由于训练集是随机产生的,所以参数 PC 需要事先计算一下。具体的程序为:

```
%% 创建网络
count B = length(find(Tc_train == 1));
count M = length(find(Tc_train == 2));
rate B = count_B / 500;
rate M = count_M / 500;
net = newlvq(minmax(P_train), 10, [rate_B rate_M]);
% 设置网络参数
net.trainParam.epochs = 1000;
net.trainParam.show = 10;
net.trainParam.lr = 0.1;
net.trainParam.goal = 0.1;
```

21.4.4 训练 LVQ 网络

网络创建完成及相关参数设置完成后,利用 MATLAB 自带的网络训练函数 `train()` 可以方便地对网络进行训练学习,具体程序为:

```
%% 网络训练
net = train(net, P_train, T_train);
```

21.4.5 仿真测试

利用 `sim()` 函数将测试集输入数据送入训练好的神经网络便可以得到对应的测试集输出仿真数据,详细程序如下:

```
%% 仿真测试
T_sim = sim(net, P_test);
Tc_sim = vec2ind(T_sim);
result = [Tc_sim; Tc_test];
```

说明:

① `vec2ind()` 函数的作用与 `ind2vec()` 函数的作用相反,将目标向量转换为对应的代表类别的下标矩阵;

② `result` 第 1 行为测试集的仿真结果,第 2 行为测试集的真实结果。

21.4.6 结果

1. 结果显示

为了使读者更为直观地对仿真结果进行分析,本案例用 `disp()` 函数将结果显示在命令窗口中,具体程序为:

```

%% 结果显示
total_B = length(find(data(:,2) == 1));
total_M = length(find(data(:,2) == 2));
number_B = length(find(Tc_test == 1));
number_M = length(find(Tc_test == 2));
number_B_sim = length(find(Tc_sim == 1 & Tc_test == 1));
number_M_sim = length(find(Tc_sim == 2 & Tc_test == 2));
disp(['病例总数:', num2str(569)
      ' 良性:', num2str(total_B)
      ' 恶性:', num2str(total_M)]);
disp(['训练集病例总数:', num2str(500)
      ' 良性:', num2str(count_B)
      ' 恶性:', num2str(count_M)]);
disp(['测试集病例总数:', num2str(69)
      ' 良性:', num2str(number_B)
      ' 恶性:', num2str(number_M)]);
disp(['良性乳腺肿瘤确诊:', num2str(number_B_sim)
      ' 误诊:', num2str(number_B - number_B_sim)
      ' 确诊率 p1 = ', num2str(number_B_sim / number_B * 100) '%']);
disp(['恶性乳腺肿瘤确诊:', num2str(number_M_sim)
      ' 误诊:', num2str(number_M - number_M_sim)
      ' 确诊率 p2 = ', num2str(number_M_sim / number_M * 100) '%']);

```

2. 结果分析

某次运行神经网络训练测试的运行结果如下:

```

病例总数:569  良性:357  恶性:212
训练集病例总数:500  良性:312  恶性:188
测试集病例总数:69  良性:45  恶性:24
良性乳腺肿瘤确诊:43  误诊:2  确诊率 p1 = 95.5556%
恶性乳腺肿瘤确诊:20  误诊:4  确诊率 p2 = 83.3333%

```

从上述结果可以看出,在69组测试集数据中,有6组数据误诊断、2组将良性乳腺肿瘤误诊为恶性乳腺肿瘤、4组将恶性乳腺肿瘤误诊为良性乳腺肿瘤,平均诊断正确率达91.3%(63/69)。实验结果表明,将LVQ神经网络应用于模式识别是可行的。

21.5 案例扩展

21.5.1 对比分析

本小节将对比上述LVQ神经网络与BP神经网络两种模型的效果,BP神经网络模型的程序如下:

```

%% 创建 BP 网络
net = newff(minmax(P_train),[50 1], 'tansig','purelin','trainlm');

```

若对此书内容有任何疑问,可以凭在线交流卡登录MATLAB中文论坛与作者交流

```

%% 设置网络参数
net trainParam epochs 1000;
net trainParam show 10;
net trainParam lr 0.1;
net trainParam goal 0.1;
%% 训练网络
net = train(net,P_train,Tc_train);
%% 仿真测试
T_sim=sim(net,P_test);
for i=1,length(T_sim)
    if T_sim(i)<=1.5
        T_sim(i)=1;
    else
        T_sim(i)=2;
    end
end
result=[T_sim;Tc_test]
number_B=length(find(Tc_test==1));
number_M=length(find(Tc_test==2));
number_B_sim=length(find(T_sim(1,number_B)==1));
number_M_sim=length(find(T_sim(number_B+1:end)==2));
disp(['病例总数:',num2str(569)
    ' 良性:',num2str(total_B),
    ' 恶性:',num2str(total_M),]);
disp(['训练集病例总数:',num2str(500)
    ' 良性:',num2str(count_B),
    ' 恶性:',num2str(count_M),]);
disp(['测试集病例总数:',num2str(69)
    ' 良性:',num2str(number_B),
    ' 恶性:',num2str(number_M)],);
disp(['良性乳腺肿瘤确诊:',num2str(number_B_sim),
    ' 误诊:',num2str(number_B-number_B_sim),
    ' 确诊率 p1 =',num2str(number_B_sim/number_B*100,'%')],);
disp(['恶性乳腺肿瘤确诊:',num2str(number_M_sim),
    ' 误诊:',num2str(number_M-number_M_sim),
    ' 确诊率 p2 =',num2str(number_M_sim/number_M*100,'%')],);

```

说明:由于BP网络输出非二值结果,因此程序中进行了四舍五入处理,即若输出小于1.5则认为是属于良性肿瘤,输出大于1.5则表示属于恶性肿瘤。

在训练集和测试集与LVQ神经网络相同的情况下,程序运行结果为:

```

病例总数:569  良性:357  恶性:212
训练集病例总数:500  良性:312  恶性:188
测试集病例总数:69  良性:45  恶性:24
良性乳腺肿瘤确诊:35  误诊:10  确诊率 p1 = 77.7778%
恶性乳腺肿瘤确诊:16  误诊:8  确诊率 p2 = 66.6667%

```

从上述结果可以看出,在69组测试集数据中,有18组数据误诊断(10组将良性乳腺肿瘤误诊为恶性乳腺肿瘤,8组将恶性乳腺肿瘤误诊为良性乳腺肿瘤),平均诊断正确率达73.9(51.6%)。

对比LVQ神经网络及BP神经网络的仿真结果,可以看出,LVQ神经网络的效果比BP神经网络要好很多,这也表明LVQ神经网络用于模式识别是有效的。

21.5.2 案例扩展

LVQ神经网络无需对数据进行预处理,这使得相比于其他神经网络,LVQ神经网络更简单、更有效。LVQ神经网络已经应用到各行各业中,如故障诊断、性能评价、风险预测等。近年来,许多人致力于研究LVQ神经网络的特点,提出了很多改进的算法以解决“死”神经元问题、改善权值调整规则等,具体参考文献[7~1]。

参考文献

- [1] 飞思科技产品研发中心.神经网络与MATLAB实现[M].北京:电子工业出版社,2007.
- [2] 董长虹. Matlab神经网络与应用[M].2版.北京:国防工业出版社,2007.
- [3] 张良均,曹晶,蒋世忠.神经网络实用教程[M].北京:机械工业出版社,2008.
- [4] 史忠植.神经网络[M].北京:高等教育出版社,2004.
- [5] FREDRIK M. HAM, IVICA K. 神经计算原理[M].叶世伟,于海娟,译.北京:机械工业出版社,2007.
- [6] 董妍慧.基于LVQ神经网络模型的企业财务危机预警[J].大连海事大学学报(社会科学版),2008,7(1):92-94.
- [7] 程剑锋,徐俊艳.学习矢量量化的推广及其典型形式的比较[J].计算机工程与科学,2006(11):82-85.
- [8] 冯乃勤,南书坡,郭战杰.对学习矢量量化神经网络中“死”点问题的研究[J].计算机工程与科学,2004,45:64-66.
- [9] 朱策,方力华,王太君,等.学习矢量量化算法的性能分析[J].电子学报,1999,23(7):59-63.
- [10] 周水牛,周利华.修正的广义学习向量量化算法[J].计算机工程,2005,29(13):34-36.

若您对此书内容有任何疑问,可以凭在线发席卡登录MATLAB中文论坛与作者交流。

第 22 章 LVQ 神经网络的预测

——人脸朝向识别

22.1 案例背景

22.1.1 人脸识别概述

人脸识别作为一个复杂的模式识别问题,近年来受到了广泛的关注,识别领域的各种方法在这个问题上各显所长,而且发展出了许多新方法,大大丰富和拓宽了模式识别的方向。人脸识别、检测、跟踪、特征定位等技术近年来一直是研究的热点。人脸识别是人脸应用研究中重要的第一步,目的是从图像中分割出不包括背景的人脸区域。由于人脸形状的不规则性以及光线和背景条件多样性,现有的人脸研究算法都是在试图解决某些特定实验环境下的一些具体问题,对人脸位置和状态都有一定的要求。而在实际应用中,大量图像和视频源中人脸的位置、朝向和旋转角度都不是固定的,这就大大增加了人脸识别的难度。

在人脸识别领域的众多研究方向中,人脸朝向分析一直是一个少有人涉及的领域。在以往的研究成果中,一些研究者谈及了人脸朝向问题,但其中绝大多数都是希望在人脸识别过程中去除人脸水平旋转对识别过程的不良影响。但是,实际问题要复杂得多,人脸朝向是一个无法回避的问题。因此,对于人脸朝向的判断和识别,将会是一件非常有意义的工作。

22.1.2 问题描述

现采集到一组人脸朝向不同角度时的图像,图像来自不同的 10 个人,每人 5 幅图像,人脸的朝向分别为:左方、左前方、前方、右前方和右方,如图 22-1 所示。试创建一个 LVQ 神经网络,对任意给出的人脸图像进行朝向预测和识别。



图 22-1 人脸识别图像

22.2 模型建立

22.2.1 设计思路

通过观察不难发现,当人脸面朝不同方向时,眼睛在图像中的位置差别较大。因此,可以

考虑将图片中描述眼睛位置的特征信息提取出来作为 LVQ 神经网络的输入,5 个朝向分别用 1、2、3、4、5 表示,作为 LVQ 神经网络的输出。通过对训练集的图像进行训练,得到具有预测功能的网络,便可以对任意给出的人脸图像进行朝向判断和识别。

22.2.2 设计步骤

根据上述设计思路,设计步骤主要包括以下几个部分,如图 22-2 所示。



图 22-2 设计步骤流程图

1. 人脸特征向量提取

如设计思路中所述,当人脸朝向不同时,眼睛在图像中的位置会有明显的差别。因此,只需要将描述人眼位置信息的特征向量提取出来即可。方法是整幅图像划分成 6 行 8 列,人眼的位置信息可以用第 2 行的 8 个子矩阵来描述(注意:针对不同大小的图像,划分的网格需稍作修改),边缘检测后 8 个子矩阵中的值为“1”的像素点个数与人脸朝向有直接关系,只要分别统计出第 2 行的 8 个子矩阵中的值为“1”的像素点个数即可。

2. 训练集/测试集产生

为了保证训练集数据的随机性,随机选取图像库中的 30 幅人脸图像提取出的特征向量作为训练集数据,剩余的 20 幅人脸图像提取出来的特征向量作为测试集数据。

3. LVQ 网络创建

LVQ 神经网络的优点是不需要将输入向量进行归一化、正交化,利用 MATLAB 自带的神经网络工具箱函数 `newlvq()` 可以构建一个 LVQ 神经网络,关于该函数的用法及说明在第 21 章中已作详细说明,此处不再赘述。

4. LVQ 网络训练

网络创建完毕后,便可以将训练集输入向量送入到网络中,利用 LVQ1 或 LVQ2 算法对网络的权值进行调整,直到满足训练要求迭代终止。

5. 人脸识别测试

网络训练收敛后,便可以对测试集数据进行预测,即对测试集的图像进行人脸朝向识别。对于任意给出的图像,只需要将其特征向量提取出来,便可对其进行识别。

22.3 MATLAB 实现

利用 MATLAB 神经网络工具箱提供的函数可以方便地在 MATLAB 环境下实现上述设计步骤。

22.3.1 清空环境变量

程序运行之前,清除工作空间(workspace)中的变量及命令窗口(command window)中的命令。具体程序为:

若您对此书内容有任何疑问,可以凭在线交流卡登录 MATLAB 中文论坛与作者交流。

```
%% 清空环境变量
clear all
clc
```

22.3.2 人脸特征向量提取

如设计步骤中所述,人脸特征向量提取的任务是将图像中描述人眼位置的信息提取出来,即统计出划分网格第 2 行的 8 个子矩阵中的值为“1”的像素点个数。具体实现程序如下:

```
%% 人脸特征向量提取
% 人数
M = 10;
% 人脸朝向类别数
N = 5;
% 特征向量提取
pixel_value = feature_extraction(M,N);
```

其中,feature_extraction 为人脸特征向量提取子函数,feature_extraction.m 程序为:

```
function pixel_value = feature_extraction(m,n)
pixel_value = zeros(50,8);
sample_number = 0;
for i = 1:m
    for j = 1:n
        str = strcat('Images\',num2str(i),'_',num2str(j),' bmp');
        img = imread(str);
        [rows cols] = size(img);
        img_edge = edge(img,'Sobel');
        sub_rows = floor(rows/6);
        sub_cols = floor(cols/8);
        sample_number = sample_number + 1;
        for subblock i = 1:8
            for ii = sub_rows + 1, 2 * sub_rows
                for jj = (subblock_i - 1) * sub_cols + 1, subblock_i * sub_cols
                    pixel_value(sample_number, subblock_i) =
                        pixel_value(sample_number, subblock_i) + img_edge(ii, jj);
                end
            end
        end
    end
end
end
end
end
```

说明:

- ① 人脸图像库的图片放在文件名为 Images 的文件夹中,图片的命名规则为“i_j.bmp”,其中,i 表示人的编号,j 表示人脸朝向的编号,这里,i = 1,2, ..., 10,j = 1,2, ..., 5。
- ② 函数 strcat()的作用是将字符串进行水平连接,具体用法可以查看 Help 帮助文档。

- ③ 函数 `imread()` 用于将图片转换成对应的矩阵。
 ④ `edge()` 是边缘提取函数,其参数“Sobe.”是边缘提取算子。

22.3.3 训练集/测试集产生

图像库中所有图片的特征向量提取出来以后,随机将其分成两组,分别作为训练集和测试集。其中,训练集包含 30 个不同人脸朝向的图片的特征向量,测试集为剩余的 20 个不同人脸朝向的图片的特征向量。具体程序如下:

```
% 训练集/测试集产生
% 产生图像序号的随机序列
rand_label = randperm(M * N);
% 人脸朝向标号
direction_label = repmat(1:N,1,M);
% 训练集
train_label = rand_label(1:30);
P_train = pixel_value(train_label,:);
Tc_train = direction_label(train_label);
T_train = ind2vec(Tc_train);
% 测试集
test_label = rand_label(31:end);
P_test = pixel_value(test_label,:);
Tc_test = direction_label(test_label);
```

说明:

- ① 函数 `randperm(n)` 用于产生一个从整数 1 到 n 的随机排列。
 ② 函数 `repmat()` 用于矩阵复制。
 ③ 函数 `ind2vec()` 及 `vec2ind()` 的用法见第 21 章。

22.3.4 创建 LVQ 网络

利用 `newlvq()` 函数可以方便地创建一个 LVQ 神经网络。这里,隐含层神经元个数设置为 20。由于训练集数据是随机产生的,所以参数 `PC` 的设置需要事先计算得出,具体的程序为:

```
% 创建 LVQ 网络
for i = 1:5
    rate{i} = length(find(Tc_train == i))/30;
end
net = newlvq(minmax(P_train),20,cell2mat(rate));
% 设置训练参数
net.trainParam.epochs = 100;
net.trainParam.goal = 0.001;
net.trainParam.lr = 0.1;
```

22.3.5 训练 LVQ 网络

网络创建完成及相关参数设置完成后,利用 MATLAB 自带的网络训练函数 `train()` 可以

方便地对网络进行训练学习,具体程序为。

```
%% 训练网络
net = train(net,P_train,T_train);
```

22.3.6 人脸识别测试

利用 `sim()` 函数将测试集输入数据送入训练好的神经网络,便可以得到测试集的输出仿真数据,即测试集图像的人脸朝向识别结果。详细程序如下。

```
%% 仿真测试
T_sim = sim(net,P_test);
Tc_sim = vec2ind(T_sim);
result = [Tc_test;Tc_sim]
```

说明: `result` 第 1 行为测试集图像的标准人脸朝向类别,第 2 行为测试集图像的预测人脸朝向类别。

22.3.7 结果显示

本案例将识别的结果以更加直观的形式呈现给读者,具体程序如下:

```
%% 结果显示
% 训练集人脸标号
strain_label = sort(train_label),
htrain_label = ceil(strain_label/N);
% 训练集人脸朝向类别
dtrain_label = strain_label - floor(strain_label/N)*N;
dtrain_label(dtrain_label == 0) = N;
% 显示训练集图像序号。
disp('训练集图像为:');
for i = 1:30
    str_train = [num2str(htrain_label(i))' '
                num2str(dtrain_label(i))' '];
    fprintf('%s',str_train)
    if mod(i,5) == 0
        fprintf('\n');
    end
end
% 测试集人脸标号
stest_label = sort(test_label);
htest_label = ceil(stest_label/N);
% 测试集人脸朝向标号
dtest_label = stest_label - floor(stest_label/N)*N;
dtest_label(dtest_label == 0) = N;
% 显示测试集图像序号
disp('测试集图像为:');
for i = 1:20
```

```

str_test=[num2str(h_test_label(1))' '
          num2str(d_test_label(1))' '];
fprintf('s',str_test)
if mod(1,5)~=0
    fprintf('\n');
end
end
% 显示识别出错图像
error=Tc_sim-Tc_test;
location='左方' '左前方' '前方' '右前方' '右方';
for i=1,length(error)
    if error(i)~=0
        % 识别出错图像人脸标号
        herror_label=ceil(test_label(i)/N);
        % 识别出错图像人脸朝向标号
        derror_label=test_label(i)-floor(test_label(i)/N)*N;
        derror_label(derror_label==0)=N;
        % 图像原始朝向
        standard=location(Tc_test(i));
        % 图像识别结果朝向
        identify_location=Tc_sim(i);
        str_err=strcat(['图像' num2str(herror_label)' '
                        num2str(derror_label)'识别出错']);
        disp([str_err', '正确结果:朝向' standard
              ',识别结果:朝向' identify(i)']);
    end
end
% 显示识别率
disp(['识别率为:' num2str(length(find(error~=0))/20*100) '%']);

```

22.3.8 结果分析

程序某次运行的结果为:

```

result
Columns 1 through 12
    5     5     3     4     2     4     2     4     2     3     4     2
    5     5     3     4     2     4     2     4     2     3     1     2
Columns 13 through 20
    5     3     1     4     3     1     3     1
    5     3     1     1     3     1     3     1

```

训练集图像为

```

1_4  2_1  2_2  2_3  2_5
3_1  3_2  3_4  4_4  4_5
5_2  5_3  5_4  5_5  6_1
6_2  6_3  6_4  7_1  7_5

```

若您对此书内容有任何疑问,可以在线交流卡登录 MATLAB 中文论坛与作者交流。

```
8_1 8_3 8_5 9_1 9_2
9_5 10_1 10_2 10_3 10_5
```

测试集图像为:

```
1_1 1_2 1_3 1_5 2_4
3_3 3_5 4_1 4_2 4_3
5_1 6_5 7_2 7_3 7_4
8_2 8_4 9_3 9_4 10_4
```

图像 9_4 识别出错。(正确结果:朝向右前方;识别结果:朝向左方)

图像 7_4 识别出错。(正确结果:朝向右前方;识别结果:朝向左方)

识别率为:90%

从以上结果可以看出,当训练目标 net.trainParam.goal 设为 0.001 时,识别率在 90% 以上,甚至可以达到 100%。因此,利用 LVQ 神经网络对人脸识别是可行且有效的。

需要注意的一点是,当训练集较少时,比如说只取 1~2 个人脸的图像特征向量参与训练,识别率会相对较低些。因此,在防止出现过拟合的同时,应尽量增加训练集的样本数目。

22.4 案例扩展

22.4.1 对比分析

本节将利用 BP 神经网络、支持向量机 SVM 对该问题进行建模分析,同时比较三种方法的结果并分析优缺点。

1. LVQ 神经网络与 BP 神经网络对比

在 BP 神经网络中,特征向量提取的程序与 LVQ 神经网络相同,此处不再赘述。BP 神经网络的具体程序如下:

```
% 训练集/测试集产生
% 产生图像序号的随机序列
rand_label = randperm(M * N);
% 人脸朝向标号
direction_label = [1 0 0;1 1 0;0 1 0;0 1 1;0 0 1];
% 训练集
train_label = rand_label(1:30);
P_train = pixel_value(train_label,:);
dtrain_label = train_label - floor(train_label/N) * N;
dtrain_label(dtrain_label == 0) = N;
T_train = direction_label(dtrain_label,:);
% 测试集
test_label = rand_label(31:end);
P_test = pixel_value(test_label,:);
dtest_label = test_label - floor(test_label/N) * N;
dtest_label(dtest_label == 0) = N;
T_test = direction_label(dtest_label,:);
% 创建 BP 网络
```

```

net = newff(minmax(P_train),[10,3],{'tansig','purelin'},'trainlm');
% 设置训练参数
net.trainParam.epochs = 1000;
net.trainParam.show = 10;
net.trainParam.goal = 1e-3;
net.trainParam.lr = 0.1;
%% 训练BP网络
net = train(net,P_train,T_train);
%% 仿真测试
T_sim = sim(net,P_test)
for i = 1:3
    for j = 1:20
        if T_sim(i,j)<0.5
            T_sim(i,j) = 0;
        else
            T_sim(i,j) = 1;
        end
    end
end
end

```

说明:由于BP神经网络的输出并非二值数据,因此这里采用了四舍五入的方法,即若网络的输出小于0.5,则认为是0;否则则认为是1。

如程序中所示,在设计网络时,由于输出只有5种状态,因此可以用三位二进制数进行描述,具体对应规则如表22-1所列。

表 22-1 BP神经网络输出与5个朝向对应关系

左方	左前方	前方	右前方	右方
1	1	0	0	1
0	1		1	0
0	0	1	1	1

BP神经网络一次仿真的结果如下:

```

T_sim =
Columns 1 through 10
    0    0    0    1    0    0    1    0    0    0
    1    1    0    0    0    1    1    1    1    1
    0    0    1    0    0    0    0    0    1    0

Columns 11 through 20
    1    0    1    0    1    1    1    0    1    0
    0    0    1    0    1    1    0    1    0    0
    0    1    0    1    0    0    0    0    0    1

T_test =
Columns 1 through 10
    0    0    0    1    0    0    1    0    0    0

```

```

1      1      0      1      0      1      1      1      1      1
0      0      1      0      1      0      0      0      1      0
Columns 11 through 20
1      0      1      0      1      1      1      0      1      0
0      0      1      0      0      1      0      1      0      0
0      1      0      1      0      0      0      0      0      1

```

从上述结果可以看出识别率为 85%。但是值得注意的是,第 5 组数据的预测值为[0;0;0],不属于表 22-1 中的任何一类,从结果判断不出该图像的朝向,而 LVQ 神经网络可以很好的规避这一缺点。

2. LVQ 神经网络与 SVM 对比

与 BP 神经网络相同,特征向量提取方法与 LVQ 神经网络相同。关于 SVM 的相关知识,可以参考第 12 章相应章节,此处不再赘述,仅列出利用 SVM 进行仿真预测的过程,详细程序如下:

```

%% 训练集/测试集产生
% 产生图像序号的随机序列
rand_label = randperm(M * N);
% 人脸朝向标号
direction_label = repmat(1:N,1,M);
% 训练集
rand_train = rand_label(1:30);
Train = pixel_value(rand_train,:);
Train_label = direction_label(rand_train)';
% 测试集
rand_test = rand_label(31:end);
Test = pixel_value(rand_test,:);
Test_label = direction_label(rand_test)';
% SVM 模型
model = svmtrain(Train_label,Train,'c 2 -g 0.05');
% 仿真测试
[predict_label,accuracy] = svmpredict(Test_label,Test,model);

```

当提取出来的特征向量 pixel_value 没有进行归一化时,程序运行的结果为:

```
Accuracy = 30 % (6/20) (classification)
```

当特征向量 pixel_value 归一化后,程序运行的结果为:

```
Accuracy = 100 % (20/20) (classification)
```

从 SVM 的结果可以看出,数据是否进行归一化对结果影响相当大。相比于此,LVQ 神经网络最大的特点便是无需对数据进行归一化,只需要计算输入向量与隐含层神经元间的距离即可进行模式识别。

22.4.2 案例扩展

由于无需对数据进行预处理、可以处理复杂模型且对噪声干扰有一定的抑制,LVQ 神经

网络的应用也越来越广泛。近年来,许多专家学者将LVQ神经网络与其他方法相结合,成功地解决了很多现实问题。例如,由于传统LVQ神经网络存在神经元未被充分利用以及算法对初值敏感的问题,利用遗传算法优化网络的初始值可以迅速得到最佳的神经网络初始权值向量,从而使得分析速度和精度都有较大的提高,具体请参考文献[3]~[7]。

参考文献

- [1] 张勇,李辉,侯义斌,等.一种基于人脸识别与脸部朝向估计的新型交互式环境智能显示技术[J].电子器件,2008,31(3):359-364.
- [2] 陈锐,李辉,侯义斌,等.由人脸朝向驱动的多方向投影交互系统[J].小型微型计算机系统,2007,28(4):706-709.
- [3] 唐秋华,刘保华,陈永奇,等.结合遗传算法的LVQ神经网络在声学底质分类中的应用[J].地球物理学报,2007,50(1):313-319.
- [4] 张小英,丁宝发,刘铁军.基于PCA-LVQ的雷达目标二维距离像识别[J].系统工程与电子技术,2005,27(8):1373-1377.
- [5] 胡明慧,陈震,黎明.基于自组织与LVQ神经网络的足球机器人协作策略学习[J].南昌航空工业学院学报(自然科学版),2004,18(3):16-20.
- [6] 姚谦,郭子棋,袁泉,等.遗传算法的LVQ神经网络在遥感图像分类中的应用[J].遥感信息,2008,5:21-24.
- [7] 罗玮,严正.基于广义学习矢量量化和支持向量机的混合短期负荷预测方法[J].电网技术,2008,32(13):62-68.

若您对此书内容有任何疑问,可以在线交流或登录MATLAB中文论坛与作者交流。

第 23 章 小波神经网络的时间序列预测

——短时交通流量预测

23.1 案例背景

23.1.1 小波理论

小波分析是针对傅里叶变换的不足发展而来的,傅里叶变换是信号处理领域中应用最广泛的一种分析手段,然而它有一个严重不足,就是变换抛弃了时间信息,变换结果无法判断某个信号发生的时间,即傅里叶变换在时域中没有分辨能力。小波是一种长度有限、平均值为 0 的波形,它的特点包括:

- ① 时域都具有紧支集或近似紧支集;
- ② 直流分量为 0。

小波函数是由一个母小波函数经过平移与尺寸伸缩得到,小波分析即把信号分解成一系列小波函数的叠加。

小波变换是指把某一基本小波函数 $\psi(t)$ 平移 τ 后,再在不同尺度 a 下与待分析的信号 $x(t)$ 做内积。

$$f_{\tau}(a, \tau) = \frac{1}{\sqrt{a}} \int x(t) \psi\left(\frac{t-\tau}{a}\right) dt \quad a > 0 \quad (23-1)$$

等效的时域表达式为

$$f_{\tau}(a, \tau) = \frac{1}{\sqrt{a}} \int x(\omega) \psi(a\omega) e^{i\omega\tau} d\omega \quad a > 0 \quad (23-2)$$

式中, τ 和 a 是里面的参数, τ 相当于使镜头相对于目标平行移动, a 相当于使镜头向目标推进或远离。

从式(23-1)与式(23-2)可以看出,小波分析能够通过小波基函数的变换分析信号的局部特征,并且在二维情况下具有信号方向选择性能力,因此,该方法作为一种数学理论和分析方法,引起了广泛关注。

23.1.2 小波神经网络

小波神经网络是一种以 BP 神经网络拓扑结构为基础,把小波基函数作为隐含层节点的传递函数,信号前向传播的同时误差反向传播的神经网络。小波神经网络的拓扑结构如图 23-1 所示。

图 23-1 中, X_1, X_2, \dots, X_k 是小波神经网络的输入参数, Y_1, Y_2, \dots, Y_m 是小波神经网络的预测输出, ω_{ij} 和 ω_{jk} 为小波神经网络权值。

在输入信号序列为 $x_i (i=1, 2, \dots, k)$ 时,隐含层输出计算公式为

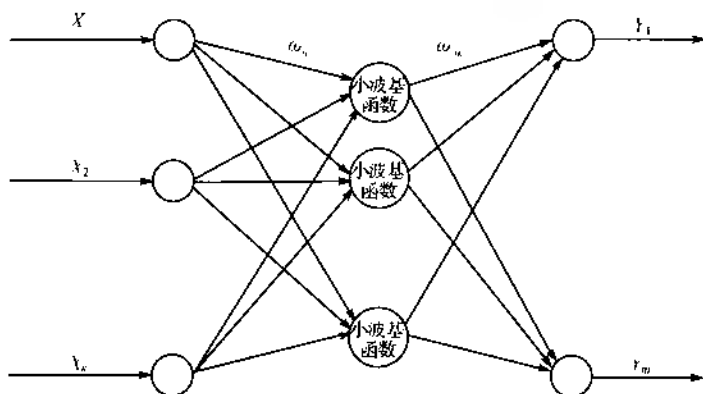


图 23-1 小波神经网络拓扑结构

$$h(j) = h_i \left[\sum_{i=1}^l \omega_{ij} x_i - b_j \right] a_j, \quad j = 1, 2, \dots, l \quad (23-3)$$

式中, $h(j)$ 为隐含层第 j 个节点输出值; ω_{ij} 为输入层和隐含层的连接权值; b_j 为小波基函数 h_i 的平移因子; a_j 为小波基函数 h_i 的伸缩因子; h_i 为小波基函数。

本案例采用的小波基函数为 Morlet 母小波基函数, 数学公式为

$$y = \cos(1.75x) e^{-x^2/2} \quad (23-4)$$

函数图形如图 23-2 所示。

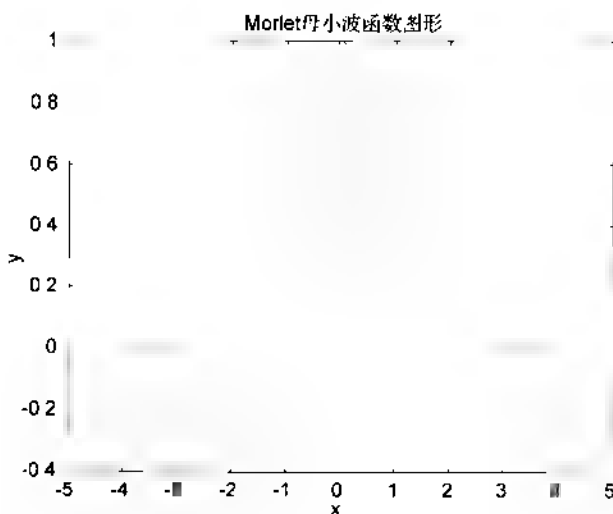


图 23-2 Morlet 母小波基函数

小波神经网络输出层计算公式为

$$y(k) = \sum_{i=1}^l \omega_{ik} h(i) \quad k = 1, 2, \dots, m \quad (23-5)$$

若您对此书内容有任何疑问，可以凭在线交流卡登录 MATLAB 中文论坛与作者交流。

式中, ω_{jk} 为隐含层到输出层权值, $h_i(k)$ 为第 i 个隐含层节点的输出, n 为隐含层节点数; m 为输出层节点数。

小波神经网络权值参数修正算法类似于 BP 神经网络权值修正算法, 采用梯度修正法修正网络的权值和小波基函数参数, 从而使小波神经网络预测输出不断逼近期望输出。小波神经网络修正过程如下。

(1) 计算网络预测误差

$$e = \sum_{k=1}^n y_n(k) - y(k) \quad (23-6)$$

式中, $y_n(k)$ 为期望输出; $y(k)$ 为小波神经网络预测输出。

(2) 根据预测误差 e 修正小波神经网络权值和小波基函数系数

$$\omega_{n+1} = \omega_{n,k} + \Delta\omega_{n,k} \quad (23-7)$$

$$a_{n+1} = a_{n,k} + \Delta a_{n,k} \quad (23-8)$$

$$b_{n+1} = b_{n,k} + \Delta b_{n,k} \quad (23-9)$$

式中, $\Delta\omega_{n,k}$ 、 $\Delta a_{n,k}$ 、 $\Delta b_{n,k}$ 是根据网络预测误差计算得到。

$$\Delta\omega_{n,k} = \eta \frac{\partial e}{\partial \omega_{n,k}} \quad (23-10)$$

$$\Delta a_{n,k} = \eta \frac{\partial e}{\partial a_{n,k}} \quad (23-11)$$

$$\Delta b_{n,k} = \eta \frac{\partial e}{\partial b_{n,k}} \quad (23-12)$$

式中, η 为学习速率。

小波神经网络算法训练步骤如下。

步骤 1: 网络初始化。随机初始化小波函数伸缩因子 a_k 、平移因子 b_k 以及网络连接权重 ω_{jk} 、 ω_{nk} , 设置网络学习速率 η 。

步骤 2: 样本分类。把样本分为训练样本和测试样本, 训练样本用于训练网络, 测试样本用于测试网络预测精度。

步骤 3: 预测输出。把训练样本输入网络, 计算网络预测输出并计算网络输出和期望输出的误差 e 。

步骤 4: 权值修正。根据误差 e 修正网络权值和小波函数参数, 使网络预测值逼近期望值。

步骤 5: 判断算法是否结束, 如没有结束, 返回步骤 3。

23.1.3 交通流量预测

随着交通基础设施建设和智能运输系统的发展, 交通规划和交通诱导已成为交通领域研究的热点。对于交通规划和交通诱导来说, 准确的交通流量预测是其实现的前提和关键。交通流量预测根据时间跨度可以分为长期交通流量预测和短期交通流量预测, 长期交通流量预测以小时、天、月甚至年为时间单位, 是宏观意义上的预测; 短时交通流量预测一般的时间跨度不超过 15 分钟, 是微观意义上的预测。短时交通流量预测是智能运输系统的核心内容, 智能运输系统中多个子系统的功能实现都以其为基础。短时交通流量预测具有高度非线性 and 不确定性等特点, 并且同时间相关性较强, 可以看成是时间序列预测问题, 比较常用的方法包括多

若您对此书内容有任何疑问, 可以凭在线交流卡登录 MATLAB 中文论坛与作者交流。

元线性回归预测、AR 模型预测、ARMA 模型预测、指数平滑预测等。

23.2 模型建立

研究表明,城市交通路网中交通路段上某时刻的交通流量与本路段前几个时段的交通流量有关。并且交通流量具有 24 小时内准周期的特性。根据交通流量的特性设计小波神经网络,该网络分为输入层、隐含层和输出层 3 层。其中,输入层输入为当前时间点的前 n 个时间点的交通流量;隐含层节点由小波函数构成;输出层输出当前时间点的预测交通流量。

首先采集 4 天的交通流量数据,每隔 15 分钟记录一次该段时间内的交通流量,一共记录 384 个时间点的数据,用 3 天共 288 个的交通流量数据训练小波神经网络,最后用训练好的小波神经网络预测第 4 天的交通流量。基于小波神经网络的短时交通流量预测算法流程如图 23-3 所示。

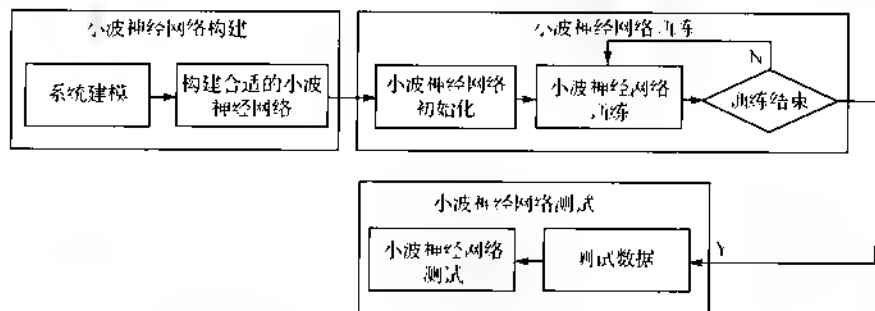


图 23-3 小波神经网络算法流程

小波神经网络构建确定小波神经网络结构,本案例采用的小波神经网络结构为 $4-6-1$,输入层有 4 个节点,表示预测时间节点前 4 个时间点交通流量,隐含层有 6 个节点,输出层有 1 个节点,为网络预测的交通流量。网络权值和小波基函数在参数初始化时随机得到。

小波神经网络训练:用训练数据训练小波神经网络,网络反复训练 100 次。

小波神经网络测试:用训练好的小波神经网络预测短时交通流量,并对预测结果进行分析。

23.3 编程实现

根据小波神经网络原理在 MATLAB 环境中编程实现基于小波神经网络的短时交通流量预测。

23.3.1 小波神经网络初始化

从数据库中下载训练数据和预测数据,初始化小波神经网络结构、权值和小波函数参数,并对训练数据进行归一化处理。其中,input、output 分别为训练输入和输出数据,input test、output test 分别为预测输入和输出数据。

若您对此书内容有任何疑问,可以凭在线交流卡登录 MATLAB 中文论坛与作者交流。

```
% 从数据库中下载数据
load traffic flux input output input_test output_test
```

```
% 网络结构初始化
```

```
M = 4;
```

```
N = 1;
```

```
n = 6;
```

```
% 权值和参数学习率
```

```
lr1 = 0.01;
```

```
lr2 = 0.001;
```

```
maxgen = 100; % 网络迭代学习次数
```

```
% 网络权值初始化
```

```
Wjk = randn(n,M);
```

```
W1j = randn(N,n);
```

```
a = randn(1,n);
```

```
b = randn(1,n);
```

```
% 权值学习增量初始化
```

```
d_Wjk = zeros(n,M);
```

```
d_W1j = zeros(N,n);
```

```
d_a = zeros(1,n);
```

```
d_b = zeros(1,n);
```

```
% 训练数据归一化
```

```
[inputn,inputps] = mapminmax(input');
[outputn,outputps] = mapminmax(output');
inputn = inputn';
outputn = outputn';
```

23.3.2 小波神经网络训练

用训练数据训练小波神经网络,使小波神经网络具有短时交通流量预测能力。

```
% 网络训练
```

```
for i = 1:maxgen
```

```
error(i) = 0; % 记录每次误差
```

```
% 网络训练
```

```
for kk = 1:size(input,1)
```

```
% 提取输入输出数据
```

```
x = inputn(kk,:);
```

```
yqw = outputn(kk,:);
```

```
% 网络预测输出
```

```

for j = 1:n
    for k = 1:M
        net(j) = net(j) + Wjk(j,k) * x(k);
        net_ab(j) = (net(j) - b(j))/a(j);
    end
    temp = mymorlet(net_ab(j));
    for k = 1:N
        y = y + W1j(k,j) * temp;
    end
end

% 误差累积
error(1) = error(1) + sum(abs(yqw - y));

% 权值修正
for j = 1:n
    % 计算 d_W1j(W1j 修正值)
    temp = mymorlet(net_ab(j));
    for k = 1:N
        d_W1j(k,j) = d_W1j(k,j) * (yqw(k) - y(k)) * temp;
    end

    % 计算 d_Wjk(Wjk 修正值)
    temp = d_W1j(temp);
    for k = 1:M
        for l = 1:N
            d_Wjk(j,k) = d_Wjk(j,k) + (yqw(l) - y(l)) * W1j(l,j);
        end
        d_Wjk(j,k) = d_Wjk(j,k) * temp * x(k)/a(j);
    end

    % 计算 d_b(b 修正值)
    for k = 1:N
        d_b(j) = d_b(j) + (yqw(k) - y(k)) * W1j(k,j);
    end
    d_b(j) = d_b(j) * temp/a(j);

    % 计算 d_a(a 修正值)
    for k = 1:N
        d_a(j) = d_a(j) + (yqw(k) - y(k)) * W1j(k,j);
    end
    d_a(j) = d_a(j) * temp * ((net(j) - b(j))/b(j))/a(j);
end

% 权值参数更新

```

若您对此书内容有任何疑问，可以凭在线交流卡登录 MATLAB 中文论坛与作者交流。

```

W1j = W1j - lr1 * d_W1j;
Wjk = Wjk - lr1 * d_Wjk;
b = b - lr2 * d_b;
a = a - lr2 * d_a;

d_Wjk = zeros(n,M);
d_W1j = zeros(N,n);
d_a = zeros(1,n);
d_b = zeros(1,n);

y = zeros(1,N);
net = zeros(1,n);
net_ab = zeros(1,n);

end
end

```

其中, 程序中包含的小波函数 mymorlet 及小波函数偏导数 d_mymorlet 的形式如下:

```

function y = mymorlet(t)
% 该函数计算小波函数输出
% t          input          输入变量
% y          output         输出变量

y = exp(-(t^2)/2) * cos(1.75 * t);

function y = d_mymorlet(t)
% 该函数用于计算小波函数偏导数输出
% t          input          输入变量
% y          output         输出变量

y = -1.75 * sin(1.75 * t) * exp(-(t^2)/2) - t * cos(1.75 * t) * exp(-(t^2)/2);

```

23.3.3 小波神经网络预测

用训练好的小波神经网络预测短时交通流量, 并以图形的形式表示小波神经网络预测结果。

```

% 预测输入归一化
x = mapminmax('apply', input_test', inputps);
x = x';

% 网络预测
for i = 1:92
    x_test = x(1,:);

    for j = 1:1:n
        for k = 1:1:M

```

若您对此书内容有任何疑问, 可以凭在线交流卡登录 MATLAB 中文论坛与作者交流。

```

net(j) = net(j) + Wjk(j,k) * x_test(k);
net_ab(j) = (net(j) - b(j))/a(j);
end
temp = mymorlet(net_ab(j));
for k = 1:N
    y(k) = y(k) + W1j(k,j) * temp;
end
end

yuce(1) = y(k);          % 预测结果记录
y = zeros(1,N);          % 输出节点初始化
net = zeros(1,n);        % 隐含节点初始化
net_ab = zeros(1,n);     % 隐含节点初始化
end

```

% 网络预测反归一化

```
ynn = mapminmax('reverse',yuce,outputps);
```

```
figure(1)
```

```
plot(ynn,'r;')
```

```
hold on
```

```
plot(output_test,'b - -')
```

```
title('预测交通流量','fontsize',12)
```

```
legend('预测交通流量','实际交通流量')
```

```
xlabel('时间点')
```

```
ylabel('交通流量')
```

23.3.4 结果分析

小波神经网络用训练数据进化 100 次,训练过程中神经网络预测误差变化趋势如图 23-4

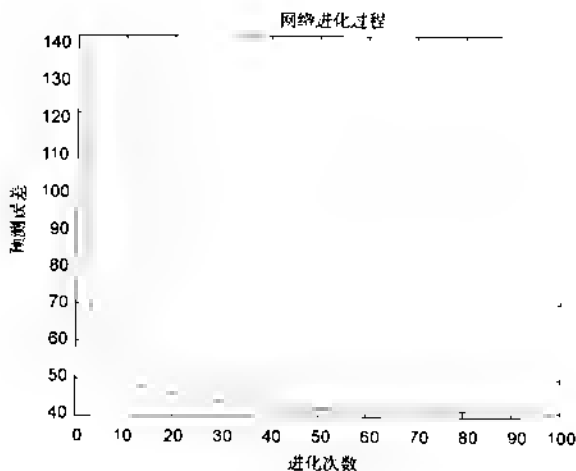


图 23-4 网络进化过程

若您对此书内容有任何疑问,可以凭在线交流卡登录 MATLAB 中文论坛与作者交流。

所示。

用训练好的小波神经网络预测短时交通流量,预测结果与实际交通流量的比较如图 23-5 所示。

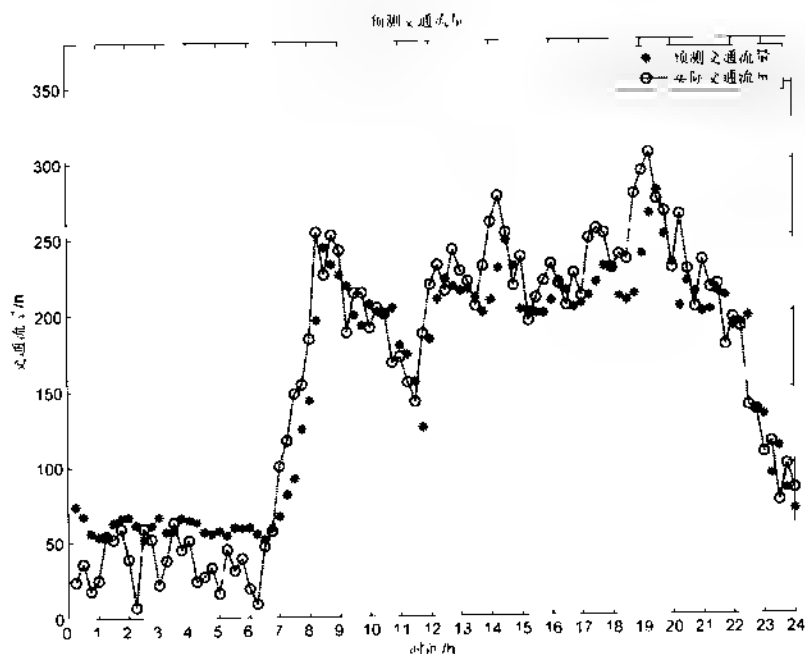


图 23-5 小波神经网络预测与实际情况的比较

从预测结果可以看出,小波神经网络能够比较精确地预测短时交通流量,网络预测值接近期望值。

23.4 案例扩展

小波神经网络的权值和参数修正采用梯度学习算法,进化缓慢并且容易陷入最小,可以采用增加动量项的方法提高网络学习效率,增加动量项的权值和参数修正公式,为

$$\omega_{nk}(t+1) = \omega_{nk}(t) + \Delta\omega_{nk}(t+1) + k * (\omega_{nk}(t) - \omega_{nk}(t-1)) \quad (23-13)$$

$$a_k(t+1) = a_k(t) + \Delta a_k(t+1) + k * (a_k(t) - a_k(t-1)) \quad (23-14)$$

$$b_k(t+1) = b_k(t) + \Delta b_k(t+1) + k * (b_k(t) - b_k(t-1)) \quad (23-15)$$

式中, k 为动量项学习速率。增加动量项的权值学习程序如下:

$$W1j = W1j - lr1 * d_{W1j} + k * (W1j - W1j_2);$$

$$Wjk = Wjk - lr1 * d_{Wjk} + k * (Wjk - Wjk_2);$$

$$b = b - lr2 * d_b + k * (b - b_2);$$

$$a = a - lr2 * d_a + k * (a - a_2);$$

参考文献

- [1] 仲京臣. 基于小波神经网络的故障诊断研究[D]. 青岛: 中国海洋大学, 2004.
- [2] 张正刚. 基于小波神经网络的故障诊断方法研究[D]. 大庆: 大庆石油学院, 2005.
- [3] 葛文谦. 小波神经网络在旋转机械故障诊断中的应用[D]. 秦皇岛: 燕山大学, 2005.
- [4] 周小勇, 叶银忠. 小波分析在故障诊断中的应用[J]. 控制工程, 2006, 13(1): 70-73.
- [5] 陈哲. 一种基于BP算法学习的小波神经网络[J]. 青岛海洋大学学报, 2001, 31(1): 122-128.
- [6] 刘霞. 复杂非线性系统的小波神经网络建模及应用[D]. 大庆: 大庆石油学院, 2005.
- [7] 张国彬. 小波神经网络算法的改进与应用[D]. 福州: 福州大学, 2005.
- [8] 孟维伟. 基于神经网络的交通量预测技术研究[D]. 南京: 南京理工大学, 2006.
- [9] 朱文兴, 龙艳萍, 费磊. 基于RBF神经网络的交通流量预测算法[J]. 山东大学学报, 2007, 37(4): 24-27.

若您对此书内容有任何疑问, 可以凭在线交流卡登录 MATLAB 中文论坛与作者交流。

第 24 章 模糊神经网络的预测算法

——嘉陵江水质评价

24.1 案例背景

24.1.1 模糊数学简介

模糊数学是用来描述、研究和处理事物所具有的模糊特征的数学,“模糊”是指它的研究对象,而“数学”是指它的研究方法。

模糊数学中最基本的概念是隶属度和模糊隶属度函数。其中,隶属度是指元素 u 属于模糊子集 f 的隶属程度,用 $\mu(u)$ 表示,它是一个在 $[0,1]$ 之间的数。 $\mu(u)$ 越接近于 0,表示 u 属于模糊子集 f 的程度越小;越靠近 1,表示 u 属于 f 的程度越大。

模糊隶属度函数是用于定量计算元素隶属度的函数,模糊隶属度函数一般包括三角函数、梯形函数和下态函数等。

24.1.2 T-S 模糊模型

T-S 模糊系统是一种自适应能力很强的模糊系统,该模型不仅能自动更新,而且能不断修正模糊子集的隶属函数。T-S 模糊系统用如下的“if-then”规则形式来定义,在规则为 R 的情况下,模糊推理如下:

$$R: \text{If } x_1 \text{ is } A_1, x_2 \text{ is } A_2, \dots, x_k \text{ is } A_k \text{ then } y = p_1 + p_2 x_1 + \dots + p_k x_k$$

其中, A_i 为模糊系统的模糊集; $p_i (i=1, 2, \dots, k)$ 为模糊系统参数; y_i 为根据模糊规则得到的输出,输入部分(即 if 部分)是模糊的,输出部分(即 then 部分)是确定的,该模糊推理表示输出为输入的线性组合。

假设对于输入量 $x = [x_1, x_2, \dots, x_k]$, 首先根据模糊规则计算各输入变量 x_i 的隶属度。

$$\mu_{A_i} = \exp(-(x_i - c_i)^2 / b_i^2) \quad i=1, 2, \dots, k; t=1, 2, \dots, n \quad (24-1)$$

式中, c_i, b_i 分别为隶属度函数的中心和宽度; k 为输入参数数; n 为模糊子集数。

将各隶属度进行模糊计算,采用模糊算了为连乘算了。

$$\omega_i = \mu_{A_1}(x_1) * \mu_{A_2}(x_2) * \dots * \mu_{A_k}(x_k) \quad i=1, 2, \dots, n \quad (24-2)$$

根据模糊计算结果计算模糊模型的输出值 y 。

$$y = \sum_{i=1}^n \omega_i (p_1 + p_2 x_1 + \dots + p_k x_k) / \sum_{i=1}^n \omega_i \quad (24-3)$$

24.1.3 T-S 模糊神经网络

T-S 模糊神经网络分为输入层、模糊化层、模糊规则计算层和输出层等四层。输入层与输入向量 x 连接,节点数与输入向量的维数相同。模糊化层采用隶属度函数(24-1),对输入

值进行模糊化得到模糊隶属度值 μ 。模糊规则计算层采用模糊连乘公式(24-2)计算得到 ω 。输出层采用公式(24-3)计算模糊神经网络的输出。

模糊神经网络的学习算法如下。

(1) 误差计算

$$e = \frac{1}{2} (y_d - y_c)^2 \quad (24-4)$$

式中, y_d 是网络期望输出; y_c 是网络实际输出; e 为期望输出和实际输出的误差。

(2) 系数修正

$$p(k) = p(k-1) - \alpha \frac{\partial e}{\partial p} \quad (24-5)$$

$$\frac{\partial e}{\partial p} = (y_d - y_c) \omega \sum_{i=1}^m \omega'_i \cdot x_i \quad (24-6)$$

式中, p 为神经网络系数; α 为网络学习率; x_i 为网络输入参数; ω'_i 为输入参数隶属度连乘积。

(3) 参数修正

$$c_i(k) = c_i(k-1) - \beta \frac{\partial e}{\partial c_i} \quad (24-7)$$

$$b'(k) = b'(k-1) - \beta \frac{\partial e}{\partial b'} \quad (24-8)$$

式中, c_i 、 b' 分别为隶属度函数的中心和宽度。

24.1.4 嘉陵江水质评价

水质评价是根据水质评价标准和采样水样本各项指标值,通过一定的数学模型计算确定采样水样本的水质等级。水质评价的目的是能够判断出采样水样本的污染等级,为污染防治和水源保护提供依据。

水体水质的分析指标有很多项,主要包括氨氮、溶解氧、化学需氧量、高锰酸盐指数、总磷和总氮六项指标。其中,氨氮是有机物有氧分解的产物,可导致水富营养化现象产生,是水体富营养化的指标。化学需氧量是采用强氧化剂铬酸钾处理水样,消耗的氧化剂量是水中还原性物质多少的指标。高锰酸钾指数同化学需氧量相似,也是反映有机污染的综合指标。溶解氧是溶解在水中的氧,是反映水体自净能力的指标。总磷是水体中磷的浓度含量,是衡量水体富营养化的指标。总氮是水体中氮的含量,也是衡量水体富营养化的指标。各项指标数值对应水质等级如表24-1(地表水环境质量标准)所列。

表 24-1 地表水环境质量标准

分 类	I 类	II 类	III 类	IV 类	V 类
氨氮 (mg·L ⁻¹) ≤	0.15	0.5	1.0	1.5	2.0
溶解氧 (mg·L ⁻¹) ≥	7.5	6.5		3.0	2.0
化学需氧量 (mg·L ⁻¹) ≤	15	1	2	3	40
高锰酸盐指数 (mg·L ⁻¹) ≤	2.0	4.0	6.0	10	15
总磷 (mg·L ⁻¹) ≤	0.02	0.05	0.2	0.3	0.40
总氮 (mg·L ⁻¹) ≤	0.20	0.5	0	1.5	2.0

若您对此书内容有任何疑问,可以凭在线交流卡登录 MATLAB 中文论坛与作者交流。

采取嘉陵江水体样本对嘉陵江水质进行评价,采样取水口为重庆市嘉陵江上游红土水厂、中游高家花园水厂和下游小溪沟水厂,采样时间跨度为 2003 年到 2008 年,采样频率为每季度一次。采样水体各项指标变化趋势如图 24-1 24-6 所示。

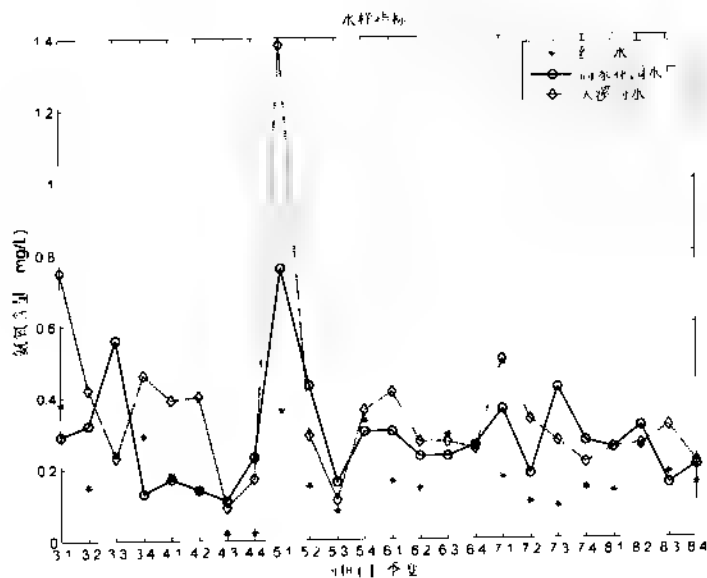


图 24-1 氨氮含量

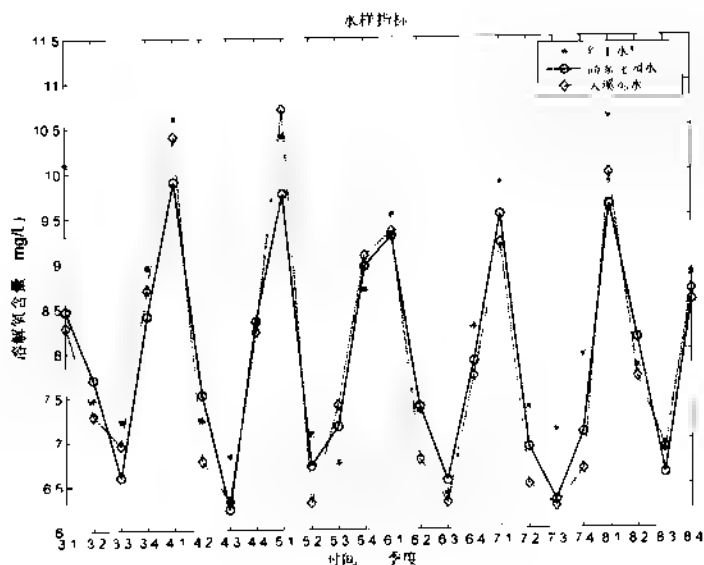


图 24-2 溶解氧含量

从图中可以看出,从 2003 年开始,嘉陵江上游、中游、下游各项水质分析指标有所好转,水污染情况得到改善。总体来说,上游红土水厂采样水质优于中游高家花园水厂采样水质,中游高家花园水厂采样水质优于下游小溪沟水厂采样水质。

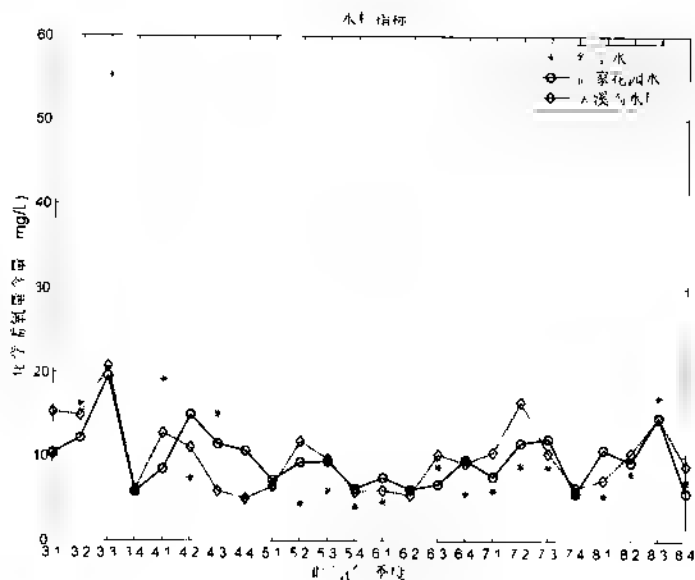


图 24-3 化学需氧量含量

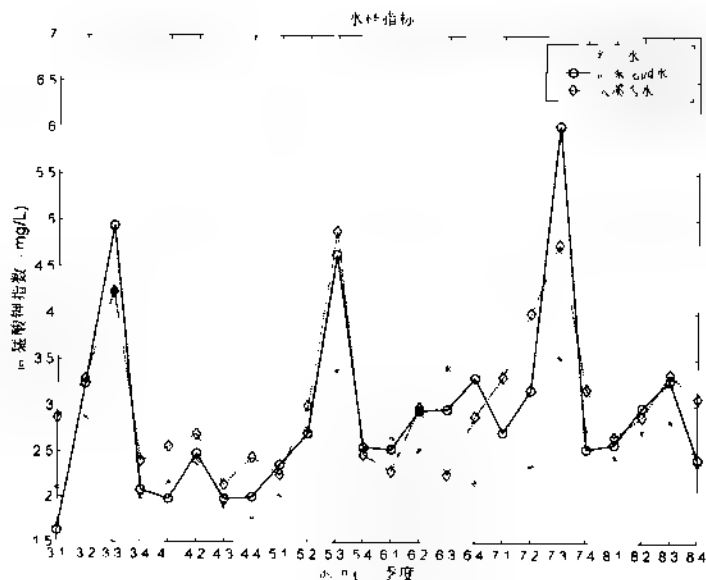


图 24-4 高锰酸钾指数

若您对此书内容有任何疑问，可以在线交流卡登录 MATLAB 中文论坛与作者交流。

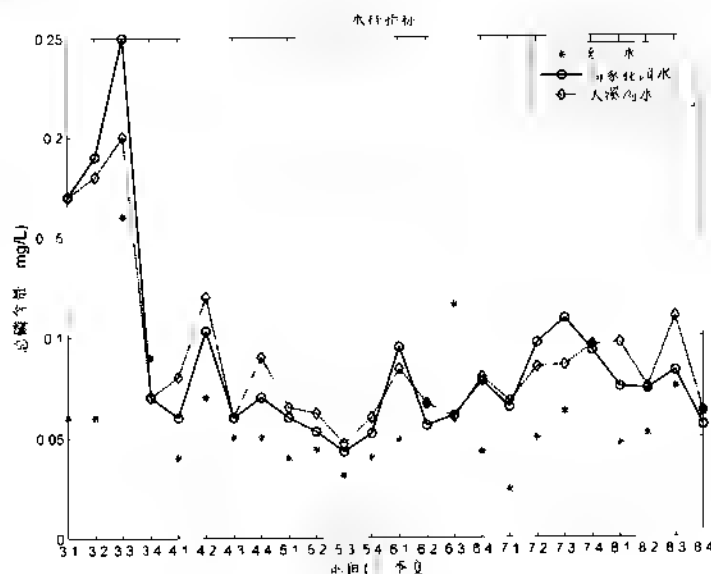


图 24-5 总磷含量

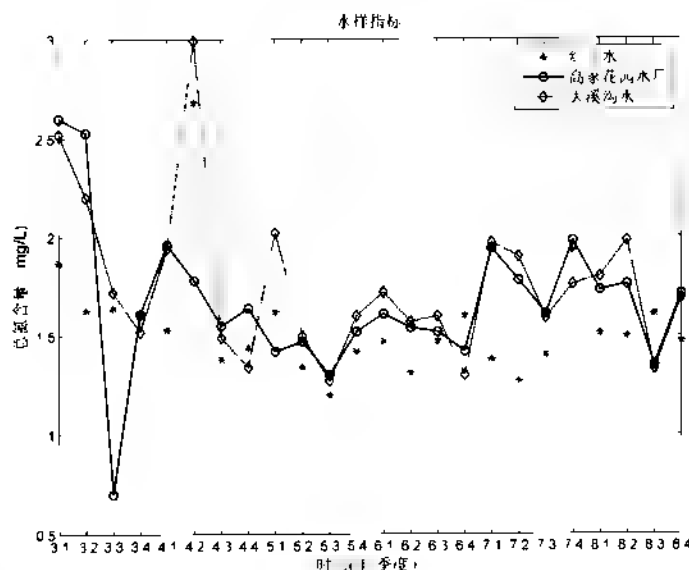


图 24-6 总氮含量

若您对此书内容有任何疑问，可以凭在线交流卡登录 MATLAB 中文论坛与作者交流。

24.2 模型建立

基于 T-S 模糊神经网络的嘉陵江水质评价算法流程如图 24-7 所示。其中，模糊神经网络构建根据训练样本维数确定模糊神经网络输入、输出节点数、模糊隶属度函数个数，由于输入数据为 6 维，输出数据为 1 维，所以模糊神经网络结构为 6-12-1，即有 12 个隶属度函数，选择 7 组系数 $p_0 \sim p_6$ ，模糊隶属度函数中心和宽度 c 和 b 随机得到。

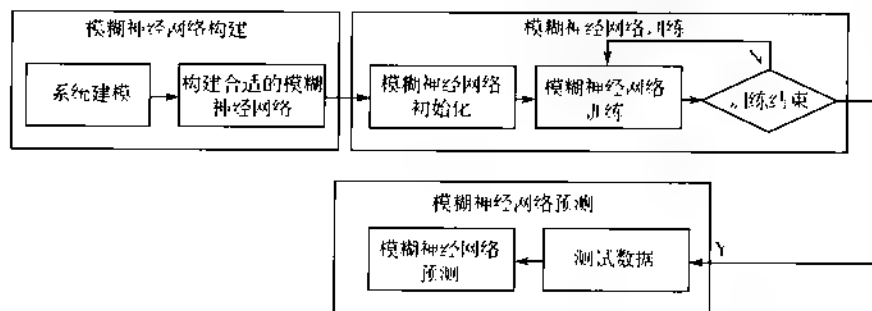


图 24-7 模糊神经网络水质评价算法流程

模糊神经网络训练用训练数据训练模糊神经网络,由于水质评价真实数据比较难找,所以采用了等隔均匀分布方式内插水质指标标准数据生成样本的方式来生成训练样本,采用的水质指标标准数据来自表 24-1,网络反复训练 100 次。

模糊神经网络预测用训练好的模糊神经网络评价嘉陵江采样水水质等级。

24.3 编程实现

根据模糊神经网络原理,在 MATLAB 中编程实现基于模糊神经网络的水质评价算法。

24.3.1 网络初始化

根据训练输入-输出数据维数确定网络结构,初始化模糊神经网络隶属度函数参数和系数,归一化训练数据。从数据库文件 data1.mat 中下载训练数据,其中 input_train 和 output_train 为模糊神经网络训练数据,input_test 和 output_test 为模糊神经网络测试数据。

```

% 下载数据
load data1 input_train output_train input_test output_test

% 网络结构
I = 6;           % 输入节点
M = 12;          % 输出节点
O = 1;           % 隐含节点

maxgen = 100;     % 迭代次数

% 初始化模糊神经网络参数
p0 = 0.3 * ones(M,1); p0_1 = p0, p0_2 = p0_1;
p1 = 0.3 * ones(M,1); p1_1 = p1, p1_2 = p1_1;
p2 = 0.3 * ones(M,1); p2_1 = p2, p2_2 = p2_1;
p3 = 0.3 * ones(M,1); p3_1 = p3, p3_2 = p3_1;
p4 = 0.3 * ones(M,1); p4_1 = p4, p4_2 = p4_1;
p5 = 0.3 * ones(M,1); p5_1 = p5, p5_2 = p5_1;
p6 = 0.3 * ones(M,1); p6_1 = p6, p6_2 = p6_1;

```

```
% 初始化模糊隶属度参数
c = 1 + randi(M,I); c_1 = c; c_2 = c_1;
b = 1 + randi(M,I); b_1 = b; b_2 = b_1;

% 训练数据归一化
[inputn, inputps] = mapminmax(input_train);
[outputn, outputps] = mapminmax(output_train);
```

24.3.2 模糊神经网络训练

用训练样本训练模糊神经网络。

```
[n,m] = size(input_train);

% 开始迭代
for i = 1:maxgen % maxgen 最大迭代次数
    for k = 1:m % m 样本个数
        % 提取训练样本
        x = inputn(:,k);

        % 输入参数模糊化
        for i = 1:I
            for j = 1:M
                u(i,j) = exp(-(x(i) - c(j,1))^2 / b(j,1));
            end
        end

        % 模糊隶属度计算
        for i = 1:M
            w(i) = u(1,i) * u(2,i) * u(3,i) * u(4,i) * u(5,i) * u(6,i);
        end
        ddw = sum(w);

        % 输出计算
        for i = 1:M
            y1(i) = p0_1(i) + p1_1(i) * x(1) + p2_1(i) * x(2) + p3_1(i) * x(3) + p4_1(i) * x(4) + p5_1(i) * x(5) + p6_1(i) * x(6);
        end
        addyw = 0;
        addyw = y1 * w';
        yn(k) = addyw / ddw;
        e(k) = outputn(k) - yn(k);

        % 系数 p 修正值计算
        d p = zeros(M,1);
```

若您对此书内容有任何疑问，可以凭在线交流卡登录 MATLAB 中文论坛与作者交流。

```

for i=1:M
    d_p(1)=xite*e(k)*w(1)/addw;
end

% b 的修正值计算
d_b=0*b_1,
for i=1:M
    for j=1:I
        d_b(1,j)=xite*e(k)*(y1(1)*addw/addwy)*(x(j)-c(1,j))^2*w(1)/(b(1,j)^2*
addw2),
    end
end

% c 的修正值计算
for i=1:M
    for j=1:I
        d_c(1,j)=xite*e(k)*(y1(1)*addw/addwy)*2*(x(j)-c(1,j))*w(1)/(b(1,j)*
addw2);
    end
end

% 系数修正
p0=p0_1+d_p;
p1=p1_1+d_p*x(1);
p2=p2_1+d_p*x(2);
p3=p3_1+d_p*x(3);
p4=p4_1+d_p*x(4);
p5=p5_1+d_p*x(5);
p6=p6_1+d_p*x(6);

% 隶属度参数修正
b=b_1+d_b;
c=c_1+d_c;
end
end

```

24.3.3 模糊神经网络水质评价

用训练好的模糊神经网络评价嘉陵江水质,各采样口水样指标值存储在 data2.mat 文件中,根据网络预测值得到水质等级指标。预测值小于 1.5 时水质等级为 1 级,预测值在 1.5~2.5 时水质等级为 2 级,预测值在 2.5~3.5 时水质等级为 3 级,预测值在 3.5~4.5 时水质等级为 4 级,预测值大于 4.5 时水质等级为 5 级。

% 下载数据,hgsc 为红工水厂水质指标,gjhy 为高家花园水质指标,dxg 为大溪沟水质指标
load data2 hgsc gjhy dxg

若您对此书内容有任何疑问,可以凭在线交流卡登录 MATLAB 中文论坛与作者交流。

----- 红 工 水 厂 水 样 指 标 评 价 -----

```
zssz = hgsc;
```

```
% 输入数据归一化
```

```
inputn test mapminmax('apply',zssz,inputps);
```

```
[n,m] = size(zssz);
```

```
% 网络预测
```

```
for k = 1:1:m
```

```
    x = inputn test(:,k);
```

```
    % 输入参数模糊化
```

```
    for i = 1:I
```

```
        for j = 1:M
```

```
            u(i,j) = exp(-(x(i) - c(j,i))^2/b(j,i)),
```

```
        end
```

```
    end
```

```
    for i = 1:M
```

```
        w(i) = u(1,i) * u(2,i) * u(3,i) * u(4,i) * u(5,i) * u(6,i);
```

```
    end
```

```
    addw = 0;
```

```
    for i = 1:M
```

```
        addw = addw + w(i);
```

```
    end
```

```
    % 计算输出
```

```
    for i = 1:M
```

```
        yi(i) = p0_1(i) + p1_1(i) * x(1) + p2_1(i) * x(2) + p3_1(i) * x(3) + p4_1(i) * x(4) + p5_1(i) * x(5) + p6_1(i) * x(6),
```

```
    end
```

```
    addyw = 0;
```

```
    for i = 1:M
```

```
        addyw = addyw + yi(i) * w(i);
```

```
    end
```

```
% 网络预测值
```

```
szzb(k) = addyw / addw;
```

```
end
```

```
% 预测值反归一化
```

```
szzbz1 = mapminmax('reverse',szzb,outputps);
```

```
% 根据预测值确定水质等级
```

```

for i = 1:m
    if szzbz1(i) <= 1.5
        szpj1(i) = 1;
    elseif szzbz1(i) > 1.5 && szzbz1(i) <= 2.5
        szpj1(i) = 2;
    elseif szzbz1(i) > 2.5 && szzbz1(i) <= 3.5
        szpj1(i) = 3;
    elseif szzbz1(i) > 3.5 && szzbz1(i) <= 4.5
        szpj1(i) = 4;
    else
        szpj1(i) = 5;
    end
end
end

```

24.3.4 结果分析

用训练好的模糊神经网络评价嘉陵江各取水口2003年到2008年每季度采样水水质等级,网络评价结果如图24-8所示,各取水口水样评价等级如表24-2所列。

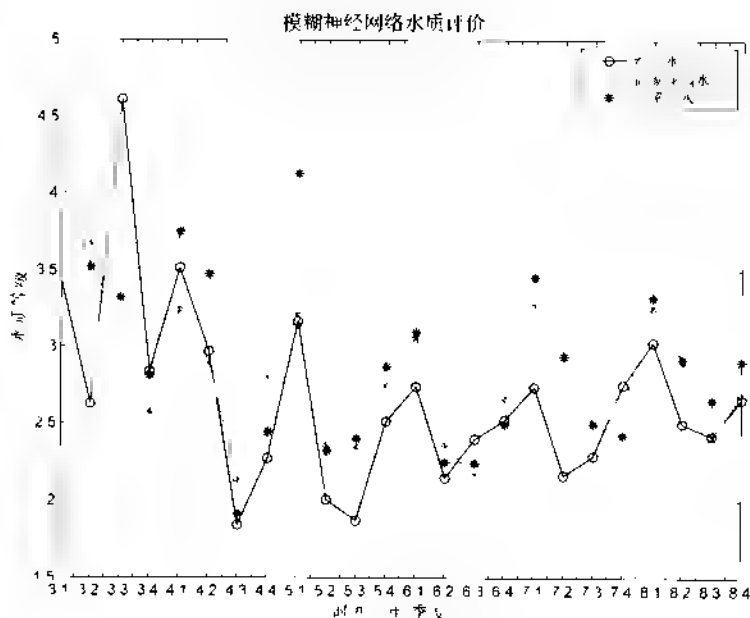


图 24-8 模糊神经网络水质评价

表 24-2 水样评价等级

时间	2003.1	2003.2	2003.3	2003.4	2004.1	2004.2	2004.3	2004.4	2005.1	2005.2	2005.3	2005.4
红水	1	3		3	4	3	2	2	3		2	3
高家花洞水	1	4	3		3		2	3	3	2	2	
大溪沟水	4	4	3	3	4	3	2	2	4	2	2	3

若您对此书内容有任何疑问,可以凭在线交流卡登录 MATLAB 中文论坛与作者交流。

续表 24-2

子 类	2006.1	2006.2	2006.3	2006.4	2006.5	2006.6	2006.7	2006.8	2006.9	2006.10	2006.11	2006.12
地表水	3	3	2	3	3	2	3	3	3	2	2	3
地下水	3	2	2	3	3	3	3	3	3	3	2	3
内河水	3	2	2	2	3	3	3	3	3	3	3	3

从水质评价等级可以看出嘉陵江上、中、下游三个取水口水样水质在2003年到2004年间有一定改善,近几年变化不大,基本维持在2、3级左右。总体来说,上游水质评价结果优于下游水质评价结果,网络评价水质等级变化趋势同真实指标数据变化趋势相符,说明了模糊神经网络评价的有效性。

24.4 案例扩展

模糊神经网络是按照模糊系统原理建立的,网络中各个节点及其参数均有一定的物理含义,在网络初始化的时候,这些参数的初始值可以根据系统的模糊或定性的知识来确定,这样网络能够很快收敛。在本案例中,由于训练数据由《地表水评价标准》均匀线性内插得到,并且根据表达式可以看到,输入数据对网络输出的影响都是相同的,所以系数 P 的初始值都相同,隶属度函数 μ 、随机初始化得到。

参考文献

- [1] 杜刚.改进的BP神经网络在地下水水质评价中的应用[D].上海:上海师范大学,2007.
- [2] 邹美玲.基于人工神经网络的济南市北沙河环境综合整治研究[D].济南:山东师范大学,2008.
- [3] 张伟.基于人工神经网络吉林市地下水水质现状评价及预测研究[D].长春:吉林大学,2007.
- [4] 张伟.基于神经网络的水质评价与预测的探索[D].天津:天津大学,2007.
- [5] 王海霞.模糊神经网络在水质评价中的作用[D].重庆:重庆大学,2002.
- [6] 宋国浩.人工神经网络在水质模拟与水质评价中的应用研究[D].重庆:重庆大学,2002.
- [7] 周忠寿.基于T-S模型的模糊神经网络在水质评价中的应用[D].南京:河海大学,2007.

第 25 章 广义神经网络的聚类算法

——网络入侵聚类

25.1 案例背景

25.1.1 FCM 聚类算法

聚类方法是数据挖掘中经常使用的方法,它将物理的或抽象的对象分为几个种群,每个种群内部个体间具有较高的相似性,不同群体内部间个体相似性较低。模糊、均值聚类算法、FCM(Fuzzy C-Mean)是用求隶属度确定每个元素属于某个类别程度的一种聚类算法,FCM 算法把 n 个数据向量 x_i 分为 c 个模糊类,并求每类的聚类中心,从而使模糊目标函数最小,模糊聚类目标函数为

$$J = \sum_{i=1}^n \sum_{j=1}^c (u_{ij})^m \|x_i - \tau_j\|^2 \quad (25-1)$$

式中, u_{ij} 为个体 x_i 属于第 j 类的模糊隶属度; m 为模糊权重指数; τ_j 为第 j 类的聚类中心; u 和 v 的计算公式为

$$u_{ij} = \frac{\left[\sum_{k=1}^c \frac{\|x_i - \tau_k\|^{\frac{2}{m-1}}}{\|x_i - \tau_k\|^{\frac{2}{m-1}} + \frac{\|x_i - \tau_j\|^{\frac{2}{m-1}}}{\|x_i - \tau_j\|^{\frac{2}{m-1}}}} \right]^{-1}}{\left[\sum_{k=1}^c \frac{\|x_i - \tau_k\|^{\frac{2}{m-1}}}{\|x_i - \tau_k\|^{\frac{2}{m-1}} + \frac{\|x_i - \tau_j\|^{\frac{2}{m-1}}}{\|x_i - \tau_j\|^{\frac{2}{m-1}}}} \right]^{-1} + \frac{\|x_i - \tau_j\|^{\frac{2}{m-1}}}{\|x_i - \tau_j\|^{\frac{2}{m-1}}}} \quad \begin{cases} 1 & \|x_i - \tau_j\| = 0 \text{ 且 } k=j \\ 0 & \|x_i - \tau_j\| = 0 \text{ 且 } k \neq j \end{cases} \quad (25-2)$$

$$\tau_j = \frac{\sum_{i=1}^n u_{ij}^m x_i}{\sum_{i=1}^n u_{ij}^m} \quad (25-3)$$

FCM 聚类算法迭代过程如下:

步骤 1: 给定类别数 c , 模糊权重指数 m 。

步骤 2: 初始聚类中心 τ 。

步骤 3: 根据式(25-2)计算模糊隶属度矩阵 u 。

步骤 4: 根据式(25-3)计算每类中心 τ 。

步骤 5: 根据式(25-1)计算模糊聚类目标值,判断是否满足结束条件,满足则算法终止,否则返回步骤 3。

FCM 算法最终得到了模糊隶属度矩阵 u , 个体根据隶属度矩阵每列最大元素位置判断个体所属类别。

25.1.2 广义神经网络

广义回归神经网络是径向基函数神经网络的一个分支,是一种基于非线性回归理论的前

馈式神经网络,广义神经网络的详细介绍参见第8章。

25.1.3 网络入侵检测

网络入侵是指试图破坏计算机和网络系统资源完整性、机密性或可用性的行为。其中,完整性是指数据未经授权不能改变的特性;机密性是指信息不泄露给非授权用户、实体或过程,或供其利用的特性;可用性是可被授权实体访问并按要求使用的特性。入侵检测是通过计算机网络或计算机系统若干关键点搜集信息并对其进行分析,从中发现网络或系统中是否有违反安全策略的行为或入侵现象。

常规的入侵检测方法可以按检测对象、检测方法和实时性等方面进行分类。其中,按检测对象可以分为基于主机的入侵检测系统、基于网络的入侵检测系统和混合型入侵检测系统;按检测方法可以分为误用检测和异常检测;按定时性可以分为定时系统和实时系统。近年来,研究人员又提出了一些新的入侵检测方法,比如基于归纳学习的入侵检测方法、基于数据挖掘的入侵检测方法、基于神经网络的入侵检测方法、基于免疫机理的入侵检测方法和基于代理的入侵检测方法等。其中,基于数据挖掘的入侵检测方法是采用数据挖掘中的关联分析、序列模式分析、分类分析或聚类分析来处理数据,从中抽取大量隐藏安全信息,抽象出用于判断和比较的模型,然后利用模式识别入侵行为。

25.2 模型建立

模糊聚类虽然能够对数据聚类挖掘,但是由于网络入侵特征数据维数较多,不同入侵类别间的数据差别较小,不少入侵模式不能被准确分类。本案例采用结合模糊聚类和广义神经网络回归的聚类算法对入侵数据进行分类,算法的流程如图 25-1 所示。

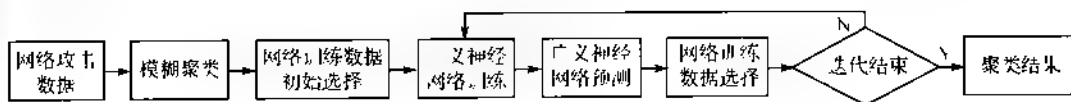


图 25-1 算法流程

算法流程中各个模块的作用如下。

模糊聚类模块用模糊聚类算法把入侵数据分为 n 类,并得到每类的聚类中心和个体模糊隶属度矩阵 u 。

网络训练数据初始选择模块根据模糊聚类的结果选择最靠近每类中心的样本作为广义神经网络聚类训练样本。首先求每类的类内均值 $\text{mean}(i, 1, 2, \dots, n)$,然后求解每类中所有样本 X 到中心值 $\text{mean}(i, 1, 2, \dots, n)$ 的距离矩阵 $\text{ecent}(i, 1, 2, \dots, n)$,从距离矩阵 $\text{ecent}(i, 1, 2, \dots, n)$ 中选择距离最小的 m 个样本作为一组,设定其对应的网络输出为 z 。这样就得到了 $n \times m$ 组训练数据,其输入数据为网络入侵特征数据,输出数据为该入侵行为所属入侵类别。

广义神经网络训练模块用训练数据训练广义神经网络。

广义神经网络预测模块用训练好的网络预测所有输入样本数据 X 的输出序列 Y 。

网络训练数据选择模块根据预测输出把入侵数据重新分为 n 类,并从中找出最靠近每类中心值的样本作为训练样本。首先按照网络预测输出序列 Y 把样本数据 X 分为 n 类,然后求

出每类内所有样本平均值 $\text{mean}(z = 1, 2, \dots, n)$, 求解出所有样本 X 到中心值 $\text{mean}(z = 1, 2, \dots, n)$ 的距离矩阵 $\text{ecent}(z = 1, 2, \dots, n)$, 从距离矩阵 $\text{ecent}(z = 1, 2, \dots, n)$ 选择距离最小的 m 个样本作为一组, 设定其对应的网络输出为 z 。这样再次得到了 $n \times m$ 组网络训练数据, 其输入数据为网络入侵提取数据, 输出数据为该个体所属入侵类别。

本案例的数据来自 5 种网络入侵数据, 算法的目的是能够对这 5 种入侵数据进行有效聚类。

25.3 编程实现

根据 FCM 聚类算法和广义神经网络原理, 在 MATLAB 中编程实现基于神经网络的聚类算法, 用神经网络对 5 种网络入侵数据进行聚类, 以达到分类 5 种网络入侵数据的目的。

25.3.1 MATLAB 函数介绍

本案例中使用了模糊聚类函数 $\text{fcm}()$ 、广义神经网络训练函数 $\text{newgrnn}()$ 和预测函数 $\text{sim}()$, 这三个函数的形式如下。

1. fcm : 模糊聚类函数

函数功能: 对数据进行模糊聚类。

函数形式: $[\text{CENTER}, \text{U}, \text{OBJ_FCN}] = \text{fcm}(\text{DATA}, \text{N_CLUSTER})$

其中, DATA 指待聚类数据, N_CLUSTER 指聚类类别数目; CENTER 指聚类中心; U 指样本隶属度矩阵; OBJ_FCN 指聚类目标函数值。

2. newgrnn : 广义神经网络训练函数

函数功能: 用训练数据训练广义神经网络。

函数形式: $\text{net} = \text{newgrnn}(\text{P}, \text{T}, \text{SPREAD})$

其中, P 指训练输入数据; T 指训练输出数据; SPREAD 指网络节点密度; net 指训练好的广义神经网络。

3. sim : 广义神经网络预测函数

函数功能: 用训练好的广义神经网络预测输出。

函数形式: $\text{Y} = \text{sim}(\text{net}, \text{P})$

其中, net 指训练好的网络; P 指网络输入; Y 指预测输出。

25.3.2 模糊聚类

用 MATLAB 中 FCM 函数聚类网络入侵数据, 由于有 5 类入侵模式, 所以把数据分为 5 类。入侵数据和入侵类别都存储在 netattack.mat 文件中, 其中, 入侵数据在 1 到 38 列, 入侵类别在第 39 列。

```
% 数据下载
```

```
load netattack;
```

```
P1 = netattack;
```

```
T1 = P1(:, 39)';
```

```
% 入侵模式类别
```

若您对此书内容有任何疑问, 可以凭在线交流卡登录 MATLAB 中文论坛与作者交流。

```

P1(:,39) = []; % 删除类别列

% 入侵数据维数
[R1,C1] = size(P1);
csum = 20; % 每类提取数据多少

% 模糊聚类
data = P1;

% data 为待聚类数据,center 为聚类中心,U 为模糊隶属度,obj_fcn 为模糊聚类目标
[center,U,obj_fcn] = fcm(data,5);

% 利用聚类结果对数据分类
for i = 1:R1
    [value,idx] = max(U(:,i));
    a1(i) = idx;
end

% 模糊聚类结果统计
Confusion_Matrix_FCM = zeros(6,6);
Confusion_Matrix_FCM(1,:) = [0,5];
Confusion_Matrix_FCM(:,1) = [0,5]';
for nf = 1,5
    for nc = 1,5
        Confusion_Matrix_FCM(nf + 1,nc + 1) = length(find(a1(find(T1 == nf)) == nc));
    end
end
end

```

25.3.3 训练数据初始选择

根据模糊聚类结果,从每一类中选择最靠近类内中心的 20 组数据作为神经网络训练数据。

```

% 根据聚类结果对数据分类,找出每类的均值中心
cent1 = P1(find(a1 == 1),:);cent1 = mean(cent1);
cent2 = P1(find(a1 == 2),:);cent2 = mean(cent2);
cent3 = P1(find(a1 == 3),:);cent3 = mean(cent3);
cent4 = P1(find(a1 == 4),:);cent4 = mean(cent4);
cent5 = P1(find(a1 == 5),:);cent5 = mean(cent5);

```

```

% 计算类内个体同均值中心距离
for n = 1:R1;
    ecent1(n) = norm(P1(n,:) - cent1);
    ecent2(n) = norm(P1(n,:) - cent2);
    ecent3(n) = norm(P1(n,:) - cent3);
    ecent4(n) = norm(P1(n,:) - cent4);

```

```

    ecent5(n) = norm(P1(n,:), cent5);
end

```

% 从每类中选择 20 个离均值中心最近个体构成神经网络训练数据

```

for n = 1:csun
    [va me1] = min(ecent1);
    [va me2] = min(ecent2);
    [va me3] = min(ecent3);
    [va me4] = min(ecent4);
    [va me5] = min(ecent5);
    ecnt1(n,:) = P1(me1(1),:); ecnt1(me1(1)) = []; tc1(n) = 1;
    ecnt2(n,:) = P1(me2(1),:); ecnt2(me2(1)) = []; tc2(n) = 2;
    ecnt3(n,:) = P1(me3(1),:); ecnt3(me3(1)) = []; tc3(n) = 3;
    ecnt4(n,:) = P1(me4(1),:); ecnt4(me4(1)) = []; tc4(n) = 4;
    ecnt5(n,:) = P1(me5(1),:); ecnt5(me5(1)) = []; tc5(n) = 5;
end

P2 = [ecnt1; ecnt2; ecnt3; ecnt4; ecnt5], T2 = [tc1; tc2; tc3; tc4; tc5];

```

25.3.4 广义神经网络聚类

先用训练数据训练广义神经网络,使网络具有入侵模式分类能力,然后用训练好的广义神经网络预测样本所属类别,并根据预测结果对样本重新分类,其中,预测结果小于 1.5 的为第 1 类,在 1.5~2.5 的为第 2 类,在 2.5~3.5 的为第 3 类,在 3.5~4.5 的为第 4 类,大于 4.5 的为第 5 类。最后根据样本重新分类结果计算每类中心,并重新选择离中心最近的数据作为网络训练数据。按上述步骤反复迭代聚类。

% 迭代聚类

```
for nit = 1:10
```

```
    % ----- 广义神经网络聚类 -----
```

```
    % 网络训练
```

```
    net = newgrnn(P2', T2, 50);
```

```
    % 网络预测
```

```
    a2 = sim(net, P1'); 
```

```
    % 根据预测结果分类
```

```
    a2(find(a2 <= 1.5)) = 1;
```

```
    a2(find(a2 > 1.5 & a2 <= 2.5)) = 2;
```

```
    a2(find(a2 > 2.5 & a2 <= 3.5)) = 3;
```

```
    a2(find(a2 > 3.5 & a2 <= 4.5)) = 4;
```

```
    a2(find(a2 > 4.5)) = 5;
```

```
    % ----- 训练样本重新选择 -----
```

若您对此书内容有任何疑问,可以凭在线交流卡登录 MATLAB 中文论坛与作者交流


```
% 计算每类中心
cent1 = P1(find(a2 == 1),:);cent1 = mean(cent1);
cent2 = P1(find(a2 == 2),:);cent2 = mean(cent2);
cent3 = P1(find(a2 == 3),:);cent3 = mean(cent3);
cent4 = P1(find(a2 == 4),:);cent4 = mean(cent4);
cent5 = P1(find(a2 == 5),:);cent5 = mean(cent5);

% 计算类内样本到中心距离
for n = 1:R1
    ecent1(n) = norm(P1(n,:) - cent1);
    ecent2(n) = norm(P1(n,:) - cent2);
    ecent3(n) = norm(P1(n,:) - cent3);
    ecent4(n) = norm(P1(n,:) - cent4);
    ecent5(n) = norm(P1(n,:) - cent5);
end

% 根据距离重新选择训练数据
for n = 1:csum
    [va me1] = min(ecent1);
    [va me2] = min(ecent2);
    [va me3] = min(ecent3);
    [va me4] = min(ecent4);
    [va me5] = min(ecent5);
    ecnt1(n,:) = P1(me1(1),:);ecnt1(me1(1)) = [];tc1(n) = 1;
    ecnt2(n,:) = P1(me2(1),:);ecnt2(me2(1)) = [];tc2(n) = 2;
    ecnt3(n,:) = P1(me3(1),:);ecnt3(me3(1)) = [];tc3(n) = 3;
    ecnt4(n,:) = P1(me4(1),:);ecnt4(me4(1)) = [];tc4(n) = 4;
    ecnt5(n,:) = P1(me5(1),:);ecnt5(me5(1)) = [];tc5(n) = 5;
end

p2 = [ecnt1;ecnt2;ecnt3;ecnt4;ecnt5];T2 = [tc1;tc2;tc3;tc4;tc5];

end
```

25.3.5 结果统计

统计广义神经网络聚类的每类样本在实际类别中的分布数量。

```
% 结果统计
Confusion_Matrix_GRNN = zeros(6,6);
Confusion_Matrix_GRNN(1,:) = [0 5];
Confusion_Matrix_GRNN(:,1) = [0;5]';
% a2 为网络预测分类,T1 是实际分类
for nf = 1:5
    for nc = 1:5
        Confusion_Matrix_GRNN(nf + 1,nc + 1) = length(find(a2(find(T1 == nf)) == nc));
```

```
end
end
```

算法反复计算10次,最后得到的聚类结果及两种聚类方法的比较如表25-1所列。其中,每一行均表示聚类算法得到每类样本在实际各入侵类别中的分布数量。

表 25-1 聚类结果比较

入侵类别	模糊聚类					广义神经网络模糊聚类				
	聚类结果1	聚类结果2	聚类结果3	聚类结果4	聚类结果5	聚类结果1	聚类结果2	聚类结果3	聚类结果4	聚类结果5
实际入侵类别1	0	21	332	14			7	34	16	
实际入侵类别2	0	0			209			0	0	209
实际入侵类别3	0	0	0	0	13	39	2			8
实际入侵类别4	0	0		0	68	68	0	0		
实际入侵类别5	0	0	0	0	2	2	0	0		

从表25-1中可以看出,对于网络入侵数据,模糊聚类没有实现对数据的有效分类,聚类结果没有把类别2到类别5样本区分开来,广义神经网络模糊聚类有效分类了类别1和类别2的样本,类别3到类别5没有有效分类,但是同模糊聚类相比,聚类结果有所改善。

25.4 案例扩展

本案例结合了模糊聚类的无导师聚类和广义神经网络的有导师学习功能完成了对未知网络入侵数据的聚类,广义神经网络所起的作用为训练后分类所有入侵样本。除了广义神经网络以外,还可以选择BP神经网络,RBF神经网络等。虽然两种方法结合的分类效果比模糊聚类要好,但是还应该看到,该方法没有实现所有样本有效分类,在第21章中将继续探讨网络入侵聚类问题。

参考文献

- [1] 丁敏. 分类属性数据聚类算法研究[D]. 镇江: 江苏大学, 2008.
- [2] 秦翠芒. 基于RBF神经网络的入侵检测技术研究[D]. 太原: 中北大学, 2008.
- [3] 曹金宇. 基于SOM神经网络和K-均值聚类的分类器设计[D]. 镇江: 江苏大学, 2007.
- [4] 刘孝清, 孙仁德, 范东凯. 基于广义回归神经网络的交通事故预测[J]. 山东理工大学学报, 2007, 21(2): 28-31.
- [5] 李钢. 基于神经网络的入侵检测研究与实现[D]. 上海: 华东师范大学, 2008.
- [6] 丁小华. 模糊聚类在入侵检测中的应用研究[D]. 南京: 南京师范大学, 2006.
- [7] 马飞. 数据挖掘中的聚类算法研究[D]. 南京: 南京理工大学, 2008.

若您对此书内容有任何疑问, 可以凭在线交流卡登录 MATLAB 中文论坛与作者交流。

第 26 章 粒子群优化算法的寻优算法

——非线性函数极值寻优

26.1 案例背景

26.1.1 PSO 算法介绍

粒子群优化算法(PSO, Particle Swarm Optimization)是计算智能领域,除了蚁群算法、鱼群算法之外的一种群体智能的优化算法,该算法最早由 Kennedy 和 Eberhart 在 1999 年提出的。PSO 算法源于对鸟类捕食行为的研究,鸟类捕食时,每只鸟找到食物最简单有效的方法就是搜寻当前距离食物最近的鸟的周围区域。

PSO 算法是从这种生物种群行为特征中得到启发并用于求解优化问题的,算法中每个粒子都代表问题的一个潜在解,每个粒子对应一个由适应度函数决定的适应度值。粒子的速度决定了粒子移动的方向和距离,速度随自身及其他粒子的移动经验进行动态调整,从而实现个体在可解空间中的寻优。

PSO 算法首先在可解空间中初始化一群粒子,每个粒子都代表极值优化问题的一个潜在最优解,用位置、速度和适应度值三项指标表示该粒子特征,适应度值由适应度函数计算得到,其值的好坏表示粒子的优劣。粒子在解空间中运动,通过跟踪个体极值 Pbest 和群体极值 Gbest 更新个体位置,个体极值 Pbest 是指个体所经历位置中计算得到的适应度值最优位置,群体极值 Gbest 是指种群中的所有粒子搜索到的适应度最优位置。粒子每更新一次位置,就计算一次适应度值,并且通过比较新粒子的适应度值和个体极值、群体极值的适应度值更新个体极值 Pbest 和群体极值 Gbest 位置。

假设在一个 D 维的搜索空间中,由 n 个粒子组成的种群 $X = (X_1, X_2, \dots, X_n)$, 其中第 i 个粒子表示为一个 D 维的向量 $X_i = (x_{i1}, x_{i2}, \dots, x_{in})^T$, 代表第 i 个粒子在 D 维搜索空间中的位置,亦代表问题的一个潜在解。根据目标函数即可计算出每个粒子位置 X 对应的适应度值。第 i 个粒子的速度为 $V_i = (V_{i1}, V_{i2}, \dots, V_{iD})^T$, 其个体极值为 $P_i = (P_{i1}, P_{i2}, \dots, P_{iD})^T$, 种群的全局极值为 $P_g = (P_{g1}, P_{g2}, \dots, P_{gD})^T$ 。

在每一次迭代过程中,粒子通过个体极值和全局极值更新自身的速度和位置,更新公式如下:

$$V_{id}^{k+1} = \omega V_{id}^k + c_1 r_1 (P_{id}^k - X_{id}^k) + c_2 r_2 (P_{gd}^k - X_{id}^k), \quad (26-1)$$

$$X_{id}^{k+1} = X_{id}^k + V_{id}^{k+1} \quad (26-2)$$

式中, ω 为惯性权重; $d = 1, 2, \dots, D$; $i = 1, 2, \dots, n$; k 为当前迭代次数; V_{id} 为粒子的速度; c_1 和 c_2 为非负的常数,称为加速度因子; r_1 和 r_2 为分布于 $[0, 1]$ 之间的随机数。为防止粒子的盲目搜索,一般建议将其位置和速度限制在一定的区间 $[X_{\min}, X_{\max}]$ 、 $[V_{\min}, V_{\max}]$ 。

26.1.2 非线性函数

本案例寻优的非线性函数为

$$y = c \exp \left[0.2 \sqrt{\frac{1}{n} \sum_{i=1}^n x_i^2} \right] \exp \left(\frac{1}{n} \sum_{i=1}^n \cos(2\pi x_i) \right) + c + e \quad (26-3)$$

当 $c = 20, e = 2.71282, n = 2$ 时,该函数为 Ackley 函数,函数图形如图 26-1 所示。

函数图形

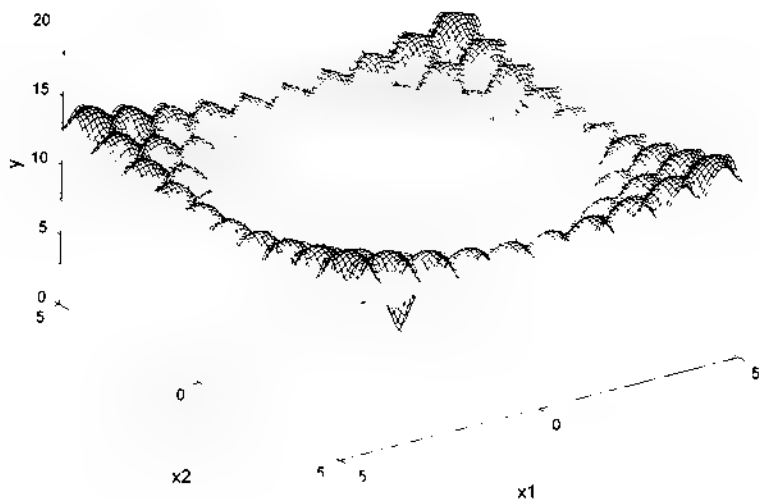


图 26-1 Ackley 函数图形

从函数图形可以看出,该函数有很多局部极小值点,最小值点为 0,最小值位置为 (0,0)。

26.2 模型建立

基于 PSO 算法的函数极值寻优算法流程图如图 26-2 所示。

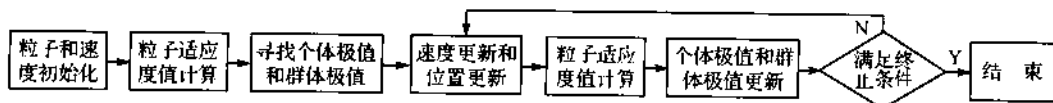


图 26-2 算法流程

其中,粒子和速度初始化对初始粒子位置和粒子速度赋予随机值。根据式(26-3)计算粒子适应度值。根据初始粒子适应度值确定个体极值和群体极值。根据式(26-1)与式(26-2)更新粒子速度和位置。根据新种群中粒子适应度值更新个体极值和群体极值。

对于本案例来说,适应度函数为 Ackley 函数表达式,适应度值为函数值。种群粒子数为 20,每个粒子的维数为 2,算法迭代进化次数为 100。

若您对此书内容有任何疑问,可以凭在线交流卡登录 MATLAB 中文论坛与作者交流。

26.3 编程实现

根据 PSO 算法原理,在 MATLAB 中编程实现基于 PSO 算法的函数极值寻优算法。

26.3.1 PSO 算法参数设置

设置 PSO 算法的运行参数。

```
% 清空运行环境
clc
clear

% 速度更新参数
c1 = 1.49445;
c2 = 1.49445;

maxgen = 100;    % 迭代次数
sizepop = 20;    % 种群规模

% 个体和速度最大最小值
popmax = 5; popmin = -5;
Vmax = 1; Vmin = -1;
```

26.3.2 种群初始化

随机初始化粒子位置和粒子速度,并根据适应度函数计算粒子适应度值。

```
for i = 1:sizepop

    % 随机产生一个种群
    pop(i,:) = 5 * rand(1,2);    % 初始化粒子
    V(i,:) = rand(1,2);          % 初始化速度

    % 计算粒子适应度值
    fitness(i) = fun(pop(i,:));

end
```

适应度函数代码如下:

```
function y = fun(x)
% 该函数计算粒子适应度值
% x      input      输入粒子位置
% y      output      粒子适应度值

y = 20 * exp(-0.2 * sqrt((x(1)^2 + x(2)^2)/2)) - exp((cos(2 * pi * x(1)) + cos(2 * pi * x(2))))/2)
+ 20 * exp(1);
```

若您对此书内容有任何疑问,可以凭在线交流卡登录 MATLAB 中文论坛与作者交流。

26.3.3 寻找初始极值

根据初始粒子适应度值寻找个体极值和群体极值。

```
[bestfitness bestindex] = min(fitness);
zbest = pop(bestindex,:);           % 群体极值位置
gbest = pop;                         % 个体极值位置
fitnessgbest = fitness;             % 个体极值适应度值
fitnesszbest = bestfitness;         % 群体极值适应度值
```

26.3.4 迭代寻优

根据公式(26-1)与式(26-2)更新粒子位置和速度,并且根据新粒子的适应度值更新个体极值和群体极值。

```
% 迭代寻优
for i = 1:maxgen
    % 粒子位置和速度更新
    for j = 1:sizepop

        % 速度更新
        V(j,:) = V(j,:) + c1 * rand * (gbest(j,:) - pop(j,:)) + c2 * rand * (zbest - pop(j,:));
        V(j,find(V(j,:) > Vmax)) = Vmax;
        V(j,find(V(j,:) < Vmin)) = Vmin;

        % 粒子更新
        pop(j,:) = pop(j,:) + 0.5 * V(j,:);
        pop(j,find(pop(j,:) > popmax)) = popmax;
        pop(j,find(pop(j,:) < popmin)) = popmin;

        % 新粒子适应度值
        fitness(j) = fun(pop(j,:));
    end

    % 个体极值和群体极值更新
    for j = 1:sizepop

        % 群体极值更新
        if fitness(j) < fitnessgbest(j)
            gbest(j,:) = pop(j,:);
            fitnessgbest(j) = fitness(j);
        end

        % 个体极值更新
        if fitness(j) < fitnesszbest
            zbest = pop(j,:);
```

若您对此书内容有任何疑问,可以凭在线交流卡登录MATLAB中文论坛与作者交流。

```

        fitnesszbest = fitness(j);
    end
end

% 每代最优值记录到 yy 数组中
yy(i) = fitnesszbest;

end

```

26.3.5 结果分析

PSO 算法反复迭代 100 次,画出每代最优个体适应度值变化图形。

% 画出每代最优个体适应度值

```

plot(yy)
title('最优个体适应度值','fontsize',12);
xlabel('进化次数','fontsize',12);ylabel('适应度值','fontsize',12);

```

最优个体适应度值变化如图 26-3 所示。

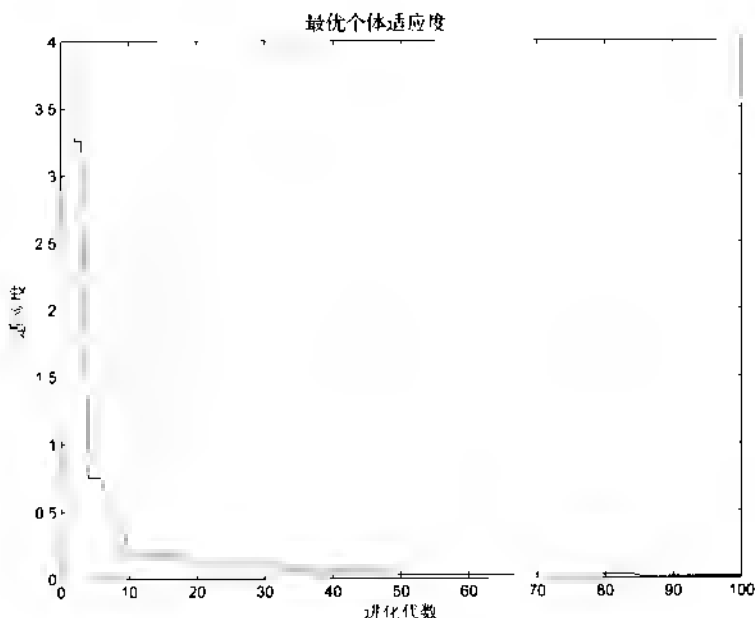


图 26-3 最优个体适应度值(一)

最终得到的最优个体适应度值为 0.032 8,对应的粒子位置为(0.008 2, -0.006 7),PSO 算法寻优得到最优值接近函数实际最优值,说明 PSO 算法具有较强的函数极值寻优能力。

26.4 案例扩展

26.4.1 自适应变异

粒子群优化算法收敛快,具有很强的通用性,但同时存在着容易早熟收敛、搜索精度较低、后期迭代效率不高等缺点。借鉴遗传算法中的变异思想,在 PSO 算法中引入变异操作,即对某些变量以一定的概率重新初始化。变异操作拓展了在迭代中不断缩小的种群搜索空间,使粒子能够跳出先前搜索到的最优值位置,在更大的空间中开展搜索,同时保持了种群多样性,提高算法寻找到更优值的可能性。因此,在普通粒子群算法的基础上引入了简单变异算子,基本思想就是粒子每次更新之后,以一定概率重新初始化粒子, MATLAB 代码如下所示:

```
if rand>0.9
    k=ceil(2*rand);
    pop(j,k)=rand;
end
```

算法参数设置和上面的例子一样,进化过程中最优个体适应度值变化如图 26-4 所示。

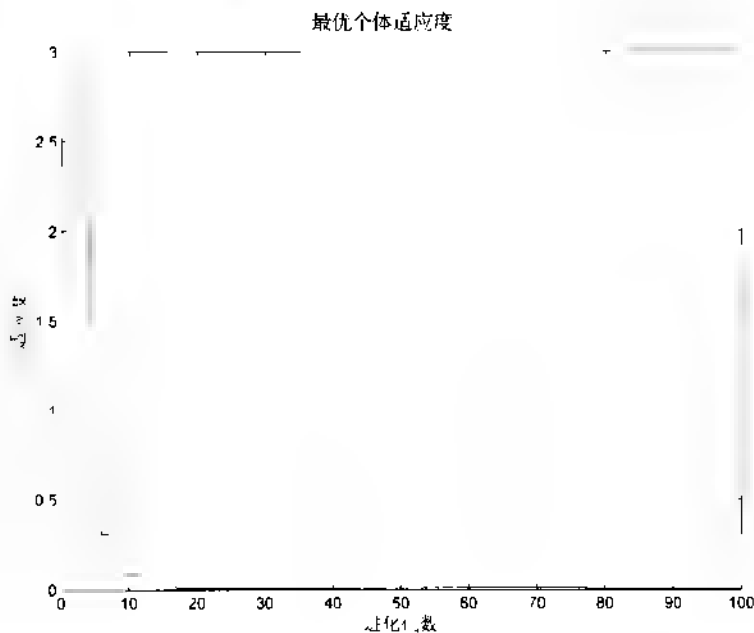


图 26-4 最优个体适应度值(二)

最终得到的最优个体适应度值为 0.006 3,对应的粒子位置为(0.002 0,0.000 8),从结果中可以看出,带变异算子的粒子群算法能够跳出局部极小值点,得到更优的结果。

26.4.2 惯性权重的选择

惯性权重 ω 体现的是粒子当前速度多大程度上继承先前的速度,Shi, Y 最先将惯性权重 ω 引入到 PSO 算法中,并分析指出一个较大的惯性权值有利于全局搜索,而一个较小的惯性

若您对此书内容有任何疑问,可以凭在线交流卡登录 MATLAB 中文论坛与作者交流。

权值则更利于局部搜索。为了更好地平衡算法的全局搜索与局部搜索能力,其提出了线性递减惯性权重(LDIW, Linear Decreasing Inertia Weight),即

$$\omega(k) = \omega_{start} - \omega_{end} \cdot (T_{max} - k) / T_{max} \quad (26-4)$$

式中, ω_{start} 为初始惯性权重; ω_{end} 为迭代至最大次数时的惯性权重; k 为当前迭代代数; T_{max} 为最大迭代代数。一般来说,惯性权值取值为 $\omega_{start} = 0.9$ 、 $\omega_{end} = 0.4$ 时算法性能最好。这样,随着迭代的进行,惯性权重由 0.9 线性递减至 0.4,迭代初期较大的惯性权重使算法保持了较强的全局搜索能力,而迭代后期较小的惯性权重有利于算法进行更精确的局部开发。线性惯性权重只是一种经验做法,常用的惯性权重的选择还包括如下几种:

$$\begin{aligned} \omega(k) &= \omega_{start} - (\omega_{start} - \omega_{end}) \cdot (k / T_{max})^2 \\ \omega(k) &= \omega_{start} + (\omega_{start} - \omega_{end}) \cdot (2k / T_{max} - (k / T_{max})^2) \\ \omega(k) &= \omega_{end} \cdot (\omega_{start} - \omega_{end}) \cdot k / T_{max} \end{aligned}$$

26.4.3 动态粒子群算法

基本 PSO 算法在很多领域的静态优化问题中得到了广泛的应用,但是在实际环境中遇到的问题一般比较复杂,且往往随时间变化,也就是说问题最优解是动态改变的。例如,在物流配送过程中,由于受到客户优先级、交通状况等因素变化的影响,物流配送问题也相应地发生变化。对于这种需要跟踪动态极值的问题,基本 PSO 算法难以解决。为了跟踪动态极值,最常用的方法是对基本 PSO 算法做两方面的关键改进:第一是引入探测机制,使种群或粒子获得感知外部环境变化的能力;第二是引入响应机制,在探测到环境的变化后,采取某种响应方式对种群进行更新,以适应动态环境。可以采用带敏感粒子的 PSO 算法实现动态环境寻优,带敏感粒子的 PSO 算法在环境中随机选择一个或若干个位置,这些位置称为敏感粒子,每次迭代中计算敏感粒子的适应度值,当发现适应度值变化时,认为环境已发生变化,敏感粒子适应度值变化超过一定阈值时 PSO 算法作出响应。响应的方式是按比例重新初始化粒子位置和粒子速度。

参考文献

- [1] KENNEDY J, EBFRHART R C. Particle Swarm Optimization[A]. Proceedings of IEEE International Conference on Neural Networks, 1997, 1942-1948.
- [2] 梁军,程灿.改进的粒子群算法[J].计算机工程与设计,2008,29(11):2893-2896.
- [3] 杨朝霞,方建文,李佳蓉,等.粒子群优化算法在多参数拟合中的作用[J].浙江师范大学学报,2008,31(2):175-177.
- [4] 江宝钊,胡俊洪.求解多峰函数的改进粒子群算法研究[J].宁波大学学报,2008,21(2):154.
- [5] 薛婷.粒子群优化算法的研究与改进[D].大连:大连海事大学,2006.
- [6] 杜玉平.关于粒子群算法改进的研究[D].西安:西北大学,2008.
- [7] 一种新的改进粒子群算法[D].大连:大连海事大学,2008.
- [8] 冯翔,陈国龙,郭文忠.粒子群优化算法中加速因子的设置与实验分析[J].集美大学学报,2006,11(2):116-121.
- [9] 张选平,杜于平,秦国强.一种动态改变惯性权的自适应粒子群算法[J].西安交通大学学报,2009,39(1):109-112.

第 27 章 遗传算法优化计算

——建模自变量降维

27.1 案例背景

27.1.1 遗传算法概述

遗传算法是模拟达尔文生物进化论的自然选择和遗传学机理的生物进化过程的计算模型,是一种通过模拟自然进化过程搜索最优解的方法。它最初由美国 Michigan 大学的 J. Holland 教授提出,1967 年,美国大学 Holland 教授的学生 Bagley 在其博士论文中首次提出了“遗传算法”一词,他发展了复制、交叉、变异、显性、倒位等遗传算子。Holland 教授用遗传算法的思想对自然和人工自适应系统进行了研究,提出了遗传算法的基本定理——模式定理(schema theorem)。20 世纪 80 年代,Holland 教授实现了第一个基于遗传算法的机器学习系统,开创了遗传算法的机器学习的新概念。

遗传算法模拟了自然选择和遗传中发生的复制、交叉和变异等现象,从一个初始群体(population)出发,通过随机选择、交叉和变异操作,产生一群更适应环境的个体,使群体进化到搜索空间中越来越好的区域,这样一代一代地不断繁衍进化,最后收敛到一群最适应环境的个体(individual),求得问题的最优解。遗传算法的基本计算流程如图 27-1 所示。

遗传算法是从代表问题可能潜在的解集的一个种群(population)开始的,而一个种群则由经过基因(gene)编码的一定数目的个体(individual)组成。因此,第一步需要实现从表现型到基因型的映射,即编码工作。初代种群产生之后,按照适者生存和优胜劣汰的原理,逐代(generation)演化产生出越来越好的近似解,在每一代,根据问题域中个体的适应度(fitness)大小选择个体,并借助于自然遗传学的遗传算子(genetic operators)进行组合交叉和变异,产生出代表新的解集的种群。这个过程将导致种群像自然进化一样,后一代种群比前代更加适应环境,末代种群中的最优个体经过解码(decoding)可以作为问题近似最优解。

遗传算法有三个基本操作:选择(selection)、交叉(crossover)和变异(mutation)。

(1) 选择

选择的目的是为了从当前群体中选出优良的个体,使它们有机会作为父代为下一代繁衍子孙。根据各个个体的适应度值,按照一定的规则或方法从上一代群体中择优出一些优良的

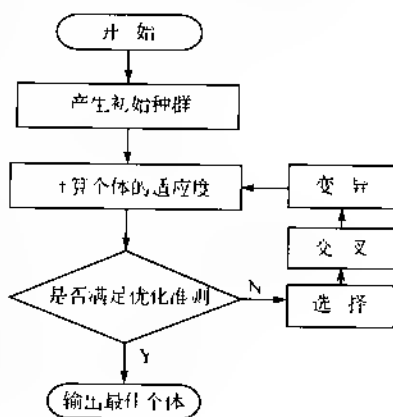


图 27-1 遗传算法基本计算流程

个体遗传到下一代种群中。选择的依据是适应性强的个体为下一代贡献一个或多个后代的概率大。

(2) 交叉

通过交叉操作可以得到新一代个体,新个体组合了父辈个体的特性。将群体中的各个个体随机搭配成对,对每一个个体,以交叉概率交换它们之间的部分染色体。

(3) 变异

对种群中的每一个个体,以变异概率改变某一个或多个基因座上的基因值为其他的等位基因。同生物界中一样,变异发生的概率很低,变异为新个体的产生提供了机会。

27.1.2 自变量降维概述

在现实生活中,实际问题很难用线性模型进行描述。神经网络的出现大大降低了模型建立的难度和工作量。只需将神经网络看成是一个黑箱了,根据输入与输出数据,神经网络依据相关的学习规则,便可以建立相应的数学模型。但是,当数学模型的输入自变量(即影响因素)很多、输入自变量之间不是相互独立时,利用神经网络容易出现过拟合现象,从而导致所建立的模型精度低、建模时间长等问题。因此,在建立模型之前,有必要对输入自变量进行优化选择,将冗余的一些自变量去掉,选择最能反映输入与输出关系的自变量参与建模。

近年来,许多人对自变量压缩降维问题进行了深入的研究,取得了一定的成果。常用的变量压缩方法有多元回归与相关分析法、类逐步回归法、主成分分析法、独立成分分析法、主基底分析法、偏最小二乘法、遗传算法等,具体请参考文献[2]~[7]。

27.1.3 问题描述

在第 21 章中,建立模型时选用的每个样本(即病例)数据包括 10 个量化特征(细胞核半径、质地、周长、面积、光滑性、紧密度、凹陷度、凹陷点数、对称度、断裂度)的平均值、10 个量化特征的标准差和 10 个量化特征的最坏值(各特征的 3 个最大数据的平均值)共 30 个数据。明显,这 30 个输入自变量相互之间存在一定的关系,并非相互独立的,因此,为了缩短建模时间、提高建模精度,有必要将 30 个输入自变量中起主要影响因素的自变量筛选出来参与最终的建模。

27.2 模型建立

27.2.1 设计思路

利用遗传算法进行优化计算,首先需要将解空间映射到编码空间,每个编码对应问题的一个解(即为染色体或个体)。这里,将编码长度设计为 30,染色体的每一位对应一个输入自变量,每一位的基因取值只能是“1”和“0”两种情况,如果染色体某一位值为“1”,表示该位对应的输入自变量参与最终的建模,反之,则表示“0”对应的输入自变量不作为最终的建模自变量。选取测试集数据均方误差的倒数作为遗传算法的适应度函数,这样,经过不断地迭代进化,最终筛选出最具代表性的输入自变量参与建模。

27.2.2 设计步骤

根据上述设计思路,设计步骤主要包括以下几个部分,如图 27-2 所示。

1. 单 BP 模型建立

为了比较遗传算法优化前后的预测效果,先利用全部的 30 个输入自变量建立 BP 模型,具体程序见本章第 4 节。

2. 初始种群产生

随机产生 N 个初始串结构数据,每个串结构数据即为一个个体, N 个个体构成了一个种群。遗传算法以这 N 个串结构作为初始点开始迭代。如前文所述,这里每个个体的串结构数据只有“1”和“0”两种取值。

3. 适应度函数计算

遗传算法中使用适应度这个概念来度量群体中各个个体在优化计算中可能达到、接近或有助于找到最优解的优良程度。适应度较高的个体遗传到下一代的概率就相对较大。度量个体适应度的函数称为适应度函数。这里,选取测试集数据误差平方和的倒数作为适应度函数:

$$f(X) = \frac{1}{SE} = \frac{1}{\text{sse}(\hat{T} - T)} = \frac{1}{\sum_{i=1}^n (\hat{t}_i - t_i)^2} \quad (27-1)$$

式中, $\hat{T} = \hat{t}_1, \hat{t}_2, \dots, \hat{t}_n$ 为测试集的预测值; $T = t_1, t_2, \dots, t_n$ 为测试集的真实值; n 为测试集的样本数目。

为了避免初始权值和阈值的随机性对适应度函数计算的影响,针对每一个体计算适应度函数值时,均用遗传算法对所建立的 BP 神经网络的权值和阈值进行优化,优化步骤图 27-3 所示。

4. 选择操作

选择操作选用比例选择算子,即个体被选中并遗传到下一代种群中的概率与该个体的适应度大小成正比,具体的操作过程是:

① 计算种群中所有个体的适应度之和。

$$F = \sum_{k=1}^n f(X_k) \quad (27-2)$$

② 利用式(27-3)计算种群中各个个体的相对适应度,并以此作为该个体被选中并遗传到下一代种群中的概率。

$$p_k = \frac{f(X_k)}{F} \quad k = 1, 2, \dots, n. \quad (27-3)$$

③ 采用模拟轮盘赌操作,产生 $(0, 1)$ 之间的随机数,来确定各个个体被选中的次数。显然,适应度大的个体,其选择概率也大,能被多次选中,其遗传基因就会在种群中扩大。

5. 交叉操作

对于输入自变量的压缩降维,交叉操作采用最简单的单点交叉算子,交叉算子原理如图 27-4 所示。具体操作过程为:

① 先对种群中的个体进行两两随机配对,本案例中产生的初始种群大小为 20,故共有 10 对相互配对的个体组;

若您对此书内容有任何疑问,可以凭在线交流卡登录 MATLAB 中文论坛与作者交流。

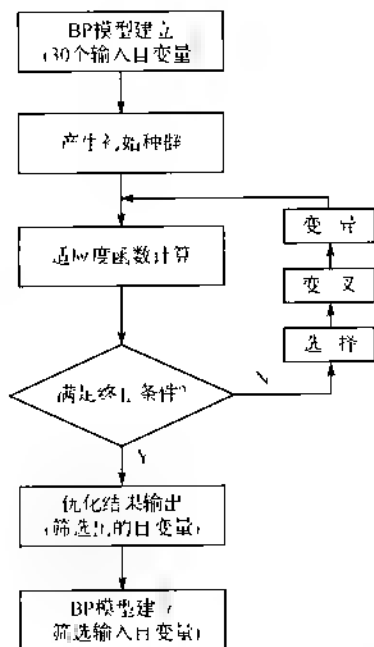


图 27-2 设计步骤

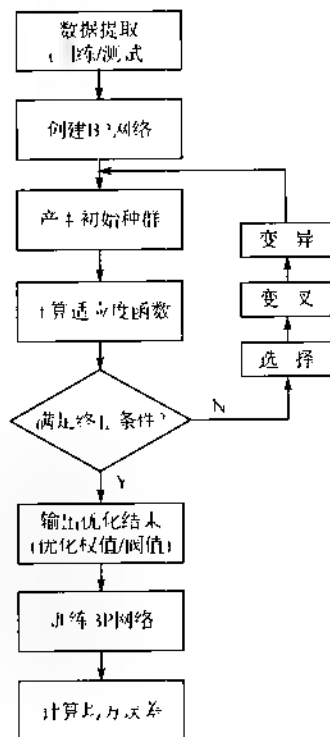


图 27-3 遗传算法优化 BP 网络权值/阈值

② 对每一对相互配对的个体,随机选取某一基因座之后的位置作为交叉点;

③ 对每一对相互配对的个体,根据②中所确定的交叉点位置,相互交换两个个体的部分染色体,产生出两个新个体。

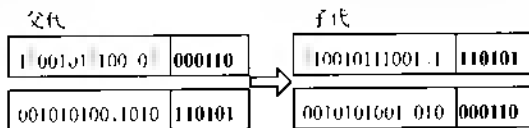


图 27-4 单点交叉算子操作示意图

对于 BP 神经网络初始权值和阈值的优化,交叉操作采用算术交叉算子,利用给定的概率重组一对个体而产生后代,具体计算过程为:

① 先对种群中的个体进行两两随机配对,与单点交叉算子中①相同;

② 对每一对相互配对的个体,根据式(27-4)与式(27-5),产生两个新个体。

$$c_1 = p \times u + p_2 \times (1 - u) \quad (27-4)$$

$$c_2 = p \times (1 - u) + p_2 \times u \quad (27-5)$$

式中, p_1, p_2 为一组配对的两个个体; c_1, c_2 为交叉操作后得到的新个体; u 为随机产生的位于 $(0,1)$ 区间的随机数,即交叉概率。

6. 变异操作

对于输入自变量的压缩降维,变异操作采用最简单的单点变异算子,变异算子原理如

图 27-5 所示。具体操作过程如下:

- ① 随机产生变异点。
- ② 根据①中的变异点位置,改变其对应的基因座上的基因值。由于本案例中的基因值只能取“1”和“0”,所以变异操作的结果即为“1”变为“0”或“0”变为“1”。

对于 BP 神经网络初始权值和阈值的优化,变异选用非均匀变异算子,具体实现过程见 MATLAB 实现部分。

7. 优化结果输出

经过一迭代的迭代进化,当满足迭代终止条件时,输出的末代种群对应的便是问题的最优解或近优解,即筛选出的最具代表性的输入自变量组合。

8. 优化 BP 模型建立

根据优化计算得到的结果,将选出的参与建模的输入自变量对应的训练集和测试集数据提取出来,利用 BP 神经网络重新建立模型进行仿真测试,从而进行结果分析。

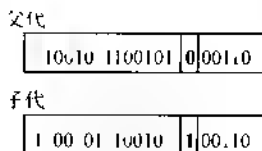


图 27-5 单点变异算子操作示意图

27.3 遗传算法工具箱(GAOT)函数介绍

遗传算法工具箱 GAOT 中含有丰富的遗传算法函数,利用遗传算法工具箱可以很方便地实现遗传算法优化计算。本节将详细介绍遗传算法工具箱中几个核心函数的格式和使用方法。

27.3.1 种群初始化函数

种群的初始化可以利用工具箱中的 `initializega()` 函数来实现,其调用格式为:

```
pop = initializega(populationSize,variableBounds,evalFN,evalOps,options)
```

其中,各个参数的意义如表 27-1 所列。本章中对 BP 网络的权值和阈值进行优化时,初始化种群采用的便是这种方法。

表 27-1 `initializega()` 函数参数意义

参 数	意 义
pop	随机生成初始种群
populationSize	种群大小即种群中个体的数目
variableBounds	变量边界的矩阵
evalFN	适应度函数的名称
evalOps	适应度函数的参数
options	精度及编码形式,为浮点编码,0 为二进制编码

27.3.2 遗传优化函数

初始种群产生后,可以利用 `ga()` 函数实现遗传算法的优化过程,包含选择、交叉、变异等。

其调用格式为

```
[x,endPop,bPop,traceInfo] = ga(bounds,evalFN,evalOps,startPop,opts,termFN,termOps,selectFN,selectOps,xOverFNs,xOverOps,mutFNs,mutOps)
```

其中,输入和输出参数的意义分别如表 27-2 和表 27-3 所列。

表 27-2 ga()函数输入参数的意义

参 数	意 义	参 数	意 义
bounds	变量上下界的范围	termOps	终止函数的参数
evalFN	适应度函数的名称	selectFN	选择函数的名称
evalOps	适应度函数的参数	selectOps	选择函数的参数
startPop	初始种群	xOverFNs	交叉函数的名称
opts	初值、编的形式及大小方式,1 为十进制、编的,2 为二进制编的,默认为 1	xOverOps	交叉函数的参数
termFN	终止函数的名称	mutFNs	变异函数的名称
		mutOps	变异函数的参数

表 27-3 ga()函数输出参数的意义

参 数	意 义	参 数	意 义
x	优化计算得到的最优个体	bPop	最优种群的进化轨迹
endPop	优化终止时的最终种群	traceInfo	每代的最优适应度函数值和平均适应度函数值矩阵

27.4 MATLAB 实现

利用 MATLAB 神经网络工具箱及遗传算法工具箱提供的函数,可以方便地将上述设计步骤在 MATLAB 环境下实现。

27.4.1 清空环境变量、声明全局变量

1. 清空环境变量

程序运行之前,清除工作空间(workspace)中的变量及命令窗口(command window)中的命令。具体程序为:

```
%% 清空环境变量
```

```
clear all
```

```
clc
```

```
warning off
```

2. 声明全局变量

全局变量在使用之前需要声明,具体程序为:

```
%% 声明全局变量
```

```
global P_train T_train P_test T_test mint maxt S sl
```

```
S = 30;
sl = 50;
```

27.4.2 导入数据并归一化

1. 导入数据

数据与第 2 章中的数据相同,保存在 data.mat 文件中,具体请查看第 21 章相应部分,此处不再赘述。不失一般性,随机选取 50 组样本作为训练集,剩余的 69 组样本作为测试集。具体程序如下。

```
% 导入数据
load data.mat
a = randperm(569);
Train = data(a(1:500),:);
Test = data(a(501:end),:);

% 训练数据
P_train = Train(:,3:end)';
T_train = Train(:,2)';

% 测试数据
P_test = Test(:,3:end)';
T_test = Test(:,2)';

% 显示实验条件
total_B = length(find(data(:,2) == 1));
total_M = length(find(data(:,2) == 2));
count_B = length(find(T_train == 1));
count_M = length(find(T_train == 2));
number_B = length(find(T_test == 1));
number_M = length(find(T_test == 2));
disp(['实验条件为:']);
disp(['病例总数:' num2str(569)
      ' 良性:' num2str(total_B)
      ' 恶性:' num2str(total_M)]);
disp(['训练集病例总数:' num2str(500)
      ' 良性:' num2str(count_B)
      ' 恶性:' num2str(count_M)]);
disp(['测试集病例总数:' num2str(69)
      ' 良性:' num2str(number_B)
      ' 恶性:' num2str(number_M)]);
```

2. 数据归一化

由于各个输入自变量的量纲都不相同,因此,有必要在建立模型前将数据进行归一化处理,具体程序为。

```
% 数据归一化
[P_train,minp,maxp,T_train,minr,maxr] = premnmx(P_train,T_train);
P_test = trimnmx(P_test,minp,maxp);
```

若您对此书内容有任何疑问,可以凭在线交流卡登录 MATLAB 中文论坛与作者交流。

27.4.3 单 BP 网络创建、训练和仿真

1. 创建单 BP 网络

利用全部 3 个输入自变量参与建模,其 BP 网络创建程序为:

```
%% 创建单 BP 网络
t = cputime;
net_bp = newff(minmax(P_train),[s1,1],{'tansig','purelin'},'trainlm');
% 设置训练参数
net_bp.trainParam.epochs = 1000;
net_bp.trainParam.show = 10;
net_bp.trainParam.goal = 0.1;
net_bp.trainParam.lr = 0.1;
```

2. 训练单 BP 网络

网络创建及相关参数设置完成后,利用 MATLAB 自带的网络训练函数 `train()` 可以方便地对网络进行训练学习,具体程序为

```
%% 训练单 BP 网络
net_bp = train(net_bp,P_train,T_train);
```

3. 仿真测试单 BP 网络

利用 `sim()` 函数将测试集输入数据送入训练好的神经网络,便可以得到对应的测试集输出仿真数据,详细程序如下:

```
%% 仿真测试单 BP 网络
tn_bp_sim = sim(net_bp,P_test);
% 反归一化
T_bp_sim = postmax(tn_bp_sim,min_t,max_t);
e = cputime - t;
T_bp_sim(T_bp_sim > 1.5) = 2;
T_bp_sim(T_bp_sim < 1.5) = 1;
result_bp = [T_bp_sim'T_test];
```

4. 结果显示(单 BP 网络)

为了方便读者清晰地观察、分析结果,特将建模结果显示在命令窗口中,读者可以从命令窗口中直观地看到仿真条件及仿真结果。具体程序为。

```
%% 结果显示(单 BP 网络)
number_B_sim = length(find(T_bp_sim == 1 & T_test == 1));
number_M_sim = length(find(T_bp_sim == 2 & T_test == 2));
disp('(1)BP 网络的测试结果为:');
disp(['良性乳腺肿瘤确诊:' num2str(number_B_sim)
      ' 误诊:' num2str(number_B - number_B_sim)
      ' 确诊率 p1 - ' num2str(number_B_sim/number_B * 100) '%']);
disp(['恶性乳腺肿瘤确诊:' num2str(number_M_sim)
```

若您对此书内容有任何疑问,可以凭在线交流卡登录 MATLAB 中文论坛与作者交流。

```

    ' 误诊:'num2str(number M - number M sim,
    ' 确诊率 p2 :'num2str(number M sim number M * 100) '%')],
disp(['建模时间为:'num2str(e) 's'],

```

27.4.4 遗传算法优化

如前文所述,在利用遗传算法对自变量进行优化筛选时,染色体长度为 3,种群大小设置为 20,最大进化代数设置为 100。具体的程序如下:

```

%% 遗传算法优化
popu = 20;
bounds = ones(S,1) * [0.1];
% 产生初始种群
initPop = randint(popu,S,[0 1]);
% 计算初始种群适应度
initFit = zeros(popu,1);
for i = 1:size(initPop,1)
    initFit(i) = de_code(initPop(i,:));
end
initPop = [initPop initFit];
gen = 100;
% 优化计算
[X,EndPop,BPop,Trace] = ga(bounds,'fitness',[ ],initPop,[1e-6 1 0],maxGenTerm',
    gen,'normGeomSelect',[0 09],[ simpleXover'],[2],'boundaryMutation',[2 gen 1],
[m,n] = find(X == 1);
disp(['优化筛选后的输入自变量编号为:'num2str(n,)],
% 绘制适应度函数进化曲线
figure
plot(Trace(:,1),Trace(:,3),'r');
hold on
plot(Trace(:,1),Trace(:,2),'b');
xlabel('进化代数')
ylabel('适应度函数')
title('适应度函数进化曲线')
legend('平均适应度函数','最佳适应度函数')
xlim([1 gen])

```

如上文所述,考虑到初始权值和阈值的随机性对测试结果的影响,程序中计算适应度函数值时均用遗传算法对 BP 网络的初始权值和阈值进行优化,以优化后的权值和阈值作为 BP 网络的初始权值和阈值。

对输入自变量进行优化筛选时,对应的适应度子函数和编解码子函数分别为 fitness.m 和 de_code.m,对 BP 神经网络的权值和阈值进行优化时对应的适应度子函数和编解码子函数为 gabpEva.m 和 gadecod.m。下面将列举出各个子函数的程序。

若您对此书内容有任何疑问,可以凭在线交流卡登录 MATLAB 中文论坛与作者交流。

1. 输入自变量优化适应度子函数 fitness.m

```
function [sol,Val] = fitness(sol,options)
global S
for i = 1:S
    x(i) = sol(i);
end
Val = decode(x);
end
```

2. 输入自变量优化编解码子函数 de_code.m

```
function Val = de_code(x)
% 全局变量声明
global S P_train T_train P_test T_test mint maxt
global p t r s1 s2
% 数据提取
x = x(:,1:S);
[m,n] = find(x==1);
p_train = zeros(size(n,2),size(T_train,2));
p_test = zeros(size(n,2),size(T_test,2));
for i = 1:length(n)
    p_train(i,:) = P_train(n(i),:);
    p_test(i,:) = P_test(n(i),:);
end
t_train = T_train;
p = p_train;
t = t_train;
% 遗传算法优化 BP 网络权值和阈值
r = size(p,1);
s2 = size(t,1);
s = r * s1 + s1 * s2 + s1 + s2;
aa = ones(s,1) * [-1,1];
popu = 20;
% 初始化种群
initPpp = initializega(popu,aa,'gabpEval');
gen = 100;
% 优化计算
x = ga(aa,'gabpEval',[ ],initPpp,[1e-6 1 0],'maxGenTerm',gen,...
'normGeomSelect',0.09,'arithXover',2,'nonUnifMutation',[2 gen 3]);
% 创建 BP 网络
net = newff(minmax(p_train),[s1,1],{'tansig','purelin'},'trainlm');
% 将优化得到的权值和阈值赋值给 BP 网络
[W1,B1,W2,B2] = gadecod(x);
net IW{1,1} = W1;
net LW{2,1} = W2;
```

```

net.b{1} = B1;
net.b{2} = B2;
% 设置训练参数
net.trainParam.epochs = 1000;
net.trainParam.show = 10;
net.trainParam.goal = 0.1;
net.trainParam.lr = 0.1;
% 训练网络
net = train(net,p_train,t_train);
% 仿真测试
tn_sim = sim(net,p_test);
% 反归一化
t_sim = postmnmx(tn_sim,min_t,max_t);
% 计算均方误差
SE = sse(t_sim - T_test);
% 计算适应度函数值
Val = 1/SE;
end

```

3. BP 网络权值和阈值优化适应度子函数 gabpEval.m

```

function[sol,val] = gabpEval(sol,options)
global s
for i = 1:s
    x(i) = sol(i);
end;
[W1,B1,W2,B2,val] = gadecod(x);

```

4. BP 网络权值和阈值优化编解码子函数 gadecod.m

```

function[W1,B1,W2,B2,val] = gadecod(x)
global p t r s1 s2
W1 = zeros(s1,r);
W2 = zeros(s2,s1);
B1 = zeros(s1,1);
B2 = zeros(s2,1);
% 前 r * s1 个编码为 W1
for i = 1:s1
    for k = 1:r
        W1(i,k) = x(r * (i - 1) + k);
    end
end
% 接着的 s1 * s2 个编码为 W2
for i = 1:s2
    for k = 1:s1
        W2(i,k) = x(s1 * (i - 1) + k + r * s1);
    end
end

```

若您对此书内容有任何疑问，可以凭在线交流卡登录 MATLAB 中文论坛与作者交流。

```

end
end
% 接着的 s1 个编码为 B1
for i=1:s1
    B1(i,1)=x((r*s1+s1*s2)+1);
end
% 接着的 s2 个编码为 B2
for i=1:s2
    B2(i,1)=x((r*s1+s1*s2+s1)+1);
end
% 计算 s1 与 s2 层的输出
A1=tansig(W1*p,B1);
A2=purelin(W2*A1,B2);
% 计算误差平方和
SE=sumsq(t-A2);
% 计算适应度函数值
val=1/SE;

```

27.4.5 新训练集/测试集数据提取

利用遗传算法优化计算后,需要将筛选出的输入自变量对应的数据提取出来,以便建立新的 BP 神经网络。具体程序如下。

```

%% 新训练集、测试集数据提取
p_train=zeros(size(n,2),size(T_train,2));
p_test=zeros(size(n,2),size(T_test,2));
for i=1:length(n)
    p_train(i,:)=P_train(n(i,:),:);
    p_test(i,:)=P_test(n(i,:),:);
end
t_train=T_train;

```

27.4.6 优化 BP 网络创建、训练和仿真

1. 创建优化 BP 网络

利用 newff() 函数创建优化 BP 网络的方法与前面创建单 BP 网络的方法类似,只是数据集变成了遗传算法优化筛选后提取出的新训练集、测试集数据。具体程序为:

```

%% 创建优化 BP 网络
t=cputime;
net_ga=newff(minmax(p_train),[s1,1], 'tansig','purelin','trainlm');
% 设置训练参数
net_ga.trainParam.epochs=1000;
net_ga.trainParam.show=10;
net_ga.trainParam.goal=0.1;
net_ga.trainParam.lr=0.1;

```

2. 训练优化 BP 网络

优化 BP 网络创建完成后,与单 BP 网络的训练方法相同,利用训练函数 `train()` 对网络进行训练。具体的程序如下:

```
%% 训练优化 BP 网络
net_ga = train(net_ga,p_train,t_train,;
```

3. 仿真测试优化 BP 网络

网络训练完成后,将优化筛选后提取出来的新测试集数据输入网络,网络的输出即为对应的仿真预测值,具体程序为:

```
%% 仿真测试优化 BP 网络
tn_ga_sim = sim(net_ga,p_test);
% 反归一化
T_ga_sim = postmnmx(tn_ga_sim,minI,maxI);
e = cputime - t;
T_ga_sim(T_ga_sim > 1.5) = 2;
T_ga_sim(T_ga_sim < 1.5) = 1;
result_ga = [T_ga_sim'T_test'];
```

4. 结果显示(优化 BP 网络)

与上文单 BP 网络一样,仿真结果显示小程序如下。

```
%% 结果显示,优化 BP 网络)
number_b_sim = length(find(T_ga_sim == 1 & T_test == 1));
number_m_sim = length(find(T_ga_sim == 2 & T_test == 2));
disp('(2)优化 BP 网络的测试结果为:');
disp(['良性乳腺肿瘤确诊 'num2str(number_b_sim)
      ' 误诊:'num2str(number_B - number_b_sim)
      ' 确诊率 p1 'num2str(number_b_sim/number_B*100)('%')'],
disp(['恶性乳腺肿瘤确诊 'num2str(number_m_sim)
      ' 误诊:'num2str(number_M - number_m_sim)
      ' 确诊率 p2 'num2str(number_m_sim/number_M*100)('%')'],
disp(['建模时间为:'num2str(e,'s')]);
```

27.4.7 结果分析

程序运行后,种群适应度函数的进化曲线如图 27-6 所示。命令行中显示的运行结果为:

实验条件为:

病例总数:569 良性:357 恶性:212

训练集病例总数:500 良性:308 恶性:192

测试集病例总数:69 良性:49 恶性:20

(1)BP 网络的测试结果为:

良性乳腺肿瘤确诊:46 误诊:3 确诊率 p1 = 93.8776 %

恶性乳腺肿瘤确诊:20 误诊:0 确诊率 p2 = 100 %

若您对此书内容有任何疑问,可以在线交流卡登录 MATLAB 中文论坛与作者交流。

建模时间为:29.2031s

优化筛选后的输入自变量编号为:2 5 6 7 8 9 10 11 16 19 22 25 26 28 29 30

(2)优化 BP 网络的测试结果为:

良性乳腺肿瘤确诊:49 误诊:0 确诊率 p1=100%

恶性乳腺肿瘤确诊:20 误诊:0 确诊率 p2=100%

建模时间为:4.3906s

从上述结果可以看出,经遗传算法优化计算后,筛选出的 16 组输入自变量编号为:2,5,6,7,8,9,10,11,16,19,22,25,26,28,29,30,也就是说,筛选出的 16 个输入自变量分别为质地、光滑性、紧密度、凹陷度、凹陷点数、对称度、断裂度的平均值、细胞核半径、紧密度及对称度的标准差,质地、光滑性、紧密度、凹陷点数、对称度及断裂度的最坏值。

显而易见,经遗传算法优化筛选后,参与建模的输入自变量个数约为全部输入自变量个数的一半。对比优化筛选前后的 BP 网络的测试结果,可以发现,当使用 16 个筛选出来的输入自变量进行建模时,预测准确率可以达到 100%,相比使用全部自变量建立的模型,性能得到了改善和提升。另一方面,优化后的模型建立时间仅为 4s 左右,而优化前的模型建立需要 29s 左右的时间,这也表明,当使用遗传算法对输入自变量进行降维压缩后,建模时间缩短了很多。

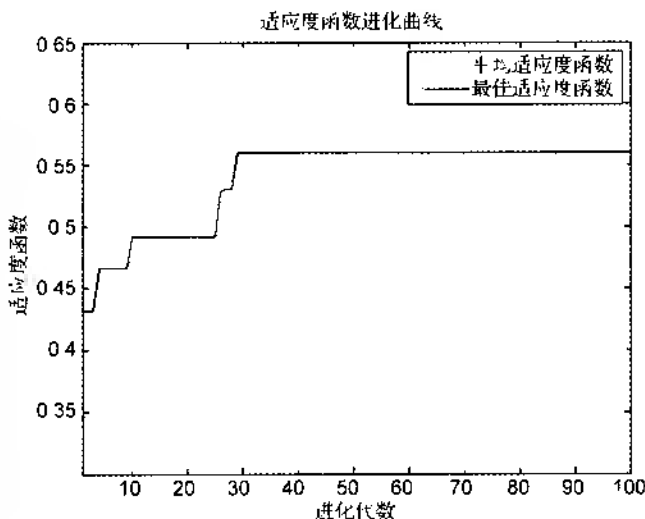


图 27-6 种群适应度函数进化曲线

27.5 案例扩展

将遗传算法与神经网络相结合,可以避免神经网络容易陷入局部极小、容易出现过拟合现象、泛化能力差等问题。针对输入自变量个数太多的模型,可以在建立模型前,利用遗传算法对输入自变量进行优化筛选,从而达到降维的目的。该方法已经成功应用于图像处理、光谱分析等领域中,随着研究的不断深入,其一定会得到更为广泛的应用。

参考文献

- [1] 雷英杰,张善文,李续武,等. MATLAB遗传算法工具箱及应用[M]. 西安:西安电子科技大学出版社,2007.
- [2] 陈全润,杨翠红.“类逐步回归”变量筛选法及其在农村居民收入预测中的应用[J]. 系统工程理论与实践,2008,11:16-22.
- [3] 赵志强,张毅,胡坚明,等. 基于PCA和ICA的交通流量数据压缩方法比较研究[J]. 公路交通科技,2008,25(11):109-113.
- [4] 王惠文,仪彬,叶明. 基于主基底分析的变量筛选[J]. 北京航空航天大学学报,2008,34(11):1288-1291.
- [5] 钱国华,荀鹏程,陈峰,等. 偏最小二乘法降维在微阵列数据判别分析中的应用[J]. 中国卫生统计,2007,24(2):120-123.
- [6] 卢文喜,李俊,于福荣,等. 逐步判别分析法在筛选水质评价因子中的应用[J]. 吉林大学学报:地球科学版,2006,39(1):126-130.
- [7] 祝诗平,王鸣,张小超,等. 基于遗传算法的近红外光谱谱区选择方法[J]. 农业机械学报,2004,35(5):152-156.
- [8] 王刚. 花椒挥发油含量近红外光谱无损检测研究[D]. 重庆:西南大学,2008.
- [9] 唐志国. 近红外(NIR)光谱法测定果冻中甜蜜素的研究[D]. 镇江:江苏大学,2007.

若您对此书内容有任何疑问,可以先到www.iloveMatlab.cn登录MATLAB中文论坛与作者交流。

第 28 章 基于灰色神经网络的预测算法研究

——订单需求预测

28.1 案例背景

28.1.1 灰色理论

灰色系统理论是一种研究少数据、贫信息、不确定性问题的新方法,它以部分信息已知、部分信息未知的“小样本”、“贫信息”不确定系统为研究对象,通过对“部分”已知信息的生成、开发,提取有价值的信息,实现对系统运行行为、演化规律的正确描述和有效监控。灰色理论是我国学者邓聚龙教授在 1982 年首先提出的,该理论认为任何随机过程都可看做是在一定时空区域内变化的灰色过程,随机量可看成灰色量,同时,他认为通过生成变换可将系统数据无规律的序列变成有规律的序列。灰色理论强调通过对无规律的系统已知信息的研究,提炼和挖掘有价值的信息,进而用已知信息去揭示未知信息,使系统不断“白化”。

灰色系统中建立的模型称为灰色模型 grey model,简称 GM 模型,该模型是以原始数据序列为基础建立的微分方程。灰色建模中最有代表性的模型是针对时间序列的 GM 建模,它直接将时间序列数据转化为微分方程,利用系统信息,使抽象的模型量化,进而在缺乏系统特性知识的情况下预测系统输出。

GM 模型首先对原始数据序列做一次累加,使累加后的数据呈现一定规律,然后用典型曲线拟合该曲线。设有时间数据序列 $x^{(0)}$:

$$x^{(0)} = (x^{(0)}(1), x^{(0)}(2), \dots, x^{(0)}(n)) = (x^{(0)}_1, x^{(0)}_2, \dots, x^{(0)}_n) \quad (28-1)$$

对 $x^{(0)}$ 作一次累加得到新的数据序列 $x^{(1)}$,新的数据序列 $x^{(1)}$ 第 t 项为原始数据序列 $x^{(0)}$ 前 t 项之和,即

$$x^{(1)} = (x^{(1)}(1), x^{(1)}(2), \dots, x^{(1)}(n)) = \left\{ x^{(0)}_1, \sum_{i=1}^2 x^{(0)}_i, \sum_{i=1}^3 x^{(0)}_i, \dots, \sum_{i=1}^n x^{(0)}_i \right\} \quad (28-2)$$

根据新的数据序列 $x^{(1)}$,建立白化方程,即

$$\frac{dx}{dt} + ax = u \quad (28-3)$$

该方程的解为

$$x = (x - u/a)e^{-at} + u/a \quad (28-4)$$

$\hat{x}^{(1)}$ 为 $x^{(1)}$ 序列的估计值,对 $\hat{x}^{(1)}$ 做一次累减得到 $\hat{x}^{(0)}$ 的预测值 $\hat{x}^{(0)}$,即

$$\hat{x}^{(0)} = \hat{x}^{(1)} - \hat{x}^{(1)}(t-1) \quad t = 2, 3, \dots \quad (28-5)$$

28.1.2 灰色神经网络

灰色问题是指对灰色的不确定系统行为特征值的发展变化进行预测的问题,该不确定系

统特征值的原始数列 $x = (x_1, x_2, \dots, x_N)$ 经过一次累加生成后得到的数列 $x^{(1)}$ 呈现指数增长规律,因而可以用一个连续函数或微分方程进行数据拟合和预测。为了表达方便,对符号进行重新定义,原始数列 x 表示为 $x(t)$, 一次累加生成后得到的数列 $x^{(1)}$ 表示为 $y(t)$, 预测结果 $x^{(1)}$ 表示为 $z(t)$ 。

n 个参数的灰色神经网络模型的微分方程表达式为

$$\frac{dy}{dt} + ay = b_1 y + b_2 y_1 + \dots + b_n y_n \quad (28-6)$$

式中, y, y_1, \dots, y_n 为系统输入参数; y 为系统输入参数; a, b_1, b_2, \dots, b_n 为微分方程系数。

式(28-6)的时间响应式为

$$z(t) = \left(y(0) - \frac{b_1}{a} y_1(t) - \frac{b_2}{a} y_2(t) - \dots - \frac{b_n}{a} y_n(t) \right) e^{-at} + \frac{b_1}{a} y_1(t) + \frac{b_2}{a} y_2(t) + \dots + \frac{b_n}{a} y_n(t) \quad (28-7)$$

令

$$d = \frac{b_1}{a} y_1(t) + \frac{b_2}{a} y_2(t) + \dots + \frac{b_n}{a} y_n(t)$$

式(28-7)可以转化为式(28-8)。

$$\begin{aligned} z(t) &= \left(y(0) - d \right) \cdot \frac{e^{-at}}{1 + e^{-a}} + d \cdot \frac{1}{1 + e^{-a}} \cdot (1 + e^{-a}) = \\ &= \left(y(0) - d \right) \left(1 - \frac{1}{1 + e^{-a}} \right) + d \cdot \frac{1}{1 + e^{-a}} \cdot (1 + e^{-a}) = \\ &= \left(y(0) - d \right) \cdot \frac{1}{1 + e^{-a}} + 2d \cdot \frac{1}{1 + e^{-a}} \cdot (1 + e^{-a}) \end{aligned} \quad (28-8)$$

将变换后的式(28-8)映射到一个扩展的BP神经网络中就得到 n 个输入参数, 1 个输出参数的灰色神经网络, 网络拓扑结构如图 28-1 所示。

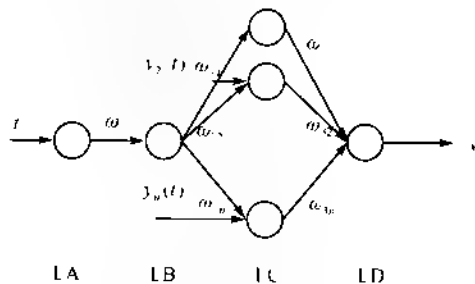


图 28-1 灰色神经网络拓扑结构

其中, t 为输入参数序号; $y_2(t), \dots, y_n(t)$ 为网络输入参数, $\omega_1, \omega_2, \dots, \omega_{2n}, \omega_1, \omega_2, \dots, \omega_{1n}$ 为网络权值; y 为网络预测值; LA、LB、LC、LD 分别表示灰色神经网络的四层。

令 $\frac{2b_1}{a} u_1, \frac{2b_2}{a} u_2, \dots, \frac{2b_n}{a} u_n$, 则网络初始权值可以表示为

$$\begin{aligned} \omega_1 &= a \cdot \omega_1 \cdot y(0), \omega_2 = u_1, \omega_3 = u_2, \dots, \omega_{2n} = u_n \\ \omega_4 &= \omega_4, \omega_5 = \dots, \omega_n = 1 + e^{-a} \end{aligned}$$

LD 层中输出节点的阈值为

$$\theta = (1 + e^{-u})(d - y(0))$$

灰色神经网络的学习流程如下。

步骤 1: 根据训练数据特征初始化网络结构, 初始化参数 a, b , 并根据 a, b 的值计算 u 。

步骤 2: 根据网络权值定义计算 $\omega_1, \omega_{21}, \omega_{22}, \dots, \omega_{2n}, \omega_{31}, \omega_{32}, \dots, \omega_{3n}$ 。

步骤 3: 对每一个输入序列 $(t, y(t)), t = 1, 2, 3, \dots, N$, 计算每层输出。

LA 层: $a = \omega_1 t$

$$\text{LB 层: } b = f(\omega_2 t) = \frac{1}{1 + e^{-u}}$$

$$\text{LC 层: } c_1 = b\omega_{21}, c_2 = y_2(t)b\omega_{22}, c_3 = y_3(t)b\omega_{23}, \dots, c_n = y_n(t)b\omega_{2n}$$

$$\text{LD 层: } d = \omega_{31}c_1 + \omega_{32}c_2 + \dots + \omega_{3n}c_n - \theta$$

步骤 4: 计算网络预测输出与期望输出的误差, 并根据误差调整权值和阈值。

LD 层误差: $\delta = d - y(t)$

$$\text{LC 层误差: } \delta_1 = \delta(1 + e^{-u}), \delta_2 = \delta(1 + e^{-u}), \dots, \delta_n = \delta(1 + e^{-u})$$

$$\text{LB 层误差: } \delta_n = \frac{1}{1 + e^{-u}} \left(1 - \frac{1}{1 + e^{-u}} \right) (\omega_{21}\delta_1 + \omega_{22}\delta_2 + \dots + \omega_{2n}\delta_n)$$

根据预测误差调整权值。

调整 LB 到 LC 的连接权值。

$$\omega_{21} = y_1(0), \omega_{22} = \omega_{21} - \mu \delta_2 b, \dots, \omega_{2n} = \omega_{21} - \mu \delta_n b$$

调整 LA 到 LB 的连接权值: $\omega_1 = \omega_{11} + a t \delta$

$$\text{调整阈值: } \theta = (1 + e^{-u}) \left(\frac{\omega_{21}}{2} y_1(t) + \frac{\omega_{22}}{2} y_2(t) + \dots + \frac{\omega_{2n}}{2} y_n(t) - y_1(0) \right)$$

步骤 5: 判断训练是否结束, 若否, 返回步骤 3。

28.1.3 冰箱订单预测

对于冰箱市场来说, 影响其需求量的因素很多, 比如季节性因素、成本、产品质量水平、品牌认可、售后服务、产品结构、产品生命周期、价格波动及销售力度、竞争对手、市场特征、性能价格比等, 根据各因素对订单需求影响的大小, 从中选取需求趋势、产品的市场份额、销售价格波动、订单缺货情况和分销商的联合预测情况。个因素作为主要因素预测冰箱订单量。

产品的市场份额是指某个企业销售额在同一市场(或行业)全部销售额中所占比重。一般来说, 某市场中, 企业越多, 单个企业所占比重越低, 即市场份额小, 该市场的竞争程度越高。

产品的生命周期是指产品从推出市场到从市场退出的周期。产品订单同产品生命周期有很大关系, 比如产品处于成长期, 那么其需求将增长快速。处于成熟期, 其需求的增长比较缓慢且稳定。

价格波动一般指企业为了增加产品的销量, 减少闲置库存, 提升品牌竞争力, 又或者由于原材料的成本增加, 为满足一定的盈利, 短时间内价格的变化。价格的波动导致的需求量突增或突减可以反映在市场活动如促销前后, 直接的价格战前后, 因而在做需求预测时要考虑预测期间的市场活动状况, 对预测的需求量按促销等力度加以调整。

订单满足率是由于供应量的不足导致的缺货和其他原因不能满足给定数量的货物所占总订单数的比例。对于某冰箱公司, 一般情况下, 下游企业或者说批发商会在给定前置期的范

国内下订单,但是由上月前的以需求计划为引导的生产计划可能不能满足足够数额的需求,所以会产生制造商和批发商之间的短期博弈。

分销商联合预测因素是指供应商、制造商、配送商、分销商、零售商,直至最后的客户连接成一个有机体,考虑各自上下游之间的需求匹配性,进行联合预测,实现信息共享,来减少供应链中的存货、生产及运输成本,快速响应消费者需求,提高订单满足率和客户服务水平。

28.2 模型建立

基于灰色神经网络的冰箱订单预测算法流程如图 28-2 所示。其中,灰色神经网络构建根据输入-输出数据维数确定灰色神经网络结构。由于本案例输入数据为 6 维,输出有 1 维,所以灰色神经网络结构为 $1-1-6-1$,即 LA 层有 1 个节点,输入为时间序列 t ,LB 层有 1 个节点,LC 层有 6 个节点,从第 2 个到第 6 个分别输入市场份额、需求趋势、价格波动、订单满足率、分销商联合预测等 5 个因素的归一化数据,输出为预测订单量。

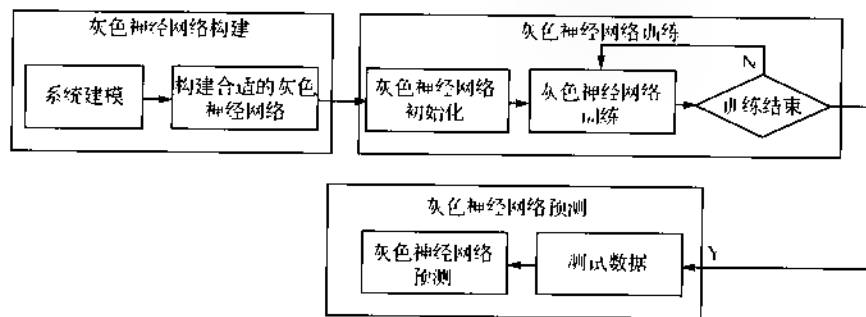


图 28-2 灰色神经网络流程

灰色神经网络训练用训练数据训练灰色神经网络,使网络具有订单预测能力。灰色神经网络预测用网络预测订单数量,并根据预测误差判断网络性能。共有过去 3 年(36 个月)的数据,首先取前 30 个月的数据作为训练数据训练网络,网络共学习进化 100 次,然后用剩余 6 组数据评价网络的预测性能。

28.3 编程实现

根据灰色神经网络原理,在 MATLAB 中编程实现基于灰色神经网络的订单需求预测。

28.3.1 数据处理

对原始数据进行累加作为网络的输入-输出参数,冰箱原始订单数据存储在 data.mat 文件的矩阵 X 中, X 为 36 行 6 列矩阵,第 1 列为冰箱订单数,第 2 到 6 列分别为需求趋势、产品的市场份额、销售价格波动、订单缺货情况和分销商的联合预测。

```

% 清空环境变量
clc
  
```

若您对此书内容有任何疑问,可以凭在线交流卡登录 MATLAB 中文论坛与作者交流。

```

clear

% 下载数据
load data

% 原始数据累加
[n,m] = size(X);
for i = 1:n
    y(i,1) = sum(X(i,1,1));
    y(i,2) = sum(X(i,1,2));
    y(i,3) = sum(X(i,1,3));
    y(i,4) = sum(X(i,1,4));
    y(i,5) = sum(X(i,1,5));
    y(i,6) = sum(X(i,1,6));
end
  
```

28.3.2 网络初始化

初始化灰色神经网络权值和阈值。

```

% 网络参数初始化
a = 0.3 + rand(1, 4);
b1 = 0.3 + rand(1) / 4;
b2 = 0.3 + rand(1) / 4;
b3 = 0.3 + rand(1) / 4;
b4 = 0.3 + rand(1) / 4;
b5 = 0.3 + rand(1) / 4;

% 学习速率
u1 = 0.0015;
u2 = 0.0015;
u3 = 0.0015;
u4 = 0.0015;
u5 = 0.0015;

% 权值初始化
t = 1;
w11 = a;
w21 = y(1,1);
w22 = 2 * b1 * a;
w23 = 2 * b2 * a;
w24 = 2 * b3 * a;
w25 = 2 * b4 * a;
w26 = 2 * b5 * a;
w31 = 1 + exp(-a * t);
w32 = 1 + exp(a * t);
  
```

```

w33 = 1 + exp(-a * t);
w34 = 1 + exp(-a * t);
w35 = 1 + exp(-a * t);
w36 = 1 + exp(-a * t);
theta = (1 + exp(-a * t)) * (b1 * y(1,2) * a + b2 * y(1,3) * a + b3 * y(1,4) * a + b4 * y(1,5) * a + b5 * y(1,6) * a - y(1,1));

```

28.3.3 网络学习

利用训练数据训练灰色神经网络。

```

% 网络循环
for j = 1:100
% 记录误差
E(j) = 0;
for i = 1:30
    t = 1;
    % 网络输出计算
    LB_b = 1 / (1 + exp(-w11 * t)); % LB 层输出
    LC_c1 = LB_b * w21; % LC 层输出
    LC_c2 = y(1,2) * LB_b * w22; % LC 层输出
    LC_c3 = y(1,3) * LB_b * w23; % LC 层输出
    LC_c4 = y(1,4) * LB_b * w24; % LC 层输出
    LC_c5 = y(1,5) * LB_b * w25; % LC 层输出
    LC_c6 = y(1,6) * LB_b * w26; % LC 层输出
    LD_d = w31 * LC_c1 + w32 * LC_c2 + w33 * LC_c3 + w34 * LC_c4 + w35 * LC_c5 + w36 * LC_c6; % LD
层输出
    theta = (1 + exp(-w11 * t)) * w22 * y(1,2) + w23 * y(1,3) + w24 * y(1,4) + w25 * y(1,5)
+ w26 * y(1,6) - y(1,1); % 阈值
    ym = LD_d - theta; % 网络预测值
    yc(i) = ym;

    % 权值修正
    error = ym - y(1,1); % 计算误差
    E(j) = E(j) + abs(error); % 误差求和
    error1 = error * (1 + exp(-w11 * t)); % LC 层误差
    error2 = error * (1 + exp(-w11 * t));
    error3 = error * (1 + exp(-w11 * t));
    error4 = error * (1 + exp(-w11 * t));
    error5 = error * (1 + exp(-w11 * t));
    error6 = error * (1 + exp(-w11 * t));
    error7 = (1 / (1 + exp(-w11 * t))) * (1 - 1 / (1 + exp(-w11 * t))) * (w21 * error1 + w22 * error2
+ w23 * error3 + w24 * error4 + w25 * error5 + w26 * error6); % LB 层误差

    % 修改权值
    w22 = w22 - u1 * error2 * LB_b;

```

```
w23 = w23 - u2 * error3 * LB_b;
w24 = w24 - u3 * error4 * LB_b;
w25 = w25 - u4 * error5 * LB_b;
w26 = w26 - u5 * error6 * LB_b;
w11 = w11 + a * t * error7;
end
end
```

28.3.4 结果预测

用训练好的灰色神经网络预测冰箱订单。

% 灰色神经网络预测

```
for i = 31:36
```

```
    t = 1;
```

```
    LB_b = 1/(1 + exp(-w11 * t)); % LB 层输出
```

```
    LC_c1 = LB_b * w21; % LC 层输出
```

```
    LC_c2 = y(1,2) * LB_b * w22; % LC 层输出
```

```
    LC_c3 = y(1,3) * LB_b * w23; % LC 层输出
```

```
    LC_c4 = y(1,4) * LB_b * w24; % LC 层输出
```

```
    LC_c5 = y(1,5) * LB_b * w25; % LC 层输出
```

```
    LC_c6 = y(1,6) * LB_b * w26; % LC 层输出
```

```
    LD_d = w31 * LC_c1 + w32 * LC_c2 + w33 * LC_c3 + w34 * LC_c4 + w35 * LC_c5 + w36 * LC_c6;
```

```
    theta = (1 + exp(-w11 * t)) * (w22 * y(1,2)/2 + w23 * y(1,3)/2 + w24 * y(1,4)/2 + w25 * y(1,5)/2 + w26 * y(1,6) - 2 * y(1,1));
```

```
    ym = LD_d - theta; % 网络预测
```

```
    yc(i) = ym;
```

```
end
```

% 预测值递减得到订单需求

```
for j = 36:-1:2
```

```
    ys(j) = (yc(j) - yc(j-1))/10;
```

```
end
```

灰色神经网络网络训练过程如图 28-3 所示。

从图 28-3 可以看出,灰色神经网络收敛速度很快,但是网络很快陷入局部最优,无法进一步修正参数。用训练好的灰色神经网络预测冰箱订单,预测结果如图 28-4 所示。

灰色神经网络预测的平均误差为 7.20%,BP 神经网络预测的平均误差为 10.74%,说明灰色神经网络比较适用于小样本预测问题。

若您对此书内容有任何疑问,可以凭在线交流卡登录 MATLAB 中文论坛与作者交流。

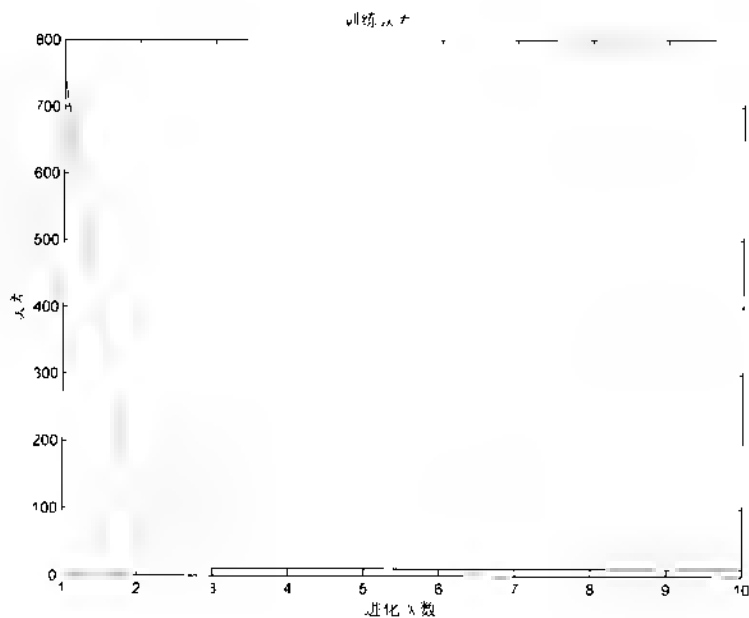


图 28-3 灰色神经网络训练过程

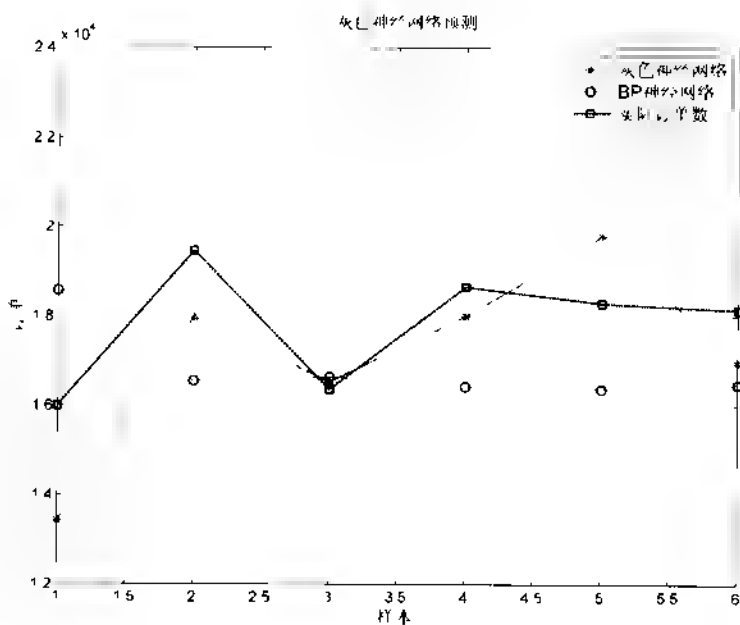


图 28-4 灰色神经网络预测

若您对此书内容有任何疑问，可以凭在线交流卡登录 MATLAB 中文论坛与作者交流。

28.4 案例扩展

灰色神经网络由于权值阈值随机初始化,网络进化时容易陷入局部最优,并且每次预测的结果都不相同。采用遗传算法优化灰色神经网络,算法思路同第3章类似,用遗传算法优化 a, b, b_0, b_1, b_2, b_3 6个参数,遗传算法个体采用实数编码,把个体对应灰色神经网络预测误差作为个体适应度值。种群规模为30,迭代次数为100次,遗传算法最优个体适应度值随迭代次数的变化如图28-5所示。

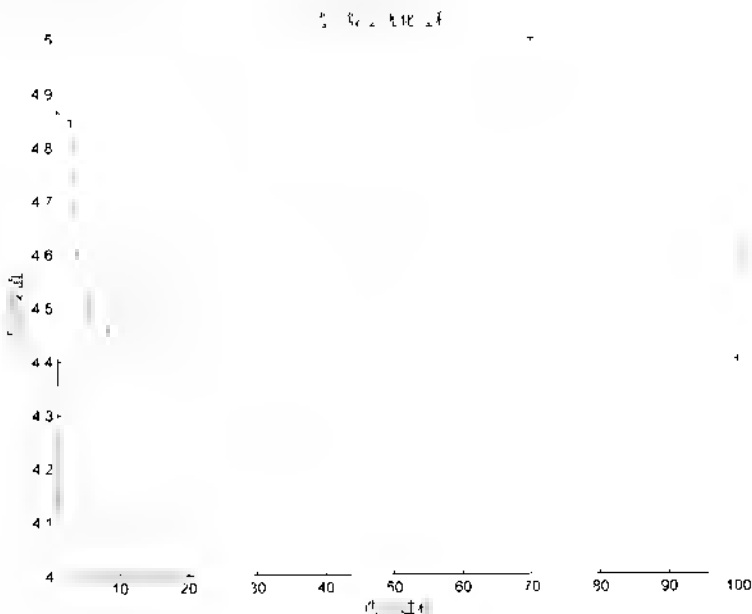


图 28-5 遗传算法优化过程

遗传算法优化得到的最佳初始参数值如表28-1所列。

表 28-1 最佳初始参数

参数名称	a	b	b_0	b_1	b_2	b_3
参数值	0.010	313	14.2	4.1	67.7	317

把最佳初始参数赋予灰色神经网络,网络训练后的预测订正结果如图28-6所示。

GA优化灰色神经网络预测平均误差为5.99%,相比未优化的灰色神经网络预测平均误差7.2%,遗传算法优化取得了比较好的效果。

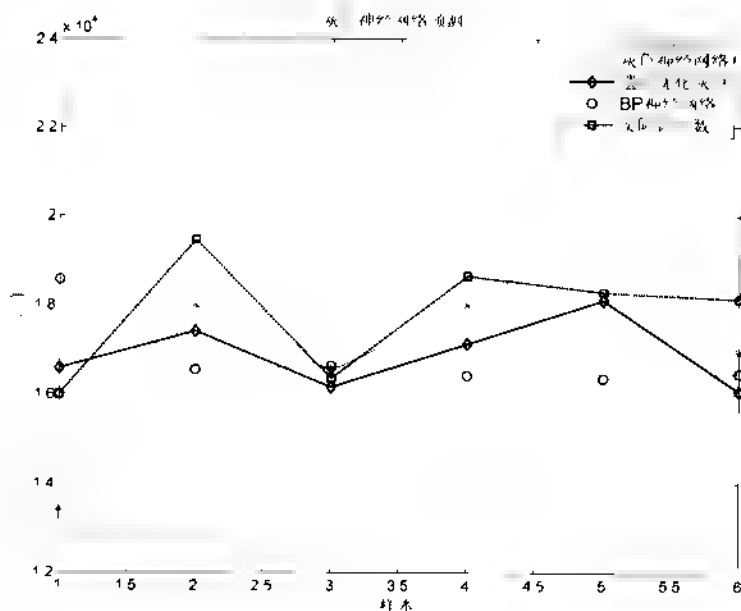


图 28-6 GA 优化灰色神经网络预测

参考文献

- [1] 周宏. 灰色神经网络及在砼结构使用寿命评估中的应用[D]. 武汉: 武汉理工大学, 2004.
- [2] 肖俊. 基于粒子群算法的GM(1,1)模型及其应用[D]. 武汉: 华中科技大学, 2005.
- [3] 卢丹改. 基于灰色理论的神经网络方法在防洪堤边坡稳定性分析中的应用[D]. 南宁: 广西大学, 2004.
- [4] 秦毅. 基于模糊评判的灰色神经网络(GNNM)综合模型在电力负荷预测中的理论探讨[D]. 沈阳: 东北大学, 2005.
- [5] 贾艳辉. 基于灰色系统和神经网络的环境气象特种预报研究[D]. 哈尔滨: 哈尔滨工业大学, 2004.
- [6] 李俊峰. 灰色系统建模理论与应用研究[D]. 杭州: 浙江理工大学, 2005.
- [7] 赵上清. 基于多变量灰色系统模型的碾压混凝土温度拟合分析及模型预报[D]. 河南: 华北水利水电学院, 2004.
- [8] 姜波. 灰色系统与神经网络分析方法及其研究应用[D]. 武汉: 华中科技大学, 2004.
- [9] 马雄威, 朱再清. 灰色神经网络模型在猪肉价格预测中的作用[J]. 内蒙古农业大学学报, 2008, 10(40): 91-93.

若您对此书内容有任何疑问, 可以在线交流或登录 MATLAB 中文论坛与作者交流。

第 29 章 基于 Kohonen 网络的聚类算法

——网络入侵聚类

29.1 案例背景

29.1.1 Kohonen 网络

Kohonen 网络是自组织竞争型神经网络的一种,该网络为无监督学习网络,能够识别环境特征并自动聚类。Kohonen 神经网络是芬兰赫尔辛基大学教授 Teuvo Kohonen 提出的,该网络通过自组织特征映射调整网络权值,使神经网络收敛于一种表示形态。在这一形态中,一个神经元只对某种输入模式特别匹配或特别敏感。Kohonen 网络的学习是无监督的自组织学习过程,神经元通过无监督竞争学习使不同的神经元对不同的输入模式敏感,从而特定的神经元在模式识别中可以充当某一输入模式的检测器。网络训练后神经元被划分为不同区域,各区域对输入模式具有不同的响应特征。

Kohonen 神经网络结构为包含输入层和竞争层两层前馈神经网络,神经网络第 1 层为输入层,输入层神经元个数同输入样本向量维数一致,取输入层节点数为 m 。第 2 层为竞争层,也称输出层,竞争层节点呈二维阵列分布,取竞争层节点数为 n 。输入节点和输出节点之间以可变权值全连接,连接权值为 ω_{ij} ($i=1,2,\dots,m; j=1,2,\dots,n$)。Kohonen 网络拓扑结构小意图如图 29-1 所示。

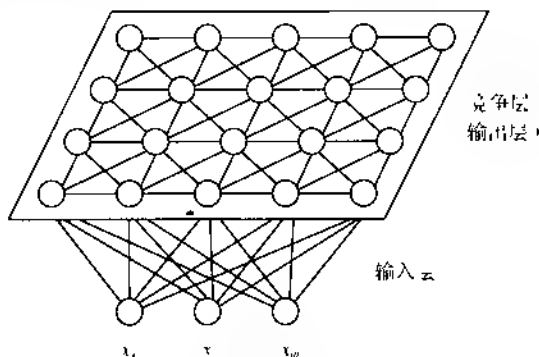


图 29-1 Kohonen 网络拓扑结构

Kohonen 神经网络算法工作原理为:网络学习过程中,当样本输入网络时,竞争层上的神经元计算输入样本与竞争层神经元权值之间的欧几里得距离,距离最小的神经元为获胜神经元。调整获胜神经元和相邻神经元权值,使获得神经元及相邻权值靠近该输入样本。通过反复训练,最终各神经元的连接权值具有一定的分布,该分布把数据之间的相似性组织到代表各类的神经元上,使同类神经元具有相近的权系数,不同类的神经元权系数差别明显。需要注意

的是,在学习的过程中,权值修改学习速率和神经元领域均在不断减少,从而使同类神经元逐渐集中。Kohonen网络训练步骤如下。

步骤1:网络初始化。初始化网络权值 ω 。

步骤2:距离计算。计算输入向量 $X = (x_1, x_2, \dots, x_n)$ 与竞争层神经元 j 之间的距离 d ,

$$d = \sum_{i=1}^n (x_i - \omega_{ji})^2 \quad j = 1, 2, \dots, n \quad (29-1)$$

步骤3:神经元选择。把与输入向量 X 距离最小的竞争层神经元 c 作为最优匹配输出神经元。

步骤4:权值调整。调整节点 c 和在其领域 $N(c)$ 内包含的节点权系数,即

$$N(c) = \{t \mid \text{find}(\text{norm}(\text{pos}_c, \text{pos}_t) < r)\} \quad t = 1, 2, \dots, n \quad (29-2)$$

$$\omega_{jt} = \omega_{jt} + \eta(X_{jt} - \omega_{jt}) \quad (29-3)$$

式中, $\text{pos}_c, \text{pos}_t$ 分别为神经元 c 和 t 的位置, norm 计算两神经元之间欧几里得距离; r 为领域半径; η 为学习速率。 r, η 一般随进化次数的增加而线性下降。

步骤5:判断算法是否结束,若没有结束,返回步骤2。

29.1.2 网络入侵

本案例采用Kohonen网络对网络入侵行为进行聚类分析,网络入侵定义及相关理论内容见第25章。

29.2 模型建立

基于Kohonen网络的网络入侵攻击聚类算法流程如图29-2所示。

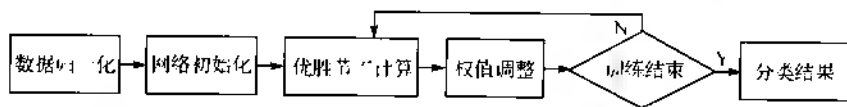


图 29-2 算法流程

数据归一化是指把网络入侵数据进行归一化处理。

网络初始化根据入侵数据特点初始化网络,由于网络入侵数据有38维,入侵数据来自于3种不同类型的网络入侵模式,所以输入层节点数为38。竞争层节点代表输入数据潜在的分类类别,竞争层节点数一般大大多于数据实际类别,选择竞争层节点数为36个,竞争层节点排列在一个6行6列的方阵中。

按公式(29-1)计算和输入样本最接近的竞争层节点作为该样本的优胜节点。

权值调整根据公式(29-2)调整优胜节点领域半径 r 内节点权值,其中领域半径和学习速率随着进化过程逐渐变小,这样输入数据逐渐向几个节点集中,从而使网络实现聚类功能。本案例中最大领域 rl_{\max} 为1.5,最小领域 rl_{\min} 为0.4,最大学习概率 $ratel_{\max}$ 为0.1,最小学习概率 $ratel_{\min}$ 为0.01。网络共学习调整10000次。

若您对此书内容有任何疑问,可以凭在线交流卡登录MATLAB中文论坛与作者交流。

29.3 编程实现

根据 Kohonen 网络原理,在 MATLAB 软件中编程实现基于 Kohonen 网络的网络入侵分类算法。

29.3.1 网络初始化

下载入侵数据,入侵数据和入侵类别都存储在 netattack.mat 文件中,其中入侵数据在 1 到 38 列,入侵类别在第 39 列。根据入侵数据维数初始化 Kohonen 网络。

```
% 清空环境变量
clc
clear

% 数据下载
load netattack
input = netattack(:,1:38);

% 归一化处理
[inputn,inputps] = mapminmax(input);
[nn,mm] = size(inputn);

% 输入层节点数
Inum = mm;

% 竞争层节点数
M = 6;
N = 6;
K = M * N; % 竞争层节点数

% 确定竞争层节点位置
k = 1;
for i = 1:M
    for j = 1:N
        jdx(k, :) = [i,j]; % 每个节点位置
        k = k + 1;
    end
end

% 学习速率
rateimax = 0.1;
rateimin = 0.01;

% 领域半径
```

```

rlmax = 2;
rlmin = 0.6;

% 权值初始化
w1 = rand(Inum,K);

```

29.3.2 网络学习进化

从数据中随机挑选一组数据输入网络,通过计算输入数据和节点权值距离找出优胜节点,调整优胜节点及其领域内节点连接权值。

```

% 网络学习次数
maxgen = 20000;

% 网络迭代学习
for i = 1:maxgen

    % 计算学习速率和领域半径
    rate1 = rate1max - i/maxgen * (rate1max - rate1min);
    r = rlmax - i/maxgen * (rlmax - rlmin);

    % 随机抽取一组输入数据
    k = unidrnd(4500);
    x = inputn(k,:);

    % 找出优胜节点
    [mind_st,index] = min(dist(x,w1));

    % 找出优胜节点领域内节点
    d1 = ceil(index/6);
    d2 = mod(index,6);
    nodeindex = find(dist([d1 d2],jdpk') <= r);

    % 权值更新
    for j = 1:K
        if sum(nodeindex == j)
            w1(:,j) = w1(:,j) + rate1 * (x' - w1(:,j));
        end
    end
end

end

```

29.3.3 数据分类

将所有入侵数据依次输入训练好的 Kohonen 网络中,计算每组数据与竞争层节点距离,将其划分到与其最接近的节点代表类别中。

```
% 聚类结果
Index = [],
for i = 1:4000
    {mindist,index} = min(dist(inputn(i,:),w1));
    Index = [Index,index'];
end
```

29.3.4 结果分析

netattack.mat 里面共有 4 000 组数据,其中第 1 组到 1 383 组数据属于第 1 类网络入侵方式,第 1 384 组到 3 238 组属于第 2 类网络入侵方式,第 3 239 组到 3 357 组属于第 3 类入侵方式,第 3 358 组到 3 918 组属于第 4 类入侵方式,第 3 919 组到 4 000 组属于第 5 类入侵方式。通过计算得到各类入侵数据的优胜节点,如表 29-1 所列。

竞争层优胜节点分布如图 29-3 所示。其中,①代表第 1 类入侵数据所属节点,②代表第 2 类入侵数据所属节点,③代表第 3 类入侵数据所属节点,④代表第 4 类入侵数据所属节点,⑤代表第 5 类入侵数据所属节点。空白表示节点不属于任何类。从图 29-3 可以看出,不同类别的优胜节点基本按块分布,分类算法取得了良好的效果。

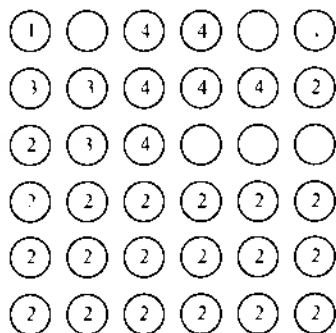


表 29-1 优胜节点序号

类别	节点序号
第 1 类	1,6
第 2 类	13, 1~36
第 3 类	7, 8, 11
第 4 类	3, 4, 9, 11
第 5 类	12

图 29-3 优胜节点分布

29.4 案例扩展

29.4.1 有监督 Kohonen 网络原理

上述内容表明 Kohonen 网络可以对未知类别数据进行无监督分类,但是分类结果中同一类别数据对应不同的网络节点,如果按照一个节点对应一类来说,Kohonen 网络分类的类别比实际数据类别要多。Kohonen 网络可以通过在竞争层后增加输出层变为有监督学习的网络(S Kohonen 网络),S Kohonen 网络同 Kohonen 网络相比,增加一层输出层,输出层节点个数同数据类别相同,每个节点代表一类数据。输出层节点和竞争层节点通过权值全相连,数据输入 S Kohonen 网络,在权值调整时,不仅调整输入层同竞争层优胜节点领域内节点权值,同时调整竞争层优胜节点领域内节点同输出层节点权值,调整公式为式(29-3)。

$$\omega_{jk} = \omega_{jk} - \eta_k(Y_k - \omega_{jk}) \quad (29-4)$$

式中, η_k 为学习概率, ω_{jk} 为竞争层和输出层权值; Y_k 为样本所属类别。

S Kohonen 网络训练过程同 Kohonen 网络训练类似,不同的是在调整输入层同竞争层获胜节点权值的同时按公式(29-4)调整竞争层获胜节点同输出层节点之间的权值。

网络训练完后可对未知样本进行分类,分类时首先计算同未知样本最近的竞争层节点作为优胜节点,与优胜节点连接权值最大的输出层节点代表类别为未知样本类别。

对于本案例来说,由于数据来源于5种类型的入侵数据,所以网络结构为38-36-5,输入层和竞争层的权值 ω 随机初始化,竞争层和输出层的权值 ω_{jk} 初始为1。取4500组网络攻击数据,从中随机抽取4000组数据训练网络,500组数据测试网络分类能力,MATLAB程序如下。

29.4.2 网络初始化

训练数据和预测数据存储在 data.mat 文件中,其中 datatrain 为训练数据,datatest 为预测数据,datatrain 中第1列到第38列为网络入侵数据,第39列为入侵类别,根据入侵类别得到入侵数据对应输出,初始化 S Kohonen 网络结构及权值。

```
% 清空环境变量
clc
clear

% 随机选择训练数据和测试数据
load data
input = datatrain(:,1:38);
attackkind = datatrain(:,39);

c = randperm(4500);
input_train = input(c(1:4000),:);
output_train = output(c(1:4000),:);

[nn,mm] = size(inputn);
[b,c] = sort(rand(1,nn));

% 输出计算
for i = 1:nn
    switch attackkind(i)
        case 1
            output(i,:) = [1 0 0 0 0];
        case 2
            output(i,:) = [0 1 0 0 0];
        case 3
            output(i,:) = [0 0 1 0 0];
        case 4
            output(i,:) = [0 0 0 1 0];
```



```

case 5
    output(1,:)=[0 0 0 0 1];

end

end

% 网络结构初始化
M=6;
N=6;
K=M*N;          % Kohonen 层
g=5;             % 输出层节点

% Kohonen 层节点排序
k=1;
for i=1:M
    for j=1:N
        jdp(x(k,:),[1,]);
        k=k+1;
    end
end

% 学习速率
ratelmax=0.1;
ratelmin=0.01;
rate2max=1;
rate2min=0.5;

% 节点领域
rlmax=1.5;
rlmin=0.4;
    
```

29.4.3 网络训练

用训练数据训练 S-Kohonen 网络,网络经过学习后具有未知样本分类能力。

```

%% 迭代次数
maxgen=10000;
for i=1:maxgen

    % 学习速率,领域半径自适应调整
    ratel=ratelmax-1/maxgen*(ratelmax-ratelmin);
    rate2=rate2min+1/maxgen*(rate2max-rate2min);
    r=rlmax-1/maxgen*(rlmax-rlmin);

    % 随机抽取训练数据
    k=unidrnd(4000);
    x=input_train(k,:);
    
```

若您对此书内容有任何疑问,可以在线交流或登录 MATLAB 中文论坛与作者交流

```

y = output_train(x,:);

% 计算获胜节点
[mindist,index] = min(dist(x,w1));

% 领域计算
d1 = ceil(index/6);
d2 = mod(index,6);
nodeindex = find(dist([d1 d2],cpx') <= r);

% 权值调整
for j = 1:length(nodeindex)
    w1(:,nodeindex(j)) = w1(:,nodeindex(j)) + rate1 * (x' - w1(:,nodeindex(j)));
    w2(nodeindex(j),:) = w2(nodeindex(j),:) + rate2 * (y - w2(nodeindex(j),:));
end
end

```

29.4.4 未知样本分类

用训练好的 S-Kohonen 网络分类未知样本。

```

for i = 1:500
    x = inputn_test(i,:);
    % 获胜节点
    [mindist,index] = min(dist(x,w1));

    % 样本所属类别
    [a,b] = max(w2(index,:));
    outputfor(i) = b;
end

```

29.4.5 结果分析

用训练好的 S-Kohonen 网络分类测试样本数据,分类数据共有 10 组,分类结果如表 29-1 所示。

从预测结果可以看出,绝大部分测试数据网络分类类别同期望类别一致,10 组测试数据分类正确的有 192 组,正确率为 98.4%。

若您对此书内容有任何疑问,可以凭在线交流卡登录 MATLAB 中文论坛与作者交流

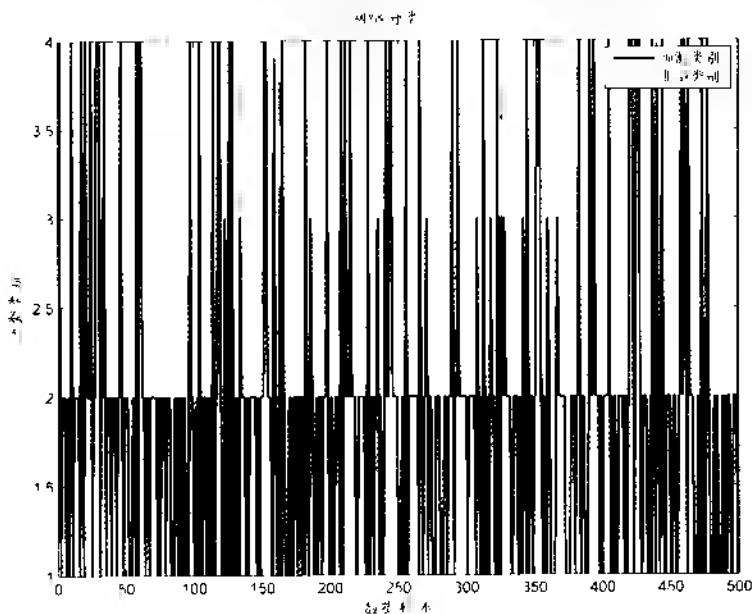


图 29-4 网络分类结果

参考文献

- [1] 樊政. 基于 Kohonen 神经网络的用户访问模式挖掘模式的研究[D]. 南昌: 南昌大学, 2007.
- [2] 刘纯平. 基于 Kohonen 神经网络聚类方法在遥感分类中的比较[J]. 计算机仿真, 2006, 26(7): 144-175.
- [3] 范作民, 李杰, 阎国华. Kohonen 网络在发动机故障诊断中的应用[J]. 航空动力学报, 2006, 21(1): 89-92.
- [4] 莫礼平. 基于 Kohene 神经网络的故障诊断方法[J]. 成都大学学报, 2007, 3(1): 47-51.
- [5] 彭建, 王军. 基于 Kohonen 神经网络的国土土地资源综合评价[J]. 资源科学, 2006, 28(1): 41-48.

第 30 章 神经网络 GUI 的实现

——基于 GUI 的神经网络拟合、模式识别、聚类

30.1 案例背景

以上案例都是利用命令行的形式来调用神经网络函数,而对于刚开始接触神经网络和 MATLAB 的用户来讲,则需要花费一些时间来学习如何调用神经网络函数、理解函数中参数的意义。为了方便使用 MATLAB 编程的新用户,快速地利用神经网络解决实际问题, MATLAB 提供了一个基于神经网络工具箱的图形用户界面。所谓图形用户界面(GUI, Graphical User Interfaces),指的是由窗口、光标、按键、菜单、文字说明等对象构成的一个用户界面。用户可以通过一定的方法,如鼠标或者键盘,选择、激活这些图形对象,实现某种特定的功能,如计算、绘图等。这种简单、易用的交互功能能够极大地提高工作效率。

考虑到图形用户界面带来的方便和神经网络在数据拟合、模式识别、聚类各个领域的应用, MATLAB R2009a 提供了 3 种神经网络拟合工具箱,下面将逐一介绍。

30.2 模型建立

30.2.1 神经网络拟合工具箱的图形界面

神经网络在函数逼近和数据拟合方面得到广泛应用,该 GUI 界面可以实现神经网络的数据拟合功能。

打开神经网络拟合工具箱图形界面的命令为:

```
nftool
```

执行后将弹出如图 30-1 所示的对话框界面。

从对话框可知,神经网络拟合工具箱可用来收集、建立和训练网络,并且利用均方误差和回归分析来评价网络的效果。该工具箱采用一个两层前向型神经网络拟合函数,隐藏层神经元使用的是 Sigmoid 函数,输出神经元使用线性神经元,如果给定足够的隐藏层神经元,网络就可实现多维数据的拟合问题。

拟合工具箱的训练算法使用了 Levenberg-Marquardt 算法,即 trainlm,单击 Next 按钮,会出现导入数据的对话框,如图 30-2 所示。

从 MATLAB 的 workspace 内可以导入数据,数据分为输入数据和目标数据。要注意的是,输入数据导入后,数据的大小会自动地归一化到 $[-1, 1]$ 之间。单击 [Next] 按钮,可以看到选取验证数据和测试数据的对话框,如图 30-3 所示。

整个数据集分为训练集、验证集和测试集。其中,训练集是用来训练神经网络的样本,目

的是为了让网络对训练样本的特征进行学习。验证集同样是用来网络训练的,但是它的目的是为了确认在训练过程中,网络的泛化能力是不是在不断提高。一旦发现经过训练后,网络的泛化能力没有提高,则停止训练。测试集则与训练集无关,只是为了测试已经训练好的网络性能。

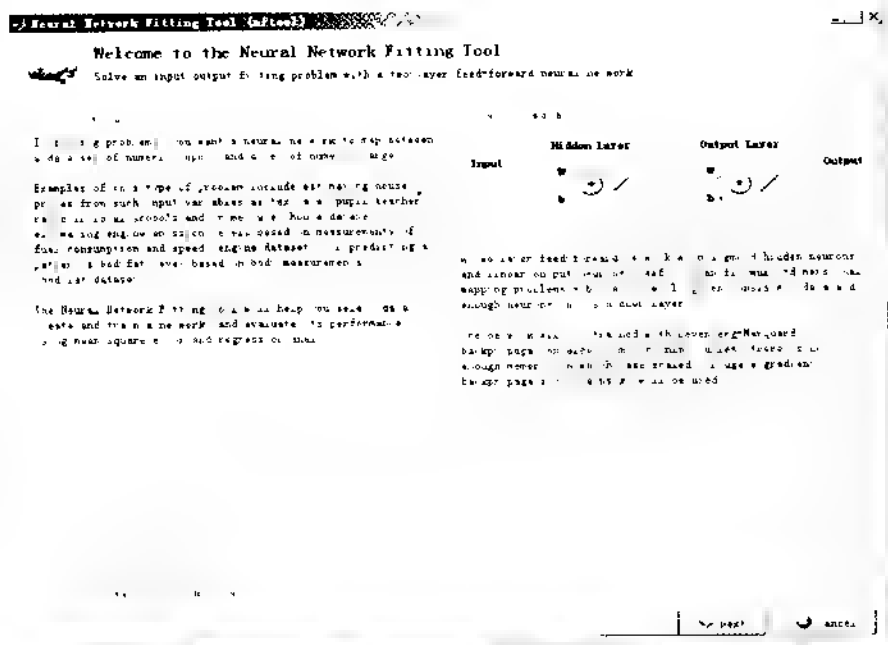


图 30-1 拟合工具箱

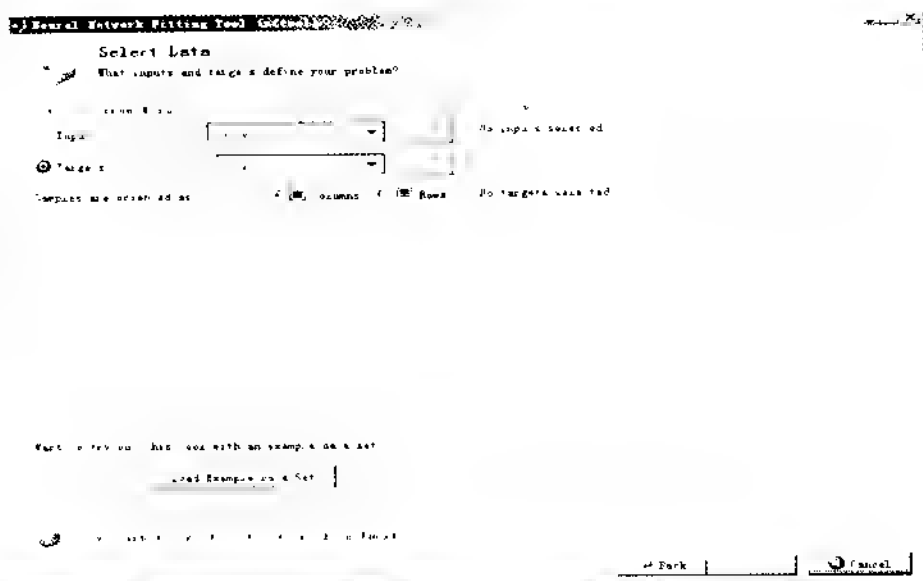


图 30-2 导入数据

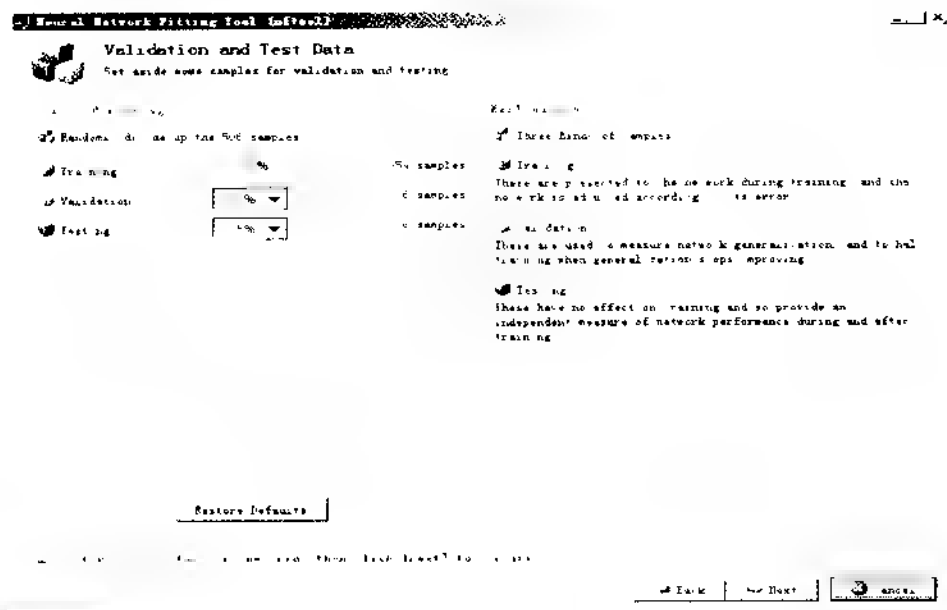


图 30-3 选取验证数据和测试数据

对话框的右边有一个选项,是针对总的数据集来讲,训练集、确认集和测试集三个部分的比例。从图中可以看出,训练集占的比例在图中为 70%,确认集占的比例在图中为 15%,测试集占的比例在图中为 15%。单击 Next 按钮,出现如图 30-4 所示的对话框。

小提示: 训练集、验证集和测试集,这三个名词在机器学习领域的文章中极其常见,但很多人对它们的概念并不是特别清楚,尤其是后两个经常被人混用。Neural Networks 中给出了这两个词的定义。

Training set: A set of examples used for learning, which is to fit the parameters (i.e., weights) of the classifier.

Validation set: A set of examples used to tune the parameters (i.e., architecture, not weights) of a classifier, for example to choose the number of hidden units in a neural network.

Test set: A set of examples used only to assess the performance (generalization) of a fully specified classifier.

显然,training set 是用来训练模型或确定模型参数的,如 ANN 中权值等; validation set 是用来做模型选择(model selection),即做模型的最终优化及确定的,如 ANN 的结构;而 test set 纯粹是为了测试已经训练好的模型的推广能力。当然, test set 并不能保证模型的正确性,它只是说相似的数据用此模型会得出相似的结果。但实际应用中,一般只将数据集分成两类,即 training set 和 test set,大多数文章并不涉及 validation set。

该对话框能设置神经网络的隐藏层神经元个数。由于使用了 2 层的前向型神经网络,所以输入和输出数据确定后,可以调整的只有隐藏层的神经元数目,在图 30-4 中,隐藏层神经网络的数目设置为 2)。如果在测试过程中发现拟合效果不好,可以回到这个对话框来重新调整隐藏层的神经元数目。接下来是一个网络训练的对话框,如图 30-5 所示。



图 30-4 选择网络结构



图 30-5 网络训练

图 3-5 是网络训练的过程,在网络训练结束后,可以使用对话框右侧的 Plot for Plot regression 按钮画出拟合的效果图。此处需要注意的是,当网络的确认集的误差均方开始增加时,也就是说当网络泛化效果停止提高时,网络训练会自动停止。因为所选取的初始条件和样本的不同,不同的训练将导致训练的结果不尽相同。训练完成后,单击 [Next] 按钮,会出现一

个修正训练的神经网络的对话框,如图 30-6 所示。当网络拟合效果不好时,还可以重新训练。如果想调整网络结构,也可以增加神经元。如果觉得之前训练的数据没有代表性,也可以增加训练数据。

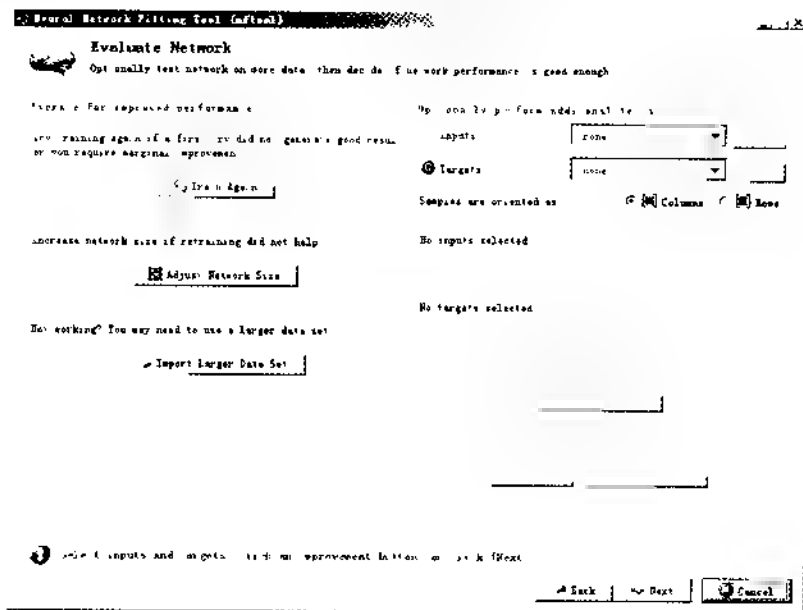


图 30-6 网络修正

如果对网络的拟合效果满意的话,单击[Next]按钮,出现最后的保存数据和网络的对话框,如图 30-7 所示。

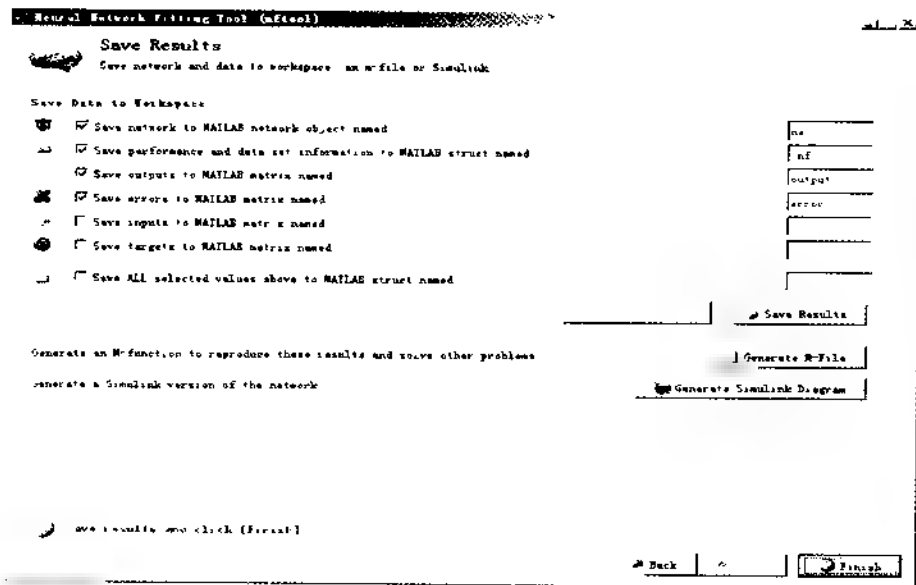


图 30-7 保存数据和网络

这个对话框允许存储输入、输出、误差和网络结构等与训练相关的数据。将训练好的网络保存以后,如果有新的需要拟合的数据,就可以通过调用保存的网络直接进行拟合了。

30.2.2 神经网络模式识别工具箱的图形界面

打开神经网络模式识别工具箱图形界面的命令为:

```
nprtool
```

执行后将弹出如图 30-8 所示的对话框。

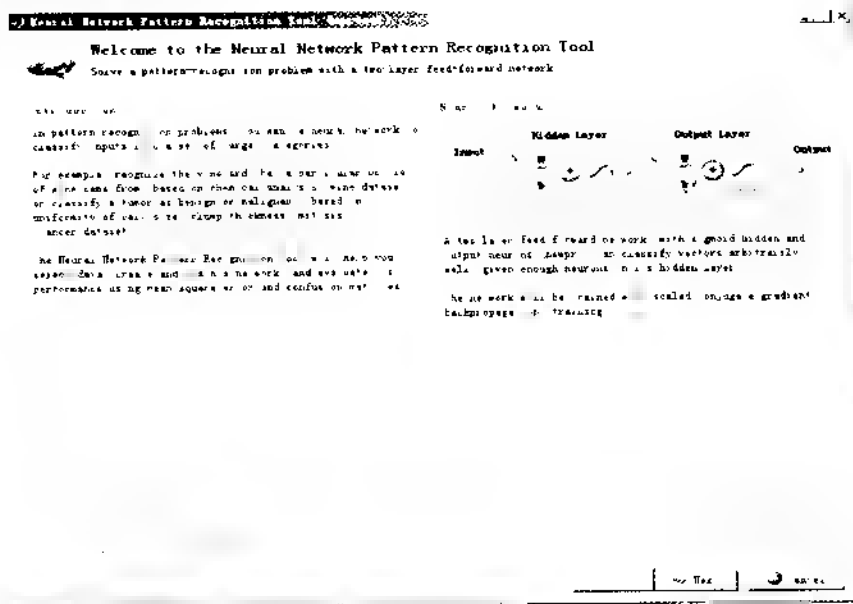


图 30-8 模式识别工具箱介绍文字

神经网络解决模式识别问题时,往往是通过建立一种网络来对已有分类的目标数据进行学习、训练,最后将训练好的网络用于分类的过程。

从对话框可知,神经网络模式识别工具箱将借助用来收集、建立和训练网络,并且利用均方误差和混淆矩阵来评价网络的效果。用来进行模式识别的是一个两层的前向型神经网络,隐藏神经元和输出神经元使用的都是 Sigmoid 函数。模式识别工具箱的训练使用了量化连接梯度训练函数,即 traincg 算法,单击 Next 按钮,会出现导入数据的对话框。该对话框中可以出现和拟合工具箱相同的导入数据、确认和测试数据界面、选择网络结构,请参考图 30-2 图 30-4。

选择网络结构后,单击 Next 按钮进入网络训练界面,如图 30-5 所示。

此处是训练网络的过程,在网络训练结束后,可以使用对话框右侧的 Plot Confusion Matrix 按钮查看分类的效果。此处需要注意的是,当网络的验证集的误差均方开始增加时,也就是说当网络泛化效果停止提高时,网络训练会自动停止。因为所选取的初始条件和样本的不同,不同的训练将导致训练的结果不尽相同。

Confusion Matrix 叫做混淆矩阵或者匹配矩阵,是一种展示分类效果好坏的矩阵。混淆矩阵把所有正确和错误的分类信息都列到一个表里。ROC 曲线是反映敏感性和特异性连续

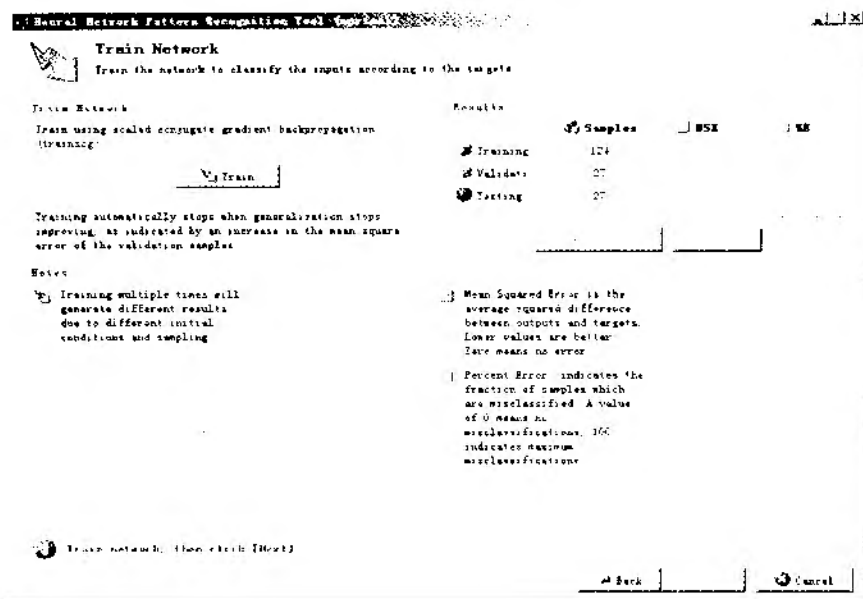


图 30-9 模式识别网络训练

变量的综合指标。ROC 曲线真阳性率为纵坐标,假阳性率为横坐标,在坐标上由无数个临界值求出的无数对真阳性率和假阳性率作图构成,计算 ROC 曲线下面积 AUC 来评价分类效率。

单击[Next]按钮,进入网络修正、保存数据和网络界面,同图 30-6 与图 30-7。

30.2.3 神经网络聚类工具箱的图形界面

打开神经网络聚类工具箱图形界面的命令为:

```
nctool
```

执行后将会跳出如图 30-10 所示的对话框。

聚类问题往往是想建立一种网络对一组数据按照相似性分组。

由工具箱界面可知,神经网络聚类工具箱将帮助用来收集、建立和训练网络,并且利用可视化工具来评价网络的效果。

MATLAB 使用自组织特征映射网络(SOM, Self-Organizing Map)进行数据的聚类。SOM 网络包括一个可以将任意维数的数据分成若干类的竞争层。在竞争层中,神经元按照二维拓扑结构排列,这就使竞争层神经元能够代表与样本分布相似分布。

SOM 神经网络使用了 SOM batch 的算法,使用的是 trainubwb 和 learnsomb 函数。

单击[Next]按钮,进入数据导入界面,如图 30-11 所示。

聚类工具箱只需要提供要聚类的数据输入即可,由于 SOM 网络是无导师、无监督的分类网络,这里不需要输入目标输出。单击[Next]按钮进入网络结构选择界面,如图 30-12 所示。

需要填写竞争层相关参数,如图 30-12 已经填写为 10,说明竞争层中有 10×10 个神经元。单击[Next]按钮,会出现如图 30-13 所示的对话框。

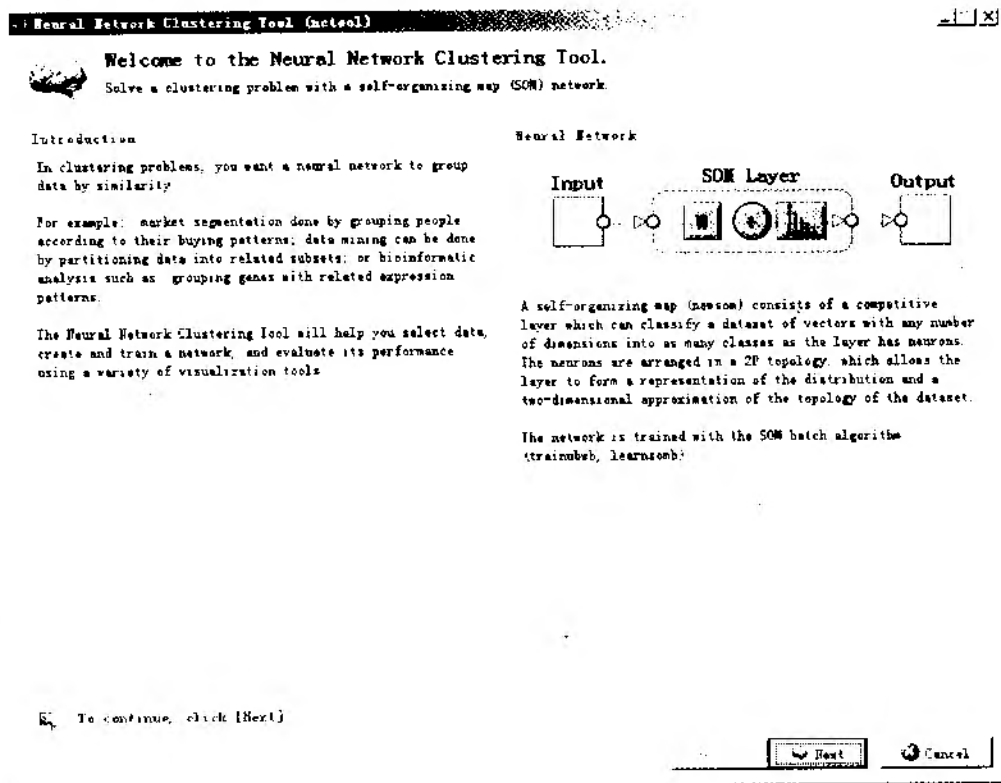


图 30-10 聚类工具箱

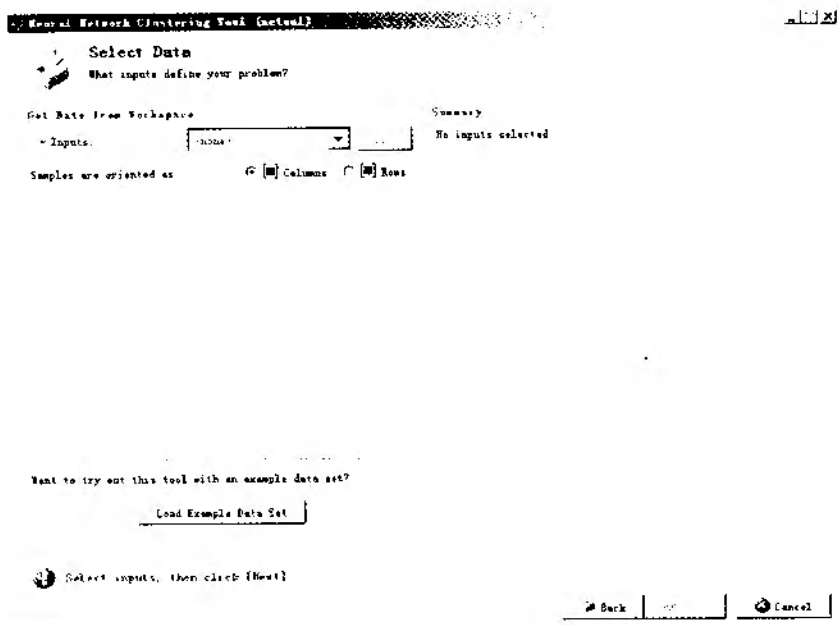


图 30-11 聚类工具箱的数据导入界面

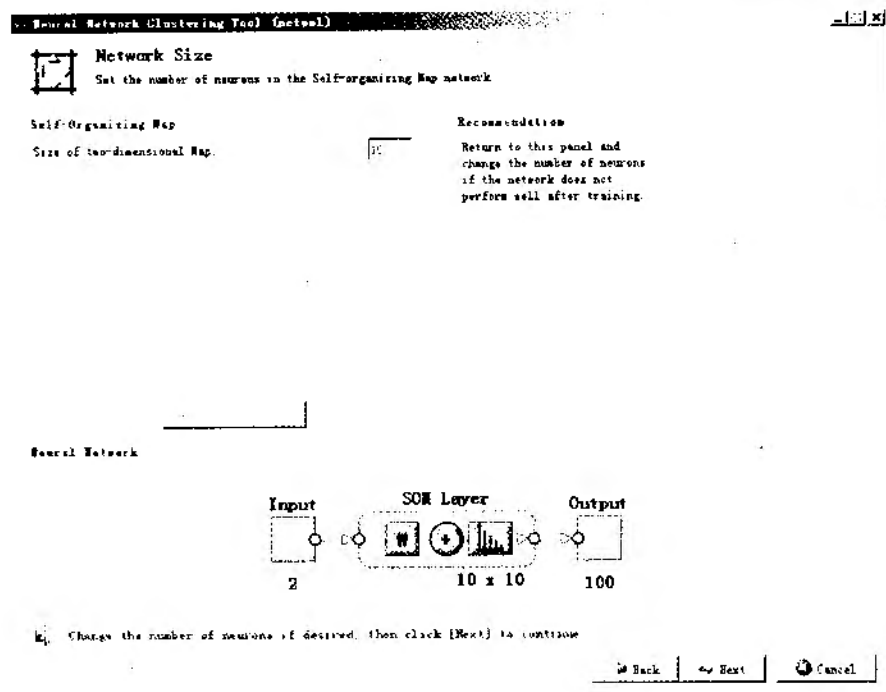


图 30-12 网络结构选择界面

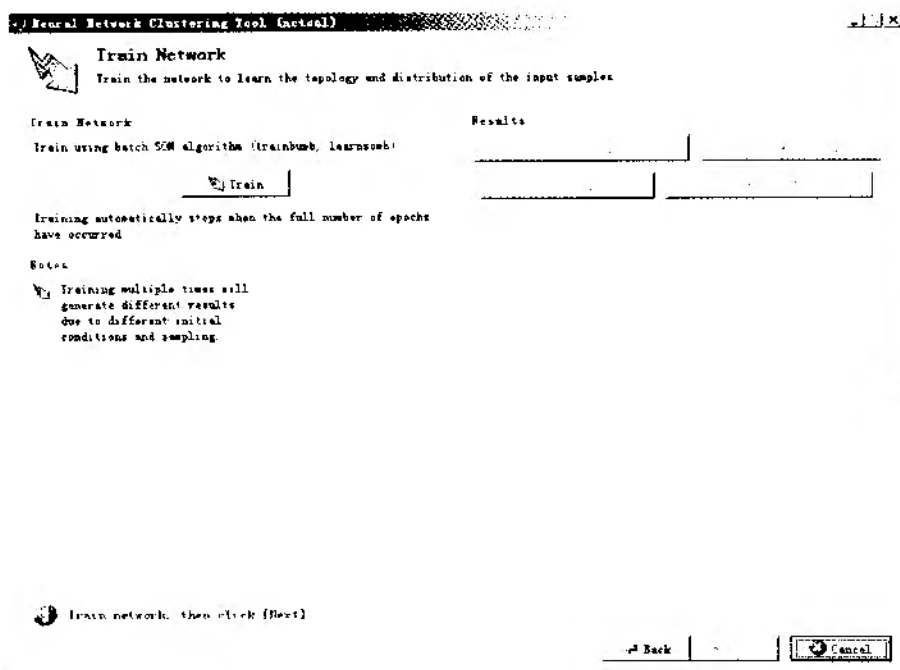


图 30-13 聚类工具箱网络训练界面

若您对此书内容有任何疑问，可以凭在线交流卡登录 MATLAB 中文论坛与作者交流。

此处是网络训练过程,在网络训练结束后,可以使用对话框右侧的 Plot SOM Neighbor Distance/Plot SOM Weight Planes/Plot SOM Sample Hits/Plot SOM Weight Positions 按钮查看聚类效果。需要注意的是,当网络的训练次数达到设定的训练次数时,网络训练会自动停止。因为所选取的初始条件和样本的不同,不同的训练将导致训练结果不尽相同。Plot SOM Neighbor Distance/Plot SOM Weight Planes/Plot SOM Sample Hits/Plot SOM Weight Positions 按钮功能参考第 17 章的有关说明。单击[Next]按钮,进入网络修正、保存数据和网络界面,如图 30-6 与图 30-7 所示,此处不再赘述。

在将训练好的 SOM 网络保存后,可以使用 `sim()` 函数对其他数据进行聚类。

30.3 案例扩展

利用图形用户界面可以快速实现神经网络的拟合、模式识别、聚类等功能。通过这种简单、易用的交互功能能够极大地提高工作效率。

GUI 避免了代码的编写过程,并且可以在最后的界面里生成相应的 MATLAB 代码。但是如果你是一个新手,建议不要不熟悉理论背景就使用 GUI 来实际问题,因为 GUI 中的一些功能只有在熟练掌握了工具箱的大部分函数后才可以正确运用。因此,最好的方式是首先利用编写代码的方式来学习神经网络工具箱,精通了各种函数的实际意义、调用格式和注意事项以后,就可以利用 GUI 方便快捷地解决实际问题了。